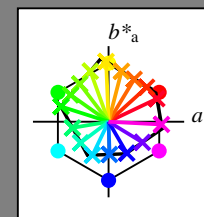


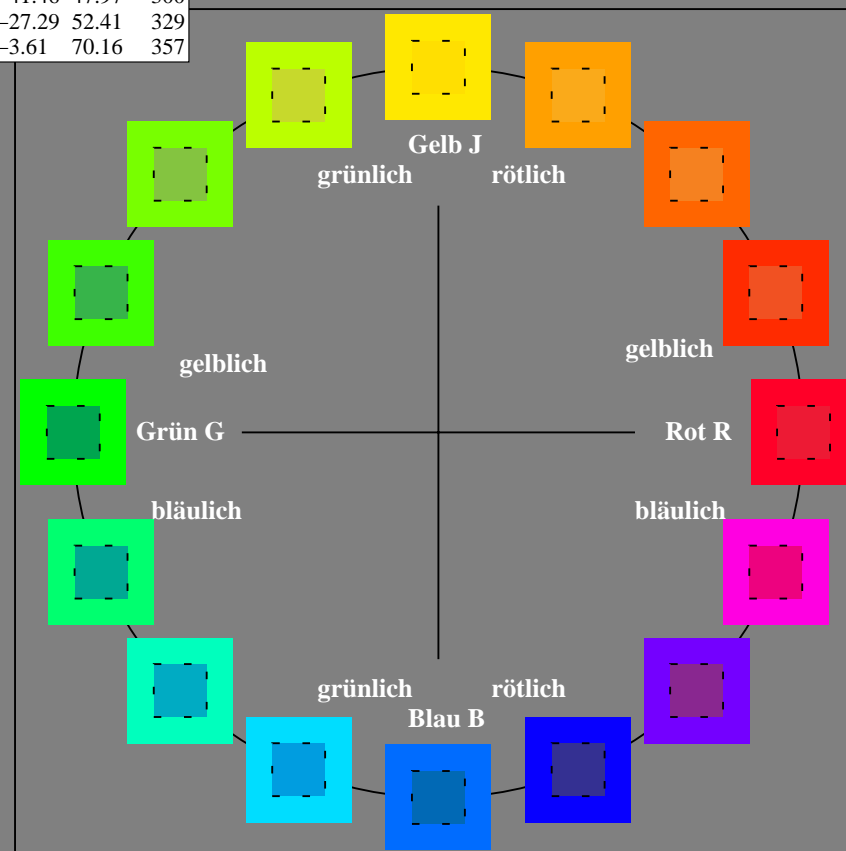
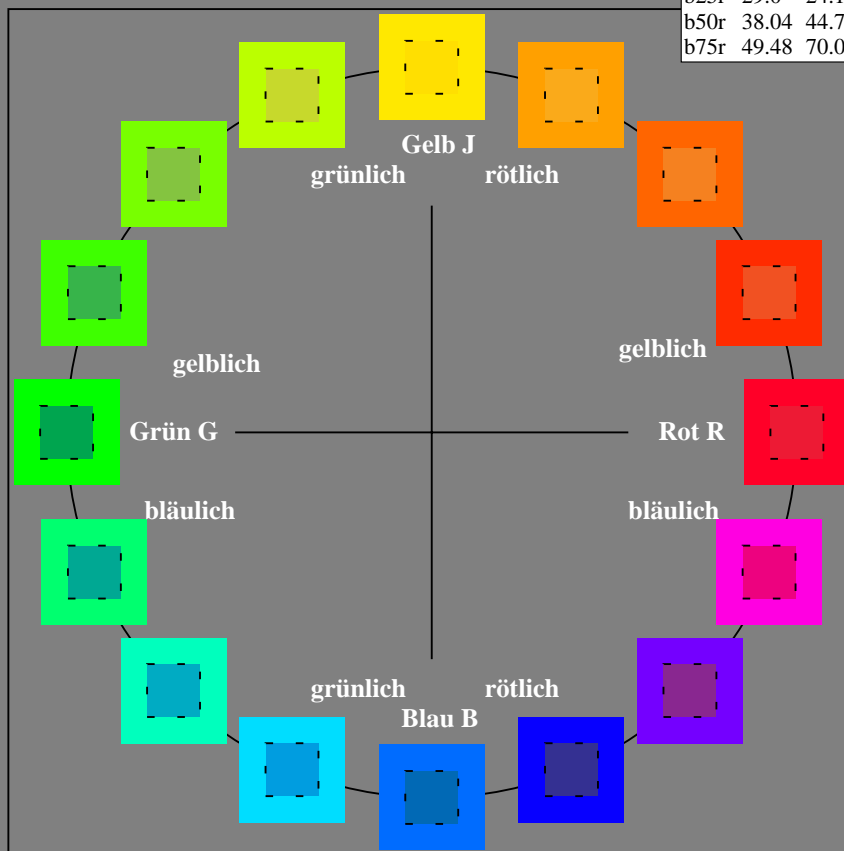
Ein und Ausgabe:
Farbmetrisches Drucker-Reflektiv-System ORS20_95a
Daten für jede Farbe:
 $lab^{*}ch^{*}$ und $lab^{*}icu^{*}$
Elementar-Bunntontext:
 $u^{*} = 16$ Bunttöne $r00j$, $r25j$, ..., $b75r$
Kontrastreduzierungsfaktor:
 $c_R = 0.96$

ORS20_95a; adaptierte CIELAB-Daten					
	$L^{*}=L^{*}_a$	a^{*}_a	b^{*}_a	$C^{*}_{ab,a}$	$h^{*}_{ab,a}$
r00j	48.88	63.91	30.45	70.79	25
r25j	55.85	50.36	45.65	67.97	42
r50j	65.45	33.86	56.12	65.54	59
r75j	75.19	17.13	66.73	68.89	76
j00g	87.03	-3.21	79.64	79.7	92
j25g	80.72	-24.03	66.82	71.01	110
j50g	70.64	-38.01	49.96	62.78	127
j75g	61.93	-50.08	35.41	61.34	145
g00b	52.8	-62.76	20.12	65.91	162
g25b	55.7	-47.65	-8.05	48.34	190
g50b	57.82	-36.91	-27.79	46.22	217
g75b	55.5	-21.19	-44.16	49.0	244
b00r	41.6	1.31	-43.27	43.3	272
b25r	29.0	24.11	-41.46	47.97	300
b50r	38.04	44.73	-27.29	52.41	329
b75r	49.48	70.07	-3.61	70.16	357



%Umfang
 $u^{*}_{rel} = 83$
%Regularität
 $g^{*}_{H,rel} = 72$
 $g^{*}_{C,rel} = 57$

ORS20_95a; adaptierte CIELAB-Daten					
	$L^{*}=L^{*}_a$	a^{*}_a	b^{*}_a	$C^{*}_{ab,a}$	$h^{*}_{ab,a}$
OMa	48.75	62.56	37.91	73.15	31
YMa	90.92	-9.88	83.88	84.46	97
LMa	52.69	-62.9	19.95	66.0	162
CMa	59.61	-27.85	-44.43	52.45	238
VMa	28.39	22.72	-42.42	48.13	298
MMa	49.58	71.08	-9.19	71.67	353
NMa	20.0	0.0	0.0	0.0	0
WMa	95.0	0.0	0.0	0.0	0
RCIE	39.92	58.74	27.99	65.07	25
JCIE	81.26	-2.88	71.56	71.62	92
GCIE	52.23	-42.41	13.6	44.55	162
BCIE	30.57	1.41	-46.46	46.49	272



Ein und Ausgabe: Farbmetrisches Drucker-Reflektiv-System ORS20_95a für relativen CIELAB-Buntton $h^* = lab^*h^* = h_{ab}/360 = 25/360 = 0.071$

Daten für jede Farbe:

lab^*ch^* und lab^*icu^*

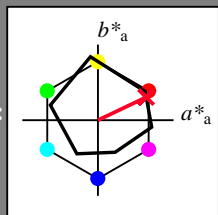
Elementar-Bunttontext:

$u^* = r00j$

Kontrastreduzierungsfaktor:

$c_R = 0.96$

Dreiecks-Helligkeit t^*



ORS20_95a; adaptierte CIELAB-Daten

	$L^*=L^*_a$	a^*_a	b^*_a	$C^*_{ab,a}$	$h^*_{ab,a}$
O _{Ma}	48.75	62.56	37.91	73.15	31
Y _{Ma}	90.92	-9.88	83.88	84.46	97
L _{Ma}	52.69	-62.9	19.95	66.0	162
C _{Ma}	59.61	-27.85	-44.43	52.45	238
V _{Ma}	28.39	22.72	-42.42	48.13	298
M _{Ma}	49.58	71.08	-9.19	71.67	353
N _{Ma}	20.0	0.0	0.0	0.0	0
W _{Ma}	95.0	0.0	0.0	0.0	0
R _{CIE}	39.92	58.74	27.99	65.07	25
J _{CIE}	81.26	-2.88	71.56	71.62	92
G _{CIE}	52.23	-42.41	13.6	44.55	162
B _{CIE}	30.57	1.41	-46.46	46.49	272

Daten für Maximalfarbe (Ma):

$LAB^*LAB^*_{Ma}$: 49 64 30

$LAB^*LCH^*_{Ma}$: 49 71 25

$lab^*rgb^*_{Ma}$: 1.0 0.0 0.0

$lab^*olv^*_{Ma}$: 1.0 0.0 0.16

Dreiecks-Helligkeit t^*

%Umfang

$u^*_{rel} = 83$

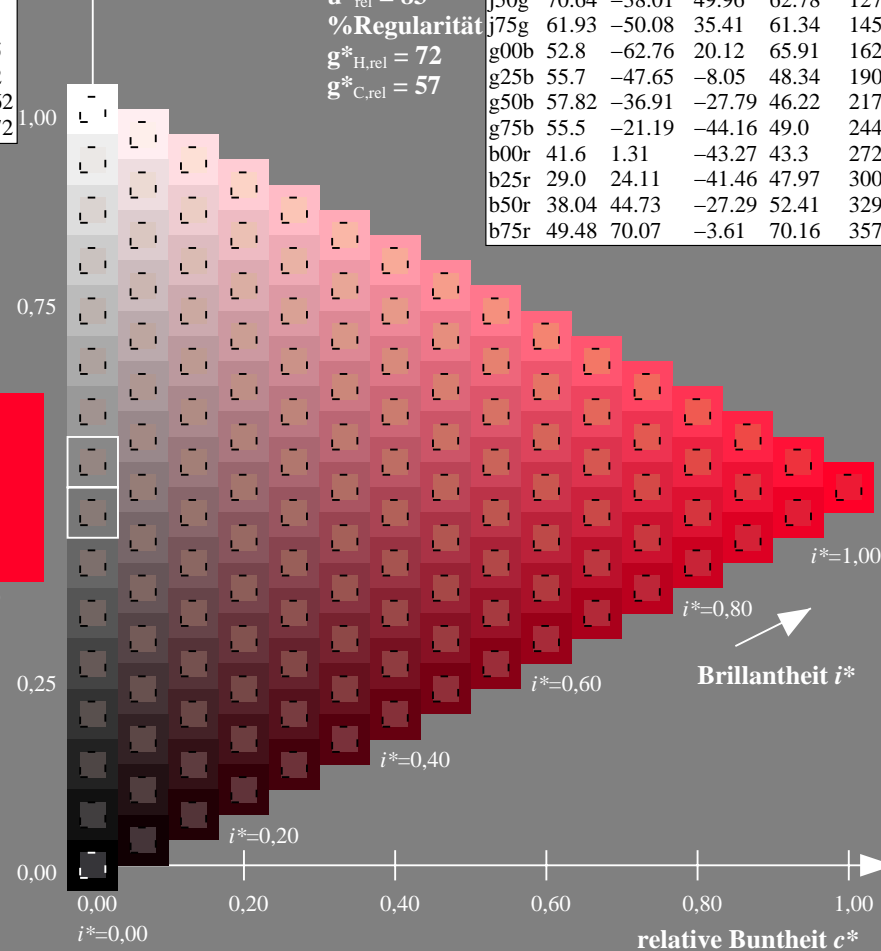
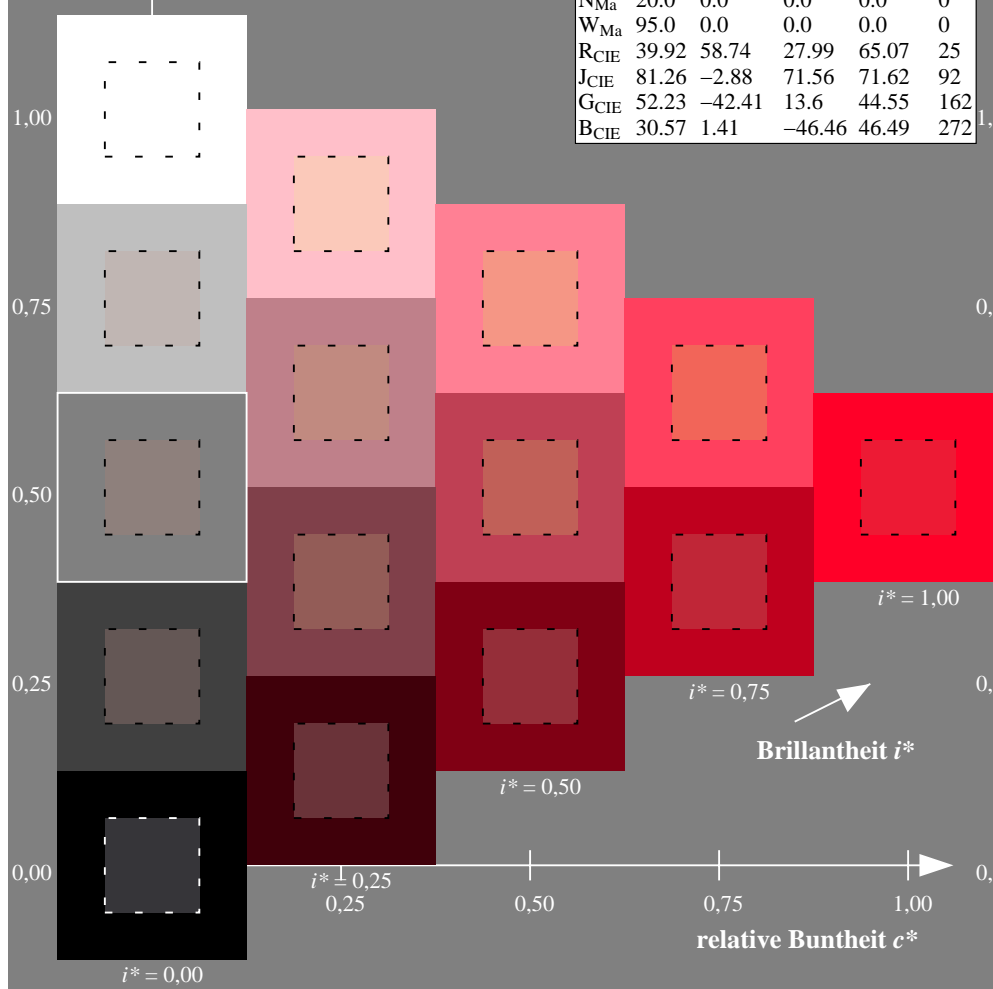
%Regularität

$g^*_{H,rel} = 72$

$g^*_{C,rel} = 57$

ORS20_95a; adaptierte CIELAB-Daten

	$L^*=L^*_a$	a^*_a	b^*_a	$C^*_{ab,a}$	$h^*_{ab,a}$
r00j	48.88	63.91	30.45	70.79	25
r25j	55.85	50.36	45.65	67.97	42
r50j	65.45	33.86	56.12	65.54	59
r75j	75.19	17.13	66.73	68.89	76
j00g	87.03	-3.21	79.64	79.7	92
j25g	80.72	-24.03	66.82	71.01	110
j50g	70.64	-38.01	49.96	62.78	127
j75g	61.93	-50.08	35.41	61.34	145
g00b	52.8	-62.76	20.12	65.91	162
g25b	55.7	-47.65	-8.05	48.34	190
g50b	57.82	-36.91	-27.79	46.22	217
g75b	55.5	-21.19	-44.16	49.0	244
b00r	41.6	1.31	-43.27	43.3	272
b25r	29.0	24.11	-41.46	47.97	300
b50r	38.04	44.73	-27.29	52.41	329
b75r	49.48	70.07	-3.61	70.16	357



Ein und Ausgabe: Farbmetrisches Drucker-Reflektiv-System ORS20_95a für relativen CIELAB-Buntton $h^* = lab^*h^* = h_{ab}/360 = 42/360 = 0.117$

Daten für jede Farbe:

lab^*ch^* und lab^*icu^*

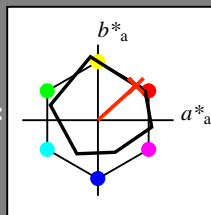
Elementar-Bunttontext:

$u^* = r25j$

Kontrastreduzierungsfaktor:

$c_R = 0.96$

Dreiecks-Helligkeit t^*



ORS20_95a; adaptierte CIELAB-Daten

	$L^*=L^*_a$	a^*_a	b^*_a	$C^*_{ab,a}$	$h^*_{ab,a}$
O _{Ma}	48.75	62.56	37.91	73.15	31
Y _{Ma}	90.92	-9.88	83.88	84.46	97
L _{Ma}	52.69	-62.9	19.95	66.0	162
C _{Ma}	59.61	-27.85	-44.43	52.45	238
V _{Ma}	28.39	22.72	-42.42	48.13	298
M _{Ma}	49.58	71.08	-9.19	71.67	353
N _{Ma}	20.0	0.0	0.0	0.0	0
W _{Ma}	95.0	0.0	0.0	0.0	0
R _{CIE}	39.92	58.74	27.99	65.07	25
J _{CIE}	81.26	-2.88	71.56	71.62	92
G _{CIE}	52.23	-42.41	13.6	44.55	162
B _{CIE}	30.57	1.41	-46.46	46.49	272

Daten für Maximalfarbe (Ma):

$LAB^*LAB^*_{Ma}$: 56 50 46

$LAB^*LCH^*_{Ma}$: 56 68 42

$lab^*rgb^*_{Ma}$: 1.0 0.25 0.0

$lab^*olv^*_{Ma}$: 1.0 0.17 0.0

Dreiecks-Helligkeit t^*

%Umfang

$u^*_{rel} = 83$

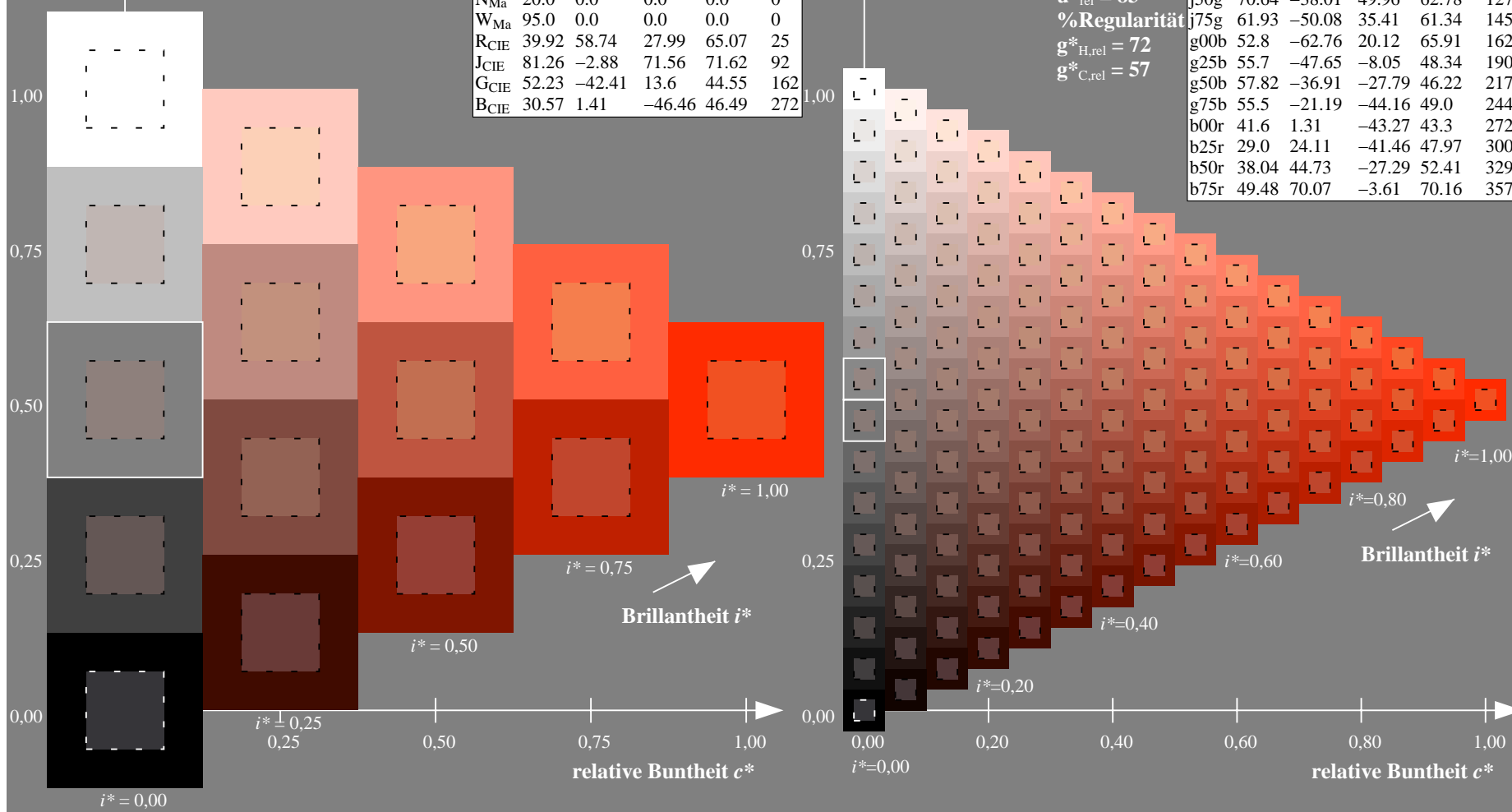
%Regelartigkeit

$g^*_{H,rel} = 72$

$g^*_{C,rel} = 57$

ORS20_95a; adaptierte CIELAB-Daten

	$L^*=L^*_a$	a^*_a	b^*_a	$C^*_{ab,a}$	$h^*_{ab,a}$
r00j	48.88	63.91	30.45	70.79	25
r25j	55.85	50.36	45.65	67.97	42
r50j	65.45	33.86	56.12	65.54	59
r75j	75.19	17.13	66.73	68.89	76
j00g	87.03	-3.21	79.64	79.7	92
j25g	80.72	-24.03	66.82	71.01	110
j50g	70.64	-38.01	49.96	62.78	127
j75g	61.93	-50.08	35.41	61.34	145
g00b	52.8	-62.76	20.12	65.91	162
g25b	55.7	-47.65	-8.05	48.34	190
g50b	57.82	-36.91	-27.79	46.22	217
g75b	55.5	-21.19	-44.16	49.0	244
b00r	41.6	1.31	-43.27	43.3	272
b25r	29.0	24.11	-41.46	47.97	300
b50r	38.04	44.73	-27.29	52.41	329
b75r	49.48	70.07	-3.61	70.16	357



Ein und Ausgabe: Farbmetrisches Drucker-Reflektiv-System ORS20_95a für relativen CIELAB-Buntton $h^* = lab^*h^* = h_{ab}/360 = 59/360 = 0.164$

Daten für jede Farbe:

lab^*ch^* und lab^*icu^*

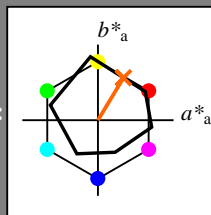
Elementar-Bunttontext:

$u^* = r50j$

Kontrastreduzierungsfaktor:

$c_R = 0.96$

Dreiecks-Helligkeit t^*



ORS20_95a; adaptierte CIELAB-Daten

	$L^*=L^*_a$	a^*_a	b^*_a	$C^*_{ab,a}$	$h^*_{ab,a}$
O _{Ma}	48.75	62.56	37.91	73.15	31
Y _{Ma}	90.92	-9.88	83.88	84.46	97
L _{Ma}	52.69	-62.9	19.95	66.0	162
C _{Ma}	59.61	-27.85	-44.43	52.45	238
V _{Ma}	28.39	22.72	-42.42	48.13	298
M _{Ma}	49.58	71.08	-9.19	71.67	353
N _{Ma}	20.0	0.0	0.0	0.0	0
W _{Ma}	95.0	0.0	0.0	0.0	0
R _{CIE}	39.92	58.74	27.99	65.07	25
J _{CIE}	81.26	-2.88	71.56	71.62	92
G _{CIE}	52.23	-42.41	13.6	44.55	162
B _{CIE}	30.57	1.41	-46.46	46.49	272

Daten für Maximalfarbe (Ma):

$LAB^*LAB^*_{Ma}$: 65 34 56

$LAB^*LCH^*_{Ma}$: 65 66 59

$lab^*rgb^*_{Ma}$: 1.0 0.5 0.0

$lab^*olv^*_{Ma}$: 1.0 0.4 0.0

Dreiecks-Helligkeit t^*

%Umfang

$u^*_{rel} = 83$

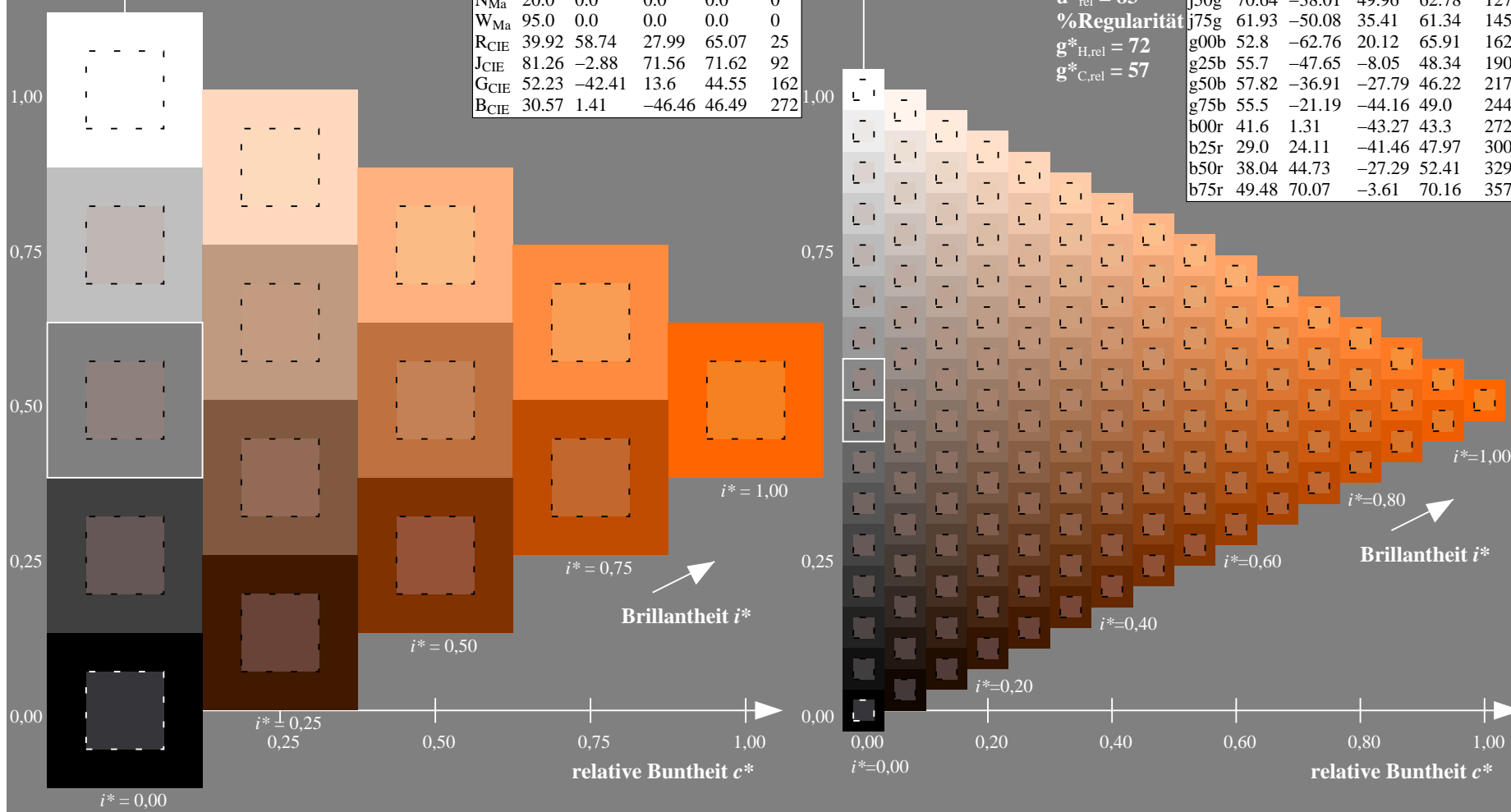
%Regularität

$g^*_{H,rel} = 72$

$g^*_{C,rel} = 57$

ORS20_95a; adaptierte CIELAB-Daten

	$L^*=L^*_a$	a^*_a	b^*_a	$C^*_{ab,a}$	$h^*_{ab,a}$
r00j	48.88	63.91	30.45	70.79	25
r25j	55.85	50.36	45.65	67.97	42
r50j	65.45	33.86	56.12	65.54	59
r75j	75.19	17.13	66.73	68.89	76
j00g	87.03	-3.21	79.64	79.7	92
j25g	80.72	-24.03	66.82	71.01	110
j50g	70.64	-38.01	49.96	62.78	127
j75g	61.93	-50.08	35.41	61.34	145
g00b	52.8	-62.76	20.12	65.91	162
g25b	55.7	-47.65	-8.05	48.34	190
g50b	57.82	-36.91	-27.79	46.22	217
g75b	55.5	-21.19	-44.16	49.0	244
b00r	41.6	1.31	-43.27	43.3	272
b25r	29.0	24.11	-41.46	47.97	300
b50r	38.04	44.73	-27.29	52.41	329
b75r	49.48	70.07	-3.61	70.16	357



Ein und Ausgabe: Farbmetrisches Drucker-Reflektiv-System ORS20_95a für relativen CIELAB-Buntton $h^* = lab^*h^* = h_{ab}/360 = 76/360 = 0.21$

Daten für jede Farbe:

lab^*ch^* und lab^*icu^*

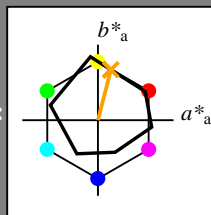
Elementar-Bunttontext:

$u^* = r75j$

Kontrastreduzierungsfaktor:

$c_R = 0.96$

Dreiecks-Helligkeit t^*



ORS20_95a; adaptierte CIELAB-Daten

	$L^*=L_a^*$	a_a^*	b_a^*	$C^*_{ab,a}$	$h^*_{ab,a}$
O _{Ma}	48.75	62.56	37.91	73.15	31
Y _{Ma}	90.92	-9.88	83.88	84.46	97
L _{Ma}	52.69	-62.9	19.95	66.0	162
C _{Ma}	59.61	-27.85	-44.43	52.45	238
V _{Ma}	28.39	22.72	-42.42	48.13	298
M _{Ma}	49.58	71.08	-9.19	71.67	353
N _{Ma}	20.0	0.0	0.0	0.0	0
W _{Ma}	95.0	0.0	0.0	0.0	0
R _{CIE}	39.92	58.74	27.99	65.07	25
J _{CIE}	81.26	-2.88	71.56	71.62	92
G _{CIE}	52.23	-42.41	13.6	44.55	162
B _{CIE}	30.57	1.41	-46.46	46.49	272

Daten für Maximalfarbe (Ma):

$LAB^*LAB^*_{Ma}$: 75 17 67

$LAB^*LCH^*_{Ma}$: 75 69 76

$lab^*rgb^*_{Ma}$: 1.0 0.75 0.0

$lab^*olv^*_{Ma}$: 1.0 0.63 0.0

Dreiecks-Helligkeit t^*

%Umfang

$u^*_{rel} = 83$

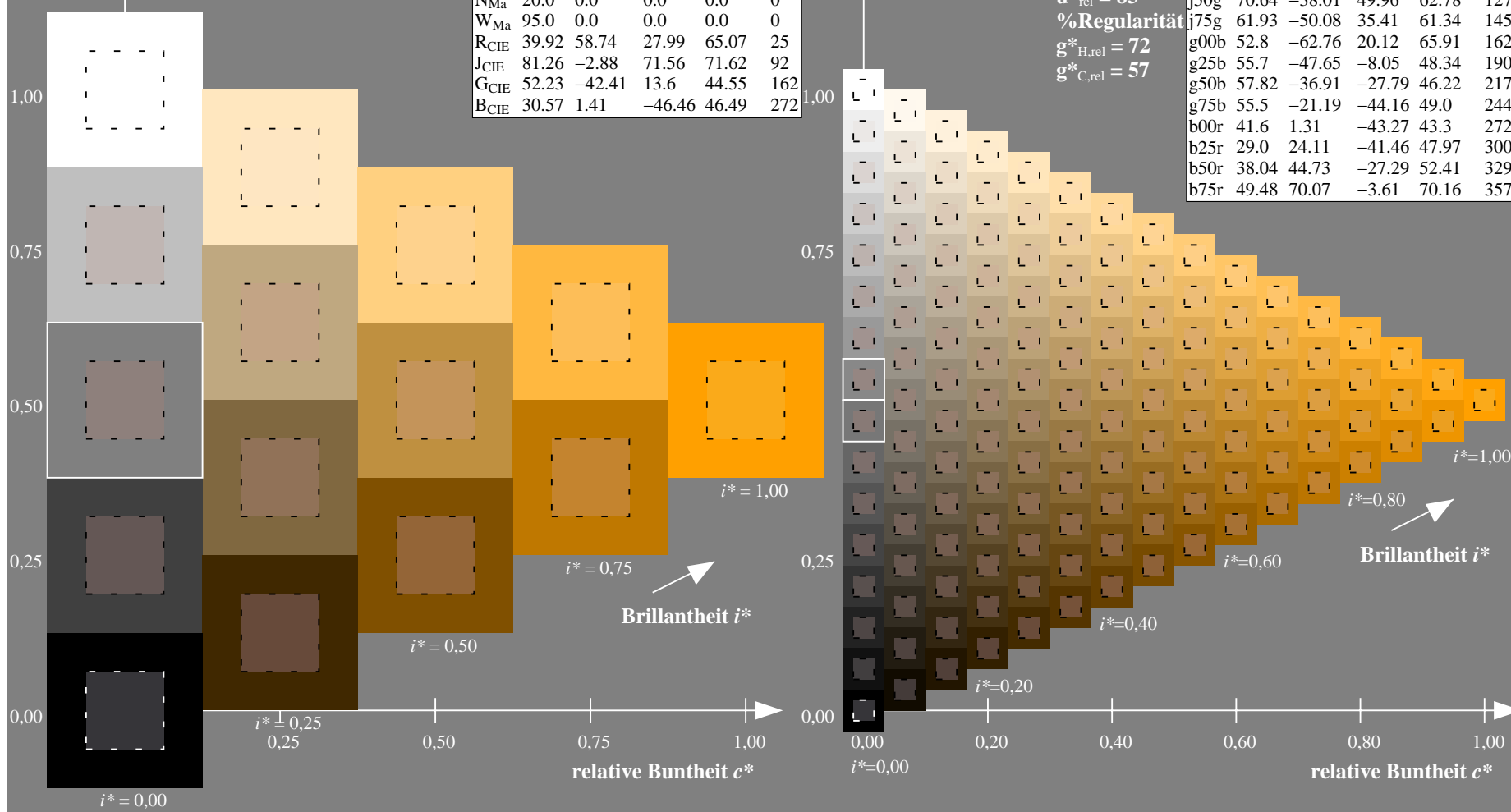
%Regularität

$g^*_{H,rel} = 72$

$g^*_{C,rel} = 57$

ORS20_95a; adaptierte CIELAB-Daten

	$L^*=L_a^*$	a_a^*	b_a^*	$C^*_{ab,a}$	$h^*_{ab,a}$
r00j	48.88	63.91	30.45	70.79	25
r25j	55.85	50.36	45.65	67.97	42
r50j	65.45	33.86	56.12	65.54	59
r75j	75.19	17.13	66.73	68.89	76
j00g	87.03	-3.21	79.64	79.7	92
j25g	80.72	-24.03	66.82	71.01	110
j50g	70.64	-38.01	49.96	62.78	127
j75g	61.93	-50.08	35.41	61.34	145
g00b	52.8	-62.76	20.12	65.91	162
g25b	55.7	-47.65	-8.05	48.34	190
g50b	57.82	-36.91	-27.79	46.22	217
g75b	55.5	-21.19	-44.16	49.0	244
b00r	41.6	1.31	-43.27	43.3	272
b25r	29.0	24.11	-41.46	47.97	300
b50r	38.04	44.73	-27.29	52.41	329
b75r	49.48	70.07	-3.61	70.16	357



Ein und Ausgabe: Farbmetrisches Drucker-Reflektiv-System ORS20_95a für relativen CIELAB-Buntton $h^* = lab^*h^* = h_{ab}/360 = 92/360 = 0.256$

Daten für jede Farbe:

lab^*ch^* und lab^*icu^*

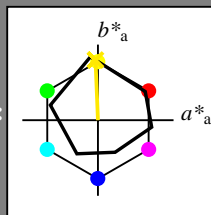
Elementar-Bunttontext:

$u^* = j00g$

Kontrastreduzierungsfaktor:

$c_R = 0.96$

Dreiecks-Helligkeit i^*



ORS20_95a; adaptierte CIELAB-Daten

	$L^*=L^*_a$	a^*_a	b^*_a	$C^*_{ab,a}$	$h^*_{ab,a}$
O _{Ma}	48.75	62.56	37.91	73.15	31
Y _{Ma}	90.92	-9.88	83.88	84.46	97
L _{Ma}	52.69	-62.9	19.95	66.0	162
C _{Ma}	59.61	-27.85	-44.43	52.45	238
V _{Ma}	28.39	22.72	-42.42	48.13	298
M _{Ma}	49.58	71.08	-9.19	71.67	353
N _{Ma}	20.0	0.0	0.0	0.0	0
W _{Ma}	95.0	0.0	0.0	0.0	0
R _{CIE}	39.92	58.74	27.99	65.07	25
J _{CIE}	81.26	-2.88	71.56	71.62	92
G _{CIE}	52.23	-42.41	13.6	44.55	162
B _{CIE}	30.57	1.41	-46.46	46.49	272

Daten für Maximalfarbe (Ma):

$LAB^*LAB^*_{Ma}$: 87 -2 80

$LAB^*LCH^*_{Ma}$: 87 80 92

$lab^*rgb^*_{Ma}$: 1.0 1.0 0.0

$lab^*olv^*_{Ma}$: 1.0 0.91 0.0

Dreiecks-Helligkeit i^*

%Umfang

$u^*_{rel} = 83$

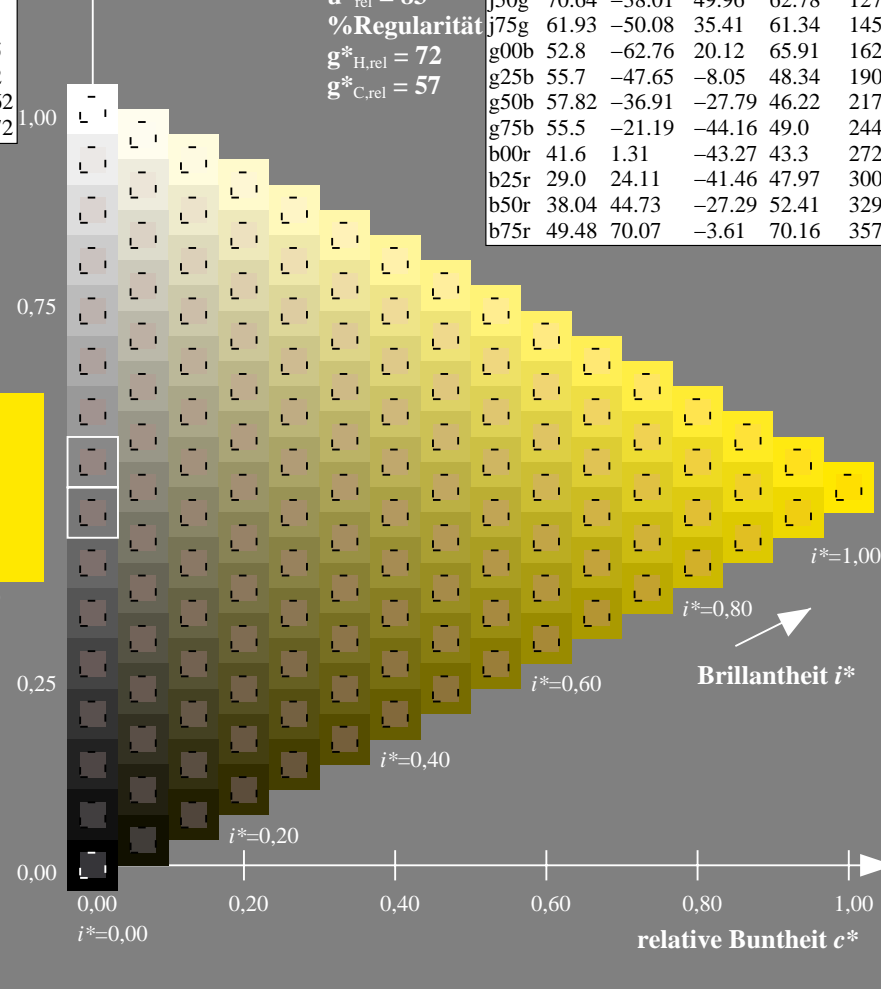
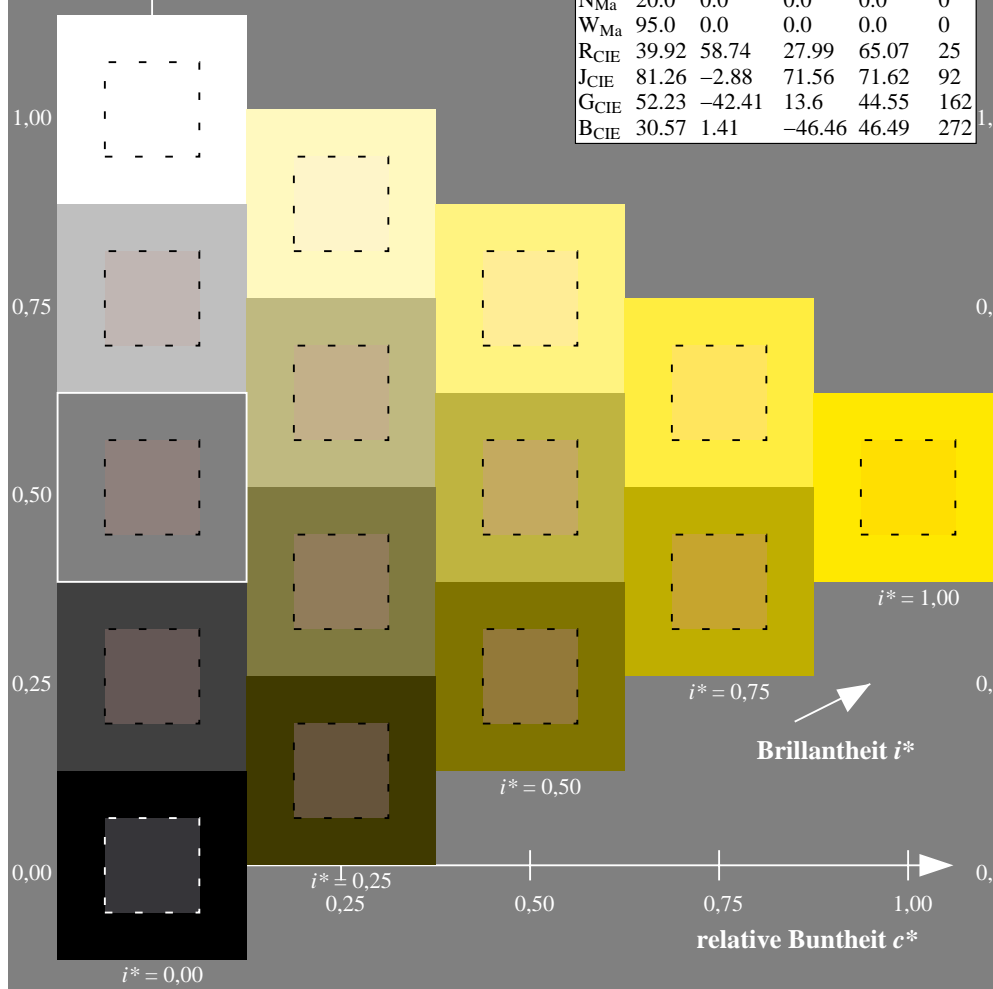
%Regularität

$g^*_{H,rel} = 72$

$g^*_{C,rel} = 57$

ORS20_95a; adaptierte CIELAB-Daten

	$L^*=L^*_a$	a^*_a	b^*_a	$C^*_{ab,a}$	$h^*_{ab,a}$
r00j	48.88	63.91	30.45	70.79	25
r25j	55.85	50.36	45.65	67.97	42
r50j	65.45	33.86	56.12	65.54	59
r75j	75.19	17.13	66.73	68.89	76
j00g	87.03	-3.21	79.64	79.7	92
j25g	80.72	-24.03	66.82	71.01	110
j50g	70.64	-38.01	49.96	62.78	127
j75g	61.93	-50.08	35.41	61.34	145
g00b	52.8	-62.76	20.12	65.91	162
g25b	55.7	-47.65	-8.05	48.34	190
g50b	57.82	-36.91	-27.79	46.22	217
g75b	55.5	-21.19	-44.16	49.0	244
b00r	41.6	1.31	-43.27	43.3	272
b25r	29.0	24.11	-41.46	47.97	300
b50r	38.04	44.73	-27.29	52.41	329
b75r	49.48	70.07	-3.61	70.16	357



Ein und Ausgabe: Farbmetrisches Drucker-Reflektiv-System ORS20_95a für relativen CIELAB-Buntton $h^* = lab^*h^* = h_{ab}/360 = 110/360 = 0.305$

Daten für jede Farbe:

lab^*ch^* und lab^*icu^*

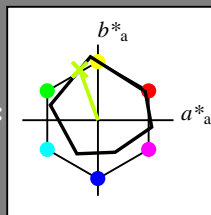
Elementar-Bunttontext:

$u^* = j25g$

Kontrastreduzierungsfaktor:

$c_R = 0.96$

Dreiecks-Helligkeit i^*



ORS20_95a; adaptierte CIELAB-Daten

	$L^*=L_a^*$	a_a^*	b_a^*	$C_{ab,a}^*$	$h_{ab,a}^*$
O _{Ma}	48.75	62.56	37.91	73.15	31
Y _{Ma}	90.92	-9.88	83.88	84.46	97
L _{Ma}	52.69	-62.9	19.95	66.0	162
C _{Ma}	59.61	-27.85	-44.43	52.45	238
V _{Ma}	28.39	22.72	-42.42	48.13	298
M _{Ma}	49.58	71.08	-9.19	71.67	353
N _{Ma}	20.0	0.0	0.0	0.0	0
W _{Ma}	95.0	0.0	0.0	0.0	0
R _{CIE}	39.92	58.74	27.99	65.07	25
J _{CIE}	81.26	-2.88	71.56	71.62	92
G _{CIE}	52.23	-42.41	13.6	44.55	162
B _{CIE}	30.57	1.41	-46.46	46.49	272

Daten für Maximalfarbe (Ma):

$LAB^*LAB^*_{Ma}$: 81 -23 67

$LAB^*LCH^*_{Ma}$: 81 71 110

$lab^*rgb^*_{Ma}$: 0.75 1.0 0.0

$lab^*olv^*_{Ma}$: 0.73 1.0 0.0

Dreiecks-Helligkeit i^*

%Umfang

$u^*_{rel} = 83$

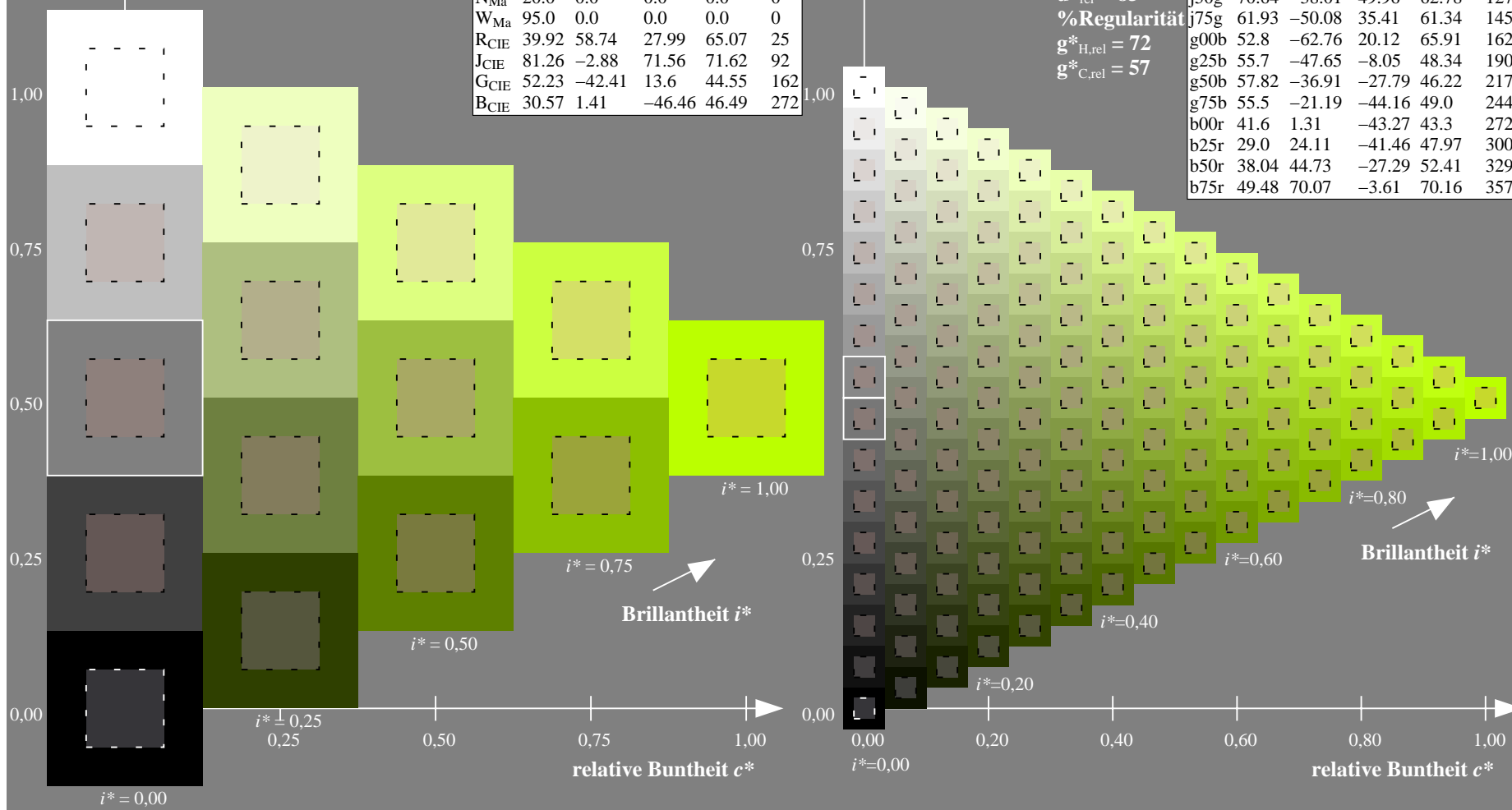
%Regularität

$g^*_{H,rel} = 72$

$g^*_{C,rel} = 57$

ORS20_95a; adaptierte CIELAB-Daten

	$L^*=L_a^*$	a_a^*	b_a^*	$C_{ab,a}^*$	$h_{ab,a}^*$
r00j	48.88	63.91	30.45	70.79	25
r25j	55.85	50.36	45.65	67.97	42
r50j	65.45	33.86	56.12	65.54	59
r75j	75.19	17.13	66.73	68.89	76
j00g	87.03	-3.21	79.64	79.7	92
j25g	80.72	-24.03	66.82	71.01	110
j50g	70.64	-38.01	49.96	62.78	127
j75g	61.93	-50.08	35.41	61.34	145
g00b	52.8	-62.76	20.12	65.91	162
g25b	55.7	-47.65	-8.05	48.34	190
g50b	57.82	-36.91	-27.79	46.22	217
g75b	55.5	-21.19	-44.16	49.0	244
b00r	41.6	1.31	-43.27	43.3	272
b25r	29.0	24.11	-41.46	47.97	300
b50r	38.04	44.73	-27.29	52.41	329
b75r	49.48	70.07	-3.61	70.16	357



Ein und Ausgabe: Farbmetrisches Drucker-Reflektiv-System ORS20_95a für relativen CIELAB-Buntton $h^* = lab^*h^* = h_{ab}/360 = 127/360 = 0.354$

Daten für jede Farbe:

lab^*ch^* und lab^*icu^*

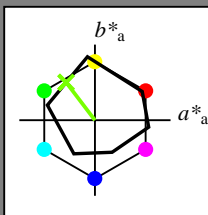
Elementar-Bunttontext:

$u^* = j50g$

Kontrastreduzierungsfaktor:

$c_R = 0.96$

Dreiecks-Helligkeit i^*



ORS20_95a; adaptierte CIELAB-Daten

	$L^*=L^*_a$	a^*_a	b^*_a	$C^*_{ab,a}$	$h^*_{ab,a}$
O _{Ma}	48.75	62.56	37.91	73.15	31
Y _{Ma}	90.92	-9.88	83.88	84.46	97
L _{Ma}	52.69	-62.9	19.95	66.0	162
C _{Ma}	59.61	-27.85	-44.43	52.45	238
V _{Ma}	28.39	22.72	-42.42	48.13	298
M _{Ma}	49.58	71.08	-9.19	71.67	353
N _{Ma}	20.0	0.0	0.0	0.0	0
W _{Ma}	95.0	0.0	0.0	0.0	0
R _{CIE}	39.92	58.74	27.99	65.07	25
J _{CIE}	81.26	-2.88	71.56	71.62	92
G _{CIE}	52.23	-42.41	13.6	44.55	162
B _{CIE}	30.57	1.41	-46.46	46.49	272

Daten für Maximalfarbe (Ma):

$LAB^*LAB^*_{Ma}$: 71 -37 50

$LAB^*LCH^*_{Ma}$: 71 63 127

$lab^*rgb^*_{Ma}$: 0.5 1.0 0.0

$lab^*olv^*_{Ma}$: 0.47 1.0 0.0

Dreiecks-Helligkeit i^*

%Umfang

$u^*_{rel} = 83$

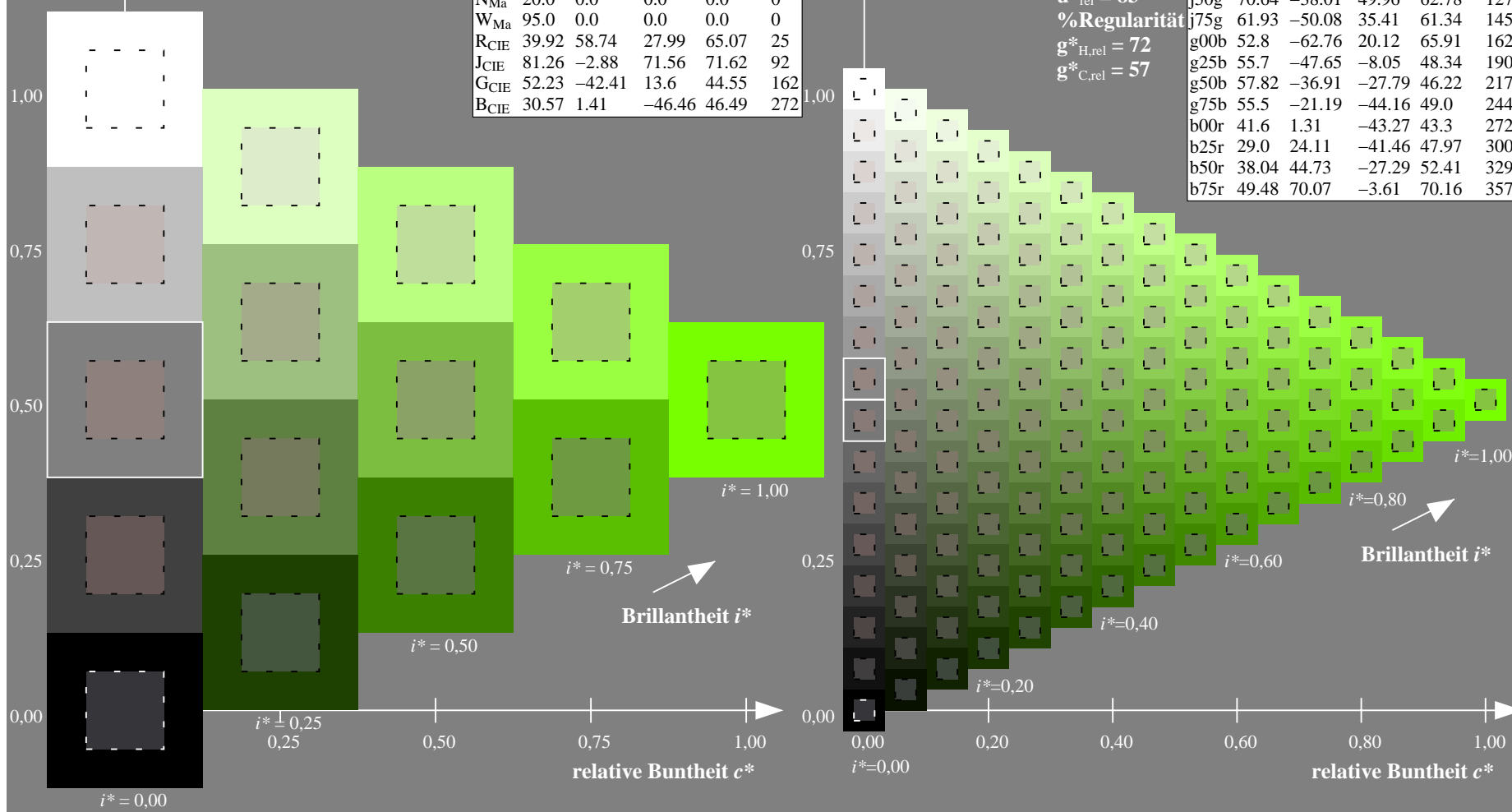
%Regularität

$g^*_{H,rel} = 72$

$g^*_{C,rel} = 57$

ORS20_95a; adaptierte CIELAB-Daten

	$L^*=L^*_a$	a^*_a	b^*_a	$C^*_{ab,a}$	$h^*_{ab,a}$
r00j	48.88	63.91	30.45	70.79	25
r25j	55.85	50.36	45.65	67.97	42
r50j	65.45	33.86	56.12	65.54	59
r75j	75.19	17.13	66.73	68.89	76
j00g	87.03	-3.21	79.64	79.7	92
j25g	80.72	-24.03	66.82	71.01	110
j50g	70.64	-38.01	49.96	62.78	127
j75g	61.93	-50.08	35.41	61.34	145
g00b	52.8	-62.76	20.12	65.91	162
g25b	55.7	-47.65	-8.05	48.34	190
g50b	57.82	-36.91	-27.79	46.22	217
g75b	55.5	-21.19	-44.16	49.0	244
b00r	41.6	1.31	-43.27	43.3	272
b25r	29.0	24.11	-41.46	47.97	300
b50r	38.04	44.73	-27.29	52.41	329
b75r	49.48	70.07	-3.61	70.16	357



Ein und Ausgabe: Farbmetrisches Drucker-Reflektiv-System ORS20_95a für relativen CIELAB-Buntton $h^* = lab^*h^* = h_{ab}/360 = 145/360 = 0.402$

Daten für jede Farbe:

lab^*ch^* und lab^*icu^*

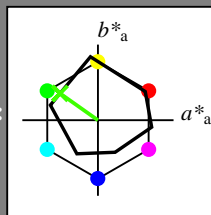
Elementar-Bunttontext:

$u^* = j75g$

Kontrastreduzierungsfaktor:

$c_R = 0.96$

Dreiecks-Helligkeit i^*



ORS20_95a; adaptierte CIELAB-Daten

	$L^*=L_a^*$	a_a^*	b_a^*	$C^*_{ab,a}$	$h^*_{ab,a}$
O _{Ma}	48.75	62.56	37.91	73.15	31
Y _{Ma}	90.92	-9.88	83.88	84.46	97
L _{Ma}	52.69	-62.9	19.95	66.0	162
C _{Ma}	59.61	-27.85	-44.43	52.45	238
V _{Ma}	28.39	22.72	-42.42	48.13	298
M _{Ma}	49.58	71.08	-9.19	71.67	353
N _{Ma}	20.0	0.0	0.0	0.0	0
W _{Ma}	95.0	0.0	0.0	0.0	0
R _{CIE}	39.92	58.74	27.99	65.07	25
J _{CIE}	81.26	-2.88	71.56	71.62	92
G _{CIE}	52.23	-42.41	13.6	44.55	162
B _{CIE}	30.57	1.41	-46.46	46.49	272

Daten für Maximalfarbe (Ma):

$LAB^*LAB^*_{Ma}$: 62 -49 35

$LAB^*LCH^*_{Ma}$: 62 61 145

$lab^*rgb^*_{Ma}$: 0.25 1.0 0.0

$lab^*olv^*_{Ma}$: 0.24 1.0 0.0

Dreiecks-Helligkeit i^*

%Umfang

$u^*_{rel} = 83$

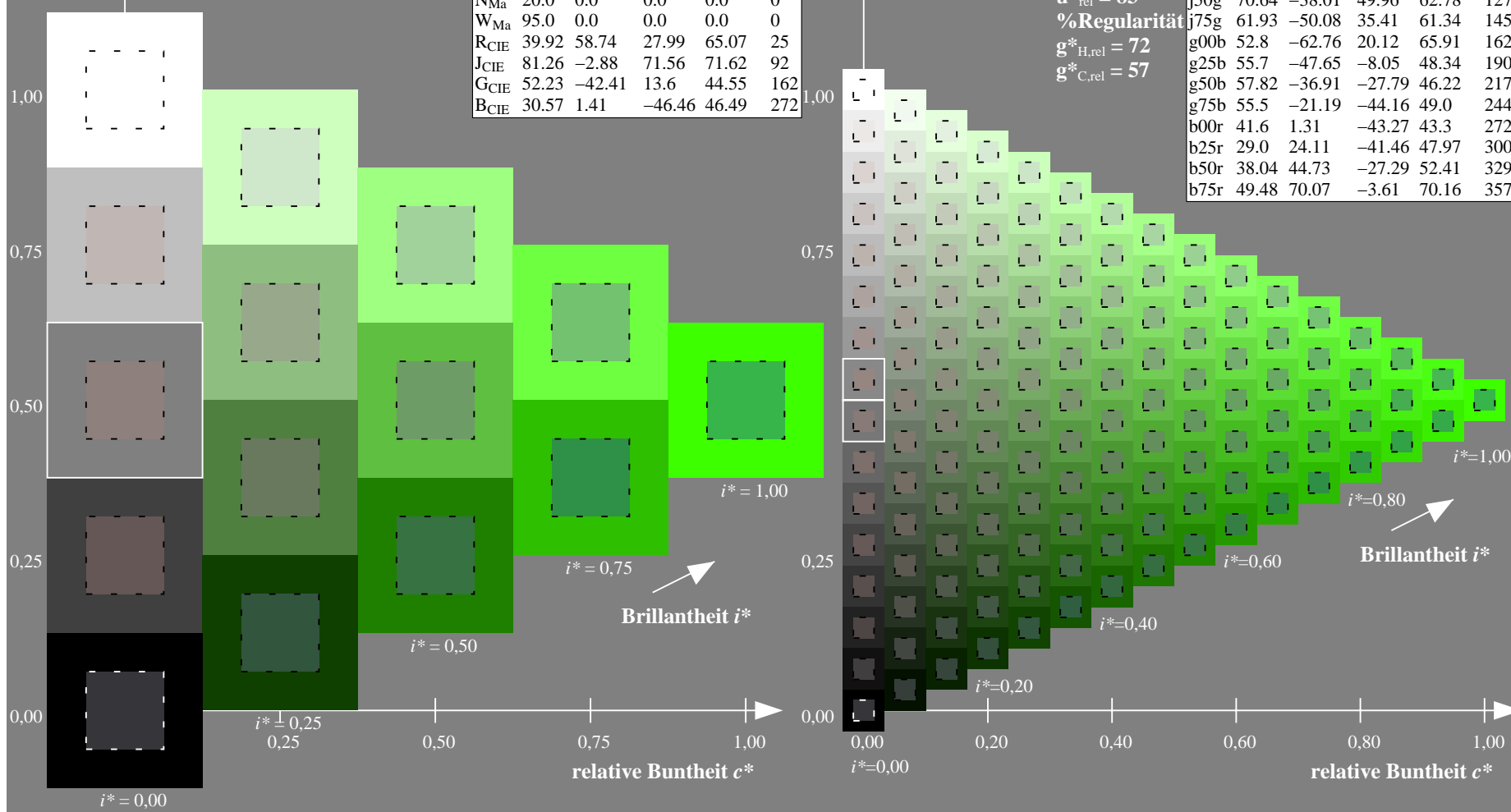
%Regularität

$g^*_{H,rel} = 72$

$g^*_{C,rel} = 57$

ORS20_95a; adaptierte CIELAB-Daten

	$L^*=L_a^*$	a_a^*	b_a^*	$C^*_{ab,a}$	$h^*_{ab,a}$
r00j	48.88	63.91	30.45	70.79	25
r25j	55.85	50.36	45.65	67.97	42
r50j	65.45	33.86	56.12	65.54	59
r75j	75.19	17.13	66.73	68.89	76
j00g	87.03	-3.21	79.64	79.7	92
j25g	80.72	-24.03	66.82	71.01	110
j50g	70.64	-38.01	49.96	62.78	127
j75g	61.93	-50.08	35.41	61.34	145
g00b	52.8	-62.76	20.12	65.91	162
g25b	55.7	-47.65	-8.05	48.34	190
g50b	57.82	-36.91	-27.79	46.22	217
g75b	55.5	-21.19	-44.16	49.0	244
b00r	41.6	1.31	-43.27	43.3	272
b25r	29.0	24.11	-41.46	47.97	300
b50r	38.04	44.73	-27.29	52.41	329
b75r	49.48	70.07	-3.61	70.16	357



Ein und Ausgabe: Farbmetrisches Drucker-Reflektiv-System ORS20_95a für relativen CIELAB-Buntton $h^* = lab^*h^* = h_{ab}/360 = 162/360 = 0.451$

Daten für jede Farbe:

lab^*ch^* und lab^*icu^*

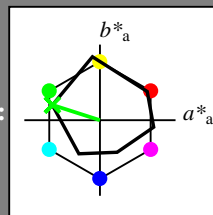
Elementar-Bunttontext:

$u^* = g00b$

Kontrastreduzierungsfaktor:

$c_R = 0.96$

Dreiecks-Helligkeit i^*



ORS20_95a; adaptierte CIELAB-Daten

	$L^*=L^*_a$	a^*_a	b^*_a	$C^*_{ab,a}$	$h^*_{ab,a}$
O _{Ma}	48.75	62.56	37.91	73.15	31
Y _{Ma}	90.92	-9.88	83.88	84.46	97
L _{Ma}	52.69	-62.9	19.95	66.0	162
C _{Ma}	59.61	-27.85	-44.43	52.45	238
V _{Ma}	28.39	22.72	-42.42	48.13	298
M _{Ma}	49.58	71.08	-9.19	71.67	353
N _{Ma}	20.0	0.0	0.0	0.0	0
W _{Ma}	95.0	0.0	0.0	0.0	0
R _{CIE}	39.92	58.74	27.99	65.07	25
J _{CIE}	81.26	-2.88	71.56	71.62	92
G _{CIE}	52.23	-42.41	13.6	44.55	162
B _{CIE}	30.57	1.41	-46.46	46.49	272

Daten für Maximalfarbe (Ma):

$LAB^*LAB^*_{Ma}$: 53 -62 20

$LAB^*LCH^*_{Ma}$: 53 66 162

$lab^*rgb^*_{Ma}$: 0.0 1.0 0.0

$lab^*olv^*_{Ma}$: 0.0 1.0 0.0

Dreiecks-Helligkeit i^*

%Umfang

$u^*_{rel} = 83$

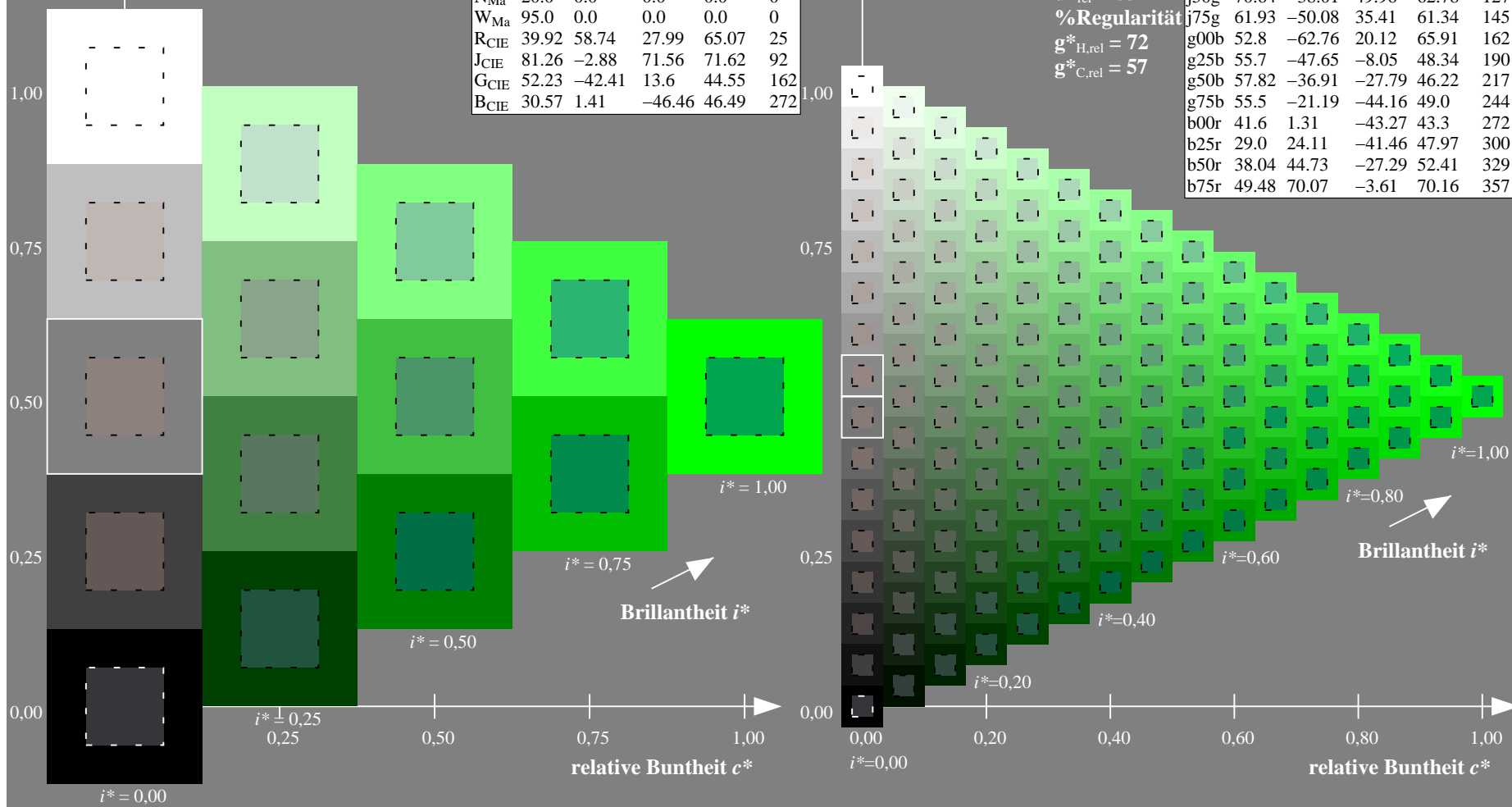
%Regularität

$g^*_{H,rel} = 72$

$g^*_{C,rel} = 57$

ORS20_95a; adaptierte CIELAB-Daten

	$L^*=L^*_a$	a^*_a	b^*_a	$C^*_{ab,a}$	$h^*_{ab,a}$
r00j	48.88	63.91	30.45	70.79	25
r25j	55.85	50.36	45.65	67.97	42
r50j	65.45	33.86	56.12	65.54	59
r75j	75.19	17.13	66.73	68.89	76
j00g	87.03	-3.21	79.64	79.7	92
j25g	80.72	-24.03	66.82	71.01	110
j50g	70.64	-38.01	49.96	62.78	127
j75g	61.93	-50.08	35.41	61.34	145
g00b	52.8	-62.76	20.12	65.91	162
g25b	55.7	-47.65	-8.05	48.34	190
g50b	57.82	-36.91	-27.79	46.22	217
g75b	55.5	-21.19	-44.16	49.0	244
b00r	41.6	1.31	-43.27	43.3	272
b25r	29.0	24.11	-41.46	47.97	300
b50r	38.04	44.73	-27.29	52.41	329
b75r	49.48	70.07	-3.61	70.16	357



Ein und Ausgabe: Farbmetrisches Drucker-Reflektiv-System ORS20_95a für relativen CIELAB-Buntton $h^* = lab^*h^* = h_{ab}/360 = 190/360 = 0.527$

Daten für jede Farbe:

lab^*ch^* und lab^*icu^*

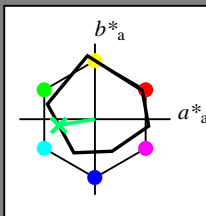
Elementar-Bunttontext:

$u^* = g25b$

Kontrastreduzierungsfaktor:

$c_R = 0.96$

Dreiecks-Helligkeit i^*



ORS20_95a; adaptierte CIELAB-Daten

	$L^*=L^*_a$	a^*_a	b^*_a	$C^*_{ab,a}$	$h^*_{ab,a}$
O _{Ma}	48.75	62.56	37.91	73.15	31
Y _{Ma}	90.92	-9.88	83.88	84.46	97
L _{Ma}	52.69	-62.9	19.95	66.0	162
C _{Ma}	59.61	-27.85	-44.43	52.45	238
V _{Ma}	28.39	22.72	-42.42	48.13	298
M _{Ma}	49.58	71.08	-9.19	71.67	353
N _{Ma}	20.0	0.0	0.0	0.0	0
W _{Ma}	95.0	0.0	0.0	0.0	0
R _{CIE}	39.92	58.74	27.99	65.07	25
J _{CIE}	81.26	-2.88	71.56	71.62	92
G _{CIE}	52.23	-42.41	13.6	44.55	162
B _{CIE}	30.57	1.41	-46.46	46.49	272

Daten für Maximalfarbe (Ma):

$LAB^*LAB^*_{Ma}$: 56 -47 -7

$LAB^*LCH^*_{Ma}$: 56 48 190

$lab^*rgb^*_{Ma}$: 0.0 1.0 0.5

$lab^*olv^*_{Ma}$: 0.0 1.0 0.44

Dreiecks-Helligkeit i^*

%Umfang

$u^*_{rel} = 83$

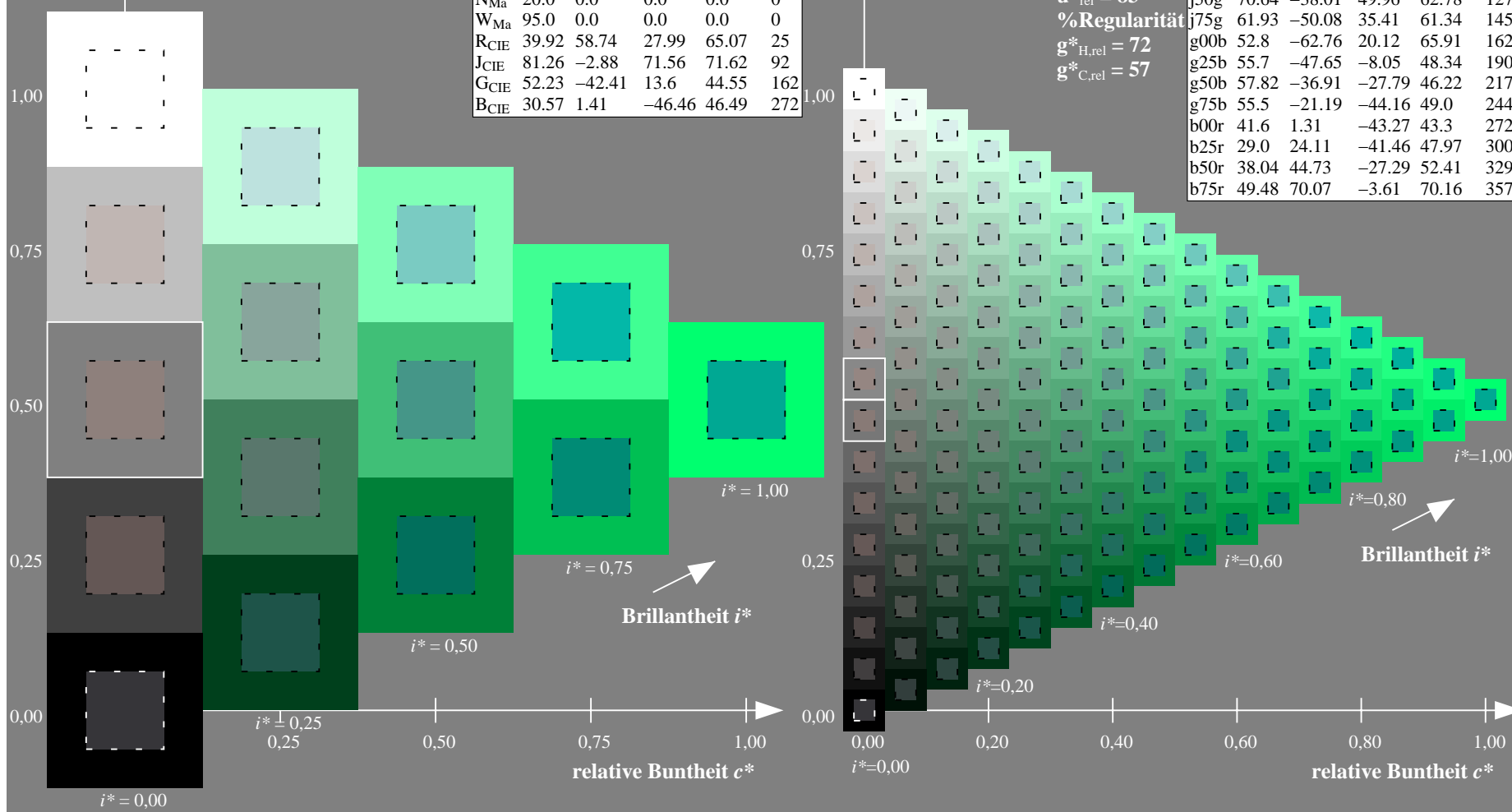
%Regularität

$g^*_{H,rel} = 72$

$g^*_{C,rel} = 57$

ORS20_95a; adaptierte CIELAB-Daten

	$L^*=L^*_a$	a^*_a	b^*_a	$C^*_{ab,a}$	$h^*_{ab,a}$
r00j	48.88	63.91	30.45	70.79	25
r25j	55.85	50.36	45.65	67.97	42
r50j	65.45	33.86	56.12	65.54	59
r75j	75.19	17.13	66.73	68.89	76
j00g	87.03	-3.21	79.64	79.7	92
j25g	80.72	-24.03	66.82	71.01	110
j50g	70.64	-38.01	49.96	62.78	127
j75g	61.93	-50.08	35.41	61.34	145
g00b	52.8	-62.76	20.12	65.91	162
g25b	55.7	-47.65	-8.05	48.34	190
g50b	57.82	-36.91	-27.79	46.22	217
g75b	55.5	-21.19	-44.16	49.0	244
b00r	41.6	1.31	-43.27	43.3	272
b25r	29.0	24.11	-41.46	47.97	300
b50r	38.04	44.73	-27.29	52.41	329
b75r	49.48	70.07	-3.61	70.16	357



Ein und Ausgabe: Farbmimetrisches Drucker-Reflektiv-System ORS20_95a für relativen CIELAB-Buntton $h^* = lab^*h^* = h_{ab}/360 = 244/360 = 0.679$

Daten für jede Farbe:

lab^*ch^* und lab^*icu^*

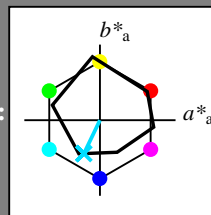
Elementar-Bunttonext:

$u^* = g75b$

Kontrastreduzierungsfaktor:

$c_R = 0.96$

Dreiecks-Helligkeit i^*



ORS20_95a; adaptierte CIELAB-Daten

	$L^*=L^*_a$	a^*_a	b^*_a	$C^*_{ab,a}$	$h^*_{ab,a}$
O _{Ma}	48.75	62.56	37.91	73.15	31
Y _{Ma}	90.92	-9.88	83.88	84.46	97
L _{Ma}	52.69	-62.9	19.95	66.0	162
C _{Ma}	59.61	-27.85	-44.43	52.45	238
V _{Ma}	28.39	22.72	-42.42	48.13	298
M _{Ma}	49.58	71.08	-9.19	71.67	353
N _{Ma}	20.0	0.0	0.0	0.0	0
W _{Ma}	95.0	0.0	0.0	0.0	0
R _{CIE}	39.92	58.74	27.99	65.07	25
J _{CIE}	81.26	-2.88	71.56	71.62	92
G _{CIE}	52.23	-42.41	13.6	44.55	162
B _{CIE}	30.57	1.41	-46.46	46.49	272

Daten für Maximalfarbe (Ma):

$LAB^*LAB^*_{Ma}$: 55 -20 -43

$LAB^*LCH^*_{Ma}$: 55 49 244

$lab^*rgb^*_{Ma}$: 0.0 0.5 1.0

$lab^*olv^*_{Ma}$: 0.0 0.87 1.0

Dreiecks-Helligkeit i^*

%Umfang

$u^*_{rel} = 83$

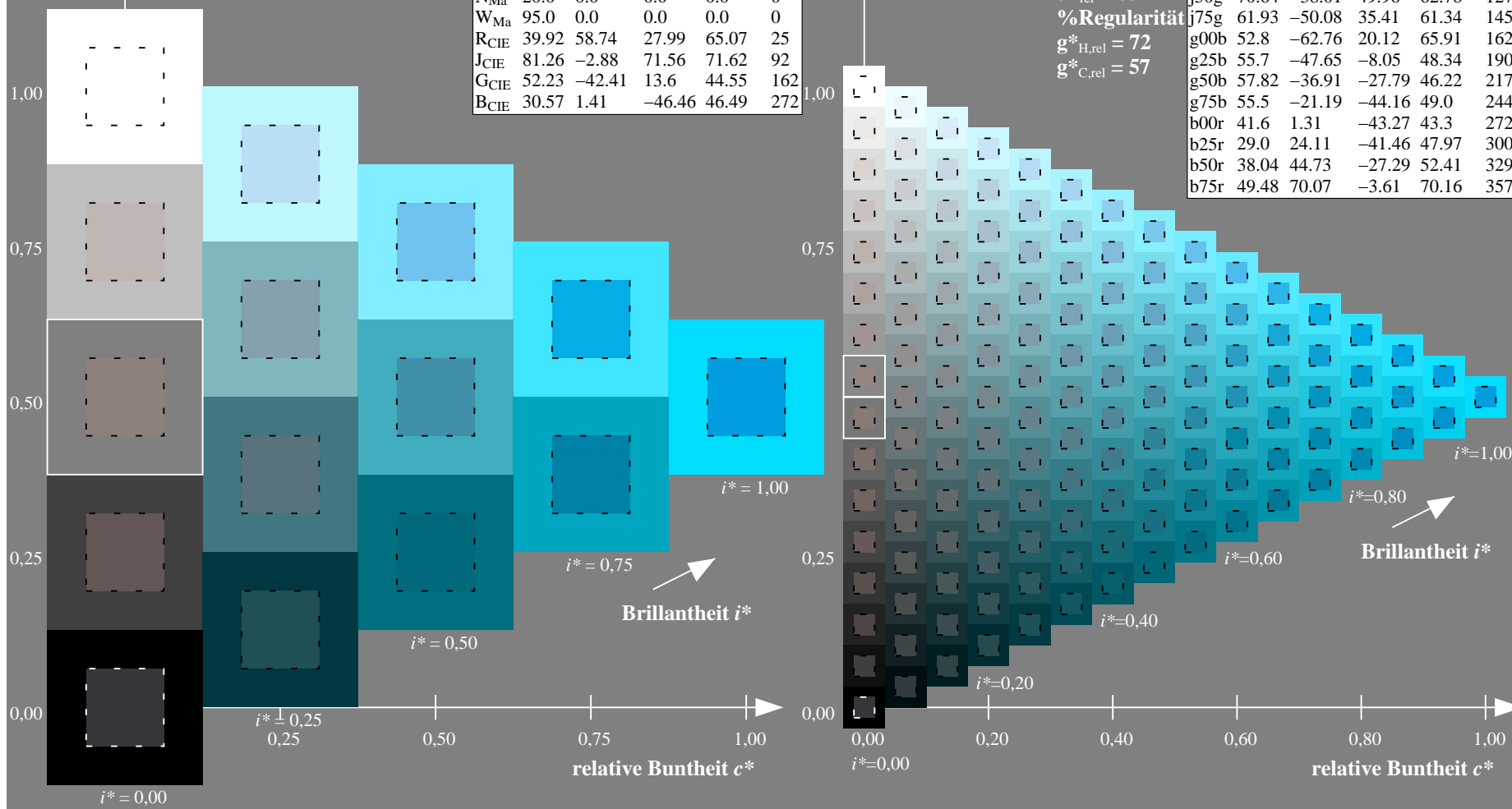
%Regularität

$g^*_{H,rel} = 72$

$g^*_{C,rel} = 57$

ORS20_95a; adaptierte CIELAB-Daten

	$L^*=L^*_a$	a^*_a	b^*_a	$C^*_{ab,a}$	$h^*_{ab,a}$
r00j	48.88	63.91	30.45	70.79	25
r25j	55.85	50.36	45.65	67.97	42
r50j	65.45	33.86	56.12	65.54	59
r75j	75.19	17.13	66.73	68.89	76
j00g	87.03	-3.21	79.64	79.7	92
j25g	80.72	-24.03	66.82	71.01	110
j50g	70.64	-38.01	49.96	62.78	127
j75g	61.93	-50.08	35.41	61.34	145
g00b	52.8	-62.76	20.12	65.91	162
g25b	55.7	-47.65	-8.05	48.34	190
g50b	57.82	-36.91	-27.79	46.22	217
g75b	55.5	-21.19	-44.16	49.0	244
b00r	41.6	1.31	-43.27	43.3	272
b25r	29.0	24.11	-41.46	47.97	300
b50r	38.04	44.73	-27.29	52.41	329
b75r	49.48	70.07	-3.61	70.16	357



Ein und Ausgabe: Farbmétrisches Drucker-Reflektiv-System ORS20_95a für relativen CIELAB-Buntton $h^* = lab^*h^* = h_{ab}/360 = 272/360 = 0.755$

Daten für jede Farbe:

*lab*tch** und *lab*icu**

Elementar-Bunttontext:

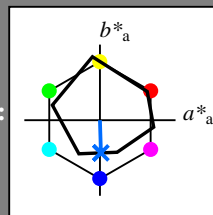
$$u^* = b00r$$

Kontrastreduzierungsfaktor:

 $c_R = 0.96$

Dreiecks-Helligkeit t^*

Breeds Malignant:



ORS20 95a; adaptierte CIELAB-Daten					
	$L^*-\bar{L}^*_a$	a^*_a	b^*_a	$C^*_{ab,a}$	$h^*_{ab,a}$
O _{Ma}	48.75	62.56	37.91	73.15	31
Y _{Ma}	90.92	-9.88	83.88	84.6	97
L _{Ma}	52.69	-62.9	19.95	66.0	162
C _{Ma}	59.61	-27.85	-44.43	52.45	238
V _{Ma}	28.39	22.72	-42.42	48.13	298
M _{Ma}	49.58	71.08	-9.19	71.67	353
N _{Ma}	20.0	0.0	0.0	0.0	0
W _{Ma}	95.0	0.0	0.0	0.0	0
R _{CIE}	39.92	58.74	27.99	65.07	25
J _{CIE}	81.26	-2.88	71.56	71.62	92
G _{CIE}	52.23	-42.41	13.6	44.55	162
B _{CIE}	30.57	1.41	-46.46	46.49	272

Daten für Maximalfarbe (Ma):

LAB*LAB*Mo: 42 1 -42

LAD*LGH* 42 42 252

LAB*LCH*Ma: 42 43 21

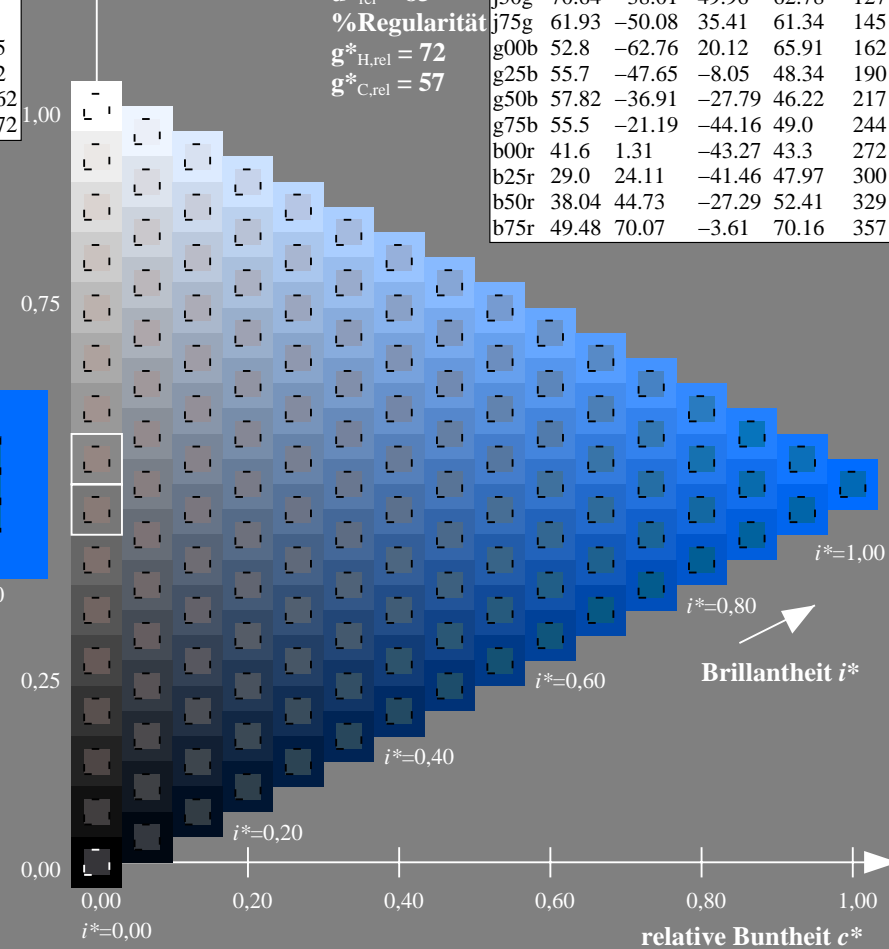
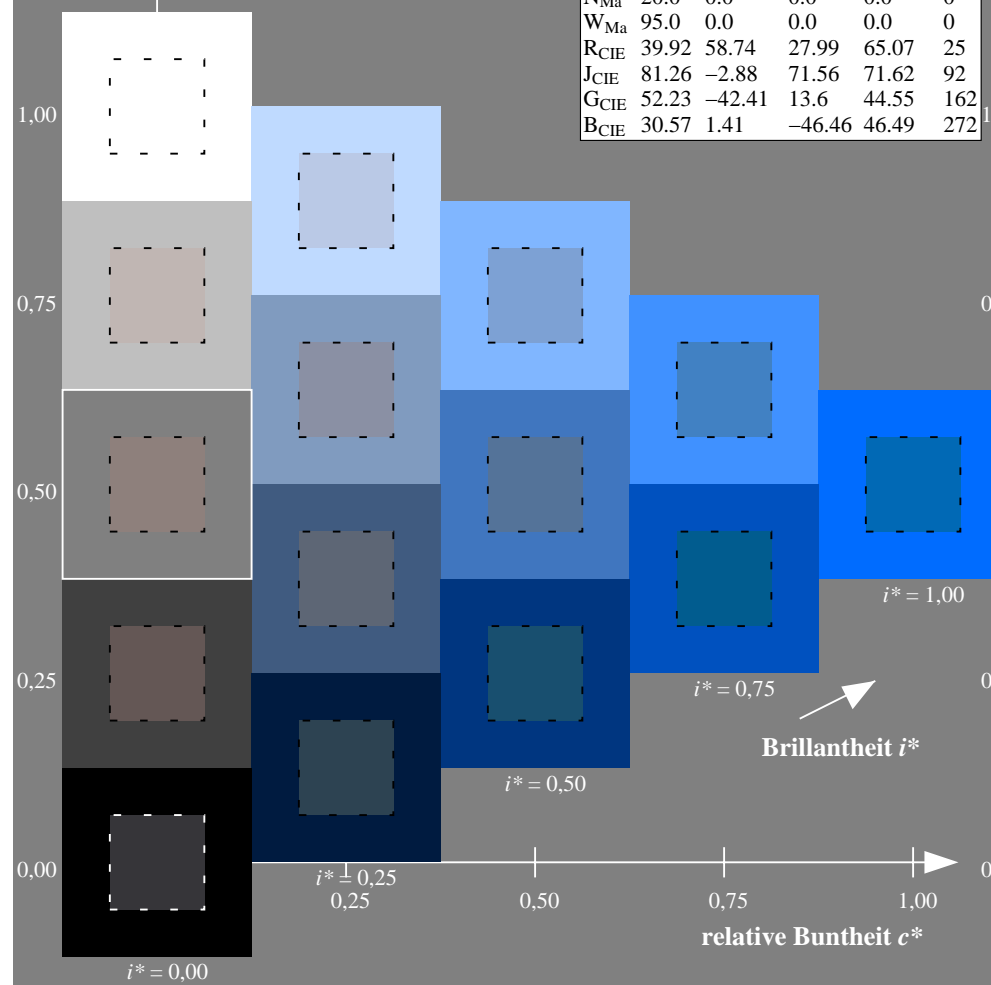
*lab*rgb*_Ma: 0.0 0.0 1.0*

*lab*olv**Ma: 0.0 0.42 1.0

Dreiecks-Helligkeit t^*

Directs Attention:

ORS20_95a; adaptierte CIELAB-Daten						
	L^*_a	a^*_a	b^*_a	$C^*_{ab,a}$	$h^*_{ab,a}$	
r00j	48.88	63.91	30.45	70.79	25.00	100
r25j	55.85	50.36	45.65	67.97	42.00	92
r50j	65.45	33.86	56.12	65.54	59.00	86
r75j	75.19	17.13	66.73	68.89	76.00	79
j00g	87.03	-3.21	79.64	79.7	92.00	92
j25g	80.72	-24.03	66.82	71.01	110.00	110
j50g	70.64	-38.01	49.96	62.78	127.00	127
j75g	61.93	-50.08	35.41	61.34	145.00	145
g00b	52.8	-62.76	20.12	65.91	162.00	162
g25b	55.7	-47.65	-8.05	48.34	190.00	190
g50b	57.82	-36.91	-27.79	46.22	217.00	217
g75b	55.5	-21.19	-44.16	49.0	244.00	244
b00r	41.6	1.31	-43.27	43.3	272.00	272
b25r	29.0	24.11	-41.46	47.97	300.00	300
b50r	38.04	44.73	-27.29	52.41	329.00	329
b75r	49.48	70.07	-3.61	70.16	357.00	357



Ein und Ausgabe: Farbmetrisches Drucker-Reflektiv-System ORS20_95a für relativen CIELAB-Buntton $h^* = lab^*h^* = h_{ab}/360 = 300/360 = 0.834$

Daten für jede Farbe:

lab^*ch^* und lab^*icu^*

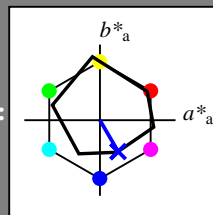
Elementar-Bunttontext:

$u^* = b25r$

Kontrastreduzierungsfaktor:

$c_R = 0.96$

Dreiecks-Helligkeit t^*



ORS20_95a; adaptierte CIELAB-Daten

	$L^*=L_a^*$	a_a^*	b_a^*	$C_{ab,a}^*$	$h_{ab,a}^*$
O _{Ma}	48.75	62.56	37.91	73.15	31
Y _{Ma}	90.92	-9.88	83.88	84.46	97
L _{Ma}	52.69	-62.9	19.95	66.0	162
C _{Ma}	59.61	-27.85	-44.43	52.45	238
V _{Ma}	28.39	22.72	-42.42	48.13	298
M _{Ma}	49.58	71.08	-9.19	71.67	353
N _{Ma}	20.0	0.0	0.0	0.0	0
W _{Ma}	95.0	0.0	0.0	0.0	0
R _{CIE}	39.92	58.74	27.99	65.07	25
J _{CIE}	81.26	-2.88	71.56	71.62	92
G _{CIE}	52.23	-42.41	13.6	44.55	162
B _{CIE}	30.57	1.41	-46.46	46.49	272

Daten für Maximalfarbe (Ma):

LAB^*LAB^*Ma : 29 24 -40

LAB^*LCH^*Ma : 29 48 300

lab^*rgb^*Ma : 0.5 0.0 1.0

lab^*olv^*Ma : 0.03 0.0 1.0

Dreiecks-Helligkeit t^*

%Umfang

$u^*_{rel} = 83$

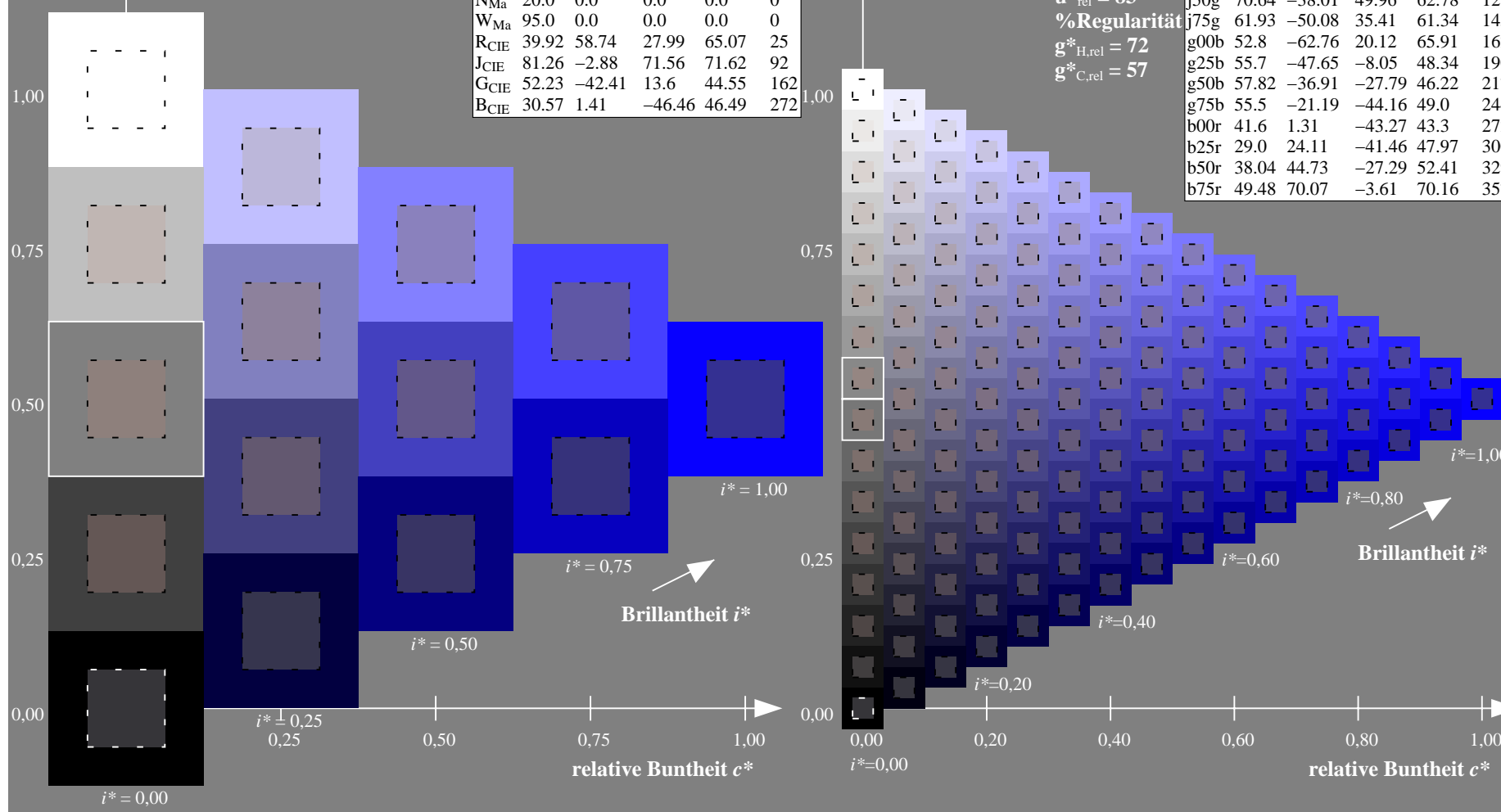
%Regularität

$g^*_{H,rel} = 72$

$g^*_{C,rel} = 57$

ORS20_95a; adaptierte CIELAB-Daten

	$L^*=L_a^*$	a_a^*	b_a^*	$C_{ab,a}^*$	$h_{ab,a}^*$
r00j	48.88	63.91	30.45	70.79	25
r25j	55.85	50.36	45.65	67.97	42
r50j	65.45	33.86	56.12	65.54	59
r75j	75.19	17.13	66.73	68.89	76
j00g	87.03	-3.21	79.64	79.7	92
j25g	80.72	-24.03	66.82	71.01	110
j50g	70.64	-38.01	49.96	62.78	127
j75g	61.93	-50.08	35.41	61.34	145
g00b	52.8	-62.76	20.12	65.91	162
g25b	55.7	-47.65	-8.05	48.34	190
g50b	57.82	-36.91	-27.79	46.22	217
g75b	55.5	-21.19	-44.16	49.0	244
b00r	41.6	1.31	-43.27	43.3	272
b25r	29.0	24.11	-41.46	47.97	300
b50r	38.04	44.73	-27.29	52.41	329
b75r	49.48	70.07	-3.61	70.16	357



Ein und Ausgabe: Farbmetrisches Drucker-Reflektiv-System ORS20_95a für relativen CIELAB-Buntton $h^* = lab^*h^* = h_{ab}/360 = 329/360 = 0.913$

Daten für jede Farbe:

lab^*ch^* und lab^*icu^*

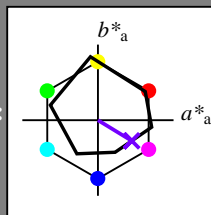
Elementar-Bunttontext:

$u^* = b50r$

Kontrastreduzierungsfaktor:

$c_R = 0.96$

Dreiecks-Helligkeit t^*



ORS20_95a; adaptierte CIELAB-Daten

	$L^*=L_a^*$	a_a^*	b_a^*	$C_{ab,a}^*$	$h_{ab,a}^*$
O _{Ma}	48.75	62.56	37.91	73.15	31
Y _{Ma}	90.92	-9.88	83.88	84.46	97
L _{Ma}	52.69	-62.9	19.95	66.0	162
C _{Ma}	59.61	-27.85	-44.43	52.45	238
V _{Ma}	28.39	22.72	-42.42	48.13	298
M _{Ma}	49.58	71.08	-9.19	71.67	353
N _{Ma}	20.0	0.0	0.0	0.0	0
W _{Ma}	95.0	0.0	0.0	0.0	0
R _{CIE}	39.92	58.74	27.99	65.07	25
J _{CIE}	81.26	-2.88	71.56	71.62	92
G _{CIE}	52.23	-42.41	13.6	44.55	162
B _{CIE}	30.57	1.41	-46.46	46.49	272

Daten für Maximalfarbe (Ma):

$LAB^*LAB^*_{Ma}$: 38 45 -26

$LAB^*LCH^*_{Ma}$: 38 52 329

$lab^*rgb^*_{Ma}$: 1.0 0.0 1.0

$lab^*olv^*_{Ma}$: 0.46 0.0 1.0

Dreiecks-Helligkeit t^*

%Umfang

$u^*_{rel} = 83$

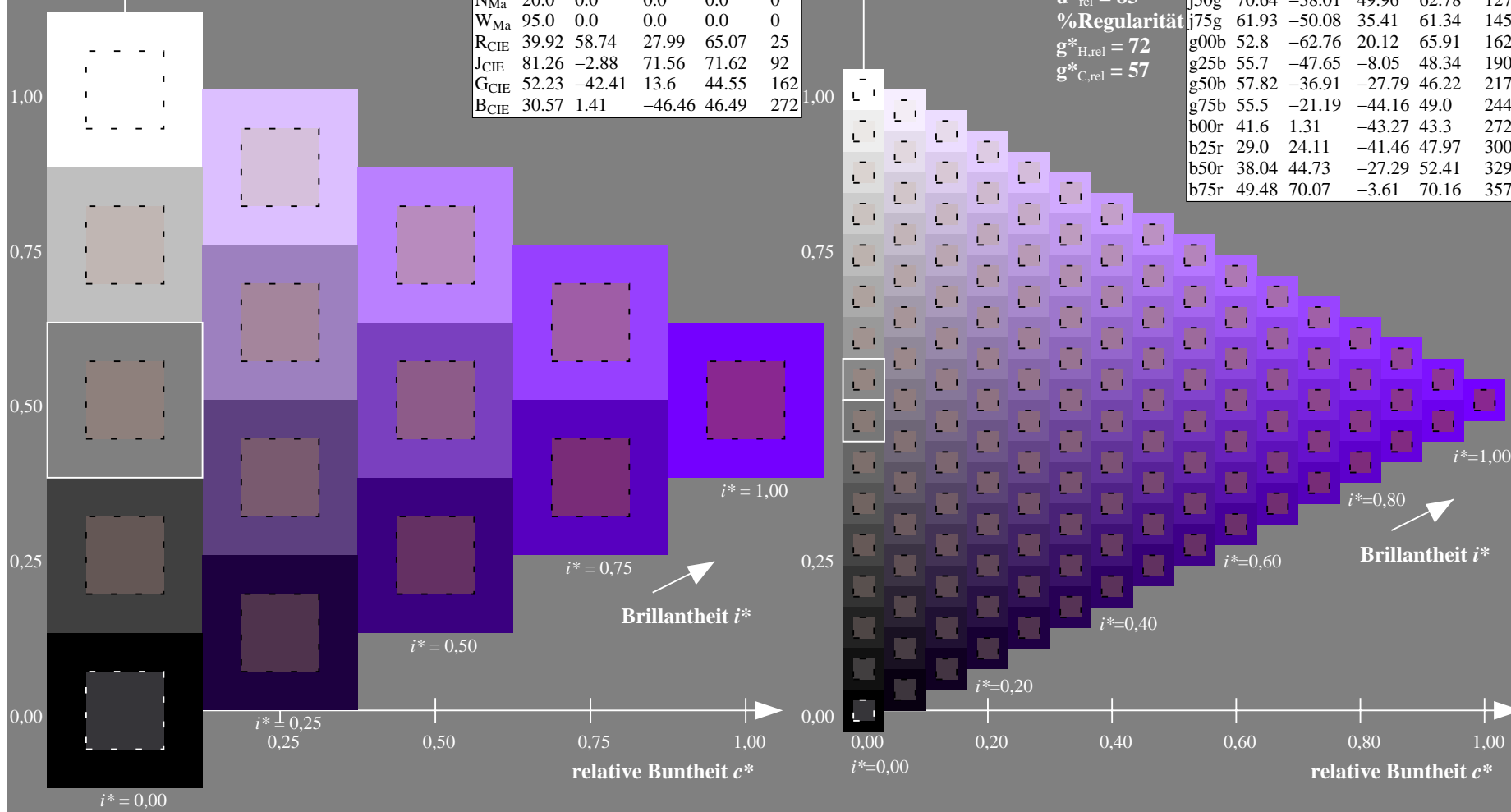
%Regularität

$g^*_{H,rel} = 72$

$g^*_{C,rel} = 57$

ORS20_95a; adaptierte CIELAB-Daten

	$L^*=L_a^*$	a_a^*	b_a^*	$C_{ab,a}^*$	$h_{ab,a}^*$
r00j	48.88	63.91	30.45	70.79	25
r25j	55.85	50.36	45.65	67.97	42
r50j	65.45	33.86	56.12	65.54	59
r75j	75.19	17.13	66.73	68.89	76
j00g	87.03	-3.21	79.64	79.7	92
j25g	80.72	-24.03	66.82	71.01	110
j50g	70.64	-38.01	49.96	62.78	127
j75g	61.93	-50.08	35.41	61.34	145
g00b	52.8	-62.76	20.12	65.91	162
g25b	55.7	-47.65	-8.05	48.34	190
g50b	57.82	-36.91	-27.79	46.22	217
g75b	55.5	-21.19	-44.16	49.0	244
b00r	41.6	1.31	-43.27	43.3	272
b25r	29.0	24.11	-41.46	47.97	300
b50r	38.04	44.73	-27.29	52.41	329
b75r	49.48	70.07	-3.61	70.16	357



Ein und Ausgabe: Farbmimetrisches Drucker-Reflektiv-System ORS20_95a für relativen CIELAB-Buntton $h^* = lab^*h^* = h_{ab}/360 = 357/360 = 0.992$

Daten für jede Farbe:

lab^*ch^* und lab^*icu^*

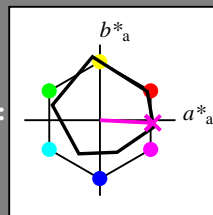
Elementar-Bunttonext:

$u^* = b75r$

Kontrastreduzierungsfaktor:

$c_R = 0.96$

Dreiecks-Helligkeit i^*



ORS20_95a; adaptierte CIELAB-Daten

	$L^*=L^*_a$	a^*_a	b^*_a	$C^*_{ab,a}$	$h^*_{ab,a}$
O _{Ma}	48.75	62.56	37.91	73.15	31
Y _{Ma}	90.92	-9.88	83.88	84.46	97
L _{Ma}	52.69	-62.9	19.95	66.0	162
C _{Ma}	59.61	-27.85	-44.43	52.45	238
V _{Ma}	28.39	22.72	-42.42	48.13	298
M _{Ma}	49.58	71.08	-9.19	71.67	353
N _{Ma}	20.0	0.0	0.0	0.0	0
W _{Ma}	95.0	0.0	0.0	0.0	0
R _{CIE}	39.92	58.74	27.99	65.07	25
J _{CIE}	81.26	-2.88	71.56	71.62	92
G _{CIE}	52.23	-42.41	13.6	44.55	162
B _{CIE}	30.57	1.41	-46.46	46.49	272

Daten für Maximalfarbe (Ma):

$LAB^*LAB^*_{Ma}$: 49 70 -3

$LAB^*LCH^*_{Ma}$: 49 70 357

$lab^*rgb^*_{Ma}$: 1.0 0.0 0.5

$lab^*olv^*_{Ma}$: 1.0 0.0 0.88

Dreiecks-Helligkeit i^*

%Umfang

$u^*_{rel} = 83$

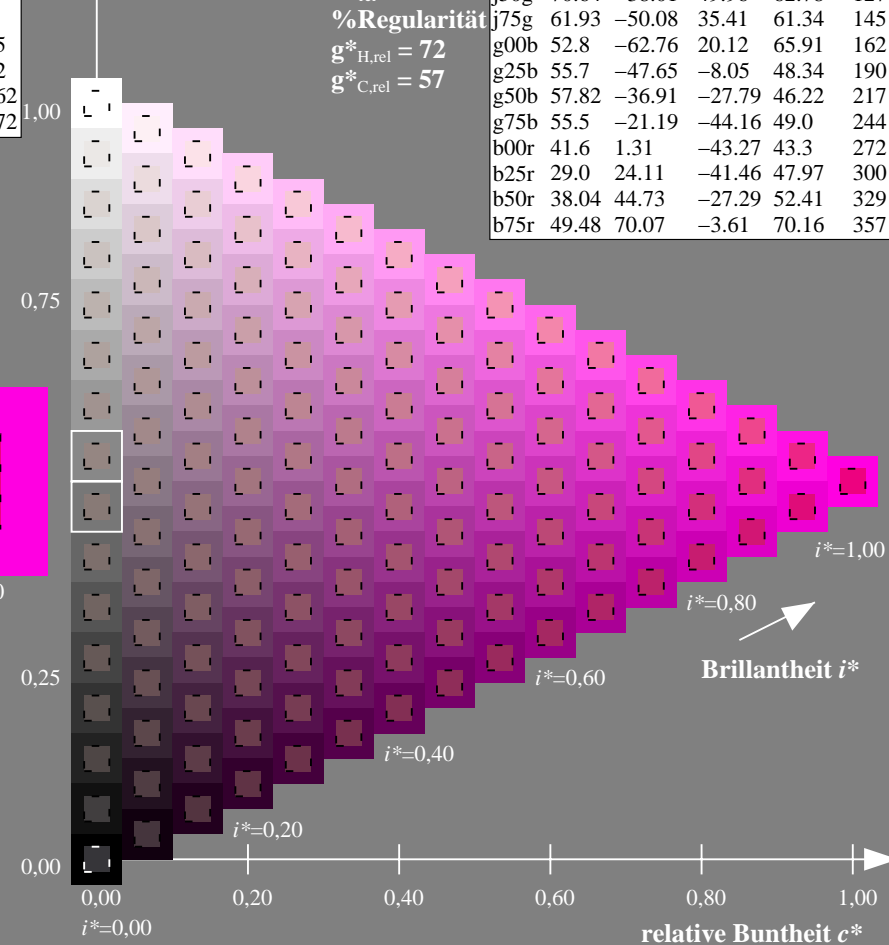
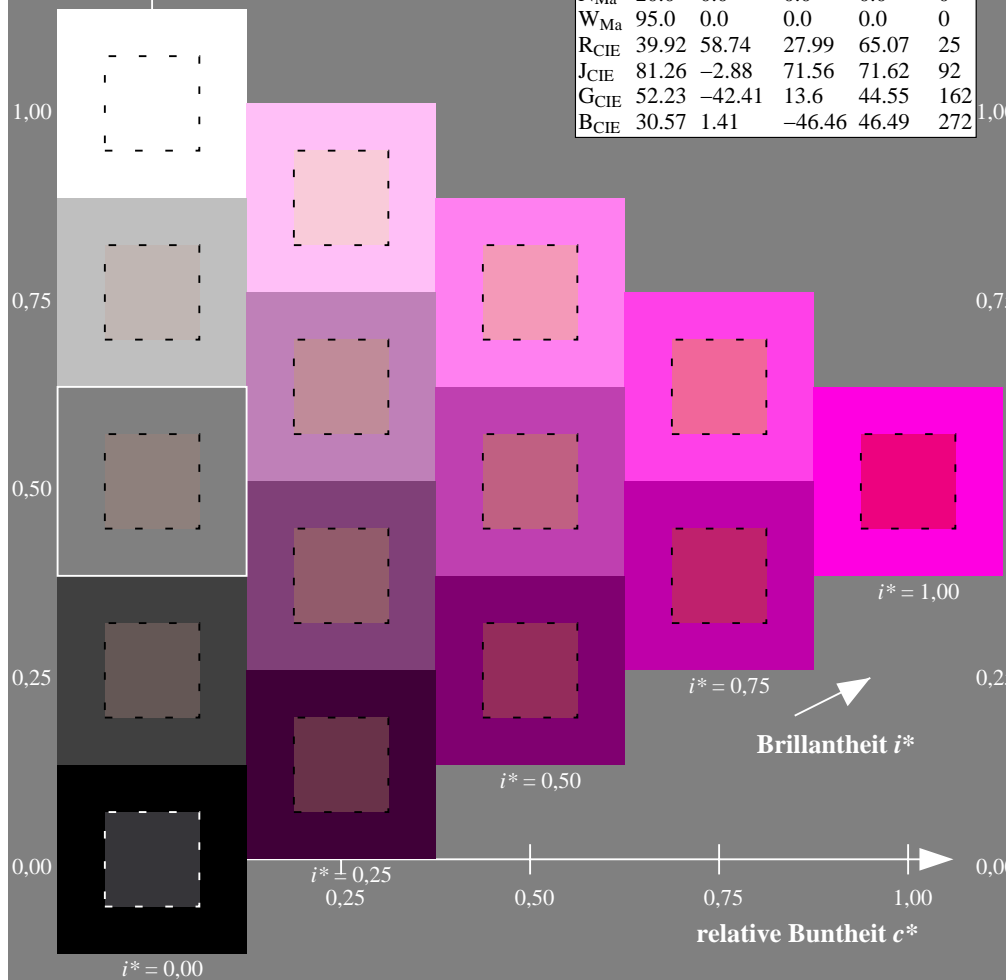
%Regularität

$g^*_{H,rel} = 72$

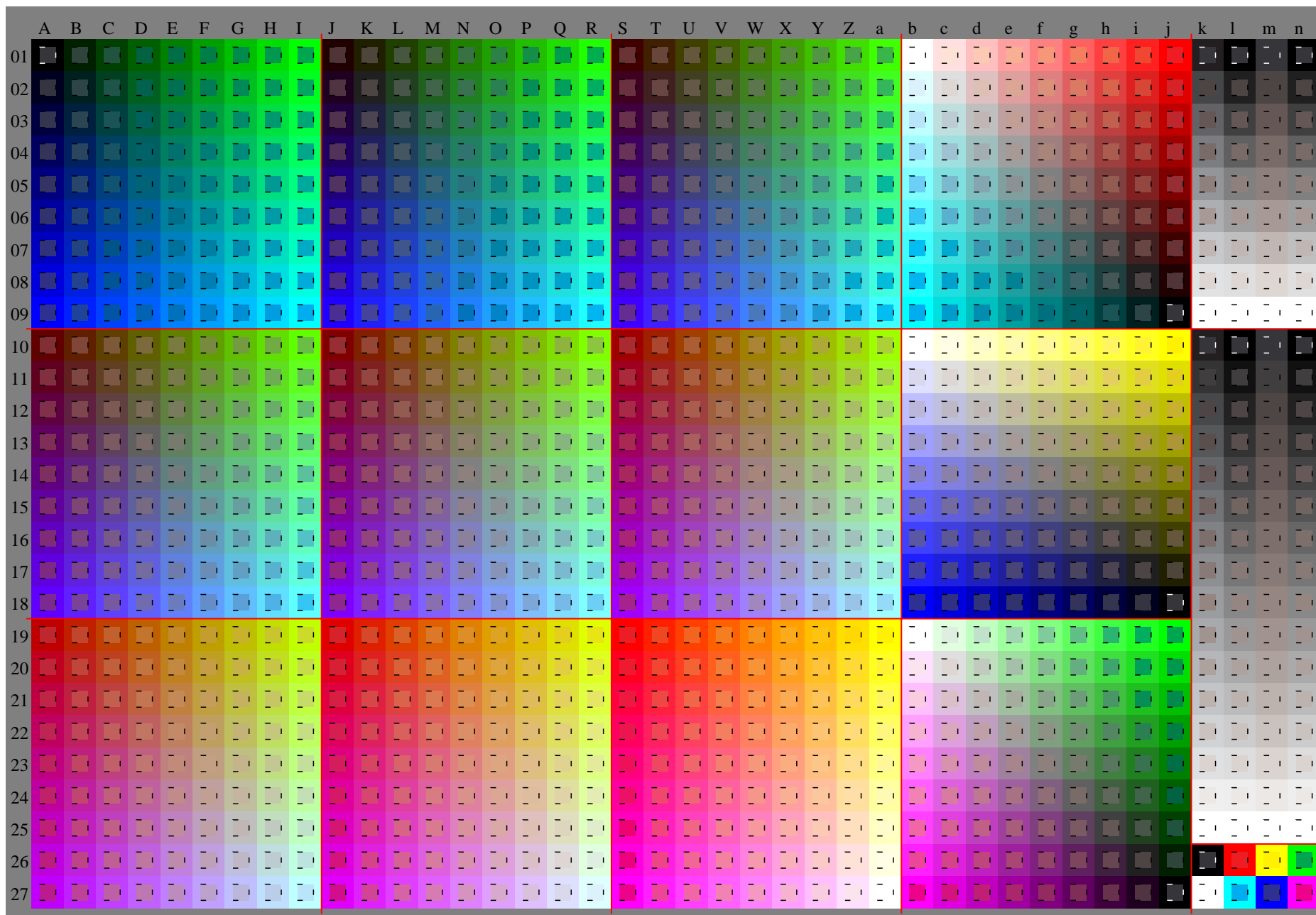
$g^*_{C,rel} = 57$

ORS20_95a; adaptierte CIELAB-Daten

	$L^*=L^*_a$	a^*_a	b^*_a	$C^*_{ab,a}$	$h^*_{ab,a}$
r00j	48.88	63.91	30.45	70.79	25
r25j	55.85	50.36	45.65	67.97	42
r50j	65.45	33.86	56.12	65.54	59
r75j	75.19	17.13	66.73	68.89	76
j00g	87.03	-3.21	79.64	79.7	92
j25g	80.72	-24.03	66.82	71.01	110
j50g	70.64	-38.01	49.96	62.78	127
j75g	61.93	-50.08	35.41	61.34	145
g00b	52.8	-62.76	20.12	65.91	162
g25b	55.7	-47.65	-8.05	48.34	190
g50b	57.82	-36.91	-27.79	46.22	217
g75b	55.5	-21.19	-44.16	49.0	244
b00r	41.6	1.31	-43.27	43.3	272
b25r	29.0	24.11	-41.46	47.97	300
b50r	38.04	44.73	-27.29	52.41	329
b75r	49.48	70.07	-3.61	70.16	357

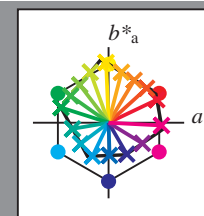


Siehe ähnliche Dateien: <http://www.ps.bam.de/Dg73/>; www.ps.bam.de/Dg73/HTM
Technische Information: <http://www.ps.bam.de> Version 2.1, io=1,1, ColSpx=1



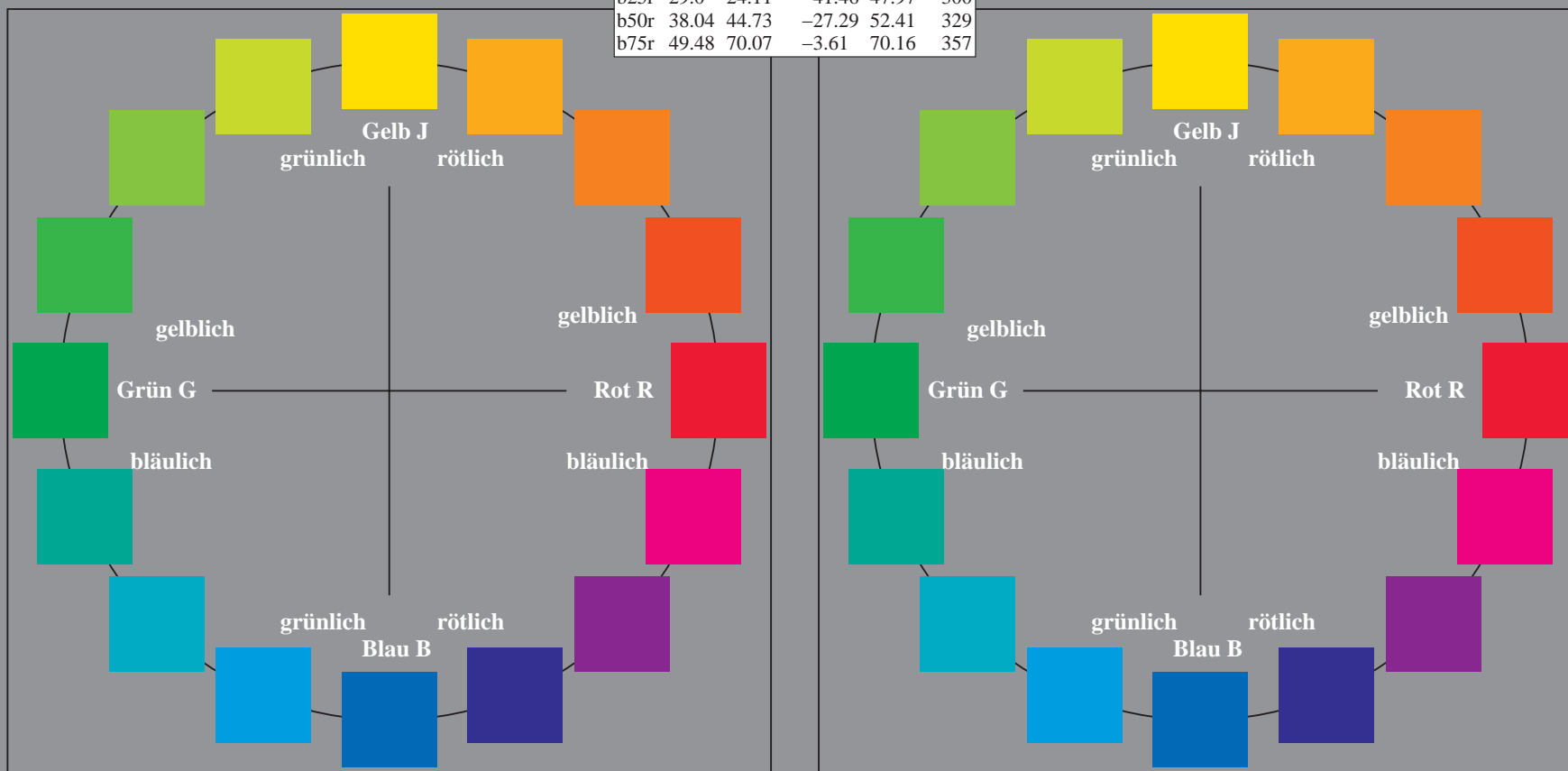
Ein und Ausgabe:
Farbmetrisches Drucker-Reflektiv-System ORS20_95a
Daten für jede Farbe:
 $lab^{*}ch^{*}$ und $lab^{*}icu^{*}$
Elementar-Bunttontext:
 $u^{*} = 16$ Bunttöne $r00j$, $r25j$, ..., $b75r$
Kontrastreduzierungsfaktor:
 $c_R = 0.96$

ORS20_95a; adaptierte CIELAB-Daten					
	$L^{*}=L^{*}_a$	a^{*}_a	b^{*}_a	$C^{*}_{ab,a}$	$h^{*}_{ab,a}$
r00j	48.88	63.91	30.45	70.79	25
r25j	55.85	50.36	45.65	67.97	42
r50j	65.45	33.86	56.12	65.54	59
r75j	75.19	17.13	66.73	68.89	76
j00g	87.03	-3.21	79.64	79.7	92
j25g	80.72	-24.03	66.82	71.01	110
j50g	70.64	-38.01	49.96	62.78	127
j75g	61.93	-50.08	35.41	61.34	145
g00b	52.8	-62.76	20.12	65.91	162
g25b	55.7	-47.65	-8.05	48.34	190
g50b	57.82	-36.91	-27.79	46.22	217
g75b	55.5	-21.19	-44.16	49.0	244
b00r	41.6	1.31	-43.27	43.3	272
b25r	29.0	24.11	-41.46	47.97	300
b50r	38.04	44.73	-27.29	52.41	329
b75r	49.48	70.07	-3.61	70.16	357



%Umfang
 $u^{*}_{rel} = 83$
%Regularität
 $g^{*}_{H,rel} = 72$
 $g^{*}_{C,rel} = 57$

ORS20_95a; adaptierte CIELAB-Daten					
	$L^{*}=L^{*}_a$	a^{*}_a	b^{*}_a	$C^{*}_{ab,a}$	$h^{*}_{ab,a}$
O _{Ma}	48.75	62.56	37.91	73.15	31
Y _{Ma}	90.92	-9.88	83.88	84.46	97
L _{Ma}	52.69	-62.9	19.95	66.0	162
C _{Ma}	59.61	-27.85	-44.43	52.45	238
V _{Ma}	28.39	22.72	-42.42	48.13	298
M _{Ma}	49.58	71.08	-9.19	71.67	353
N _{Ma}	20.0	0.0	0.0	0.0	0
W _{Ma}	95.0	0.0	0.0	0.0	0
R _{CIE}	39.92	58.74	27.99	65.07	25
J _{CIE}	81.26	-2.88	71.56	71.62	92
G _{CIE}	52.23	-42.41	13.6	44.55	162
B _{CIE}	30.57	1.41	-46.46	46.49	272



Ein und Ausgabe: Farbmétrisches Drucker-Reflektiv-System ORS20_95a für relativen CIELAB-Buntton $h^* = lab^*h^* = h_{ab}/360 = 25/360 = 0.071$

Daten für jede Farbe:

lab^*tch^* und lab^*icu^*

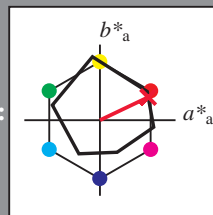
Elementar-Bunttonext:

$u^* = r00j$

Kontrastreduzierungsfaktor:

$c_R = 0.96$

Dreiecks-Helligkeit t^*



ORS20_95a; adaptierte CIELAB-Daten

	$L^*=L_a^*$	a_a^*	b_a^*	$C_{ab,a}^*$	$h_{ab,a}^*$
O _{Ma}	48.75	62.56	37.91	73.15	31
Y _{Ma}	90.92	-9.88	83.88	84.46	97
L _{Ma}	52.69	-62.9	19.95	66.0	162
C _{Ma}	59.61	-27.85	-44.43	52.45	238
V _{Ma}	28.39	22.72	-42.42	48.13	298
M _{Ma}	49.58	71.08	-9.19	71.67	353
N _{Ma}	20.0	0.0	0.0	0.0	0
W _{Ma}	95.0	0.0	0.0	0.0	0
R _{CIE}	39.92	58.74	27.99	65.07	25
J _{CIE}	81.26	-2.88	71.56	71.62	92
G _{CIE}	52.23	-42.41	13.6	44.55	162
B _{CIE}	30.57	1.41	-46.46	46.49	272

Daten für Maximalfarbe (Ma):

LAB^*LAB^*Ma : 49 64 30

LAB^*LCH^*Ma : 49 71 25

lab^*rgb^*Ma : 1.0 0.0 0.0

lab^*olv^*Ma : 1.0 0.0 0.16

Dreiecks-Helligkeit t^*

ORS20_95a; adaptierte CIELAB-Daten

	$L^*=L_a^*$	a_a^*	b_a^*	$C_{ab,a}^*$	$h_{ab,a}^*$
r00j	48.88	63.91	30.45	70.79	25
r25j	55.85	50.36	45.65	67.97	42
r50j	65.45	33.86	56.12	65.54	59
r75j	75.19	17.13	66.73	68.89	76
j00g	87.03	-3.21	79.64	79.7	92
j25g	80.72	-24.03	66.82	71.01	110
j50g	70.64	-38.01	49.96	62.78	127
j75g	61.93	-50.08	35.41	61.34	145
g00b	52.8	-62.76	20.12	65.91	162
g25b	55.7	-47.65	-8.05	48.34	190
g50b	57.82	-36.91	-27.79	46.22	217
g75b	55.5	-21.19	-44.16	49.0	244
b00r	41.6	1.31	-43.27	43.3	272
b25r	29.0	24.11	-41.46	47.97	300
b50r	38.04	44.73	-27.29	52.41	329
b75r	49.48	70.07	-3.61	70.16	357

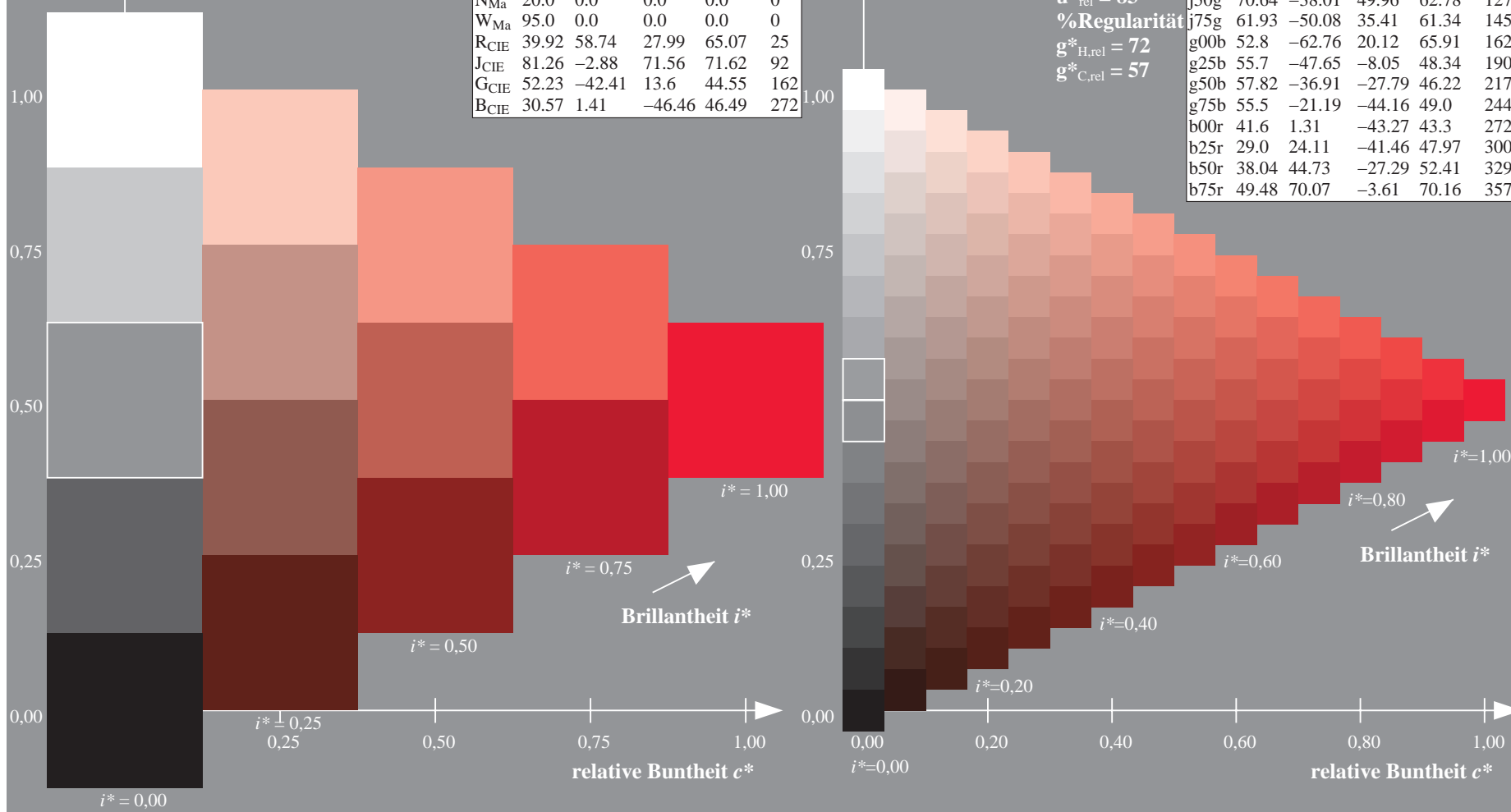
%Umfang

$u^*_{rel} = 83$

%Regularität

$g^*_{H,rel} = 72$

$g^*_{C,rel} = 57$



Daten für jede Farbe:

*lab*tch** und *lab*icu**

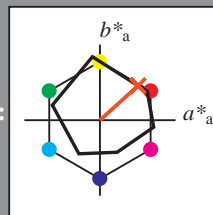
Elementar-Bunttontext:

$$u^* = r25j$$

Kontrastreduzierungsfaktor:

 $c_P = 0.96$

Dreiecks-Helligkeit t^*



ORS20 95a; adaptierte CIELAB-Daten					
	L^*_{a*}	a^*_{a*}	b^*_{a*}	$C^*_{ab,a*}$	$h^*_{ab,a*}$
O _{Ma}	48.75	62.56	37.91	73.15	31
Y _{Ma}	90.92	-9.88	83.88	84.6	97
L _{Ma}	52.69	-62.9	19.95	66.0	162
C _{Ma}	59.61	-27.85	-44.43	52.45	238
V _{Ma}	28.39	22.72	-42.42	48.13	298
M _{Ma}	49.58	71.08	-9.19	71.67	353
N _{Ma}	20.0	0.0	0.0	0.0	0
W _{Ma}	95.0	0.0	0.0	0.0	0
R _{CIE}	39.92	58.74	27.99	65.07	25
J _{CIE}	81.26	-2.88	71.56	71.62	92
G _{CIE}	52.23	-42.41	13.6	44.55	162
B _{CIE}	30.57	1.41	-46.46	46.49	272

Daten für Maximalfarbe (Ma):

*LAB*LAB*Me*: 56 50 46

LAD*LCII* 56 68 42

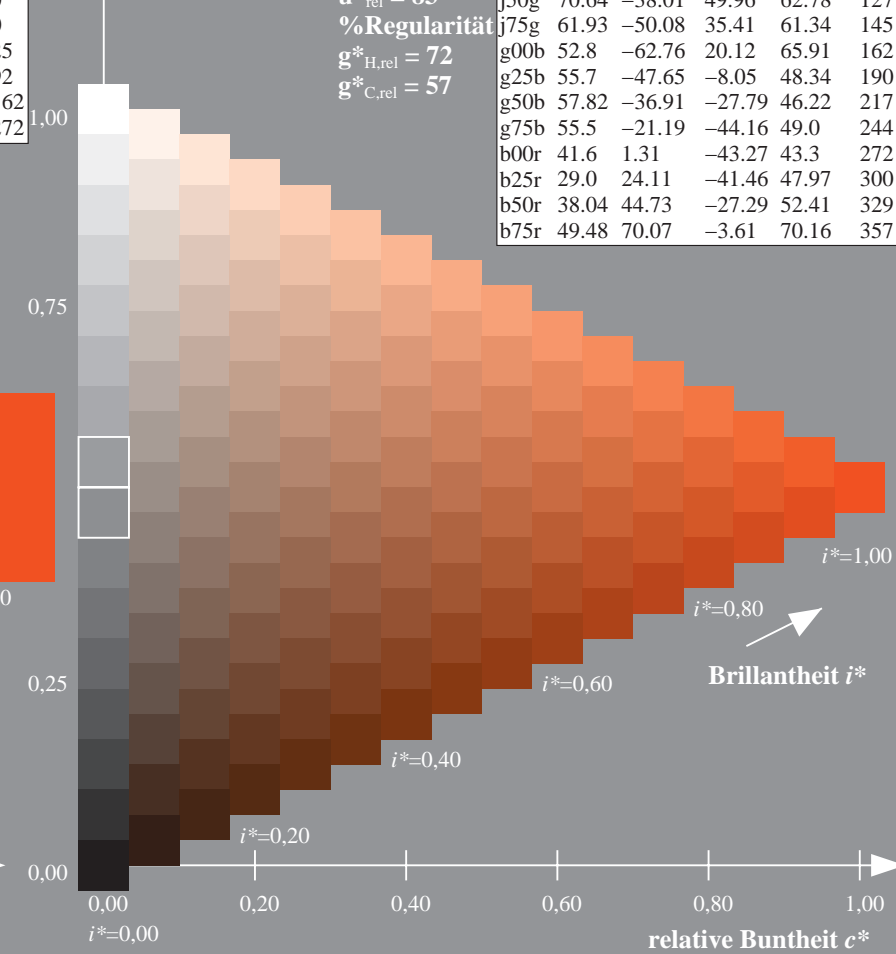
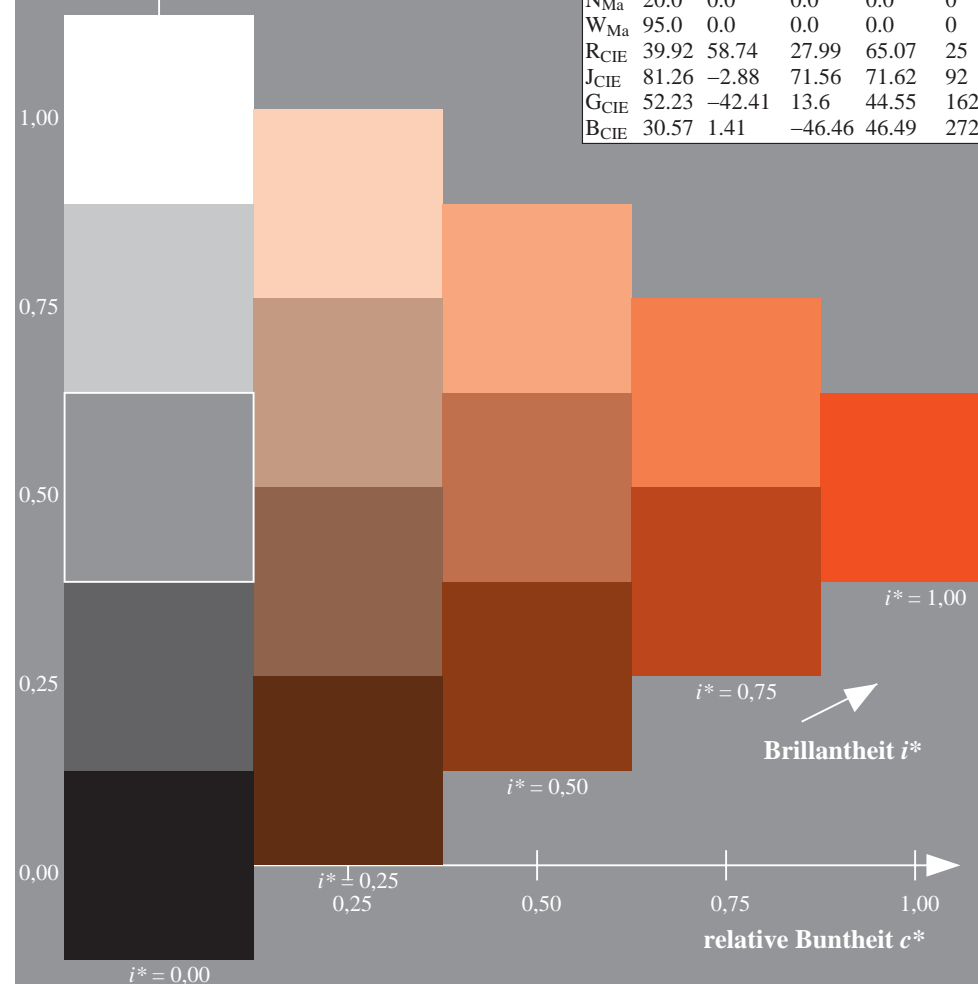
LABLCH**_{Ma}: 56 68 42**

*lab*rgb*_Ma: 1.0 0.25 0.0*

*lab*olv**Ma: 1.0 0.17 0.0

Dreiecks-Helligkeit t^*

ORS20_95a; adaptierte CIELAB-Daten					
	L^*_a	a^*_a	b^*_a	$C^*_{ab,a}$	$h^*_{ab,a}$
r00j	48.88	63.91	30.45	70.79	25
r25j	55.85	50.36	45.65	67.97	42
r50j	65.45	33.86	56.12	65.54	59
r75j	75.19	17.13	66.73	68.89	76
j00g	87.03	-3.21	79.64	79.7	92
j25g	80.72	-24.03	66.82	71.01	110
j50g	70.64	-38.01	49.96	62.78	127
j75g	61.93	-50.08	35.41	61.34	145
g00b	52.8	-62.76	20.12	65.91	162
g25b	55.7	-47.65	-8.05	48.34	190
g50b	57.82	-36.91	-27.79	46.22	217
g75b	55.5	-21.19	-44.16	49.0	244
b00r	41.6	1.31	-43.27	43.3	272
b25r	29.0	24.11	-41.46	47.97	300
b50r	38.04	44.73	-27.29	52.41	329
b75r	49.48	70.07	-3.61	70.16	357



Ein und Ausgabe: Farbmatisches Drucker-Reflektiv-System ORS20_95a für relativen CIELAB-Buntton $h^* = lab^*h^* = h_{ab}/360 = 59/360 = 0.164$

Daten für jede Farbe:

lab^*ch^* und lab^*icu^*

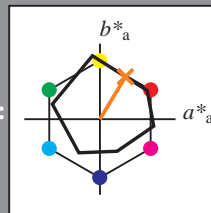
Elementar-Bunttonext:

$u^* = r50j$

Kontrastreduzierungsfaktor:

$c_R = 0.96$

Dreiecks-Helligkeit t^*



ORS20_95a; adaptierte CIELAB-Daten

	$L^*=L_a^*$	a_a^*	b_a^*	$C_{ab,a}^*$	$h_{ab,a}^*$
O _{Ma}	48.75	62.56	37.91	73.15	31
Y _{Ma}	90.92	-9.88	83.88	84.46	97
L _{Ma}	52.69	-62.9	19.95	66.0	162
C _{Ma}	59.61	-27.85	-44.43	52.45	238
V _{Ma}	28.39	22.72	-42.42	48.13	298
M _{Ma}	49.58	71.08	-9.19	71.67	353
N _{Ma}	20.0	0.0	0.0	0.0	0
W _{Ma}	95.0	0.0	0.0	0.0	0
R _{CIE}	39.92	58.74	27.99	65.07	25
J _{CIE}	81.26	-2.88	71.56	71.62	92
G _{CIE}	52.23	-42.41	13.6	44.55	162
B _{CIE}	30.57	1.41	-46.46	46.49	272

Daten für Maximalfarbe (Ma):

LAB^*LAB^*Ma : 65 34 56

LAB^*LCH^*Ma : 65 66 59

lab^*rgb^*Ma : 1.0 0.5 0.0

lab^*olv^*Ma : 1.0 0.4 0.0

Dreiecks-Helligkeit t^*

%Umfang

$u^*_{rel} = 83$

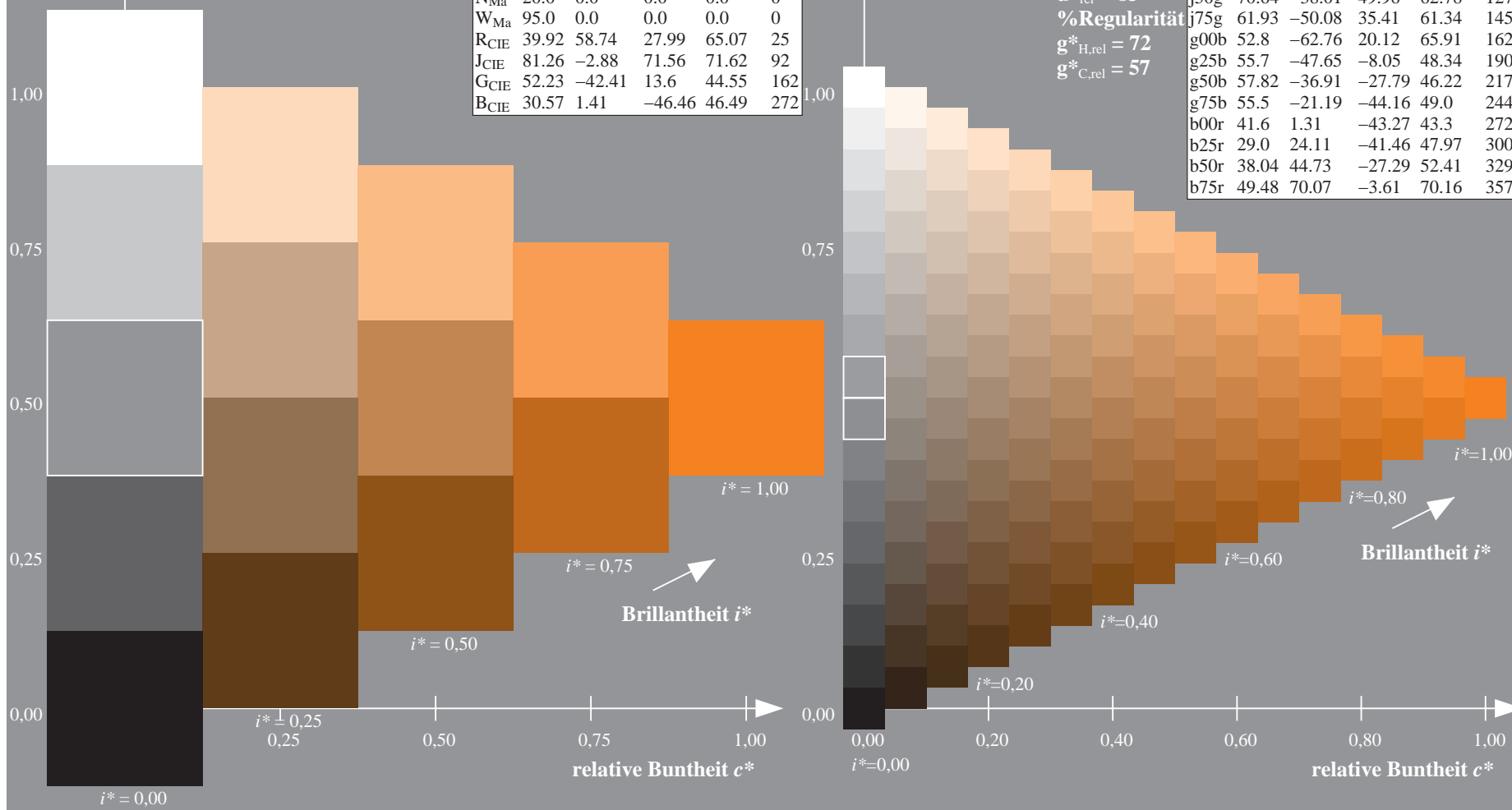
%Regularität

$g^*_{H,rel} = 72$

$g^*_{C,rel} = 57$

ORS20_95a; adaptierte CIELAB-Daten

	$L^*=L_a^*$	a_a^*	b_a^*	$C_{ab,a}^*$	$h_{ab,a}^*$
r00j	48.88	63.91	30.45	70.79	25
r25j	55.85	50.36	45.65	67.97	42
r50j	65.45	33.86	56.12	65.54	59
r75j	75.19	17.13	66.73	68.89	76
j00g	87.03	-3.21	79.64	79.7	92
j25g	80.72	-24.03	66.82	71.01	110
j50g	70.64	-38.01	49.96	62.78	127
j75g	61.93	-50.08	35.41	61.34	145
g00b	52.8	-62.76	20.12	65.91	162
g25b	55.7	-47.65	-8.05	48.34	190
g50b	57.82	-36.91	-27.79	46.22	217
g75b	55.5	-21.19	-44.16	49.0	244
b00r	41.6	1.31	-43.27	43.3	272
b25r	29.0	24.11	-41.46	47.97	300
b50r	38.04	44.73	-27.29	52.41	329
b75r	49.48	70.07	-3.61	70.16	357



Ein und Ausgabe: Farbmetrisches Drucker-Reflektiv-System ORS20_95a für relativen CIELAB-Buntton $h^* = lab^*h^* = h_{ab}/360 = 76/360 = 0.21$

Daten für jede Farbe:

lab^*ch^* und lab^*icu^*

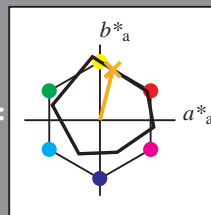
Elementar-Bunttontext:

$u^* = r75j$

Kontrastreduzierungsfaktor:

$c_R = 0.96$

Dreiecks-Helligkeit t^*



ORS20_95a; adaptierte CIELAB-Daten

	$L^*=L_a^*$	a_a^*	b_a^*	$C_{ab,a}^*$	$h_{ab,a}^*$
O _{Ma}	48.75	62.56	37.91	73.15	31
Y _{Ma}	90.92	-9.88	83.88	84.46	97
L _{Ma}	52.69	-62.9	19.95	66.0	162
C _{Ma}	59.61	-27.85	-44.43	52.45	238
V _{Ma}	28.39	22.72	-42.42	48.13	298
M _{Ma}	49.58	71.08	-9.19	71.67	353
N _{Ma}	20.0	0.0	0.0	0.0	0
W _{Ma}	95.0	0.0	0.0	0.0	0
R _{CIE}	39.92	58.74	27.99	65.07	25
J _{CIE}	81.26	-2.88	71.56	71.62	92
G _{CIE}	52.23	-42.41	13.6	44.55	162
B _{CIE}	30.57	1.41	-46.46	46.49	272

Daten für Maximalfarbe (Ma):

LAB^*LAB^*Ma : 75 17 67

LAB^*LCH^*Ma : 75 69 76

lab^*rgb^*Ma : 1.0 0.75 0.0

lab^*olv^*Ma : 1.0 0.63 0.0

Dreiecks-Helligkeit t^*

ORS20_95a; adaptierte CIELAB-Daten

	$L^*=L_a^*$	a_a^*	b_a^*	$C_{ab,a}^*$	$h_{ab,a}^*$
r00j	48.88	63.91	30.45	70.79	25
r25j	55.85	50.36	45.65	67.97	42
r50j	65.45	33.86	56.12	65.54	59
r75j	75.19	17.13	66.73	68.89	76
j00g	87.03	-3.21	79.64	79.7	92
j25g	80.72	-24.03	66.82	71.01	110
j50g	70.64	-38.01	49.96	62.78	127
j75g	61.93	-50.08	35.41	61.34	145
g00b	52.8	-62.76	20.12	65.91	162
g25b	55.7	-47.65	-8.05	48.34	190
g50b	57.82	-36.91	-27.79	46.22	217
g75b	55.5	-21.19	-44.16	49.0	244
b00r	41.6	1.31	-43.27	43.3	272
b25r	29.0	24.11	-41.46	47.97	300
b50r	38.04	44.73	-27.29	52.41	329
b75r	49.48	70.07	-3.61	70.16	357

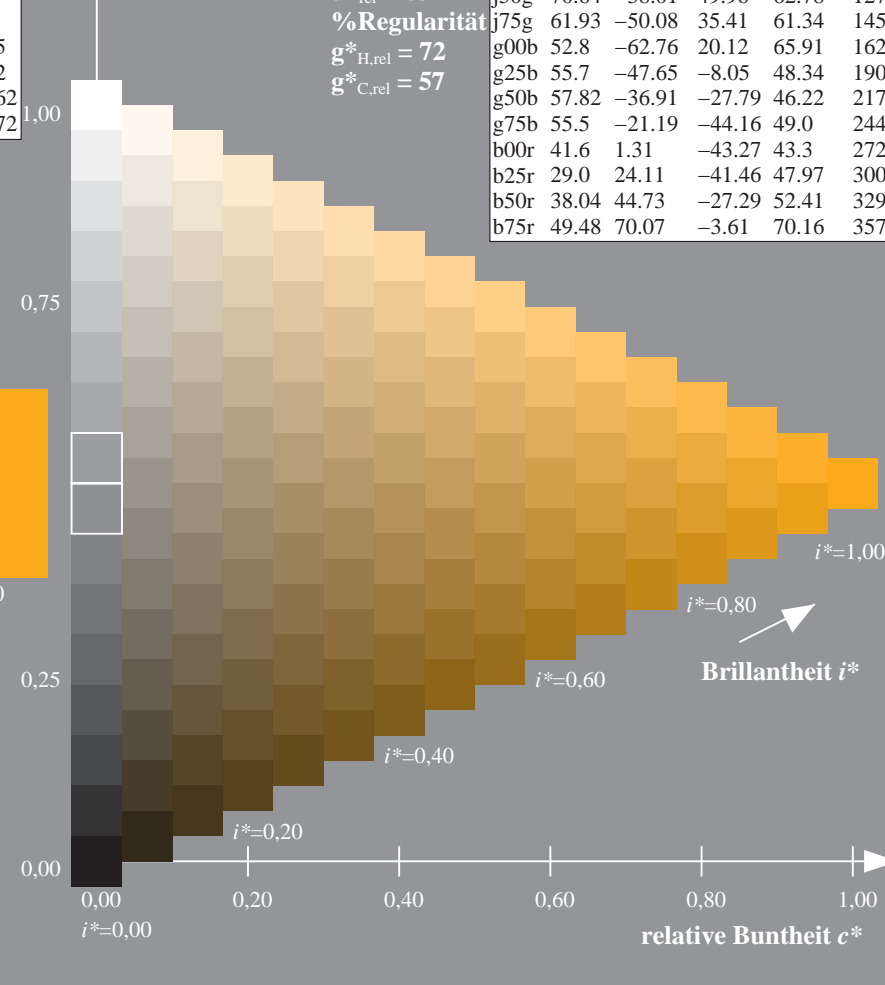
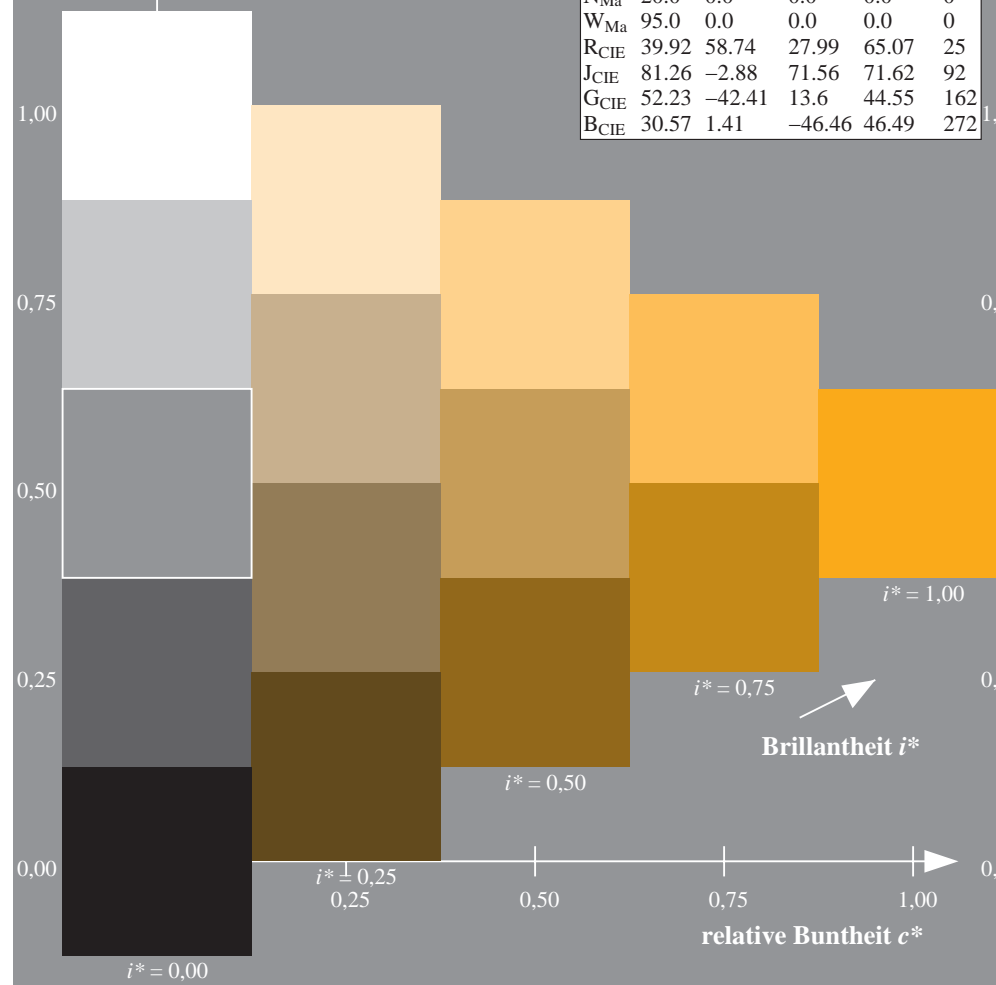
%Umfang

$u^*_{rel} = 83$

%Regularität

$g^*_{H,rel} = 72$

$g^*_{C,rel} = 57$



Ein und Ausgabe: Farbmetrisches Drucker-Reflektiv-System ORS20_95a für relativen CIELAB-Buntton $h^* = lab^*h^* = h_{ab}/360 = 92/360 = 0.256$

Daten für jede Farbe:

lab^*ch^* und lab^*icu^*

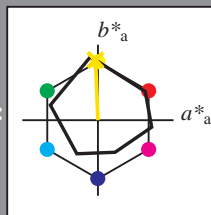
Elementar-Bunttonext:

$u^* = j00g$

Kontrastreduzierungsfaktor:

$c_R = 0.96$

Dreiecks-Helligkeit i^*



ORS20_95a; adaptierte CIELAB-Daten

	$L^*=L^*_a$	a^*_a	b^*_a	$C^*_{ab,a}$	$h^*_{ab,a}$
O _{Ma}	48.75	62.56	37.91	73.15	31
Y _{Ma}	90.92	-9.88	83.88	84.46	97
L _{Ma}	52.69	-62.9	19.95	66.0	162
C _{Ma}	59.61	-27.85	-44.43	52.45	238
V _{Ma}	28.39	22.72	-42.42	48.13	298
M _{Ma}	49.58	71.08	-9.19	71.67	353
N _{Ma}	20.0	0.0	0.0	0.0	0
W _{Ma}	95.0	0.0	0.0	0.0	0
R _{CIE}	39.92	58.74	27.99	65.07	25
J _{CIE}	81.26	-2.88	71.56	71.62	92
G _{CIE}	52.23	-42.41	13.6	44.55	162
B _{CIE}	30.57	1.41	-46.46	46.49	272

Daten für Maximalfarbe (Ma):

$LAB^*LAB^*_{Ma}$: 87 -2 80

$LAB^*LCH^*_{Ma}$: 87 80 92

$lab^*rgb^*_{Ma}$: 1.0 1.0 0.0

$lab^*olv^*_{Ma}$: 1.0 0.91 0.0

Dreiecks-Helligkeit i^*

%Umfang

$u^*_{rel} = 83$

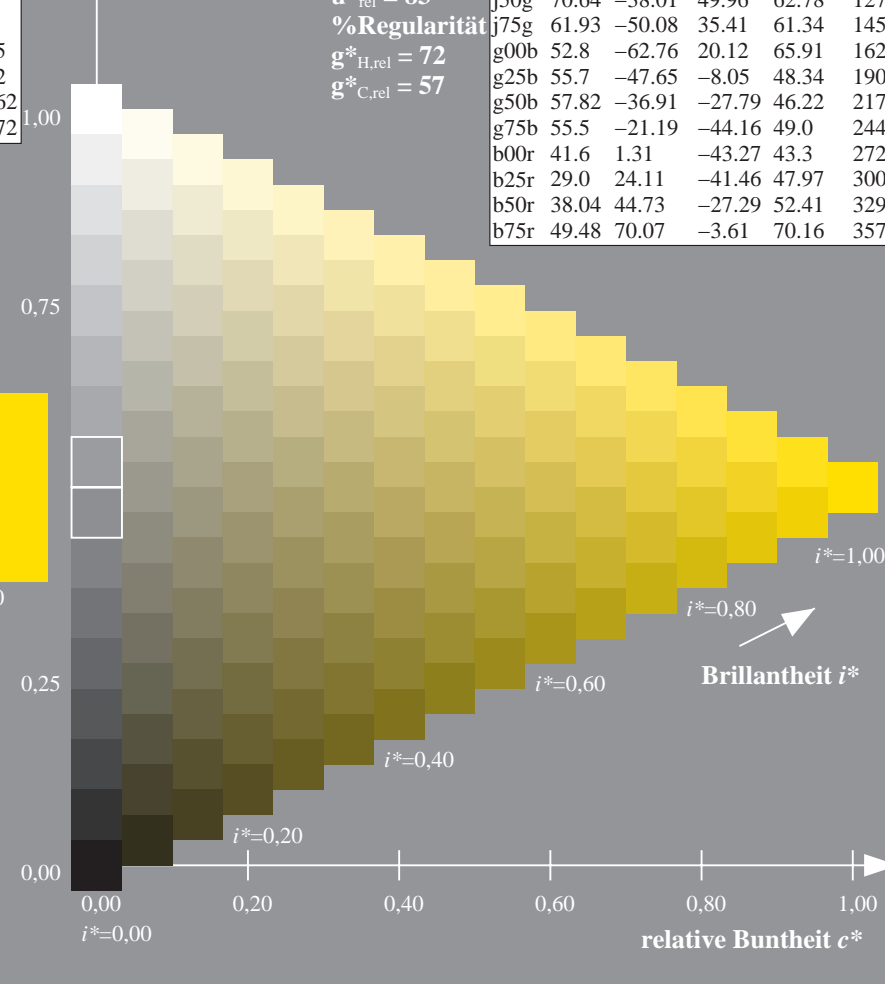
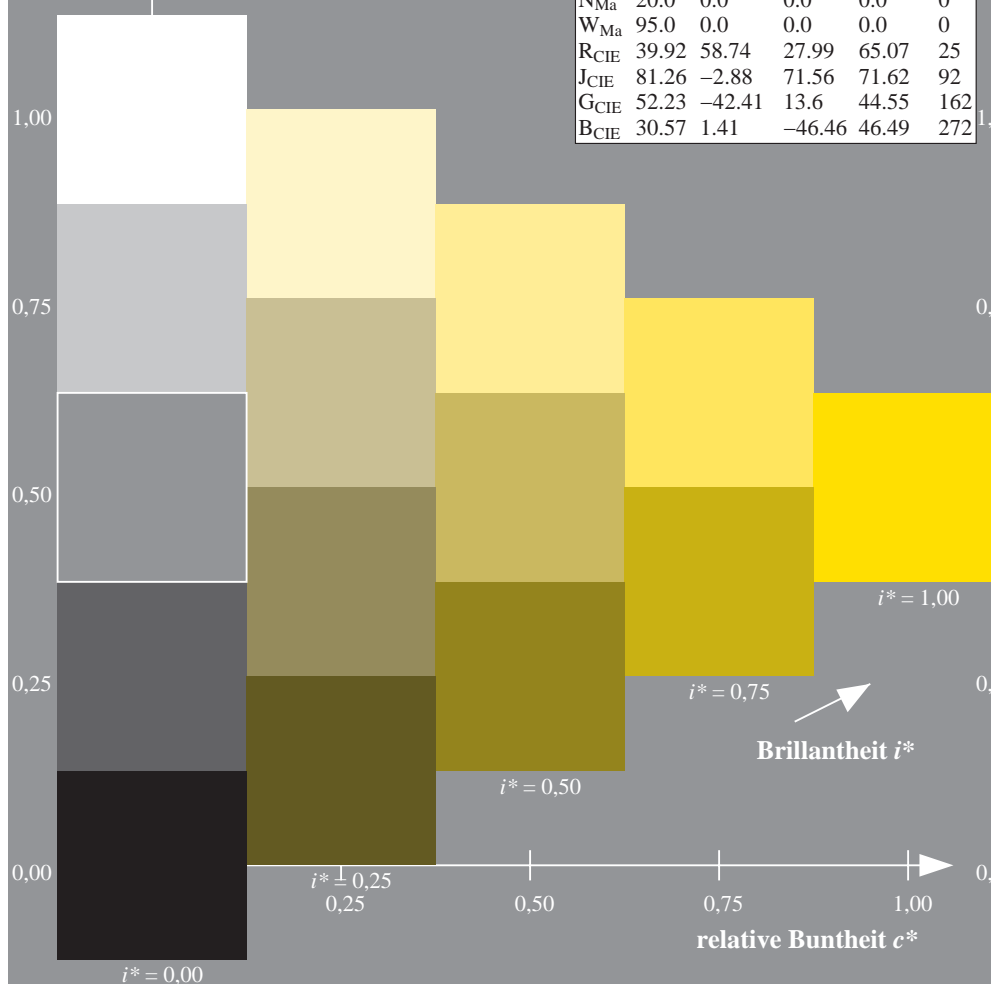
%Regularität

$g^*_{H,rel} = 72$

$g^*_{C,rel} = 57$

ORS20_95a; adaptierte CIELAB-Daten

	$L^*=L^*_a$	a^*_a	b^*_a	$C^*_{ab,a}$	$h^*_{ab,a}$
r00j	48.88	63.91	30.45	70.79	25
r25j	55.85	50.36	45.65	67.97	42
r50j	65.45	33.86	56.12	65.54	59
r75j	75.19	17.13	66.73	68.89	76
j00g	87.03	-3.21	79.64	79.7	92
j25g	80.72	-24.03	66.82	71.01	110
j50g	70.64	-38.01	49.96	62.78	127
j75g	61.93	-50.08	35.41	61.34	145
g00b	52.8	-62.76	20.12	65.91	162
g25b	55.7	-47.65	-8.05	48.34	190
g50b	57.82	-36.91	-27.79	46.22	217
g75b	55.5	-21.19	-44.16	49.0	244
b00r	41.6	1.31	-43.27	43.3	272
b25r	29.0	24.11	-41.46	47.97	300
b50r	38.04	44.73	-27.29	52.41	329
b75r	49.48	70.07	-3.61	70.16	357



Ein und Ausgabe: Farbmetrisches Drucker-Reflektiv-System ORS20_95a für relativen CIELAB-Buntton $h^* = lab^*h^* = h_{ab}/360 = 110/360 = 0.305$

Daten für jede Farbe:

lab^*ch^* und lab^*icu^*

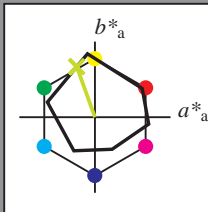
Elementar-Bunttontext:

$u^* = j25g$

Kontrastreduzierungsfaktor:

$c_R = 0.96$

Dreiecks-Helligkeit t^*



ORS20_95a; adaptierte CIELAB-Daten					
	$L^*=L_a^*$	a_a^*	b_a^*	$C_{ab,a}^*$	$h_{ab,a}^*$
O _{Ma}	48.75	62.56	37.91	73.15	31
Y _{Ma}	90.92	-9.88	83.88	84.46	97
L _{Ma}	52.69	-62.9	19.95	66.0	162
C _{Ma}	59.61	-27.85	-44.43	52.45	238
V _{Ma}	28.39	22.72	-42.42	48.13	298
M _{Ma}	49.58	71.08	-9.19	71.67	353
N _{Ma}	20.0	0.0	0.0	0.0	0
W _{Ma}	95.0	0.0	0.0	0.0	0
R _{CIE}	39.92	58.74	27.99	65.07	25
J _{CIE}	81.26	-2.88	71.56	71.62	92
G _{CIE}	52.23	-42.41	13.6	44.55	162
B _{CIE}	30.57	1.41	-46.46	46.49	272

Daten für Maximalfarbe (Ma):

LAB^*LAB^*Ma : 81 -23 67

LAB^*LCH^*Ma : 81 71 110

lab^*rgb^*Ma : 0.75 1.0 0.0

lab^*olv^*Ma : 0.73 1.0 0.0

Dreiecks-Helligkeit t^*

%Umfang

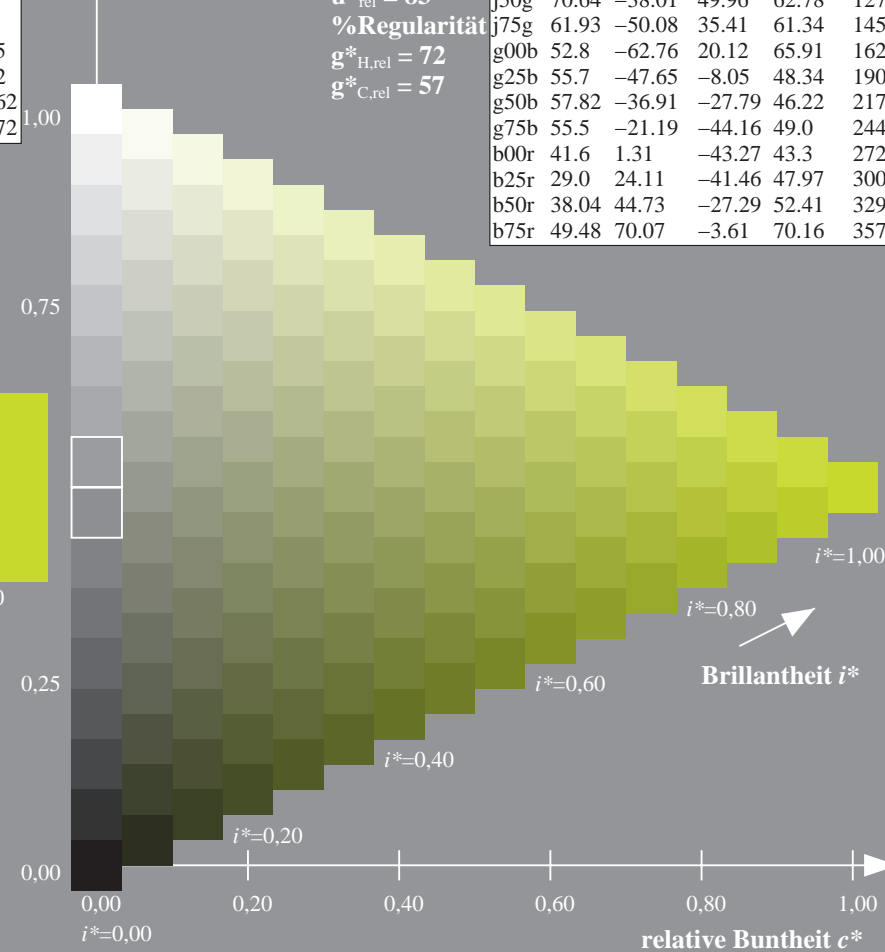
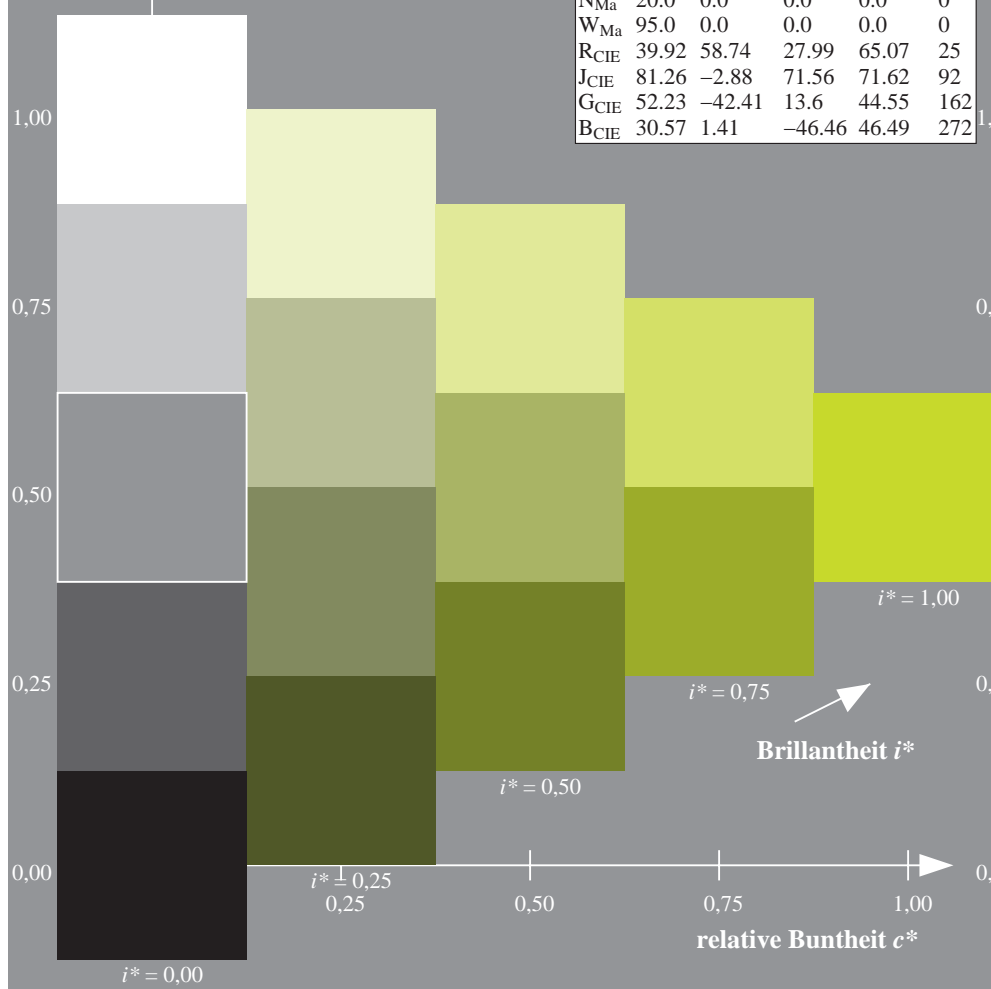
$u^*_{rel} = 83$

%Regularität

$g^*_{H,rel} = 72$

$g^*_{C,rel} = 57$

ORS20_95a; adaptierte CIELAB-Daten					
	$L^*=L_a^*$	a_a^*	b_a^*	$C_{ab,a}^*$	$h_{ab,a}^*$
r00j	48.88	63.91	30.45	70.79	25
r25j	55.85	50.36	45.65	67.97	42
r50j	65.45	33.86	56.12	65.54	59
r75j	75.19	17.13	66.73	68.89	76
j00g	87.03	-3.21	79.64	79.7	92
j25g	80.72	-24.03	66.82	71.01	110
j50g	70.64	-38.01	49.96	62.78	127
j75g	61.93	-50.08	35.41	61.34	145
g00b	52.8	-62.76	20.12	65.91	162
g25b	55.7	-47.65	-8.05	48.34	190
g50b	57.82	-36.91	-27.79	46.22	217
g75b	55.5	-21.19	-44.16	49.0	244
b00r	41.6	1.31	-43.27	43.3	272
b25r	29.0	24.11	-41.46	47.97	300
b50r	38.04	44.73	-27.29	52.41	329
b75r	49.48	70.07	-3.61	70.16	357



Ein und Ausgabe: Farbmetrisches Drucker-Reflektiv-System ORS20_95a für relativen CIELAB-Buntton $h^* = lab^*h^* = h_{ab}/360 = 127/360 = 0.354$

Daten für jede Farbe:

lab^*ch^* und lab^*icu^*

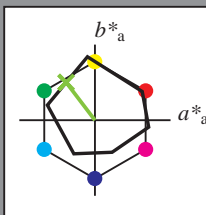
Elementar-Bunttontext:

$u^* = j50g$

Kontrastreduzierungsfaktor:

$c_R = 0.96$

Dreiecks-Helligkeit t^*



ORS20_95a; adaptierte CIELAB-Daten

	$L^*=L^*_a$	a^*_a	b^*_a	$C^*_{ab,a}$	$h^*_{ab,a}$
O _{Ma}	48.75	62.56	37.91	73.15	31
Y _{Ma}	90.92	-9.88	83.88	84.46	97
L _{Ma}	52.69	-62.9	19.95	66.0	162
C _{Ma}	59.61	-27.85	-44.43	52.45	238
V _{Ma}	28.39	22.72	-42.42	48.13	298
M _{Ma}	49.58	71.08	-9.19	71.67	353
N _{Ma}	20.0	0.0	0.0	0.0	0
W _{Ma}	95.0	0.0	0.0	0.0	0
R _{CIE}	39.92	58.74	27.99	65.07	25
J _{CIE}	81.26	-2.88	71.56	71.62	92
G _{CIE}	52.23	-42.41	13.6	44.55	162
B _{CIE}	30.57	1.41	-46.46	46.49	272

Daten für Maximalfarbe (Ma):

$LAB^*LAB^*_{Ma}$: 71 -37 50

$LAB^*LCH^*_{Ma}$: 71 63 127

$lab^*rgb^*_{Ma}$: 0.5 1.0 0.0

$lab^*olv^*_{Ma}$: 0.47 1.0 0.0

Dreiecks-Helligkeit t^*

ORS20_95a; adaptierte CIELAB-Daten

	$L^*=L^*_a$	a^*_a	b^*_a	$C^*_{ab,a}$	$h^*_{ab,a}$
r00j	48.88	63.91	30.45	70.79	25
r25j	55.85	50.36	45.65	67.97	42
r50j	65.45	33.86	56.12	65.54	59
r75j	75.19	17.13	66.73	68.89	76
j00g	87.03	-3.21	79.64	79.7	92
j25g	80.72	-24.03	66.82	71.01	110
j50g	70.64	-38.01	49.96	62.78	127
j75g	61.93	-50.08	35.41	61.34	145
g00b	52.8	-62.76	20.12	65.91	162
g25b	55.7	-47.65	-8.05	48.34	190
g50b	57.82	-36.91	-27.79	46.22	217
g75b	55.5	-21.19	-44.16	49.0	244
b00r	41.6	1.31	-43.27	43.3	272
b25r	29.0	24.11	-41.46	47.97	300
b50r	38.04	44.73	-27.29	52.41	329
b75r	49.48	70.07	-3.61	70.16	357

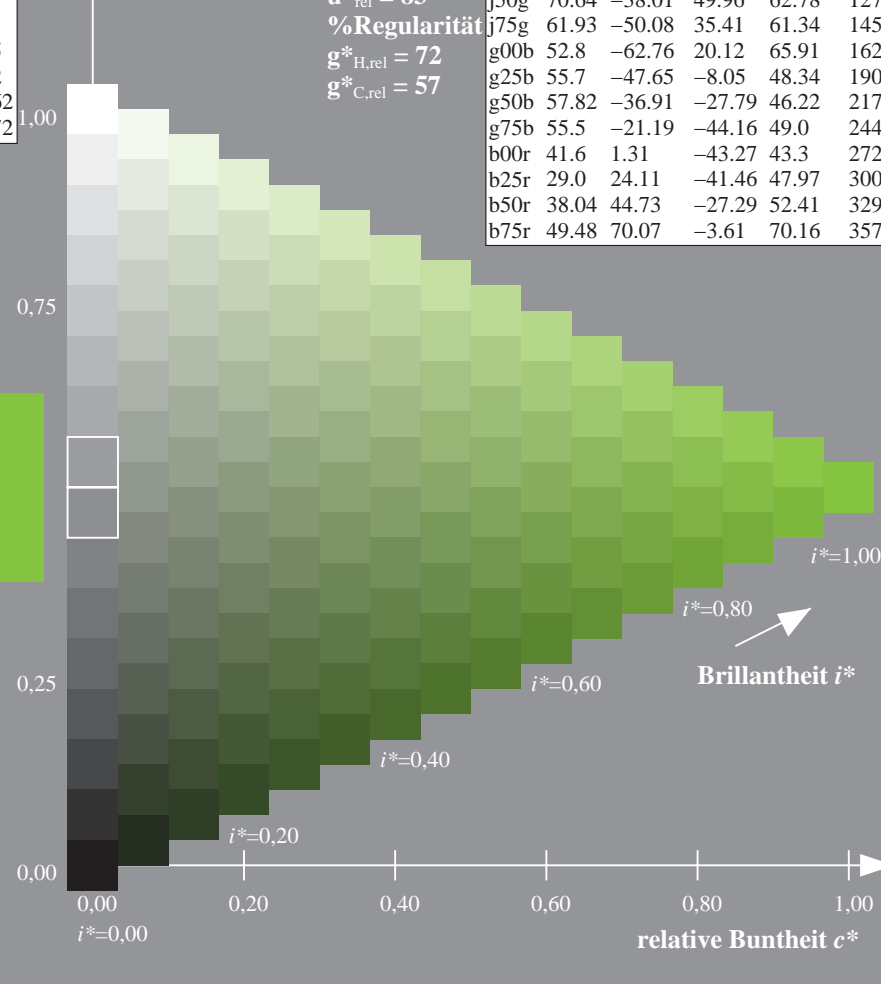
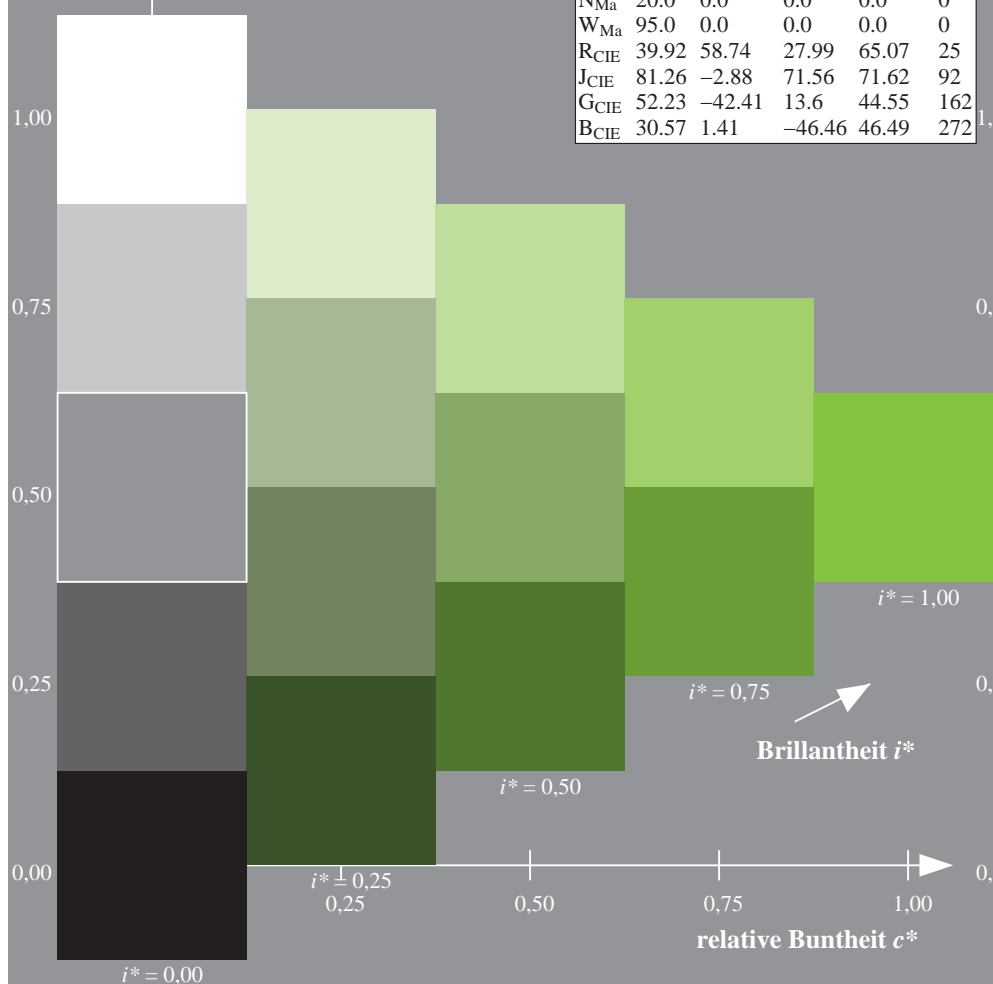
%Umfang

$u^*_{rel} = 83$

%Regularität

$g^*_{H,rel} = 72$

$g^*_{C,rel} = 57$



Ein und Ausgabe: Farbmetrisches Drucker-Reflektiv-System ORS20_95a für relativen CIELAB-Buntton $h^* = lab^*h^* = h_{ab}/360 = 145/360 = 0.402$

Daten für jede Farbe:

lab^*ch^* und lab^*icu^*

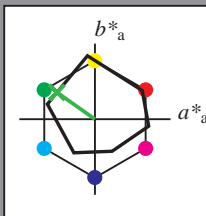
Elementar-Bunttontext:

$u^* = j75g$

Kontrastreduzierungsfaktor:

$c_R = 0.96$

Dreiecks-Helligkeit t^*



ORS20_95a; adaptierte CIELAB-Daten

	$L^*=L^*_a$	a^*_a	b^*_a	$C^*_{ab,a}$	$h^*_{ab,a}$
O _{Ma}	48.75	62.56	37.91	73.15	31
Y _{Ma}	90.92	-9.88	83.88	84.46	97
L _{Ma}	52.69	-62.9	19.95	66.0	162
C _{Ma}	59.61	-27.85	-44.43	52.45	238
V _{Ma}	28.39	22.72	-42.42	48.13	298
M _{Ma}	49.58	71.08	-9.19	71.67	353
N _{Ma}	20.0	0.0	0.0	0.0	0
W _{Ma}	95.0	0.0	0.0	0.0	0
R _{CIE}	39.92	58.74	27.99	65.07	25
J _{CIE}	81.26	-2.88	71.56	71.62	92
G _{CIE}	52.23	-42.41	13.6	44.55	162
B _{CIE}	30.57	1.41	-46.46	46.49	272

Daten für Maximalfarbe (Ma):

LAB^*LAB^*Ma : 62 -49 35

LAB^*LCH^*Ma : 62 61 145

lab^*rgb^*Ma : 0.25 1.0 0.0

lab^*olv^*Ma : 0.24 1.0 0.0

Dreiecks-Helligkeit t^*

%Umfang

$u^*_{rel} = 83$

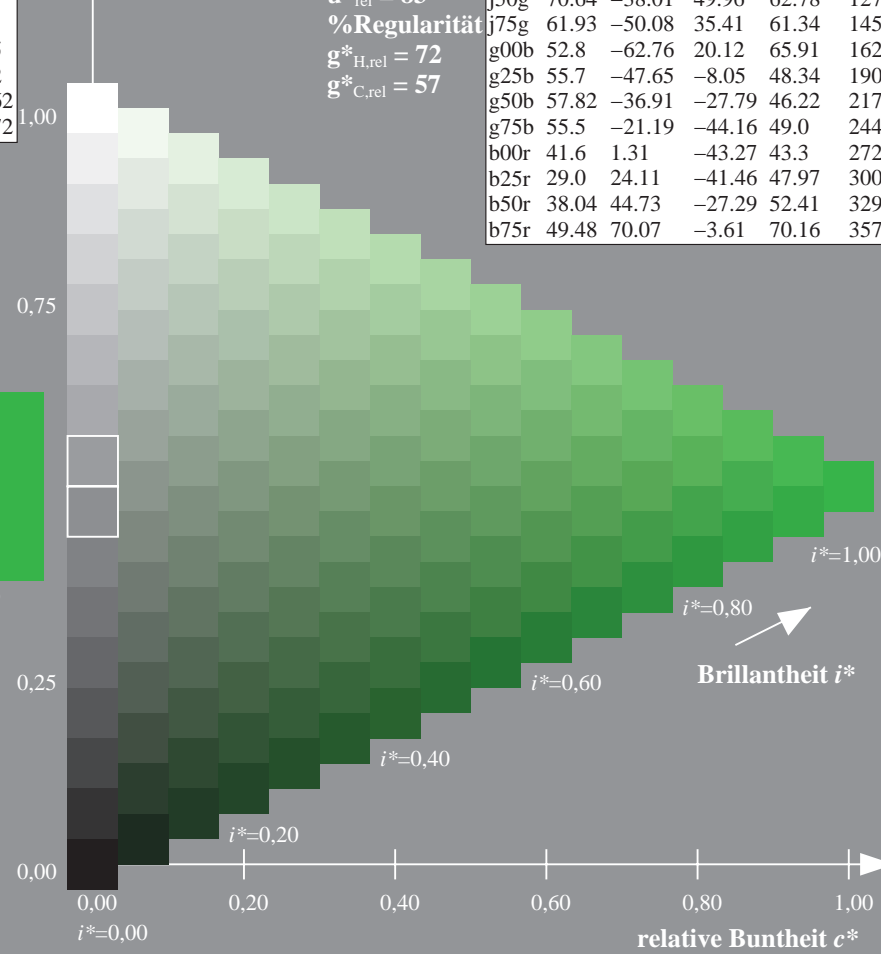
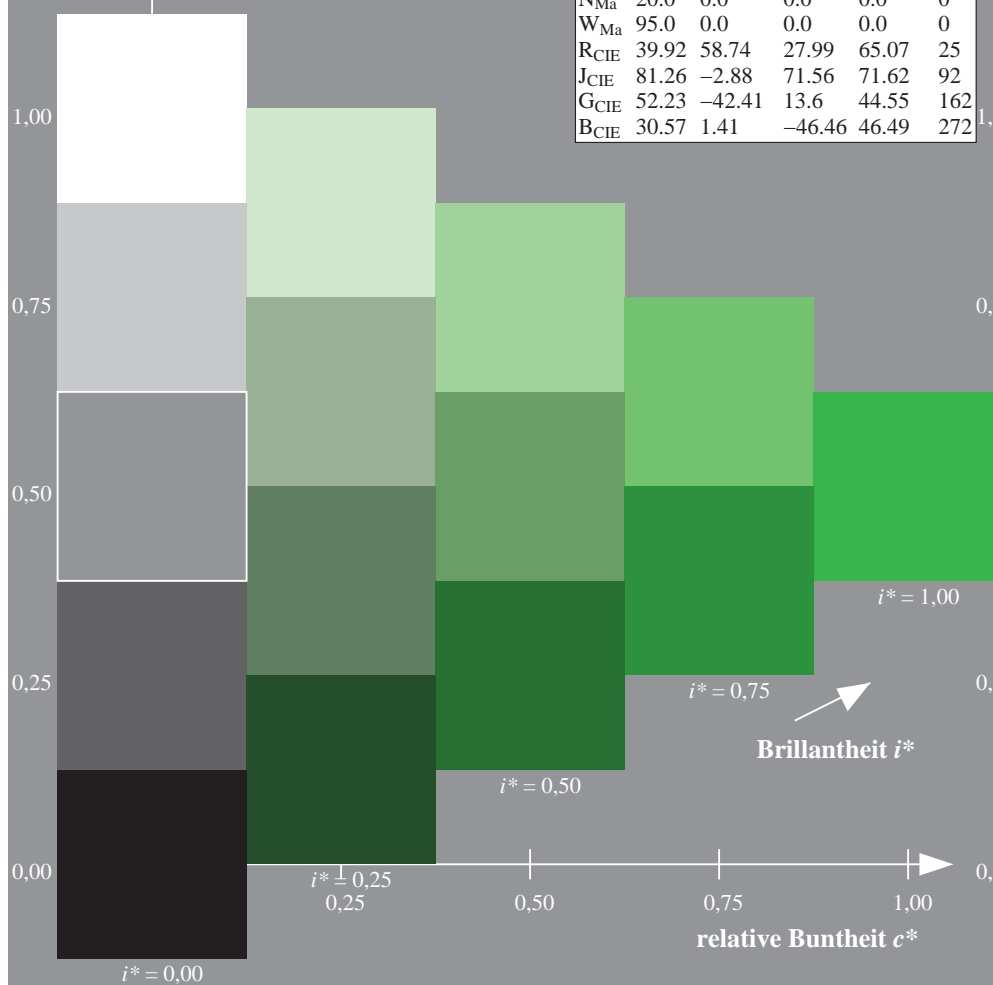
%Regularität

$g^*_{H,rel} = 72$

$g^*_{C,rel} = 57$

ORS20_95a; adaptierte CIELAB-Daten

	$L^*=L^*_a$	a^*_a	b^*_a	$C^*_{ab,a}$	$h^*_{ab,a}$
r00j	48.88	63.91	30.45	70.79	25
r25j	55.85	50.36	45.65	67.97	42
r50j	65.45	33.86	56.12	65.54	59
r75j	75.19	17.13	66.73	68.89	76
j00g	87.03	-3.21	79.64	79.7	92
j25g	80.72	-24.03	66.82	71.01	110
j50g	70.64	-38.01	49.96	62.78	127
j75g	61.93	-50.08	35.41	61.34	145
g00b	52.8	-62.76	20.12	65.91	162
g25b	55.7	-47.65	-8.05	48.34	190
g50b	57.82	-36.91	-27.79	46.22	217
g75b	55.5	-21.19	-44.16	49.0	244
b00r	41.6	1.31	-43.27	43.3	272
b25r	29.0	24.11	-41.46	47.97	300
b50r	38.04	44.73	-27.29	52.41	329
b75r	49.48	70.07	-3.61	70.16	357



Ein und Ausgabe: Farbmetrisches Drucker-Reflektiv-System ORS20_95a für relativen CIELAB-Buntton $h^* = lab^*h^* = h_{ab}/360 = 162/360 = 0.451$

Daten für jede Farbe:

lab^*ch^* und lab^*icu^*

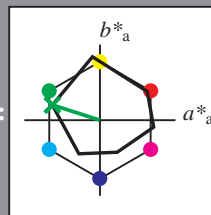
Elementar-Bunttontext:

$u^* = g00b$

Kontrastreduzierungsfaktor:

$c_R = 0.96$

Dreiecks-Helligkeit t^*



ORS20_95a; adaptierte CIELAB-Daten

	$L^*=L^*_a$	a^*_a	b^*_a	$C^*_{ab,a}$	$h^*_{ab,a}$
O _{Ma}	48.75	62.56	37.91	73.15	31
Y _{Ma}	90.92	-9.88	83.88	84.46	97
L _{Ma}	52.69	-62.9	19.95	66.0	162
C _{Ma}	59.61	-27.85	-44.43	52.45	238
V _{Ma}	28.39	22.72	-42.42	48.13	298
M _{Ma}	49.58	71.08	-9.19	71.67	353
N _{Ma}	20.0	0.0	0.0	0.0	0
W _{Ma}	95.0	0.0	0.0	0.0	0
R _{CIE}	39.92	58.74	27.99	65.07	25
J _{CIE}	81.26	-2.88	71.56	71.62	92
G _{CIE}	52.23	-42.41	13.6	44.55	162
B _{CIE}	30.57	1.41	-46.46	46.49	272

Daten für Maximalfarbe (Ma):

$LAB^*LAB^*_{Ma}$: 53 -62 20

$LAB^*LCH^*_{Ma}$: 53 66 162

$lab^*rgb^*_{Ma}$: 0.0 1.0 0.0

$lab^*olv^*_{Ma}$: 0.0 1.0 0.0

Dreiecks-Helligkeit t^*

ORS20_95a; adaptierte CIELAB-Daten

	$L^*=L^*_a$	a^*_a	b^*_a	$C^*_{ab,a}$	$h^*_{ab,a}$
r00j	48.88	63.91	30.45	70.79	25
r25j	55.85	50.36	45.65	67.97	42
r50j	65.45	33.86	56.12	65.54	59
r75j	75.19	17.13	66.73	68.89	76
j00g	87.03	-3.21	79.64	79.7	92
j25g	80.72	-24.03	66.82	71.01	110
j50g	70.64	-38.01	49.96	62.78	127
j75g	61.93	-50.08	35.41	61.34	145
g00b	52.8	-62.76	20.12	65.91	162
g25b	55.7	-47.65	-8.05	48.34	190
g50b	57.82	-36.91	-27.79	46.22	217
g75b	55.5	-21.19	-44.16	49.0	244
b00r	41.6	1.31	-43.27	43.3	272
b25r	29.0	24.11	-41.46	47.97	300
b50r	38.04	44.73	-27.29	52.41	329
b75r	49.48	70.07	-3.61	70.16	357

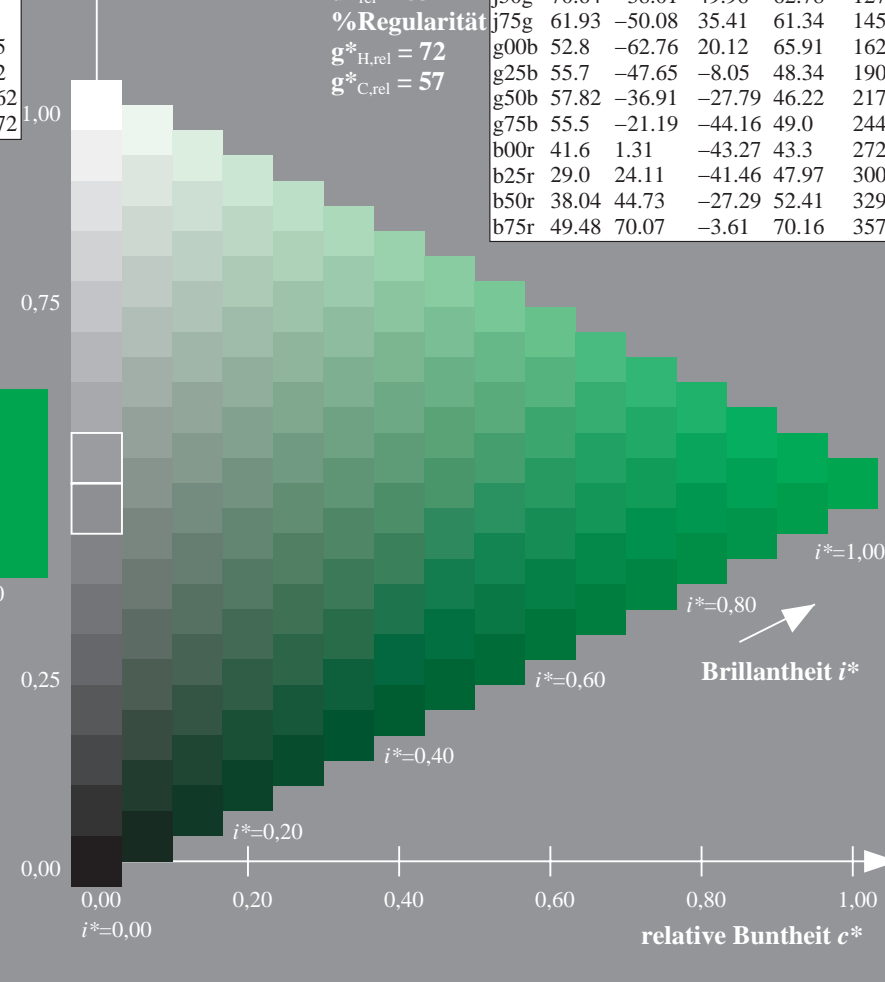
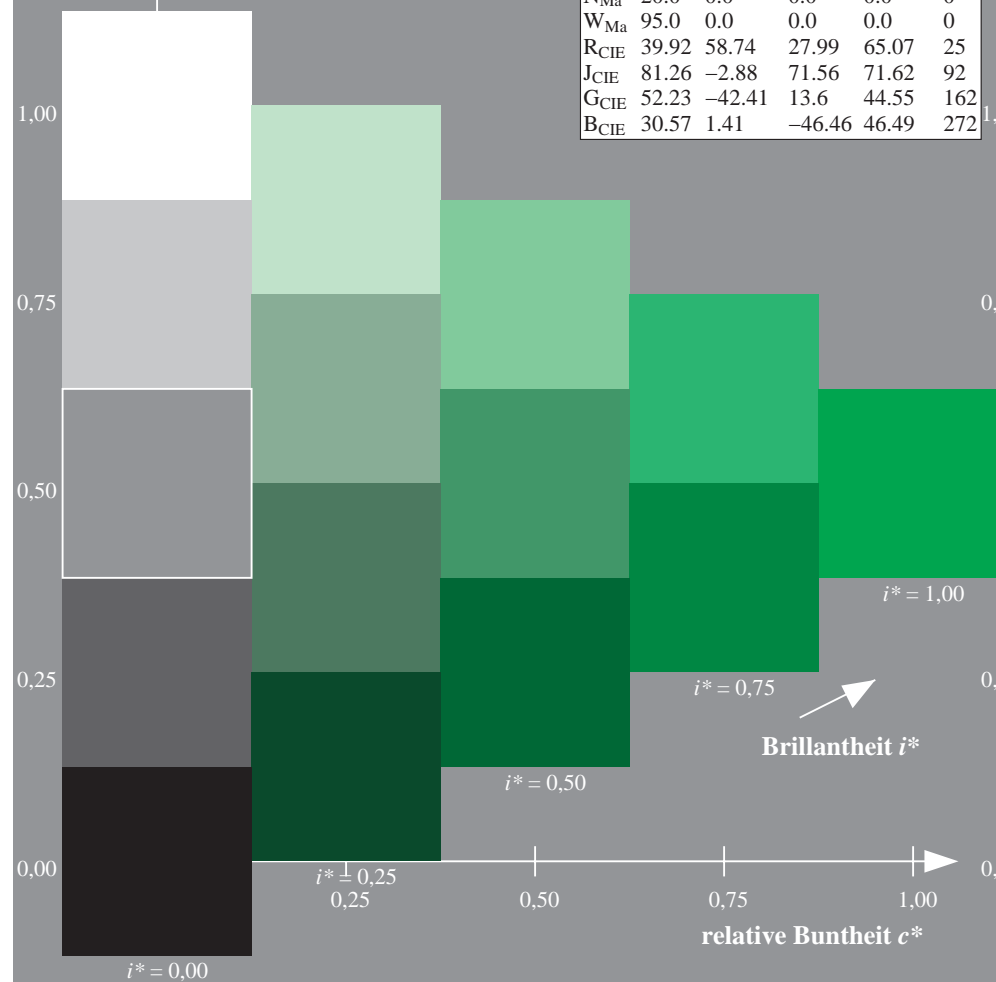
%Umfang

$u^*_{rel} = 83$

%Regularität

$g^*_{H,rel} = 72$

$g^*_{C,rel} = 57$



Ein und Ausgabe: Farbmetrisches Drucker-Reflektiv-System ORS20_95a für relativen CIELAB-Buntton $h^* = lab^*h^* = h_{ab}/360 = 190/360 = 0.527$

Daten für jede Farbe:

lab^*ch^* und lab^*icu^*

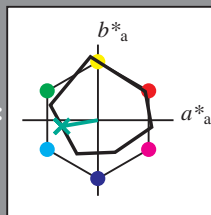
Elementar-Bunttontext:

$u^* = g25b$

Kontrastreduzierungsfaktor:

$c_R = 0.96$

Dreiecks-Helligkeit i^*



ORS20_95a; adaptierte CIELAB-Daten

	$L^*=L_a^*$	a_a^*	b_a^*	$C^*_{ab,a}$	$h^*_{ab,a}$
O _{Ma}	48.75	62.56	37.91	73.15	31
Y _{Ma}	90.92	-9.88	83.88	84.46	97
L _{Ma}	52.69	-62.9	19.95	66.0	162
C _{Ma}	59.61	-27.85	-44.43	52.45	238
V _{Ma}	28.39	22.72	-42.42	48.13	298
M _{Ma}	49.58	71.08	-9.19	71.67	353
N _{Ma}	20.0	0.0	0.0	0.0	0
W _{Ma}	95.0	0.0	0.0	0.0	0
R _{CIE}	39.92	58.74	27.99	65.07	25
J _{CIE}	81.26	-2.88	71.56	71.62	92
G _{CIE}	52.23	-42.41	13.6	44.55	162
B _{CIE}	30.57	1.41	-46.46	46.49	272

Daten für Maximalfarbe (Ma):

$LAB^*LAB^*_{Ma}$: 56 -47 -7

$LAB^*LCH^*_{Ma}$: 56 48 190

$lab^*rgb^*_{Ma}$: 0.0 1.0 0.5

$lab^*olv^*_{Ma}$: 0.0 1.0 0.44

Dreiecks-Helligkeit i^*

%Umfang

$u^*_{rel} = 83$

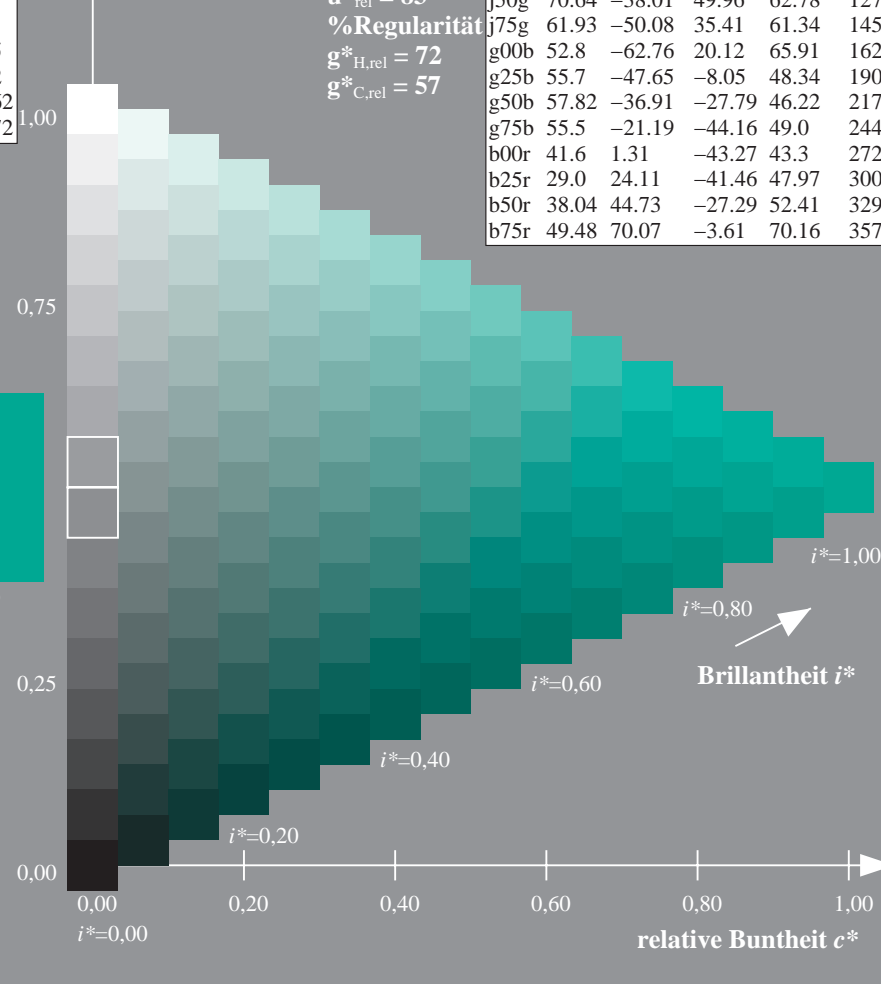
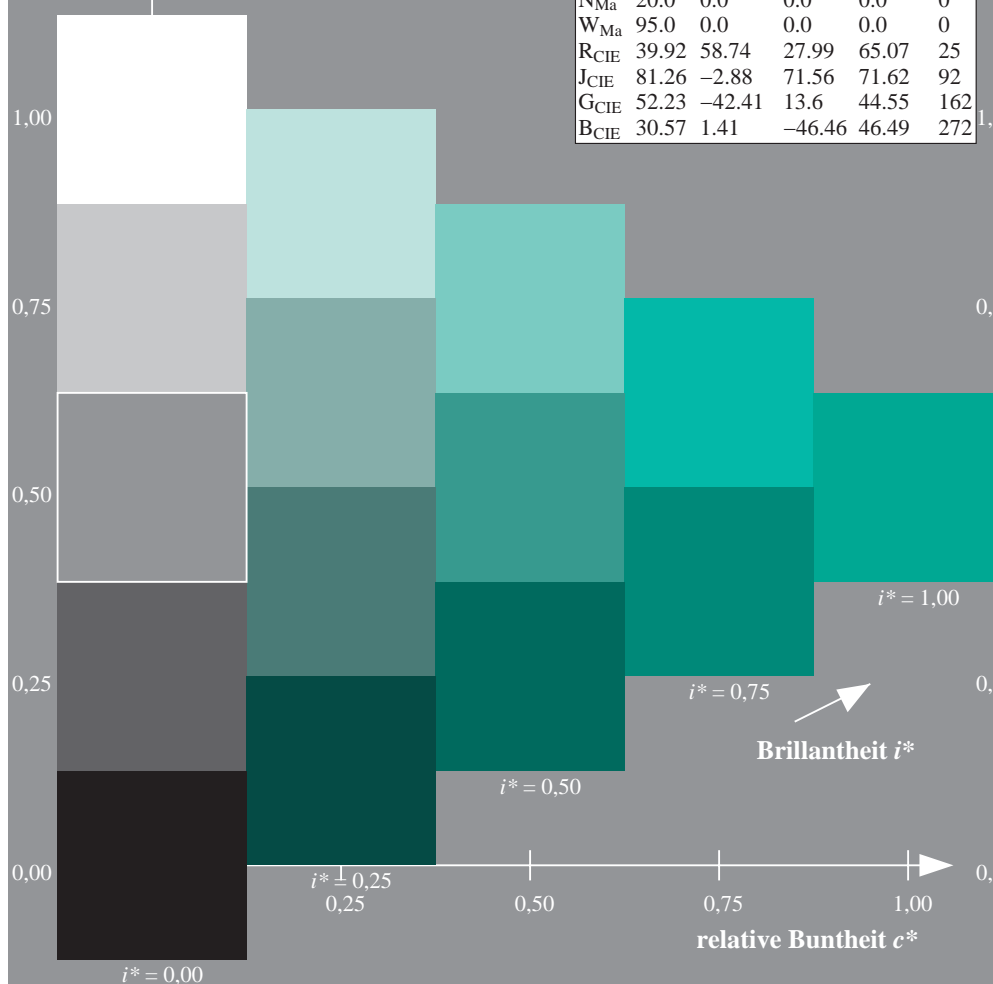
%Regularität

$g^*_{H,rel} = 72$

$g^*_{C,rel} = 57$

ORS20_95a; adaptierte CIELAB-Daten

	$L^*=L_a^*$	a_a^*	b_a^*	$C^*_{ab,a}$	$h^*_{ab,a}$
r00j	48.88	63.91	30.45	70.79	25
r25j	55.85	50.36	45.65	67.97	42
r50j	65.45	33.86	56.12	65.54	59
r75j	75.19	17.13	66.73	68.89	76
j00g	87.03	-3.21	79.64	79.7	92
j25g	80.72	-24.03	66.82	71.01	110
j50g	70.64	-38.01	49.96	62.78	127
j75g	61.93	-50.08	35.41	61.34	145
g00b	52.8	-62.76	20.12	65.91	162
g25b	55.7	-47.65	-8.05	48.34	190
g50b	57.82	-36.91	-27.79	46.22	217
g75b	55.5	-21.19	-44.16	49.0	244
b00r	41.6	1.31	-43.27	43.3	272
b25r	29.0	24.11	-41.46	47.97	300
b50r	38.04	44.73	-27.29	52.41	329
b75r	49.48	70.07	-3.61	70.16	357



Ein und Ausgabe: Farbmetrisches Drucker-Reflektiv-System ORS20_95a für relativen CIELAB-Buntton $h^* = lab^*h^* = h_{ab}/360 = 217/360 = 0.603$

Daten für jede Farbe:

lab^*ch^* und lab^*icu^*

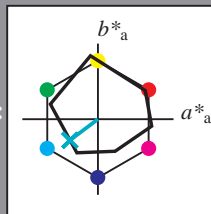
Elementar-Bunttontext:

$u^* = g50b$

Kontrastreduzierungsfaktor:

$c_R = 0.96$

Dreiecks-Helligkeit i^*



ORS20_95a; adaptierte CIELAB-Daten

	$L^* = L^*_a$	a^*_a	b^*_a	$C^*_{ab,a}$	$h^*_{ab,a}$
O _{Ma}	48.75	62.56	37.91	73.15	31
Y _{Ma}	90.92	-9.88	83.88	84.46	97
L _{Ma}	52.69	-62.9	19.95	66.0	162
C _{Ma}	59.61	-27.85	-44.43	52.45	238
V _{Ma}	28.39	22.72	-42.42	48.13	298
M _{Ma}	49.58	71.08	-9.19	71.67	353
N _{Ma}	20.0	0.0	0.0	0.0	0
W _{Ma}	95.0	0.0	0.0	0.0	0
R _{CIE}	39.92	58.74	27.99	65.07	25
J _{CIE}	81.26	-2.88	71.56	71.62	92
G _{CIE}	52.23	-42.41	13.6	44.55	162
B _{CIE}	30.57	1.41	-46.46	46.49	272

Daten für Maximalfarbe (Ma):

$LAB^*LAB^*_{Ma}$: 58 -36 -27

$LAB^*LCH^*_{Ma}$: 58 46 217

$lab^*rgb^*_{Ma}$: 0.0 1.0 1.0

$lab^*olv^*_{Ma}$: 0.0 1.0 0.74

Dreiecks-Helligkeit i^*

%Umfang

$u^*_{rel} = 83$

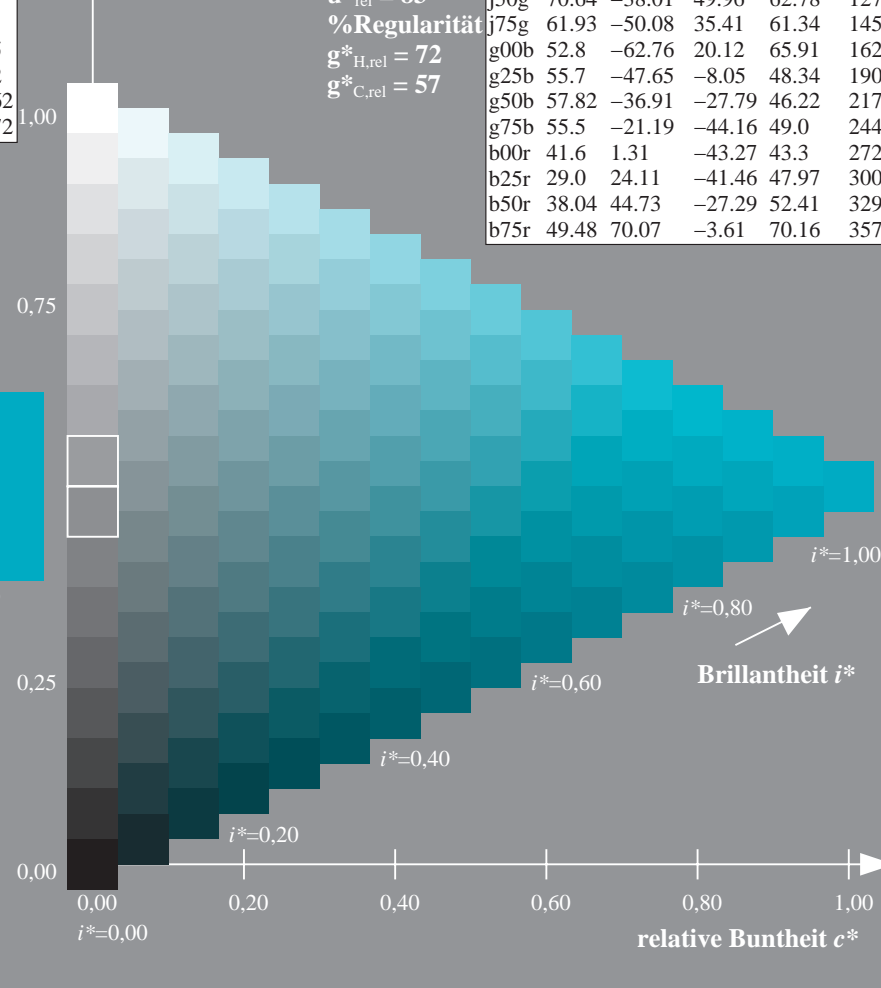
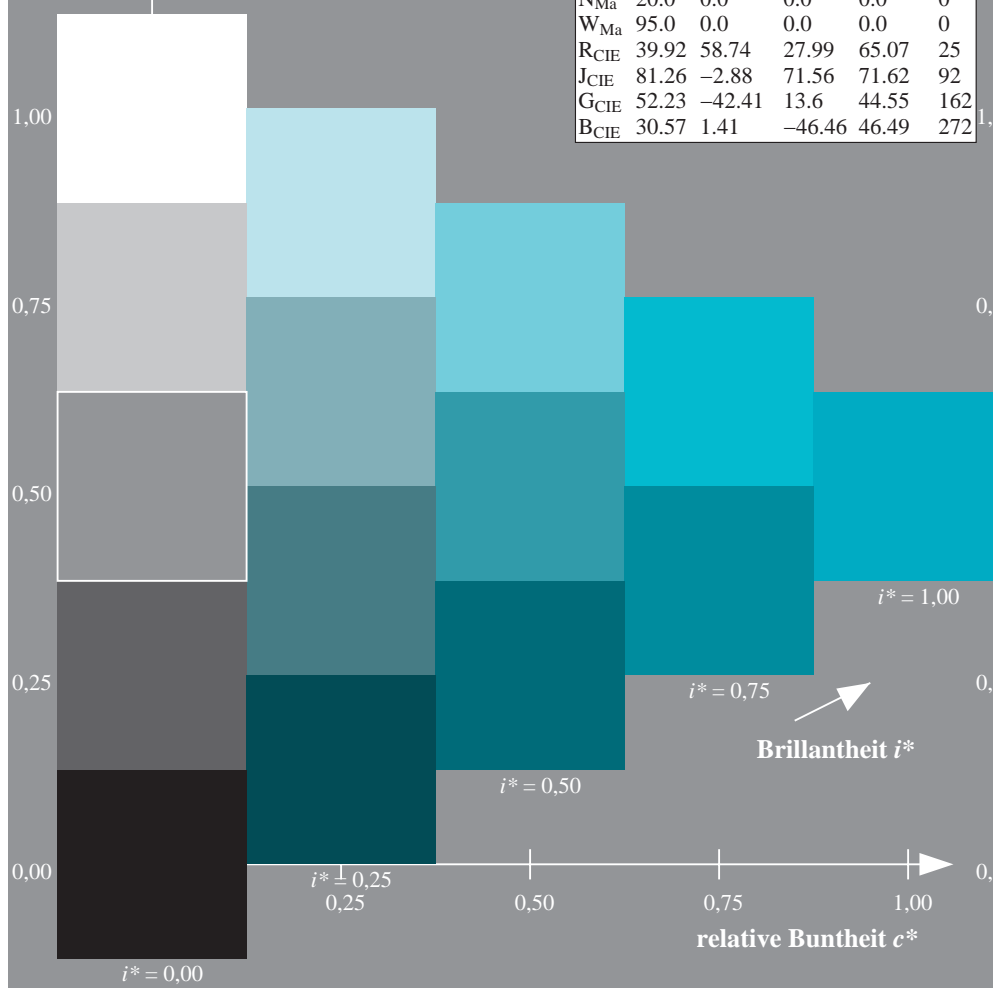
%Regularität

$g^*_{H,rel} = 72$

$g^*_{C,rel} = 57$

ORS20_95a; adaptierte CIELAB-Daten

	$L^* = L^*_a$	a^*_a	b^*_a	$C^*_{ab,a}$	$h^*_{ab,a}$
r00j	48.88	63.91	30.45	70.79	25
r25j	55.85	50.36	45.65	67.97	42
r50j	65.45	33.86	56.12	65.54	59
r75j	75.19	17.13	66.73	68.89	76
j00g	87.03	-3.21	79.64	79.7	92
j25g	80.72	-24.03	66.82	71.01	110
j50g	70.64	-38.01	49.96	62.78	127
j75g	61.93	-50.08	35.41	61.34	145
g00b	52.8	-62.76	20.12	65.91	162
g25b	55.7	-47.65	-8.05	48.34	190
g50b	57.82	-36.91	-27.79	46.22	217
g75b	55.5	-21.19	-44.16	49.0	244
b00r	41.6	1.31	-43.27	43.3	272
b25r	29.0	24.11	-41.46	47.97	300
b50r	38.04	44.73	-27.29	52.41	329
b75r	49.48	70.07	-3.61	70.16	357



Daten für jede Farbe:

*lab*tch** und *lab*icu**

Elementar-Bunttontext:

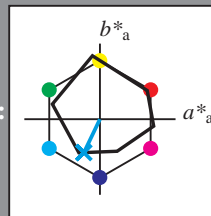
$$u^* = g75b$$

Kontrastreduzierungsfaktor:

 $c_R = 0.96$

Dreiecks-Helligkeit t^*

Diagrams highlighting:



ORS20 95a; adaptierte CIELAB-Daten						
	$L^*_{a,b}$	$a^*_{a,b}$	$b^*_{a,b}$	$C^*_{a,b}$	$h^*_{a,b}$	
O _{Ma}	48.75	62.56	37.91	73.15	31	
Y _{Ma}	90.92	-9.88	83.88	84.46	97	
L _{Ma}	52.69	-62.9	19.95	66.0	162	
C _{Ma}	59.61	-27.85	-44.43	52.45	238	
V _{Ma}	28.39	22.72	-42.42	48.13	298	
M _{Ma}	49.58	71.08	-9.19	71.67	353	
N _{Ma}	20.0	0.0	0.0	0.0	0	
W _{Ma}	95.0	0.0	0.0	0.0	0	
R _{CIE}	39.92	58.74	27.99	65.07	25	
J _{CIE}	81.26	-2.88	71.56	71.62	92	
G _{CIE}	52.23	-42.41	13.6	44.55	162	
B _{CIE}	30.57	1.41	-46.46	46.49	272	

Daten für Maximalfarbe (Ma):

LAB*LAB*Mo: 55 -20 -43

LAD*LCU* 55 19 244

LAB*LCH*Ma: 55 49 24

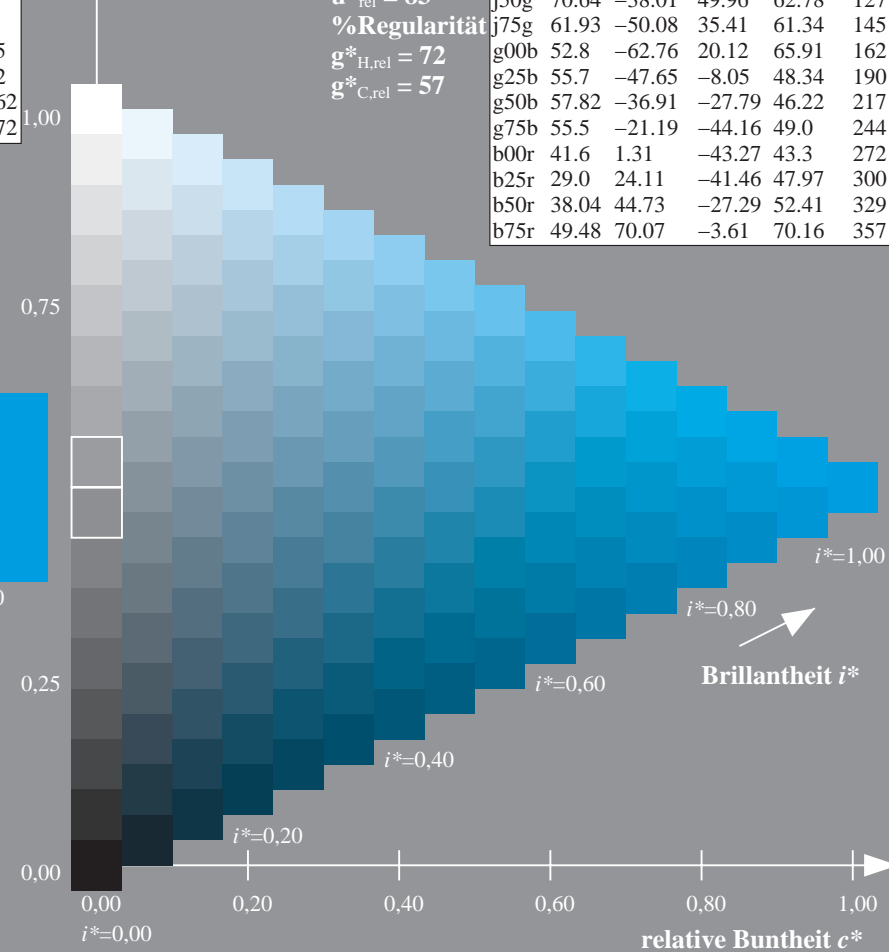
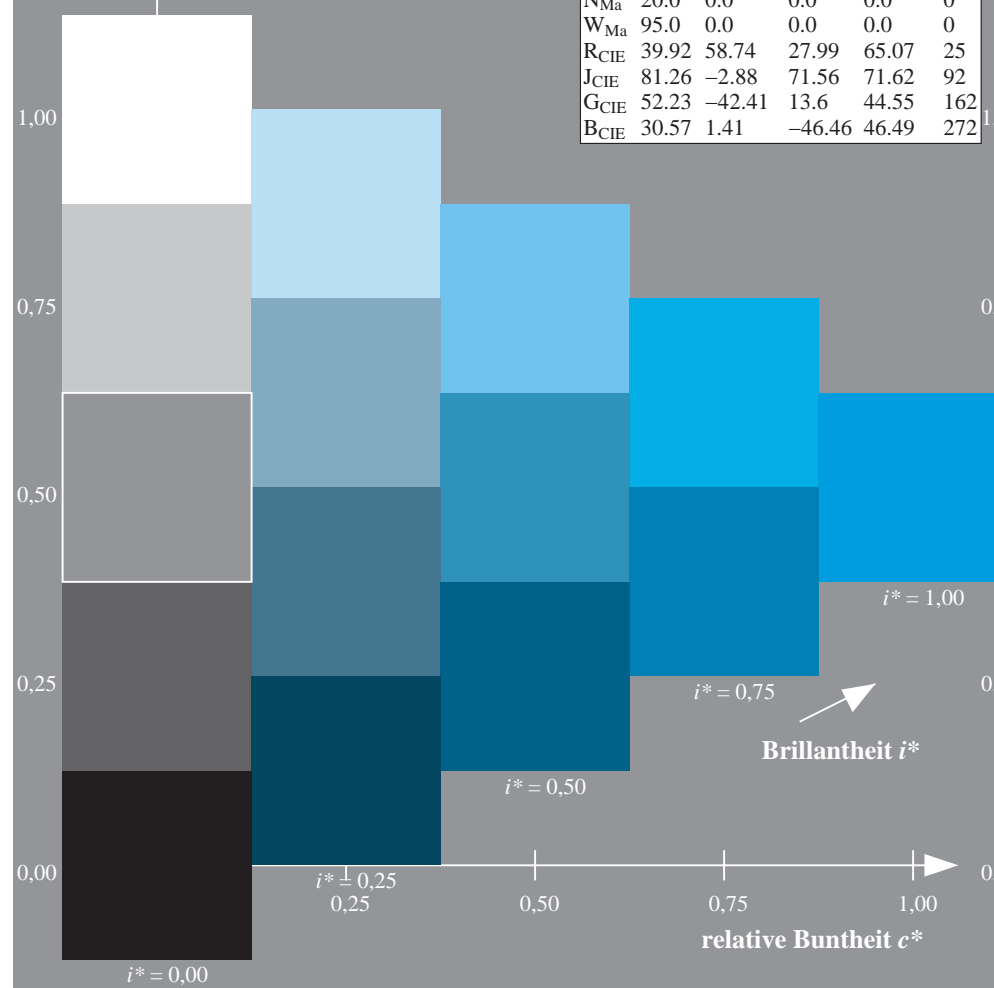
*lab*rgb*_Ma: 0.0 0.5 1.0*

lab*olv*Ma: 0.0 0.87 1.0

Dreiecks-Helligkeit t^*

► Strengths

ORS20_95a; adaptierte CIELAB-Daten					
	L^*_a	a^*_a	b^*_a	$C^*_{ab,a}$	$h^*_{ab,a}$
r00j	48.88	63.91	30.45	70.79	25
r25j	55.85	50.36	45.65	67.97	42
r50j	65.45	33.86	56.12	65.54	59
r75j	75.19	17.13	66.73	68.89	76
j00g	87.03	-3.21	79.64	79.7	92
j25g	80.72	-24.03	66.82	71.01	110
j50g	70.64	-38.01	49.96	62.78	127
j75g	61.93	-50.08	35.41	61.34	145
g00b	52.8	-62.76	20.12	65.91	162
g25b	55.7	-47.65	-8.05	48.34	190
g50b	57.82	-36.91	-27.79	46.22	217
g75b	55.5	-21.19	-44.16	49.0	244
b00r	41.6	1.31	-43.27	43.3	272
b25r	29.0	24.11	-41.46	47.97	300
b50r	38.04	44.73	-27.29	52.41	329
b75r	49.48	70.07	-3.61	70.16	357



Daten für jede Farbe:

*lab*tch** und *lab*icu**

Elementar-Bunttext:

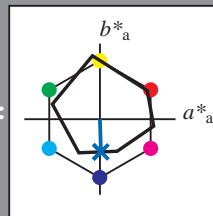
$$u^* = b00r$$

Kontrastreduzierungsfaktor:

 $c_R = 0.96$

Dreiecks-Helligkeit t^*

Diagnosis: Hemorrhoid.



ORS20 95a; adaptierte CIELAB-Daten						
	$L^*_{a,b}$	$a^*_{a,b}$	$b^*_{a,b}$	$C^*_{a,b}$	$h^*_{a,b}$	
O _{Ma}	48.75	62.56	37.91	73.15	31	
Y _{Ma}	90.92	-9.88	83.88	84.46	97	
L _{Ma}	52.69	-62.9	19.95	66.0	162	
C _{Ma}	59.61	-27.85	-44.43	52.45	238	
V _{Ma}	28.39	22.72	-42.42	48.13	298	
M _{Ma}	49.58	71.08	-9.19	71.67	353	
N _{Ma}	20.0	0.0	0.0	0.0	0	
W _{Ma}	95.0	0.0	0.0	0.0	0	
R _{CIE}	39.92	58.74	27.99	65.07	25	
J _{CIE}	81.26	-2.88	71.56	71.62	92	
G _{CIE}	52.23	-42.41	13.6	44.55	162	
B _{CIE}	30.57	1.41	-46.46	46.49	272	

Daten für Maximalfarbe (Ma):

LAB*LAB*Mo: 42.1 -42

LAP*LCU* 42 43 272

LABLCH**Ma: 42 43 2**

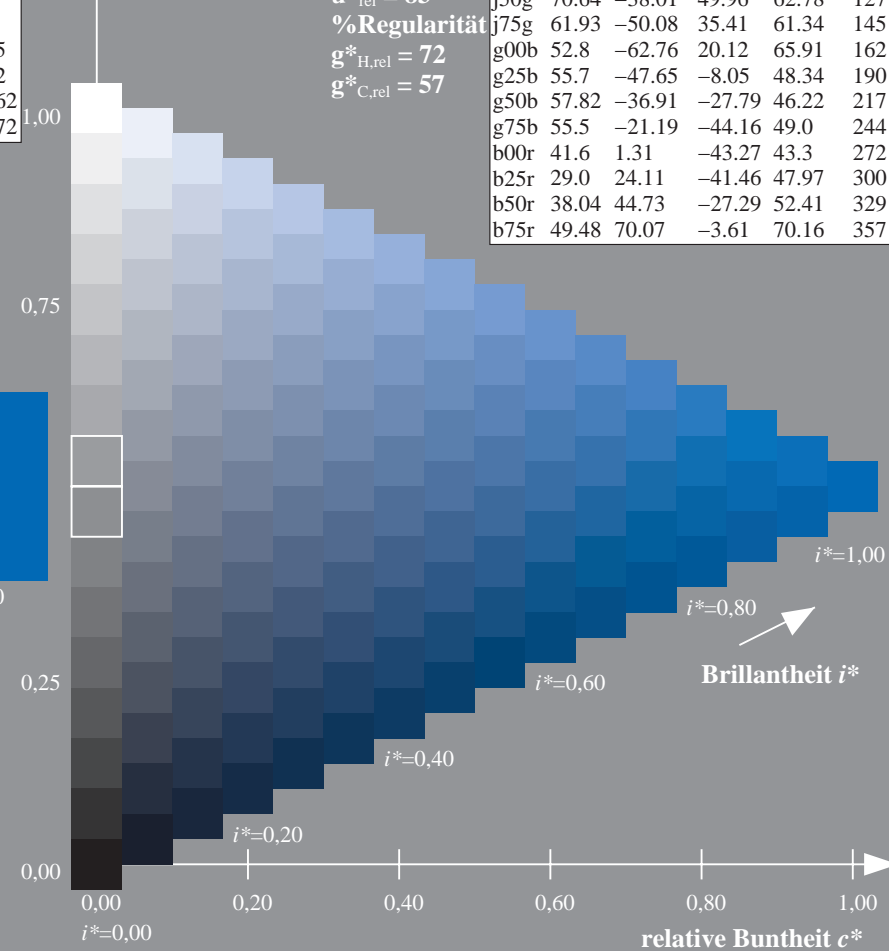
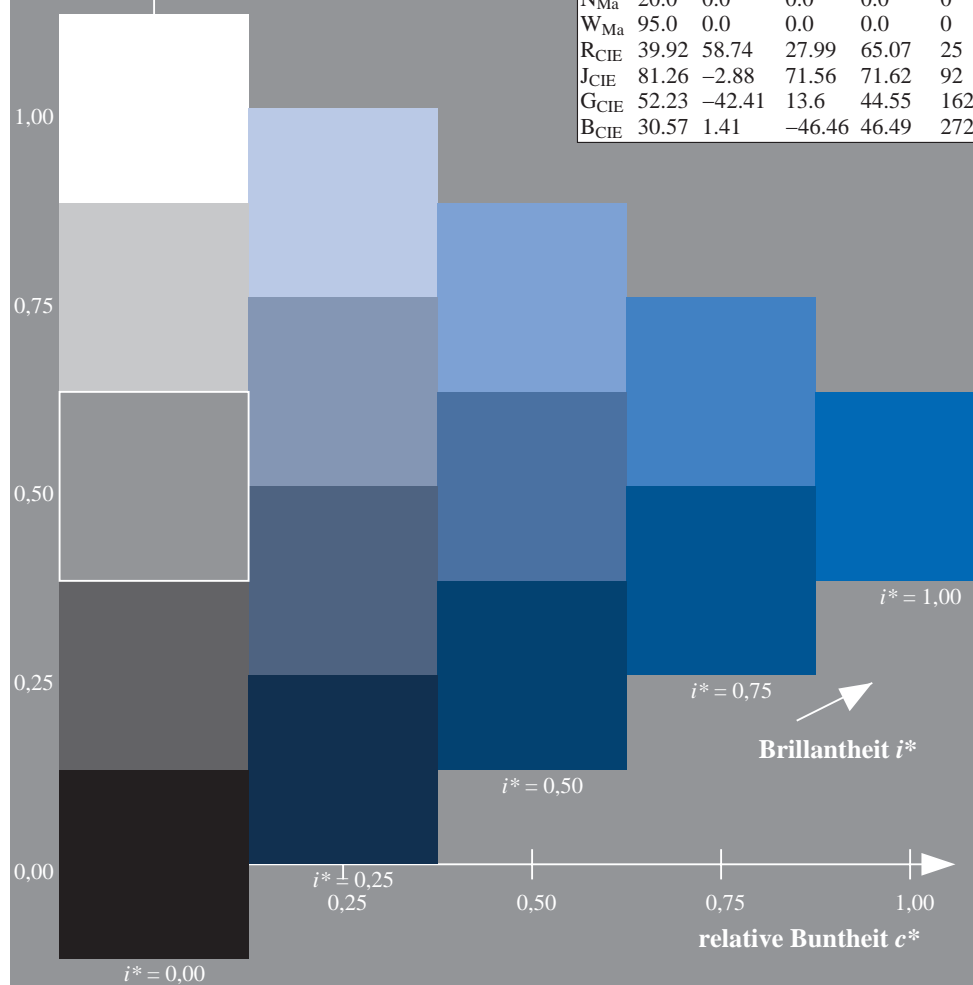
*lab*rgb*_Ma: 0.0 0.0 1.0*

*lab*olv**_{Ma}: 0.0 0.42 1.0

Dreiecks-Helligkeit t^*

► Strengths

ORS20_95a; adaptierte CIELAB-Daten					
	L^*_a	a^*_a	b^*_a	$C^*_{ab,a}$	$h^*_{ab,a}$
r00j	48.88	63.91	30.45	70.79	25
r25j	55.85	50.36	45.65	67.97	42
r50j	65.45	33.86	56.12	65.54	59
r75j	75.19	17.13	66.73	68.89	76
j00g	87.03	-3.21	79.64	79.7	92
j25g	80.72	-24.03	66.82	71.01	110
j50g	70.64	-38.01	49.96	62.78	127
j75g	61.93	-50.08	35.41	61.34	145
g00b	52.8	-62.76	20.12	65.91	162
g25b	55.7	-47.65	-8.05	48.34	190
g50b	57.82	-36.91	-27.79	46.22	217
g75b	55.5	-21.19	-44.16	49.0	244
b00r	41.6	1.31	-43.27	43.3	272
b25r	29.0	24.11	-41.46	47.97	300
b50r	38.04	44.73	-27.29	52.41	329
b75r	49.48	70.07	-3.61	70.16	357



BAM-Prüfvorlage Dg73; Farbmatrik-Systeme, Seite 32/108
Farbreihen und 3 Separationen für 16 Bunttöne *r00j* bis *b75j*

Eingabe: 000n / w / nnn0 / www set...
Ausgabe: ->cmyn5* setcmykcolor

BAM-Registrierung: 20080701-Dg73/10L/L73G00NP.PS/.PDF BAM-Material: Code=rha4ta
- Anwendung für Beurteilung und Messung von Drucker- oder Monitorsystemen

Ein und Ausgabe: Farbmatisches Drucker-Reflektiv-System ORS20_95a für relativen CIELAB-Buntton $h^* = lab^*h^* = h_{ab}/360 = 300/360 = 0.834$

Daten für jede Farbe:

lab^*ch^* und lab^*icu^*

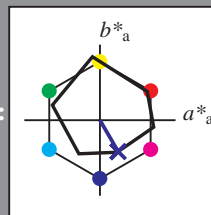
Elementar-Bunttontext:

$u^* = b25r$

Kontrastreduzierungsfaktor:

$c_R = 0.96$

Dreiecks-Helligkeit i^*



ORS20_95a; adaptierte CIELAB-Daten

	$L^*=L_a^*$	a_a^*	b_a^*	$C_{ab,a}^*$	$h_{ab,a}^*$
O _{Ma}	48.75	62.56	37.91	73.15	31
Y _{Ma}	90.92	-9.88	83.88	84.46	97
L _{Ma}	52.69	-62.9	19.95	66.0	162
C _{Ma}	59.61	-27.85	-44.43	52.45	238
V _{Ma}	28.39	22.72	-42.42	48.13	298
M _{Ma}	49.58	71.08	-9.19	71.67	353
N _{Ma}	20.0	0.0	0.0	0.0	0
W _{Ma}	95.0	0.0	0.0	0.0	0
R _{CIE}	39.92	58.74	27.99	65.07	25
J _{CIE}	81.26	-2.88	71.56	71.62	92
G _{CIE}	52.23	-42.41	13.6	44.55	162
B _{CIE}	30.57	1.41	-46.46	46.49	272

Daten für Maximalfarbe (Ma):

LAB^*LAB^*Ma : 29 24 -40

LAB^*LCH^*Ma : 29 48 300

lab^*rgb^*Ma : 0.5 0.0 1.0

lab^*olv^*Ma : 0.03 0.0 1.0

Dreiecks-Helligkeit i^*

%Umfang

$u^*_{rel} = 83$

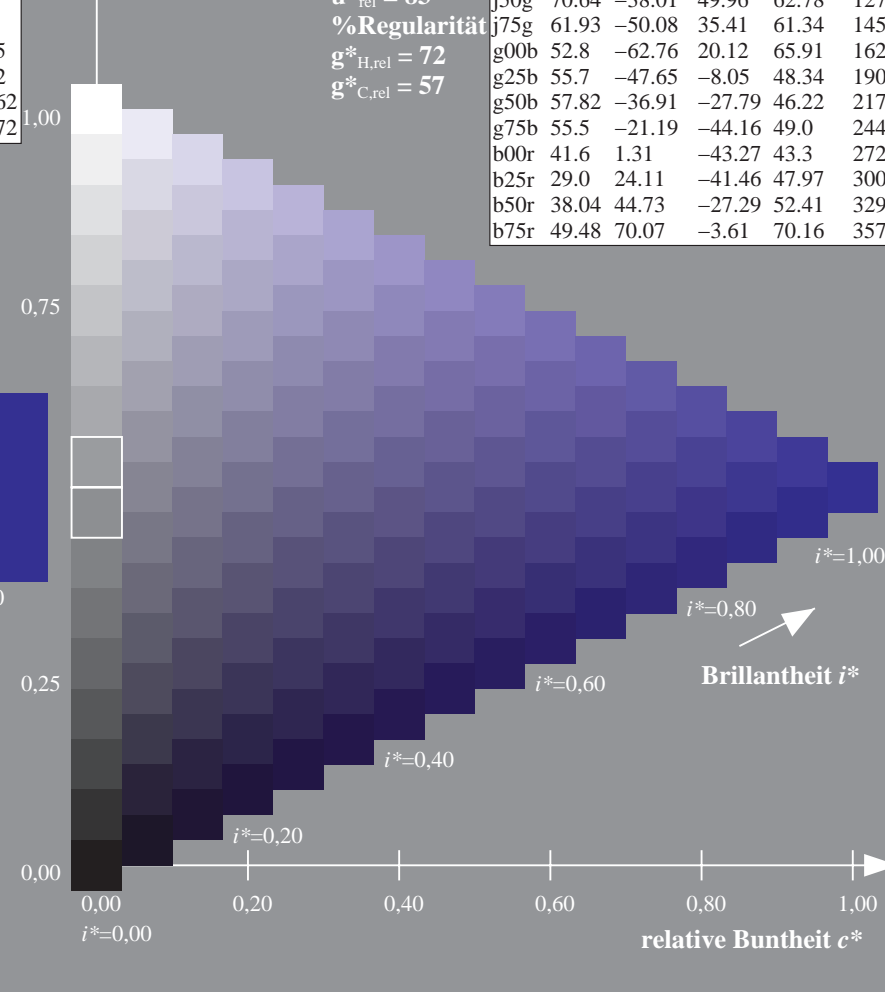
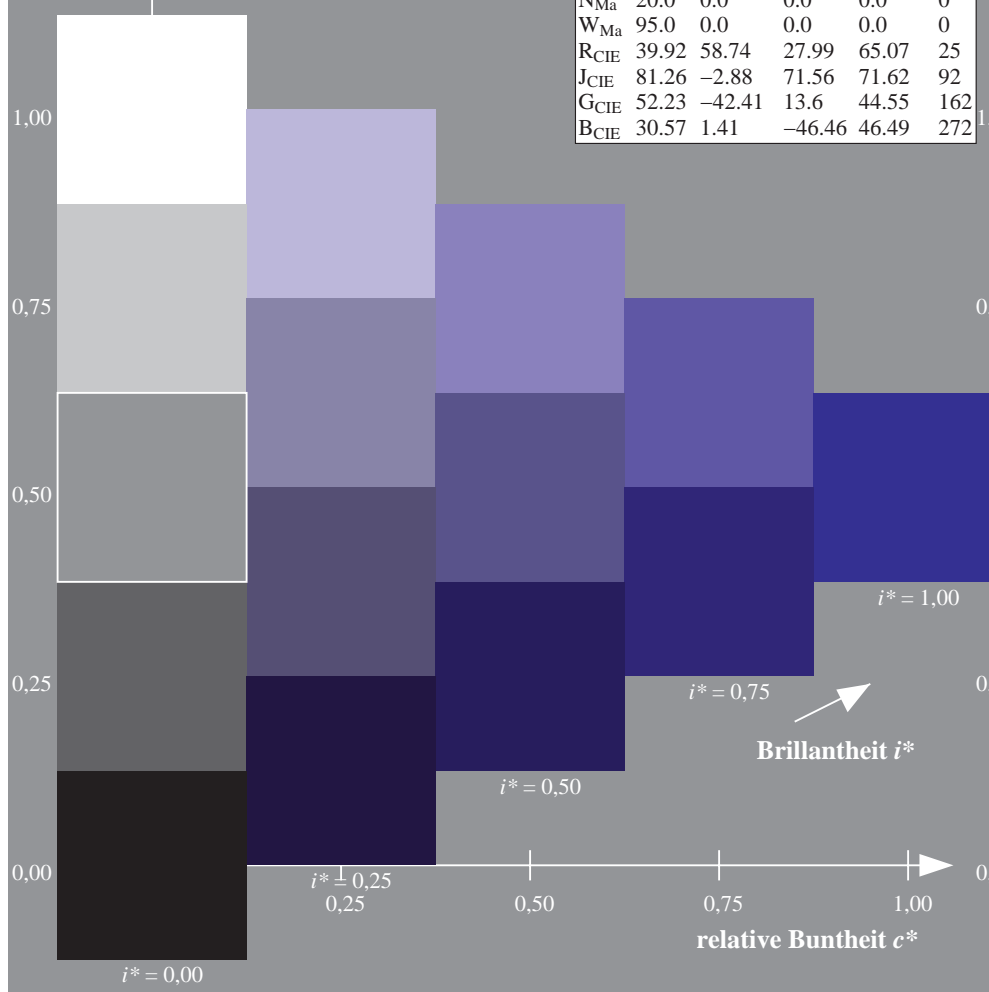
%Regelartigkeit

$g^*_{H,rel} = 72$

$g^*_{C,rel} = 57$

ORS20_95a; adaptierte CIELAB-Daten

	$L^*=L_a^*$	a_a^*	b_a^*	$C_{ab,a}^*$	$h_{ab,a}^*$
r00j	48.88	63.91	30.45	70.79	25
r25j	55.85	50.36	45.65	67.97	42
r50j	65.45	33.86	56.12	65.54	59
r75j	75.19	17.13	66.73	68.89	76
j00g	87.03	-3.21	79.64	79.7	92
j25g	80.72	-24.03	66.82	71.01	110
j50g	70.64	-38.01	49.96	62.78	127
j75g	61.93	-50.08	35.41	61.34	145
g00b	52.8	-62.76	20.12	65.91	162
g25b	55.7	-47.65	-8.05	48.34	190
g50b	57.82	-36.91	-27.79	46.22	217
g75b	55.5	-21.19	-44.16	49.0	244
b00r	41.6	1.31	-43.27	43.3	272
b25r	29.0	24.11	-41.46	47.97	300
b50r	38.04	44.73	-27.29	52.41	329
b75r	49.48	70.07	-3.61	70.16	357



Daten für jede Farbe:

*lab*tch** und *lab*icu**

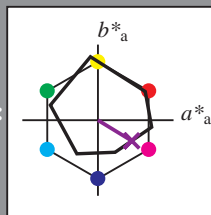
Elementar-Bunttontext:

$$u^* = b50r$$

Kontrastreduzierungsfaktor:

 $c_P = 0.96$

Dreiecks-Helligkeit t^*



ORS20 95a; adaptierte CIELAB-Daten					
	L^*_{a}	a^*_{a}	b^*_{a}	$C^*_{\text{ab,a}}$	$h^*_{\text{ab,a}}$
O _{Ma}	48.75	62.56	37.91	73.15	31
Y _{Ma}	90.92	-9.88	83.88	84.6	97
L _{Ma}	52.69	-62.9	19.95	66.0	162
C _{Ma}	59.61	-27.85	-44.43	52.45	238
V _{Ma}	28.39	22.72	-42.42	48.13	298
M _{Ma}	49.58	71.08	-9.19	71.67	353
N _{Ma}	20.0	0.0	0.0	0.0	0
W _{Ma}	95.0	0.0	0.0	0.0	0
R _{CIE}	39.92	58.74	27.99	65.07	25
J _{CIE}	81.26	-2.88	71.56	71.62	92
G _{CIE}	52.23	-42.41	13.6	44.55	162
B _{CIE}	30.57	1.41	-46.46	46.49	272

Daten für Maximalfarbe (Ma):

*LAB*LAB**_{Ma}: 38 45 -26

*LAB*ICH**M₂: 38 52 329

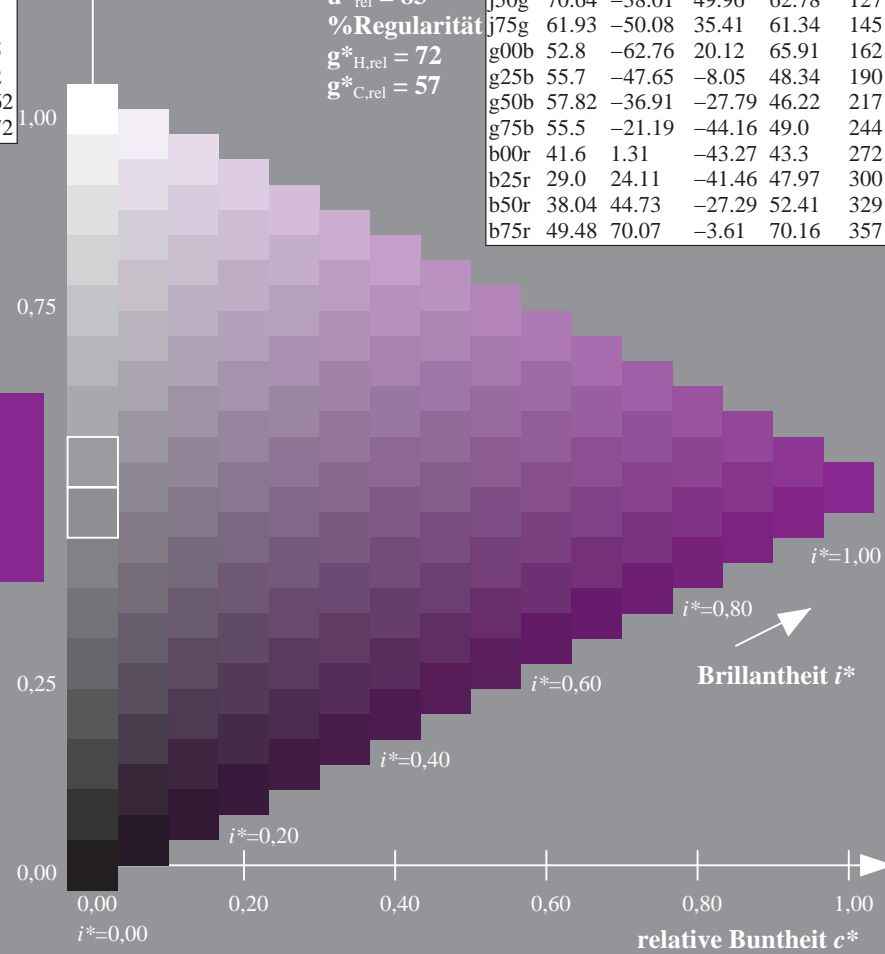
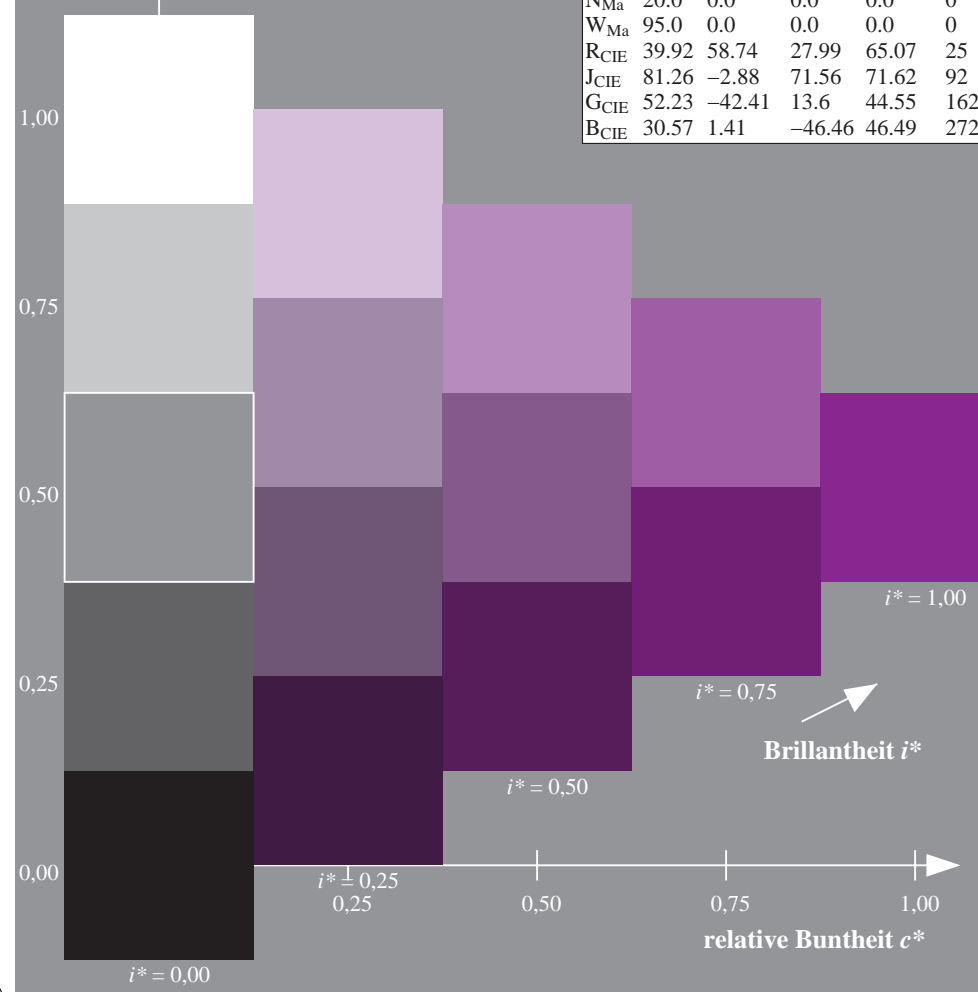
 $lab*rgb*Ma: 1.0\ 0.0\ 1.0$

*lab*ply*Ma*: 0.46 0.0 1.0

Dreiecks-Helligkeit t^*

Extraneous Weight:

ORS20_95a; adaptierte CIELAB-Daten					
	L^*_a	a^*_a	b^*_a	$C^*_{ab,a}$	$h^*_{ab,a}$
r00j	48.88	63.91	30.45	70.79	25
r25j	55.85	50.36	45.65	67.97	42
r50j	65.45	33.86	56.12	65.54	59
r75j	75.19	17.13	66.73	68.89	76
j00g	87.03	-3.21	79.64	79.7	92
j25g	80.72	-24.03	66.82	71.01	110
j50g	70.64	-38.01	49.96	62.78	127
j75g	61.93	-50.08	35.41	61.34	145
g00b	52.8	-62.76	20.12	65.91	162
g25b	55.7	-47.65	-8.05	48.34	190
g50b	57.82	-36.91	-27.79	46.22	217
g75b	55.5	-21.19	-44.16	49.0	244
b00r	41.6	1.31	-43.27	43.3	272
b25r	29.0	24.11	-41.46	47.97	300
b50r	38.04	44.73	-27.29	52.41	329
b75r	49.48	70.07	-3.61	70.16	357



Daten für jede Farbe:

*lab*tch** und *lab*icu**

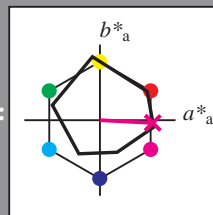
Elementar-Bunttontext:

$$u^* = b75r$$

Kontrastreduzierungsfaktor:

 $c_P = 0.96$

Dreiecks-Helligkeit t^*



ORS20 95a; adaptierte CIELAB-Daten					
	L^*_{a}	a^*_{a}	b^*_{a}	$C^*_{\text{ab,a}}$	$h^*_{\text{ab,a}}$
O _{Ma}	48.75	62.56	37.91	73.15	31
Y _{Ma}	90.92	-9.88	83.88	84.6	97
L _{Ma}	52.69	-62.9	19.95	66.0	162
C _{Ma}	59.61	-27.85	-44.43	52.45	238
V _{Ma}	28.39	22.72	-42.42	48.13	298
M _{Ma}	49.58	71.08	-9.19	71.67	353
N _{Ma}	20.0	0.0	0.0	0.0	0
W _{Ma}	95.0	0.0	0.0	0.0	0
R _{CIE}	39.92	58.74	27.99	65.07	25
J _{CIE}	81.26	-2.88	71.56	71.62	92
G _{CIE}	52.23	-42.41	13.6	44.55	162
B _{CIE}	30.57	1.41	-46.46	46.49	272

Daten für Maximalfarbe (Ma):

LAB*LAB*MO: 49 70 -3

LAB*LAB Ma. 49 76 -5
LAB*LAB 49 76 255

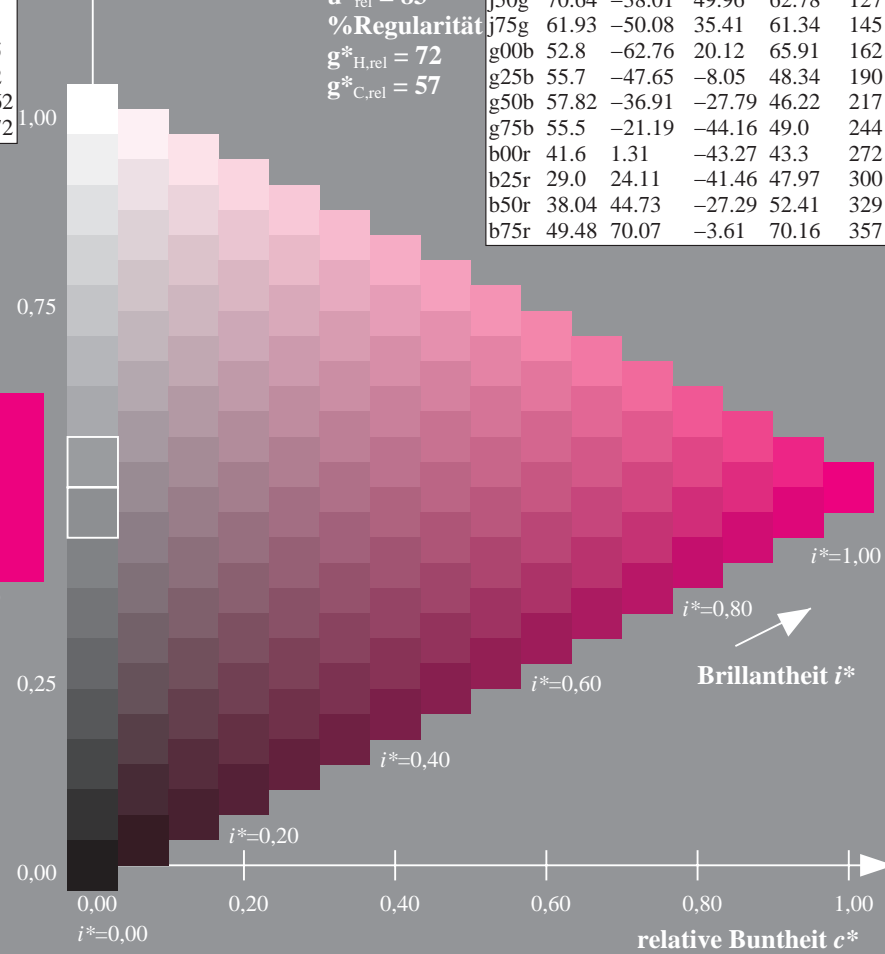
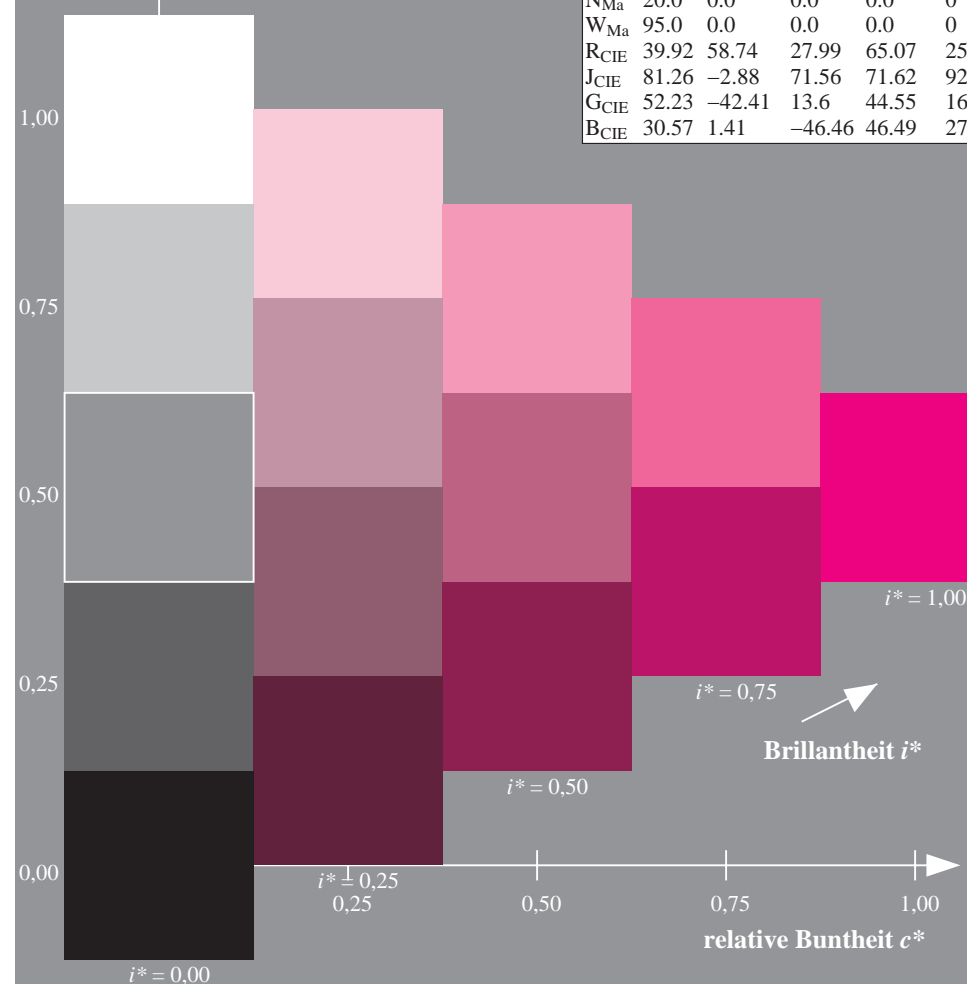
LAB*LCH*Ma: 49 70 3

*lab*rgb*_Ma: 1.0 0.0 0.5*

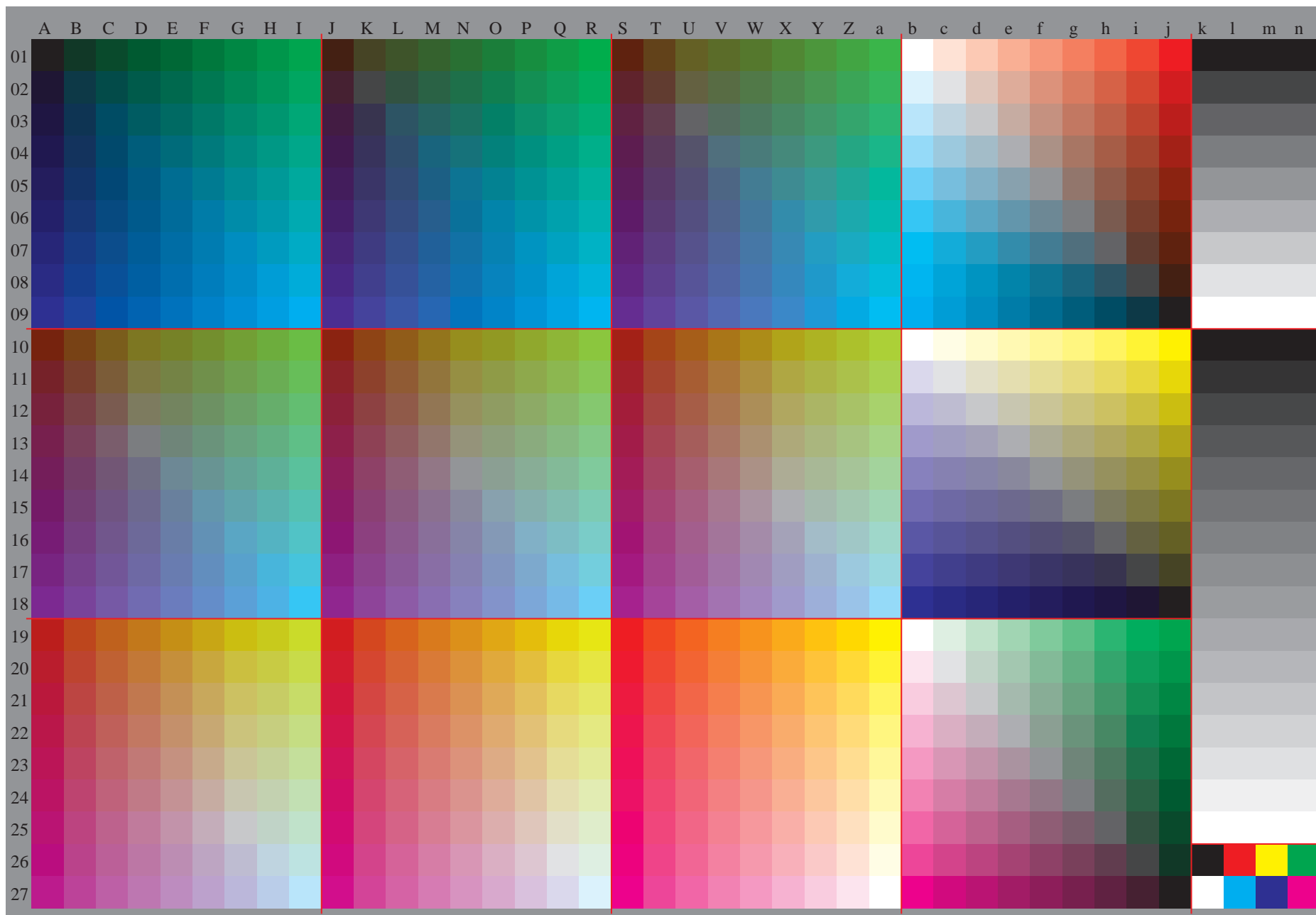
*lab*olv**Ma: 1.0 0.0 0.88

Dreiecks-Helligkeit t^*

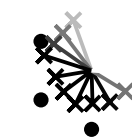
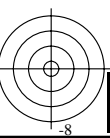
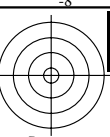
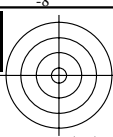
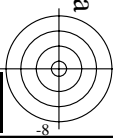
ORS20_95a; adaptierte CIELAB-Daten					
	L^*_a	a^*_a	b^*_a	$C^*_{ab,a}$	$h^*_{ab,a}$
r00j	48.88	63.91	30.45	70.79	25
r25j	55.85	50.36	45.65	67.97	42
r50j	65.45	33.86	56.12	65.54	59
r75j	75.19	17.13	66.73	68.89	76
j00g	87.03	-3.21	79.64	79.7	92
j25g	80.72	-24.03	66.82	71.01	110
j50g	70.64	-38.01	49.96	62.78	127
j75g	61.93	-50.08	35.41	61.34	145
g00b	52.8	-62.76	20.12	65.91	162
g25b	55.7	-47.65	-8.05	48.34	190
g50b	57.82	-36.91	-27.79	46.22	217
g75b	55.5	-21.19	-44.16	49.0	244
b00r	41.6	1.31	-43.27	43.3	272
b25r	29.0	24.11	-41.46	47.97	300
b50r	38.04	44.73	-27.29	52.41	329
b75r	49.48	70.07	-3.61	70.16	357

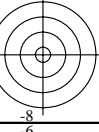


Siehe ähnliche Dateien: <http://www.ps.bam.de/Dg73/>; [www.ps.bam.de/Dg73/](http://www.ps.bam.de/Dg73/Version%202.1%20io%3D1%20ColSp%3D1); [www.ps.bam.de/Dg73/](http://www.ps.bam.de/Dg73/Version%202.1%20io%3D1%20ColSp%3D1)
Technische Information: [http://www.ps.bam.de/Version 2.1, io=1,1, ColSp=1](http://www.ps.bam.de/Version%202.1%20io%3D1%20ColSp%3D1)



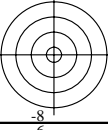
Siehe ähnliche Dateien: <http://www.ps.bam.de/Dg73/>; www.ps.bam.de/Dg.HTM
Technische Information: <http://www.ps.bam.de> Version 2.1, io=1,1, ColSpx=1





Siehe ähnliche Dateien: <http://www.ps.bam.de/Dg73/>; www.ps.bam.de/Dg.HTM
Technische Information: <http://www.ps.bam.de> Version 2.1, io=1,1, ColSpx=1



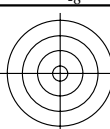


Eingabe: 000n / w / nnn0 / www.set...
Ausgabe: ->cmyn5*setcmykcolor

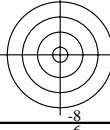
BAM-Prüfvorlage Dg73; Farbmetrik-Systeme, Seite 39/108
Farbreihen und 3 Separationen für 16 Bunttöne r00j bis b75r

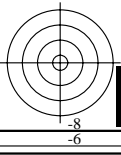
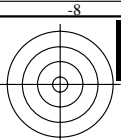
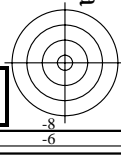
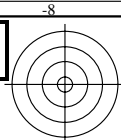


www.ps.bam.de/Dg73/10L/L73G00NP.PS/.PDF, Seite 39/108; Transfer und Ausgabe
N: Keine Ausgabe-Linearisierung (OL) in Datei (F), Startup (S), Gerät (D); Separation: cmyn

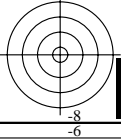
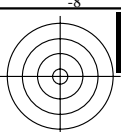
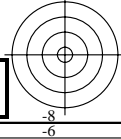
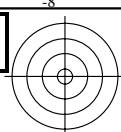


Siehe ähnliche Dateien: <http://www.ps.bam.de/Dg73/>; www.ps.bam.de/Dg.HTM
Technische Information: <http://www.ps.bam.de> Version 2.1, io=1,1, ColSpx=1

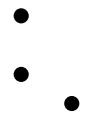


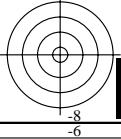
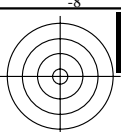
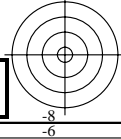
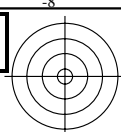


Siehe ähnliche Dateien: <http://www.ps.bam.de/Dg73/>; www.ps.bam.de/Dg.HTM
Technische Information: <http://www.ps.bam.de> Version 2.1, io=1,1, ColSpx=1

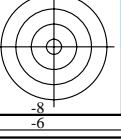
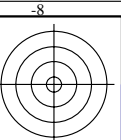


Siehe ähnliche Dateien: <http://www.ps.bam.de/Dg73/>; www.ps.bam.de/Dg.HTM
Technische Information: <http://www.ps.bam.de> Version 2.1, io=1,1, ColSpx=1

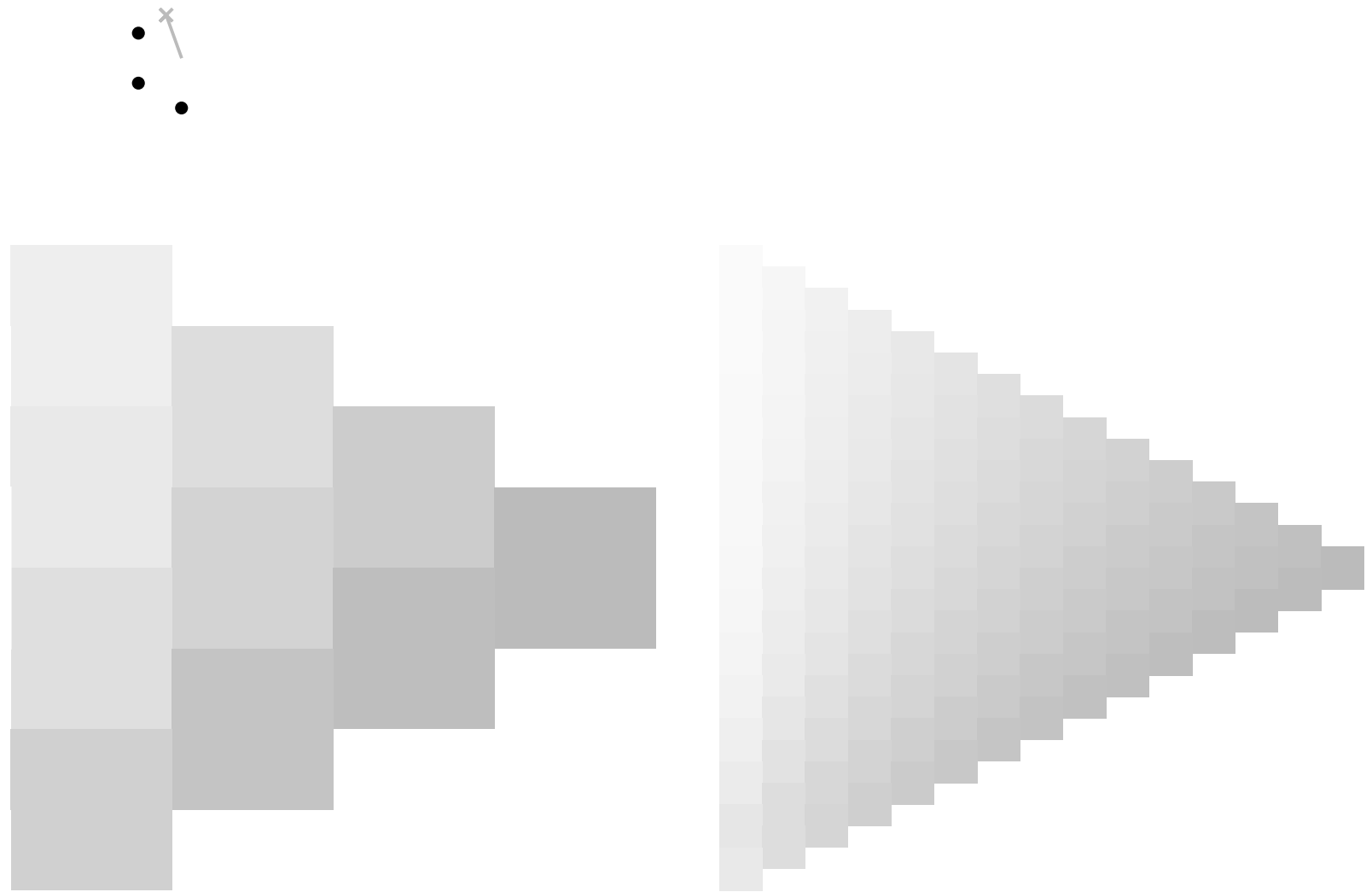


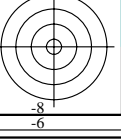
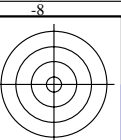


Siehe ähnliche Dateien: <http://www.ps.bam.de/Dg73/>; www.ps.bam.de/Dg.HTM
Technische Information: <http://www.ps.bam.de> Version 2.1, io=1,1, ColSpx=1

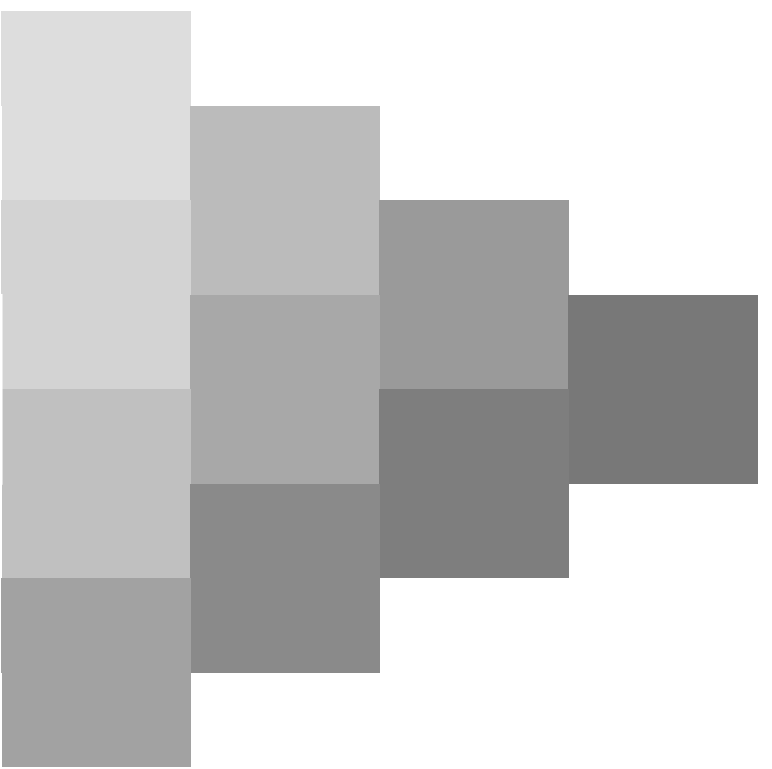
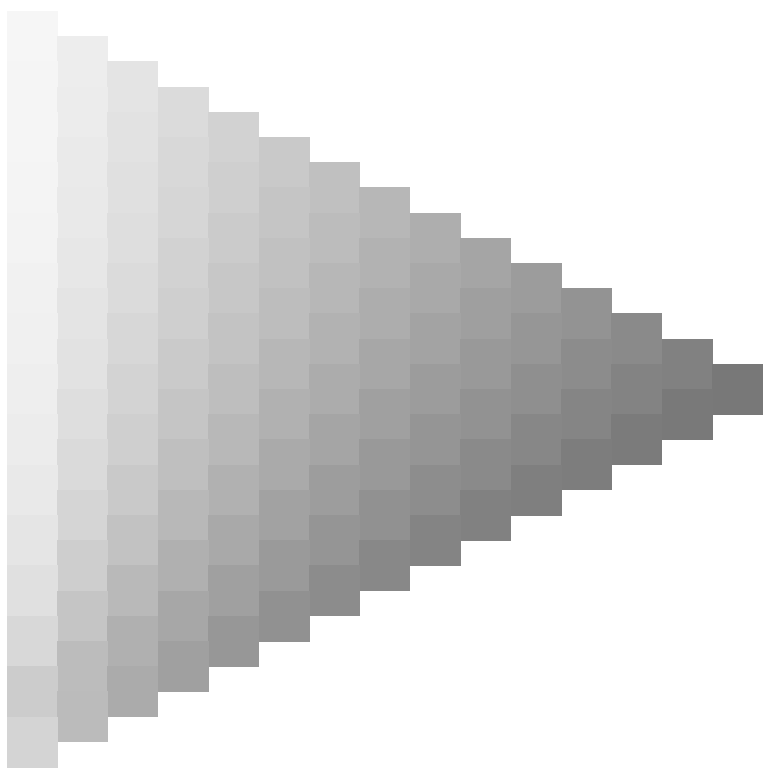


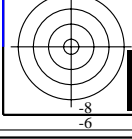
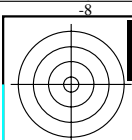
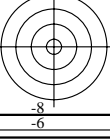
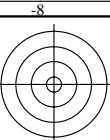
Siehe ähnliche Dateien: <http://www.ps.bam.de/Dg73/>; www.ps.bam.de/Dg.HTM
Technische Information: <http://www.ps.bam.de> Version 2.1, io=1,1, ColSpx=1



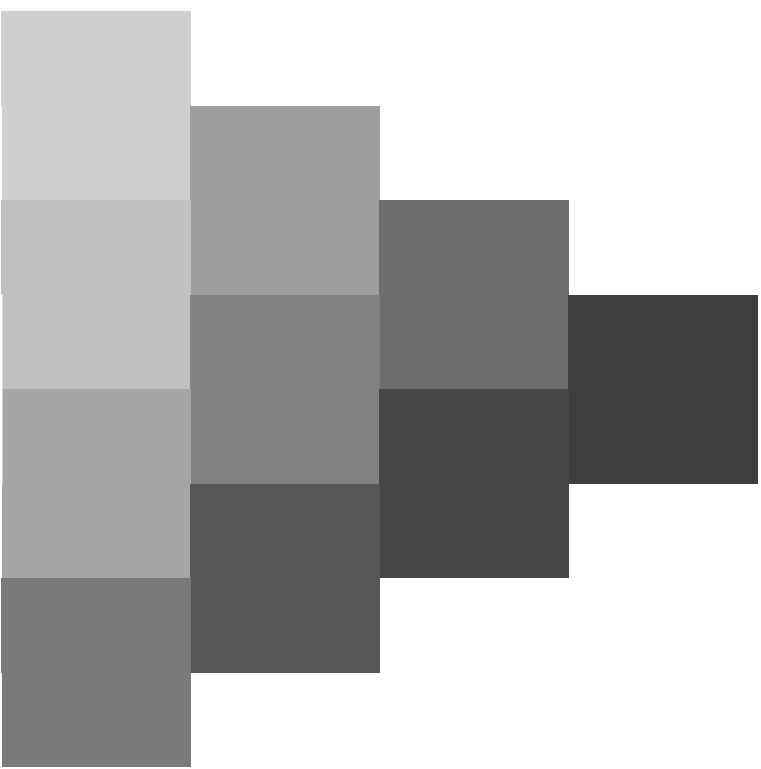
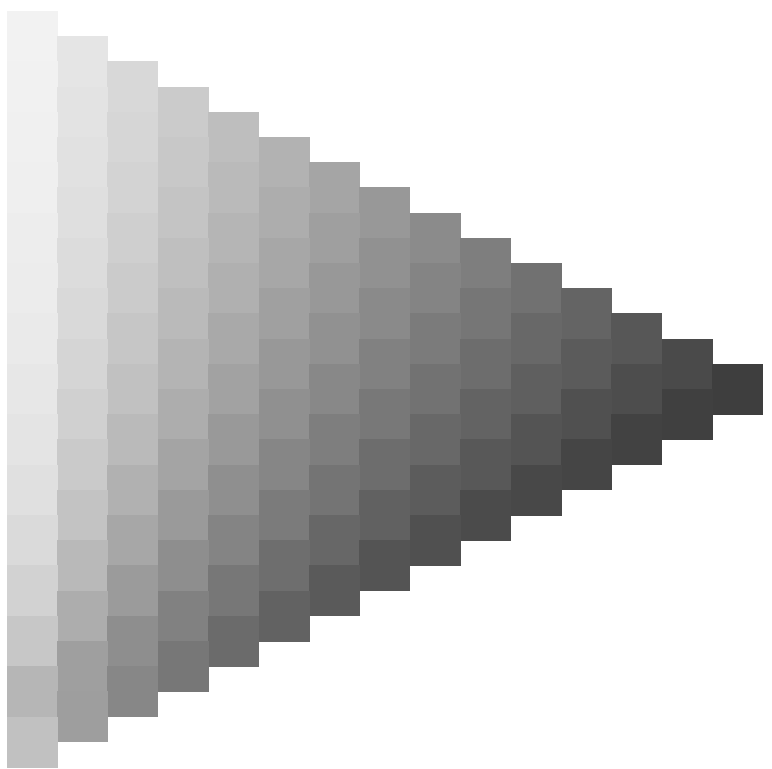


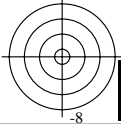
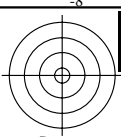
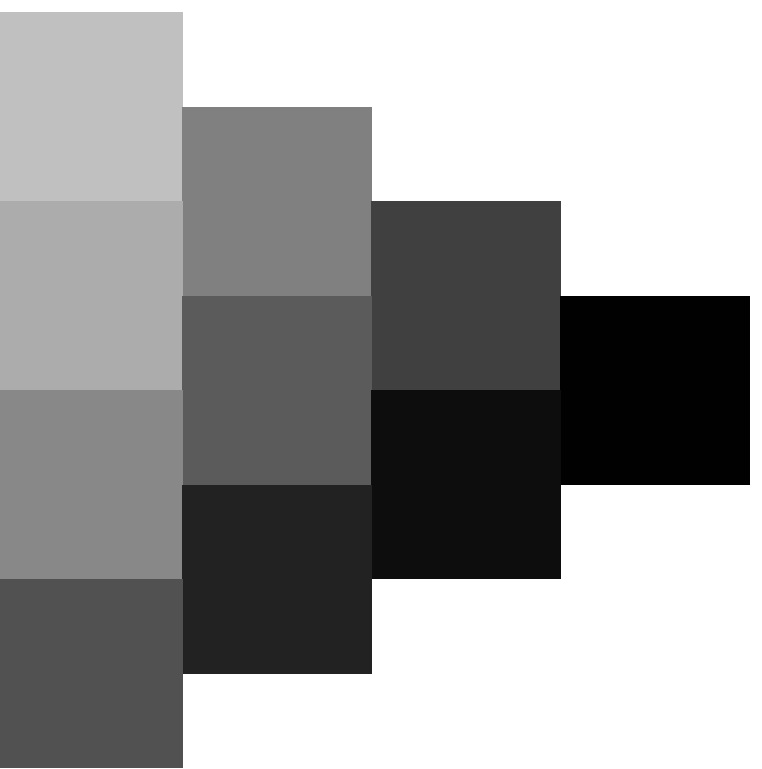
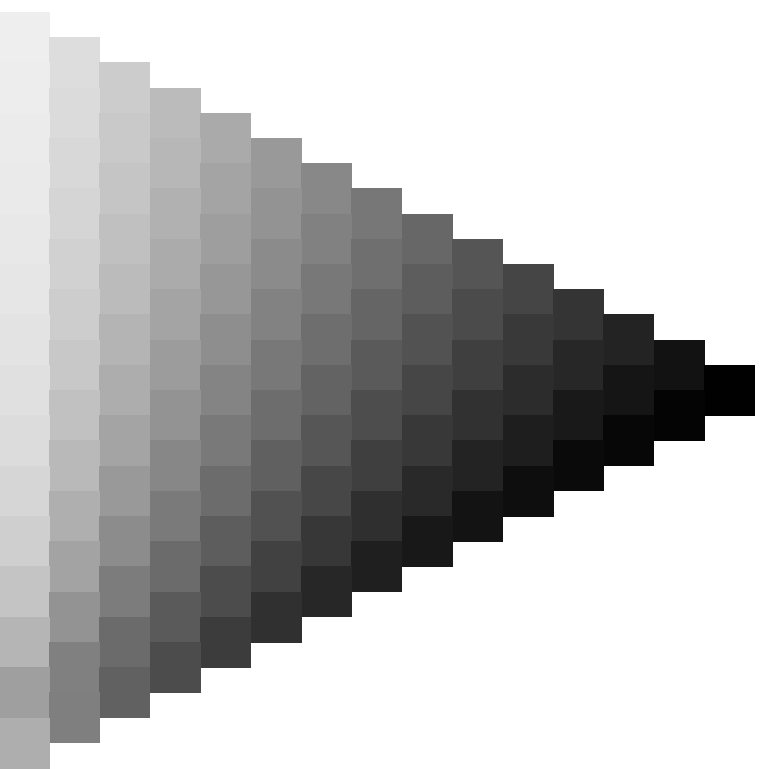
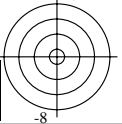
Siehe ähnliche Dateien: <http://www.ps.bam.de/Dg73/>; www.ps.bam.de/Dg.HTM
Technische Information: <http://www.ps.bam.de> Version 2.1, io=1,1, ColSpx=1

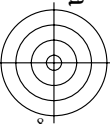




Siehe ähnliche Dateien: <http://www.ps.bam.de/Dg73/>; www.ps.bam.de/Dg.HTM
Technische Information: <http://www.ps.bam.de> Version 2.1, io=1,1, ColSpx=1

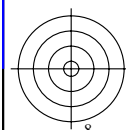
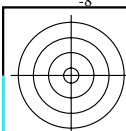
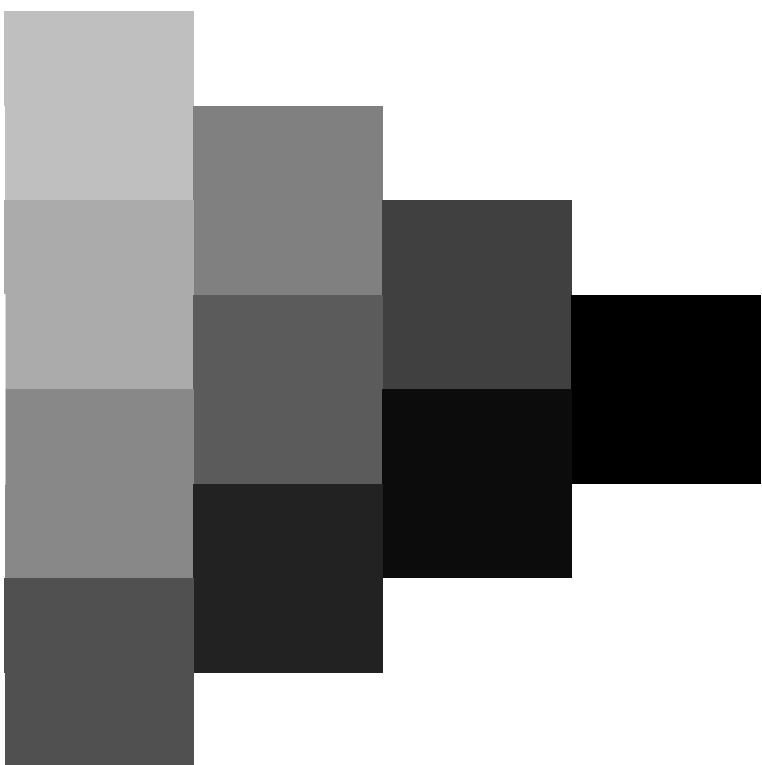


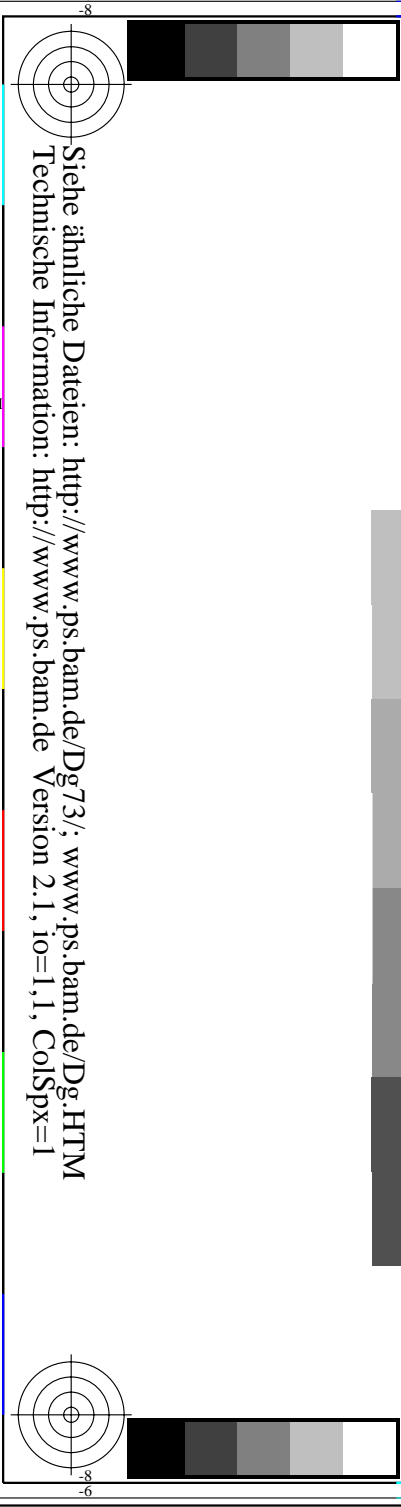
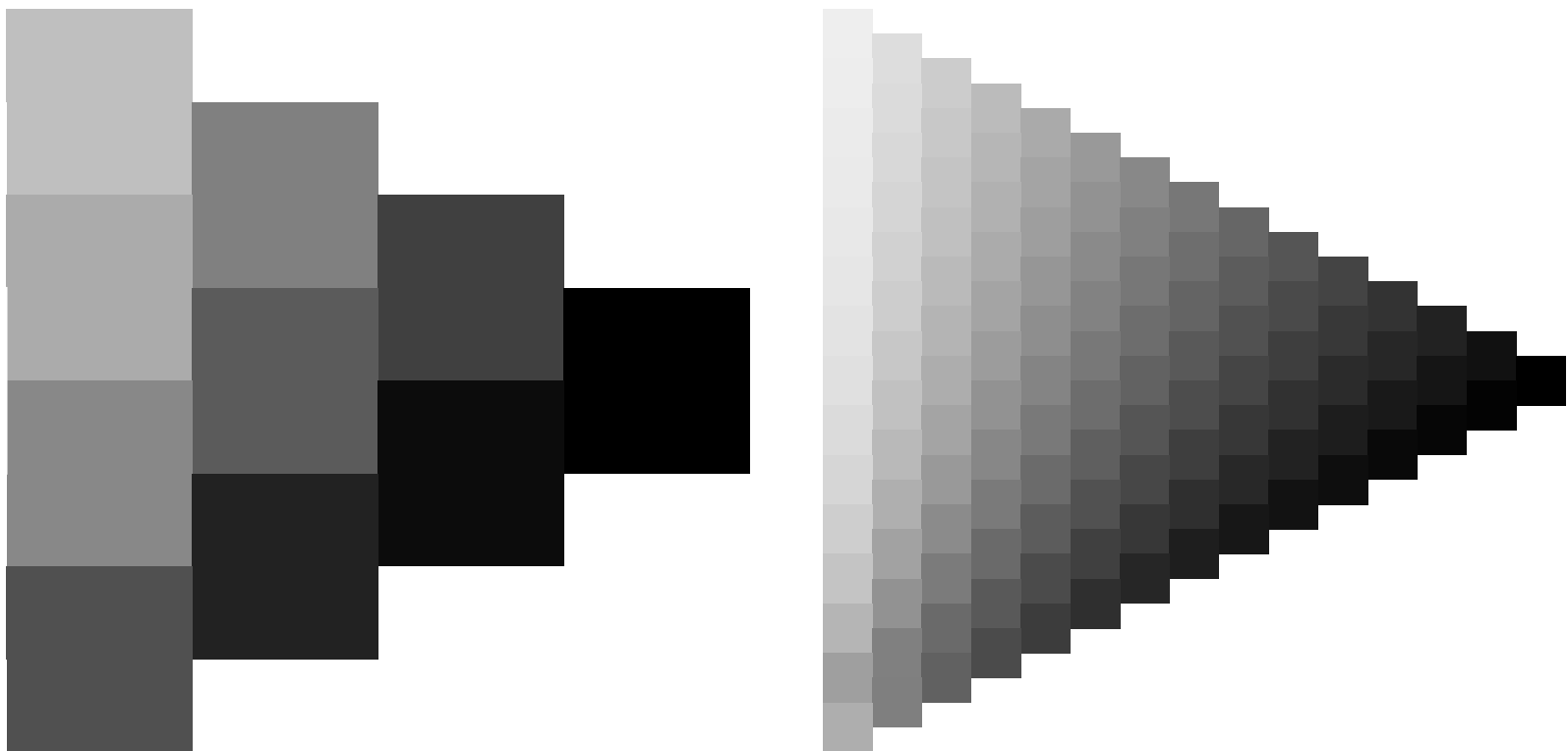


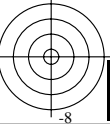
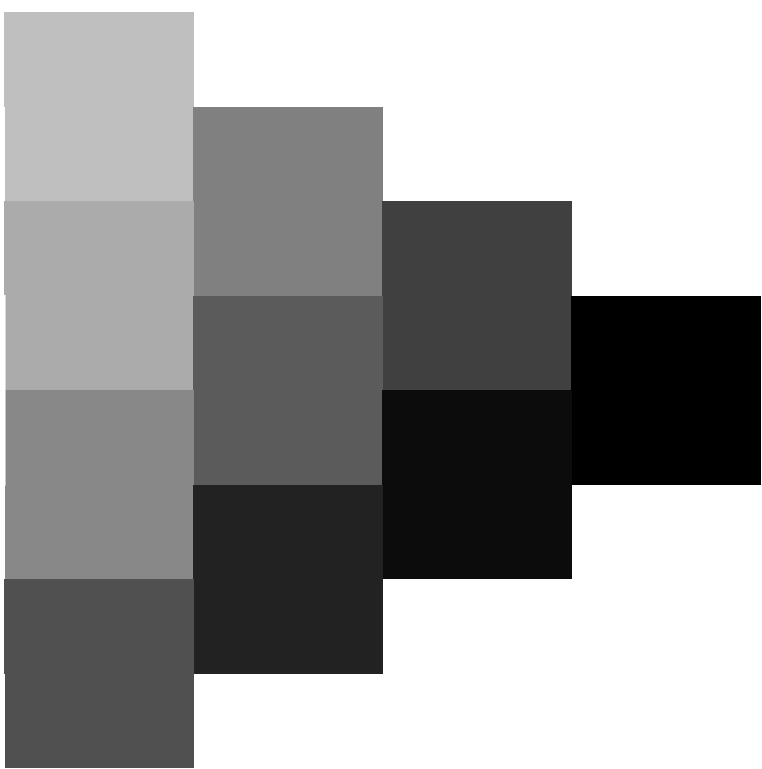
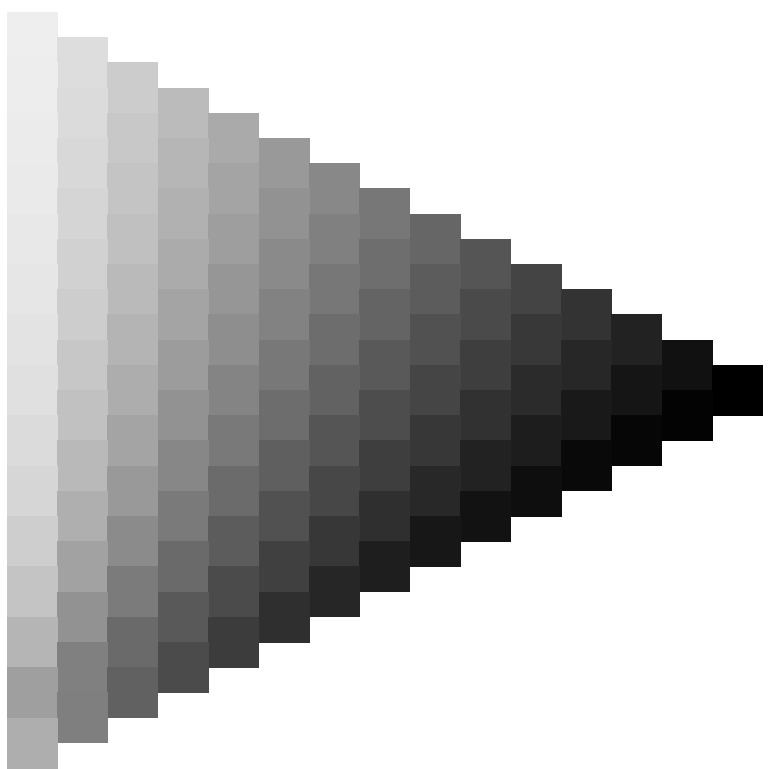
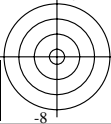


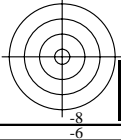
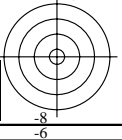
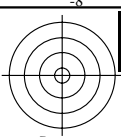
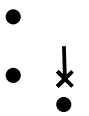
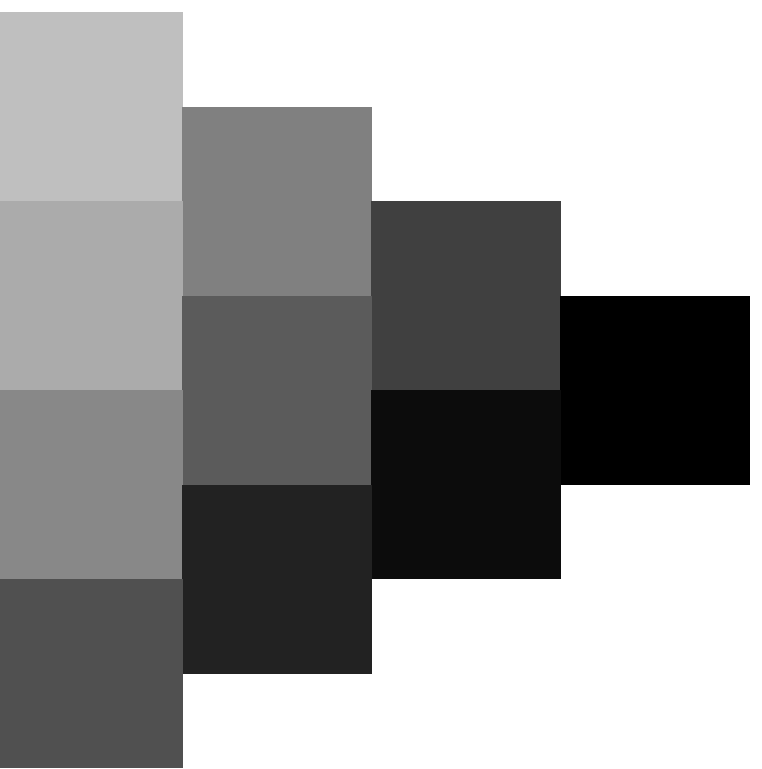
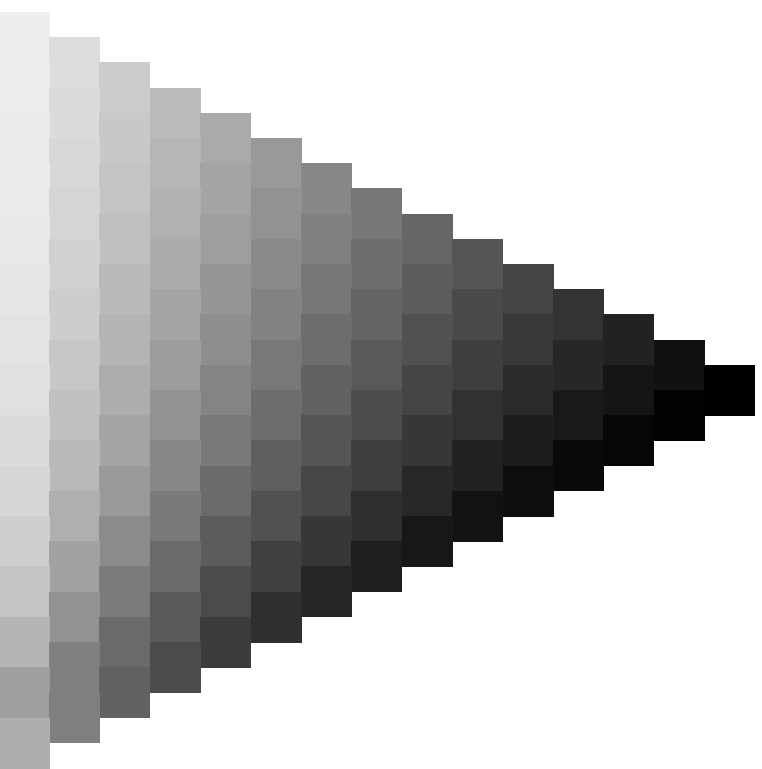
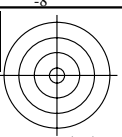
Eingabe: 000n / w / nnn0 / www.set...
Ausgabe: ->cmyn5*setmykcolor

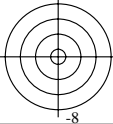
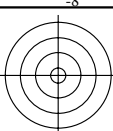
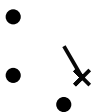
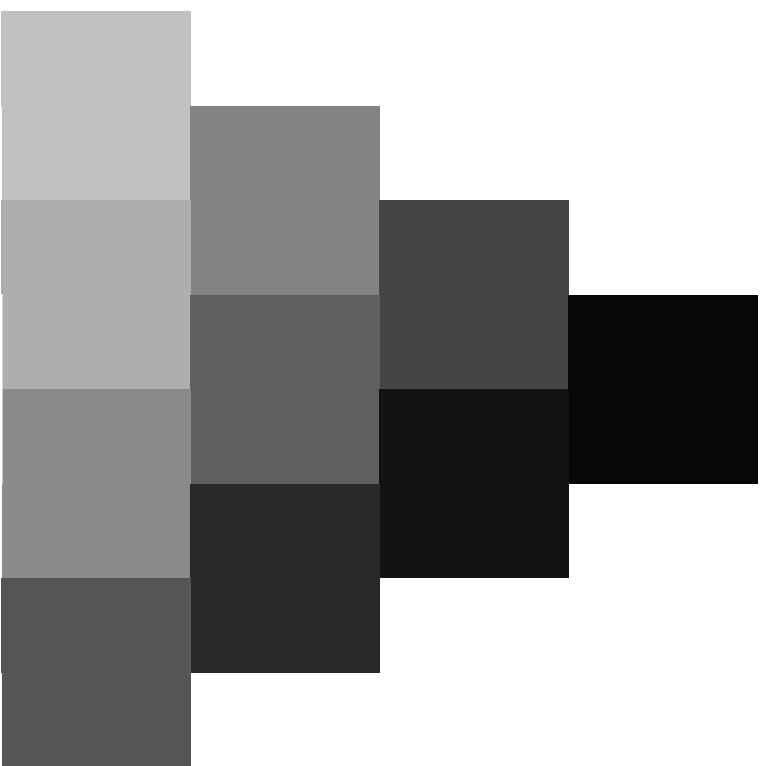
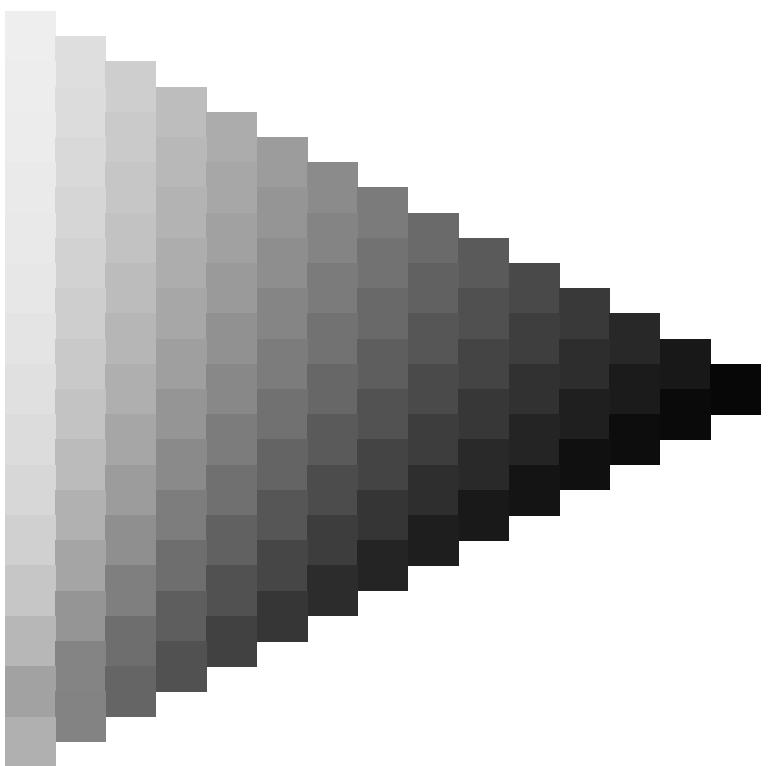
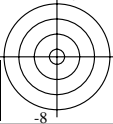
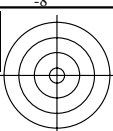
BAM-Prüfvorlage Dg73; Farbmetrik-Systeme, Seite 47/108
Farbreihen und 3 Separationen für 16 Bunttöne r00j bis b75r

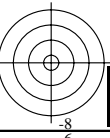
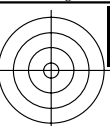
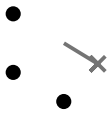
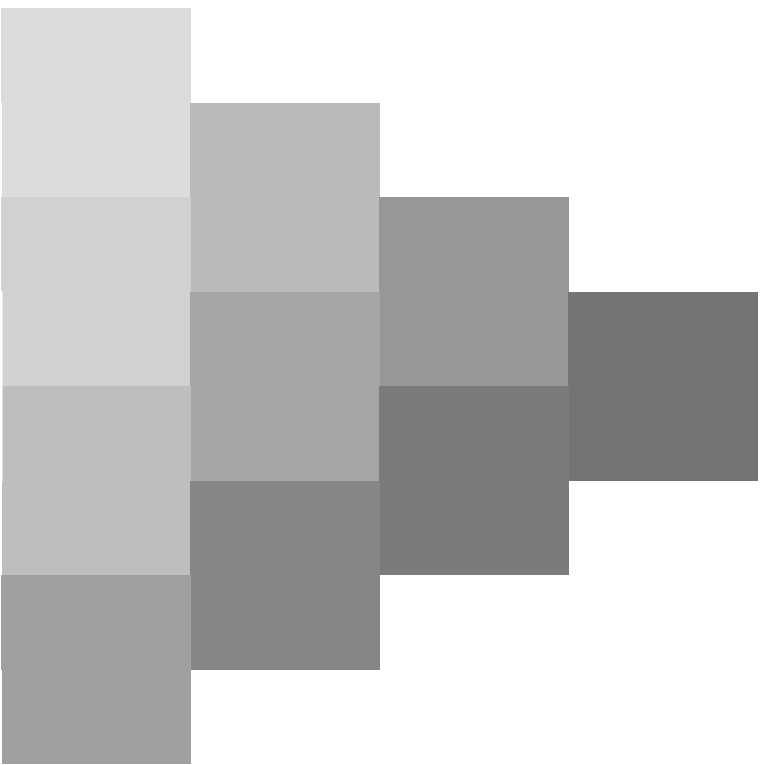
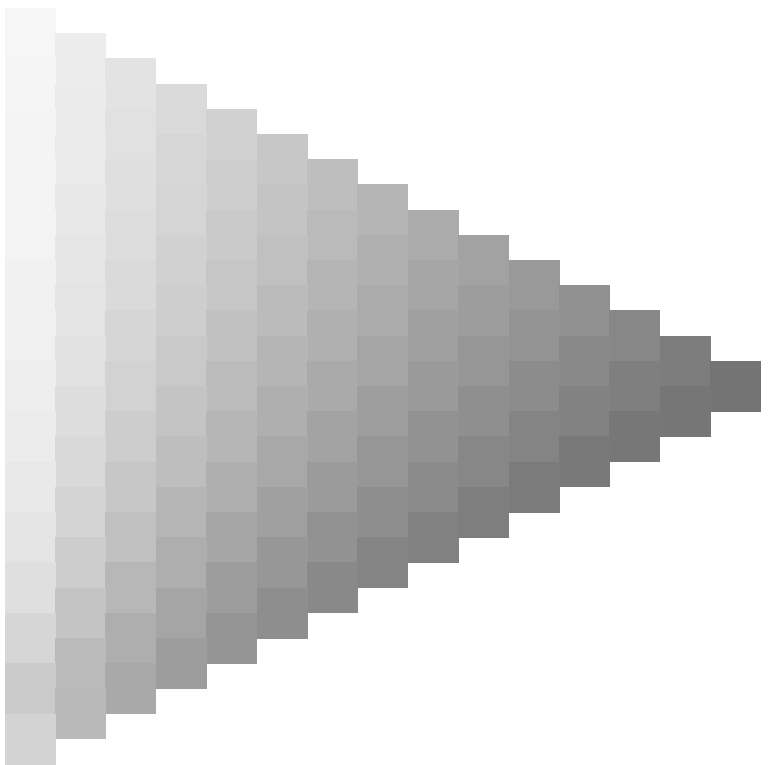


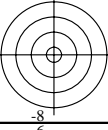




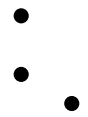
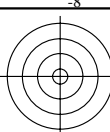
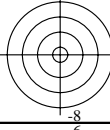


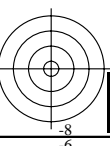
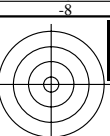
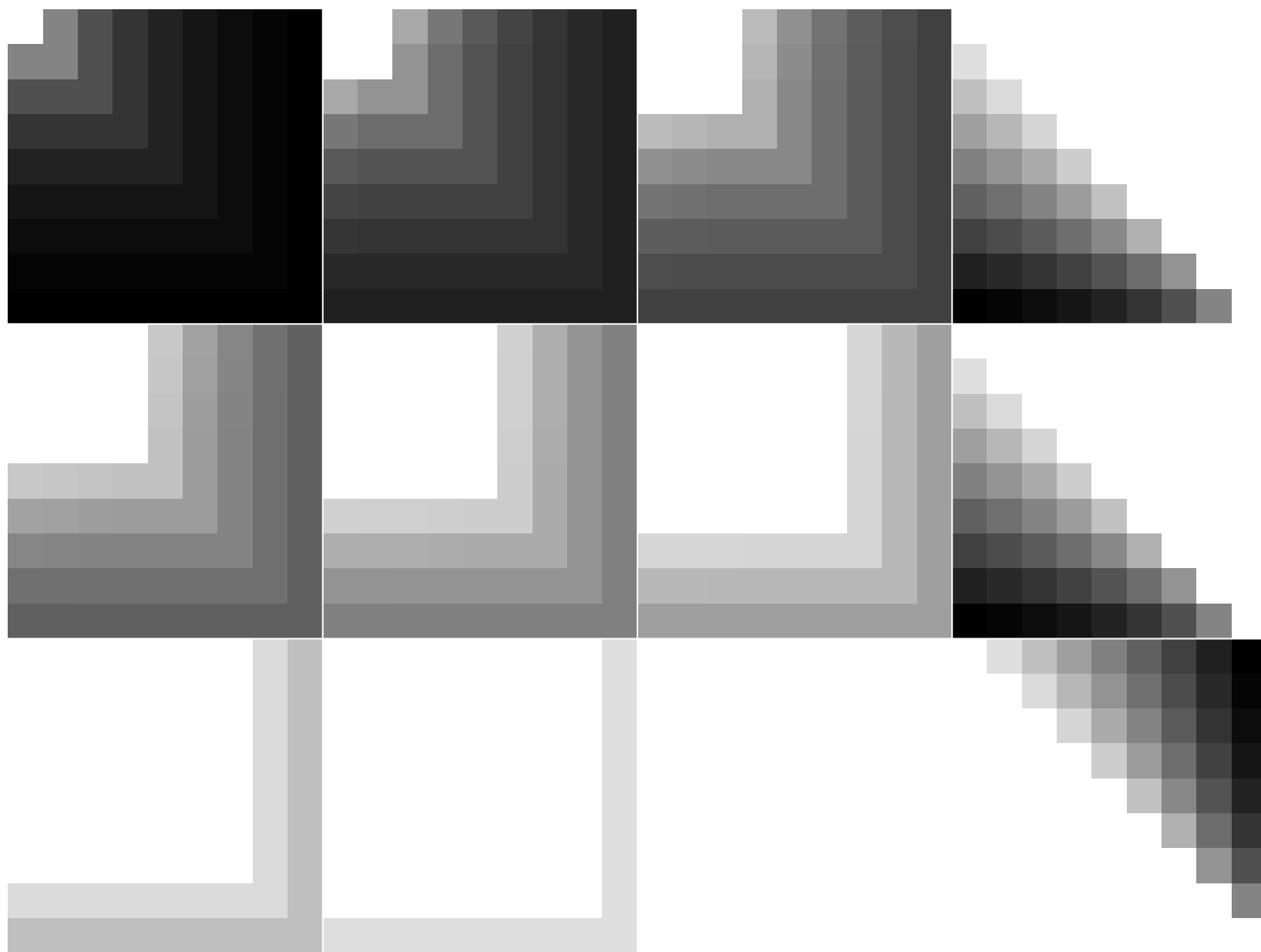
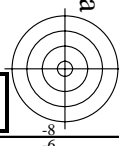
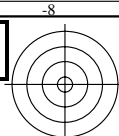






Eingabe: 000n / w / nnn0 / www set...
Ausgabe: ->cmyn5* setcmykcolor

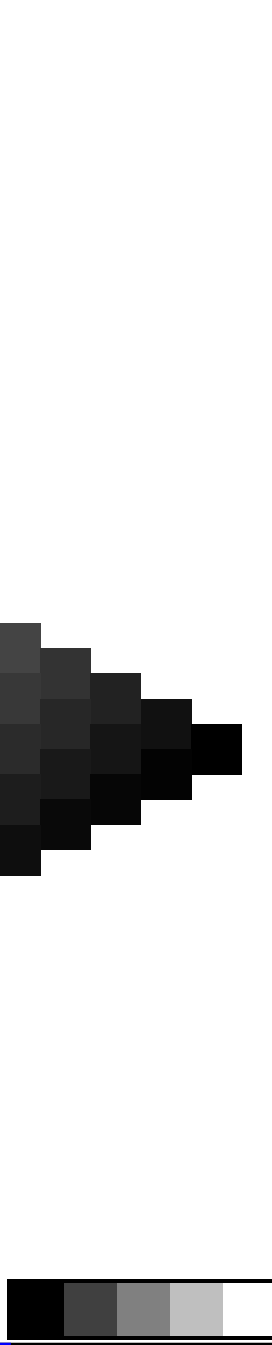






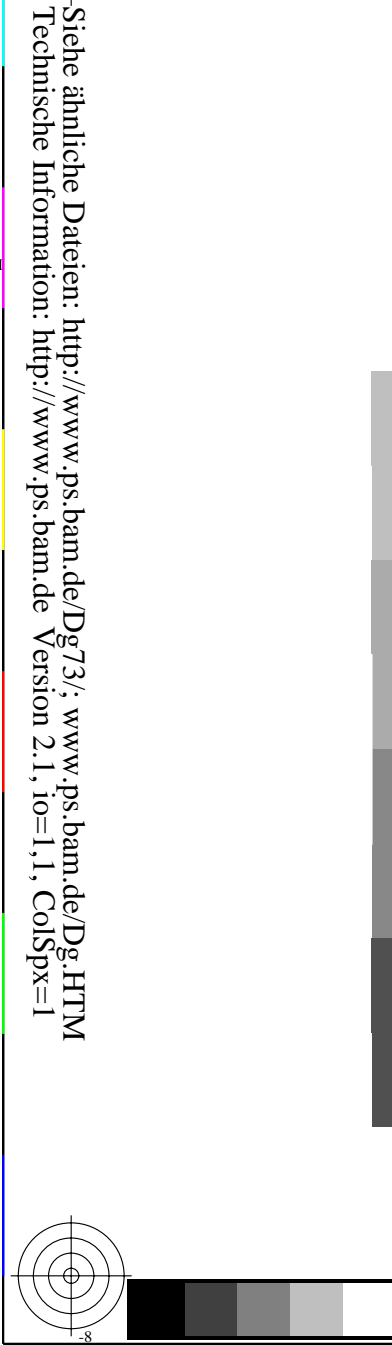


BAM-Registrierung: 20080701-Dg73/10L/L73G00NP.PS/.PDF BAM-Material: Code=rh4ta
Anwendung für Beurteilung und Messung von Drucker- oder Monitorsystemen



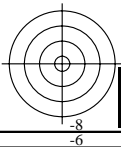
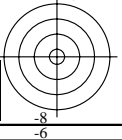
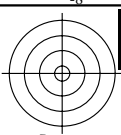
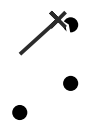
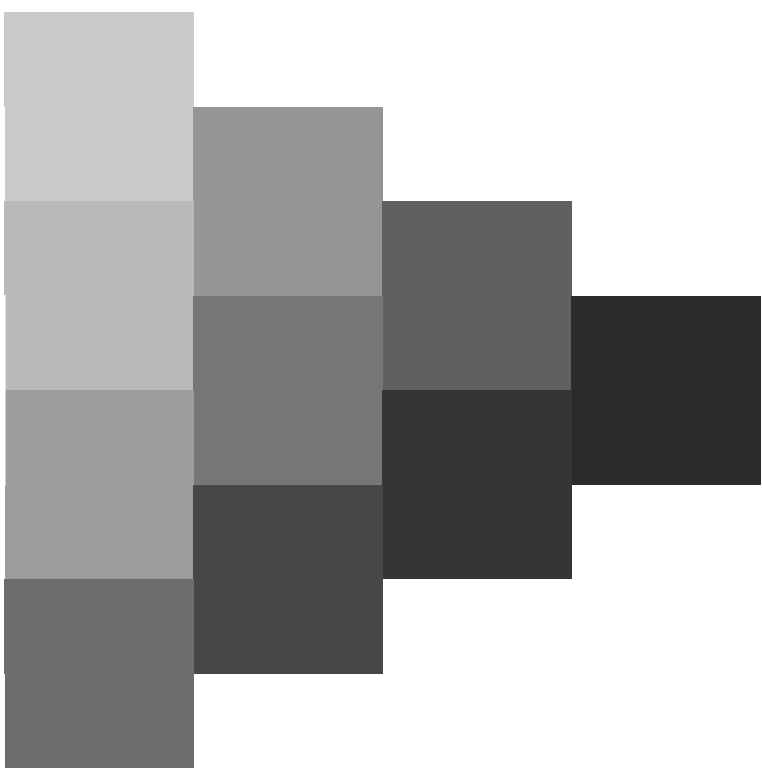
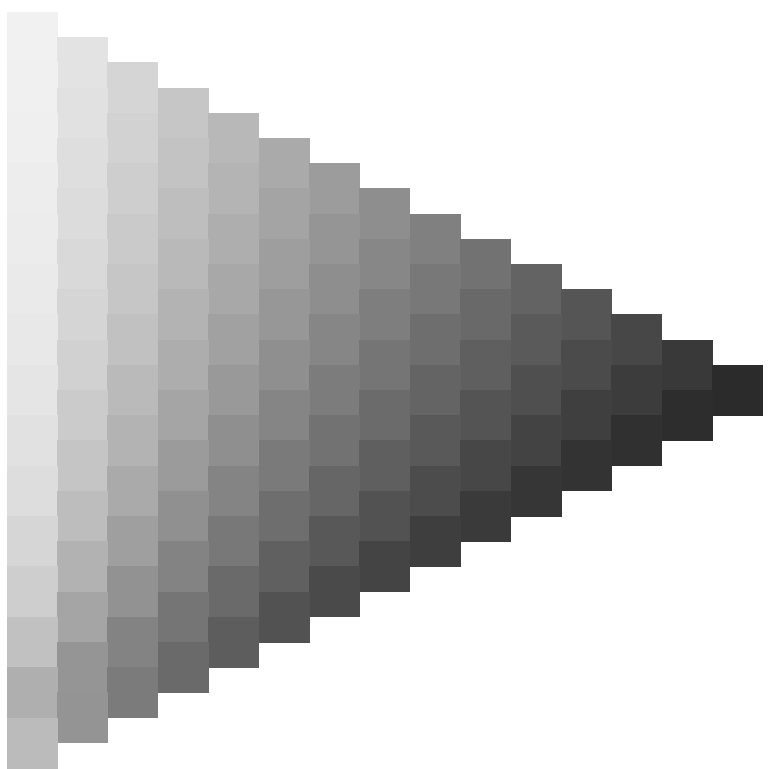
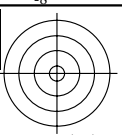
Eingabe: 000n / w / nnn0 / www set...
Ausgabe: ->cmyn5* setcmykcolor

BAM-Prüfvorlage Dg73; Farbmatrik-Systeme, Seite 56/108
Farbreihen und 3 Separationen für 16 Bunttöne *r00j* bis *b75r*



Siehe ähnliche Dateien: <http://www.ps.bam.de/Dg73>; www.ps.bam.de/Dg.HTM
Technische Information: <http://www.ps.bam.de> Version 2.1, io=1.1, ColSp=1

www.ps.bam.de/Dg73/10L/L73G00NP.PS/.PDF, Seite 56/108; Transfer und Ausgabe
N: Keine Ausgabe-Linearisierung (OL) in Datei (F), Startup (S), Gerät (D); Separation: cmyk





BAM-Registrierung: 20080701-Dg73/10L/L73G00NP.PS/.PDF BAM-Material: Code=rh4ta
Anwendung für Beurteilung und Messung von Drucker- oder Monitorsystemen



Eingabe: 000n / w / nnn0 / www set...
Ausgabe: ->cmyn5* setcmykcolor

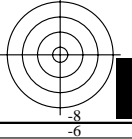
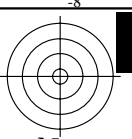
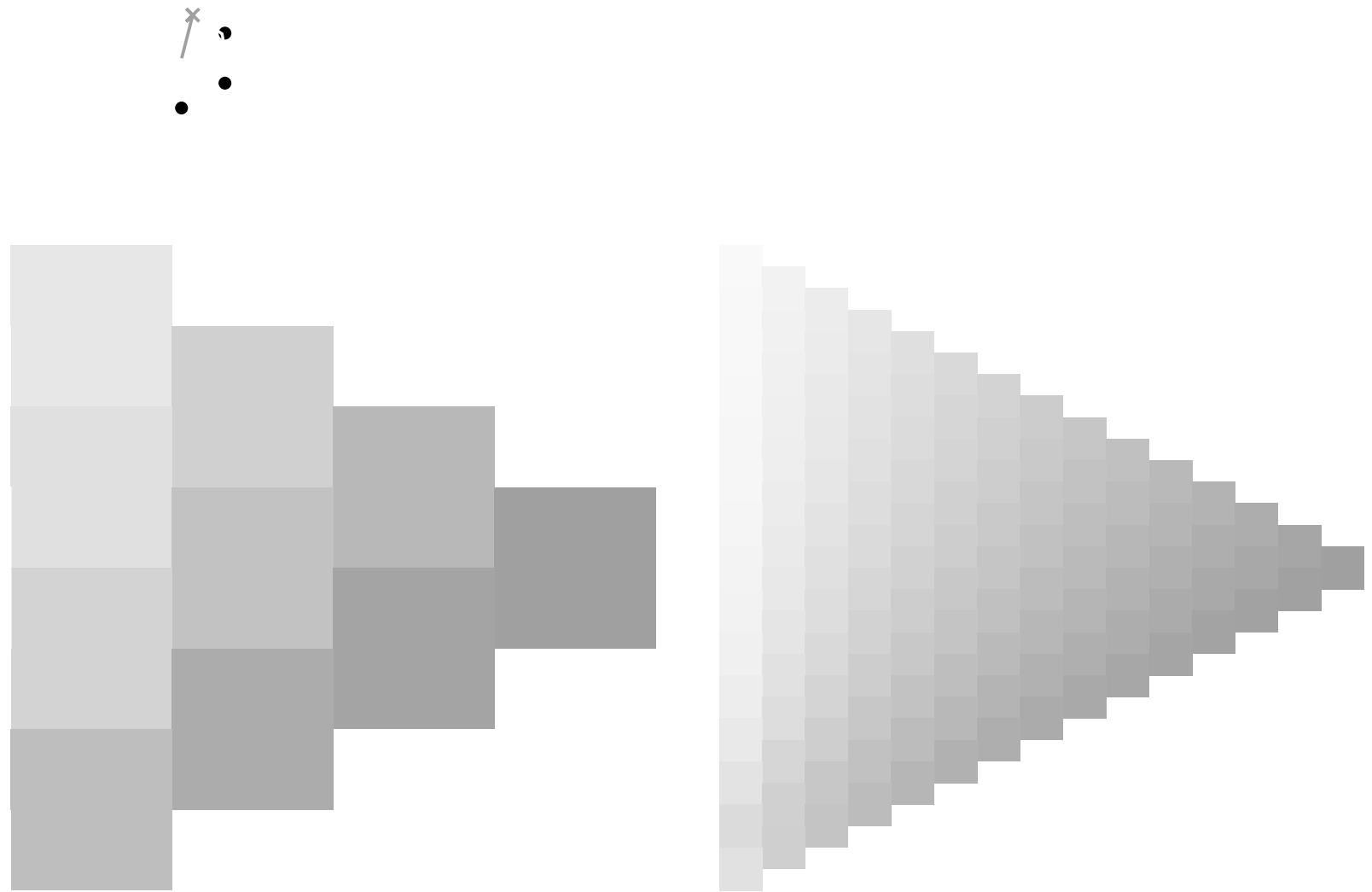
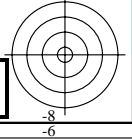
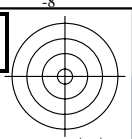


BAM-Prüfvorlage Dg73; Farbmeter-Systeme, Seite 58/108
Farbreihen und 3 Separationen für 16 Bunttöne *r00j* bis *b75n*

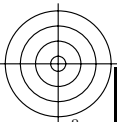
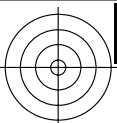
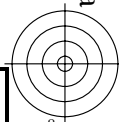
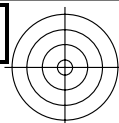


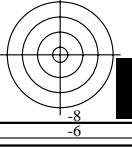
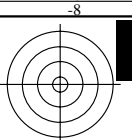
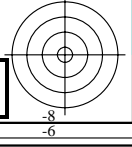
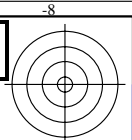
Siehe ähnliche Dateien: <http://www.ps.bam.de/Dg73>; www.ps.bam.de/Dg.HTM
Technische Information: <http://www.ps.bam.de> Version 2.1, io=1,1, ColSp=1

www.ps.bam.de/Dg73/10L/L73G00NP.PS/ .PDF, Seite 58/108; Transfer und Ausgabe
N: Keine Ausgabe-Linearisierung (OL) in Datei (F), Startup (S), Gerät (D); Separation: cmyk



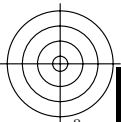
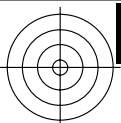
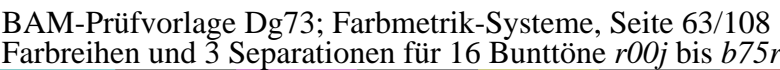
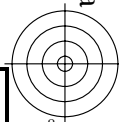
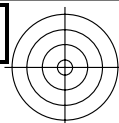


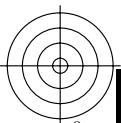
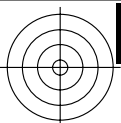
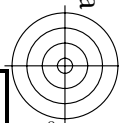
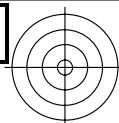


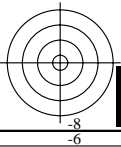
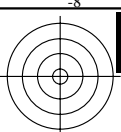
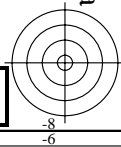
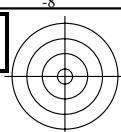


Siehe ähnliche Dateien: <http://www.ps.bam.de/Dg73/>; www.ps.bam.de/Dg.HTM
Technische Information: <http://www.ps.bam.de> Version 2.1, io=1,1, ColSpx=1

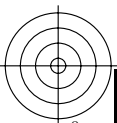
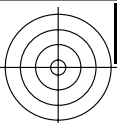
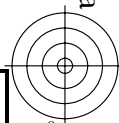
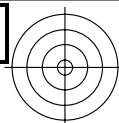


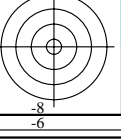
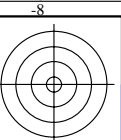






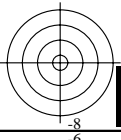
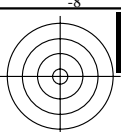
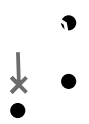
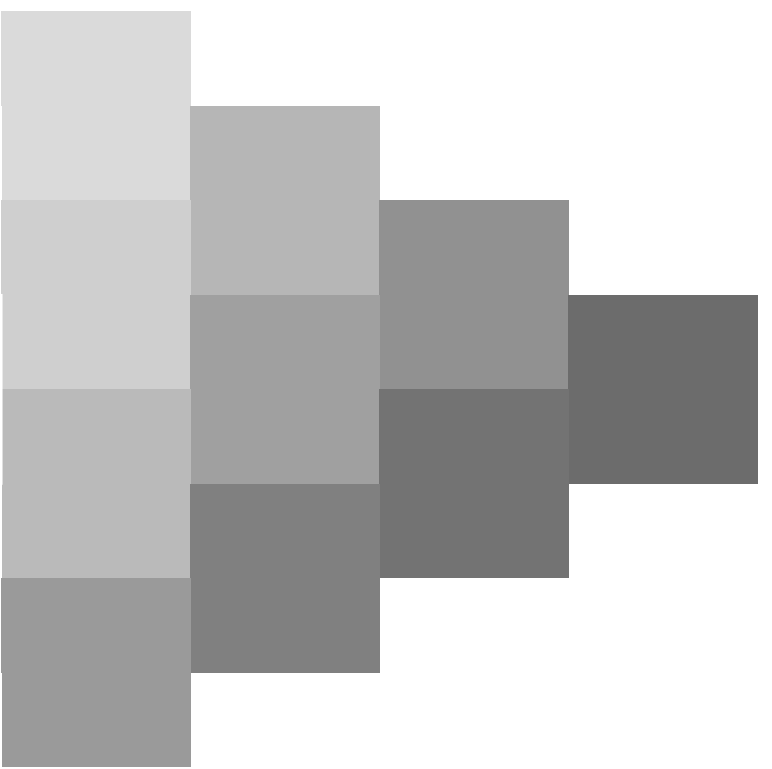
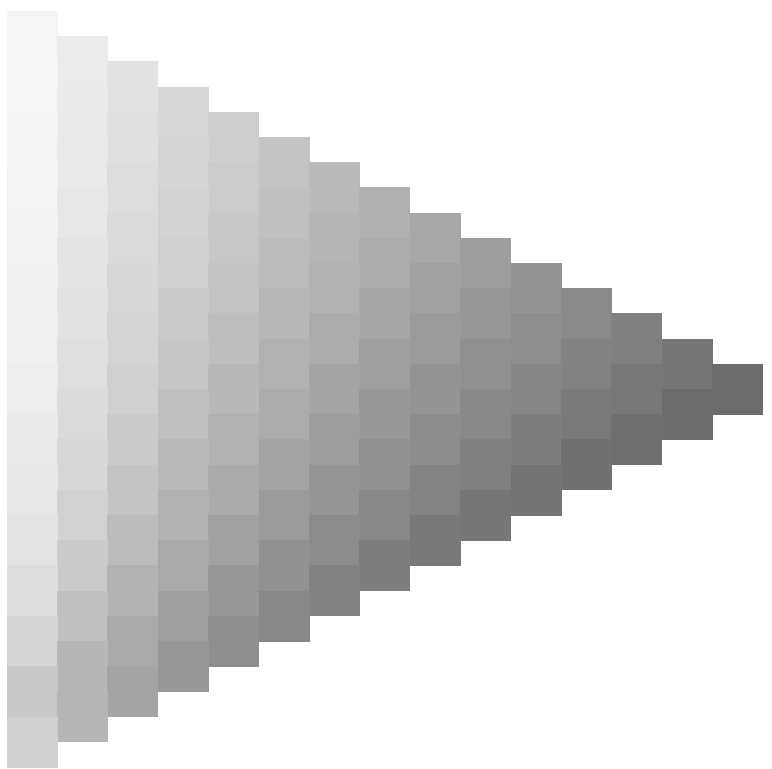
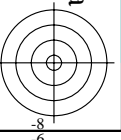
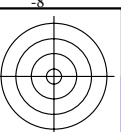
Siehe ähnliche Dateien: <http://www.ps.bam.de/Dg73/>; www.ps.bam.de/Dg.HTM
Technische Information: <http://www.ps.bam.de> Version 2.1, io=1,1, ColSpx=1

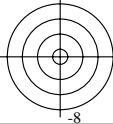
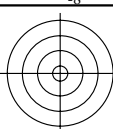
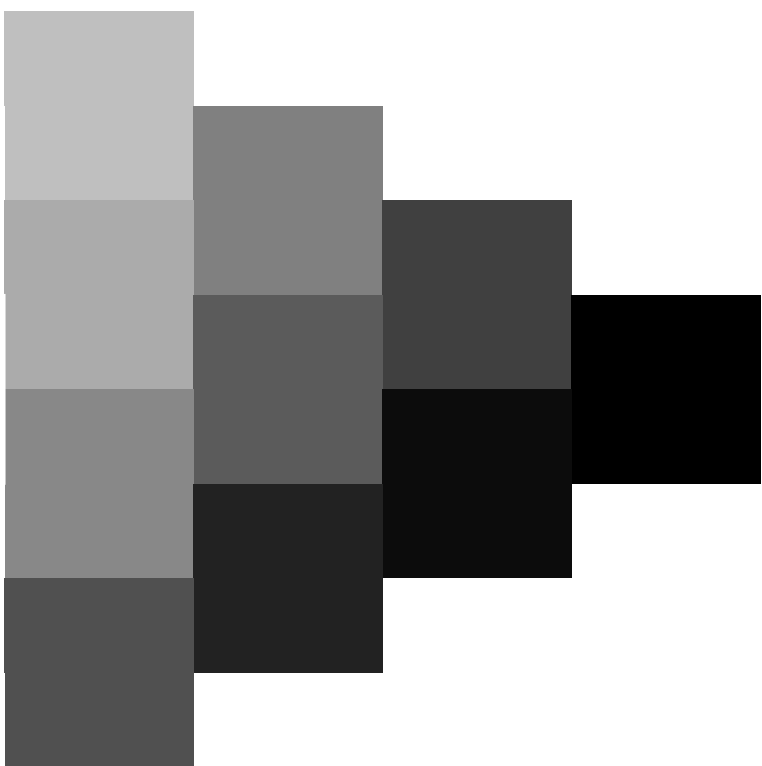
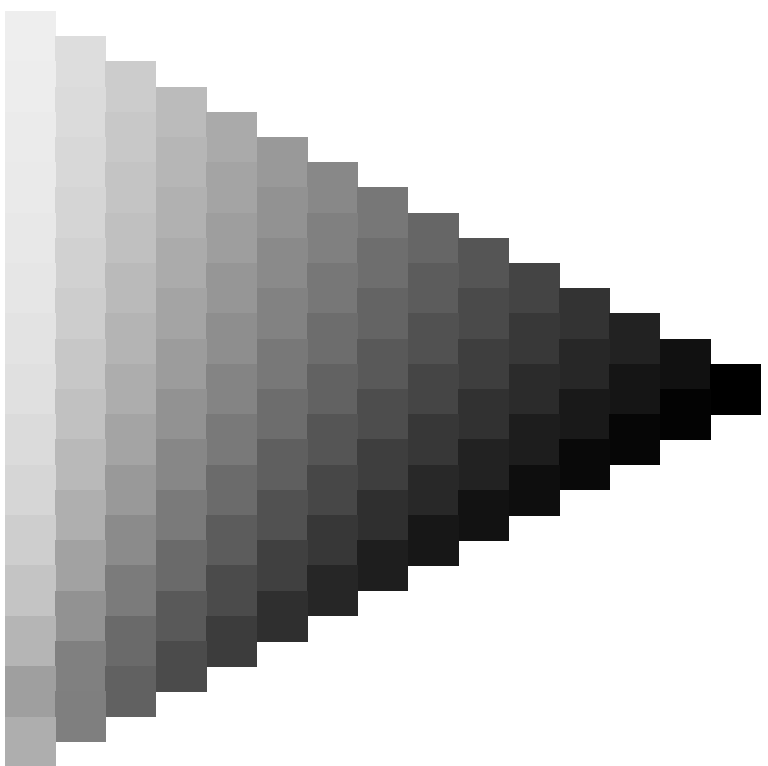
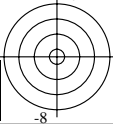
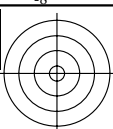


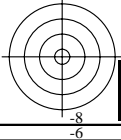
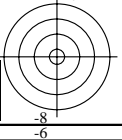
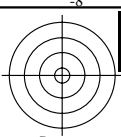
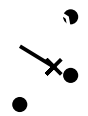
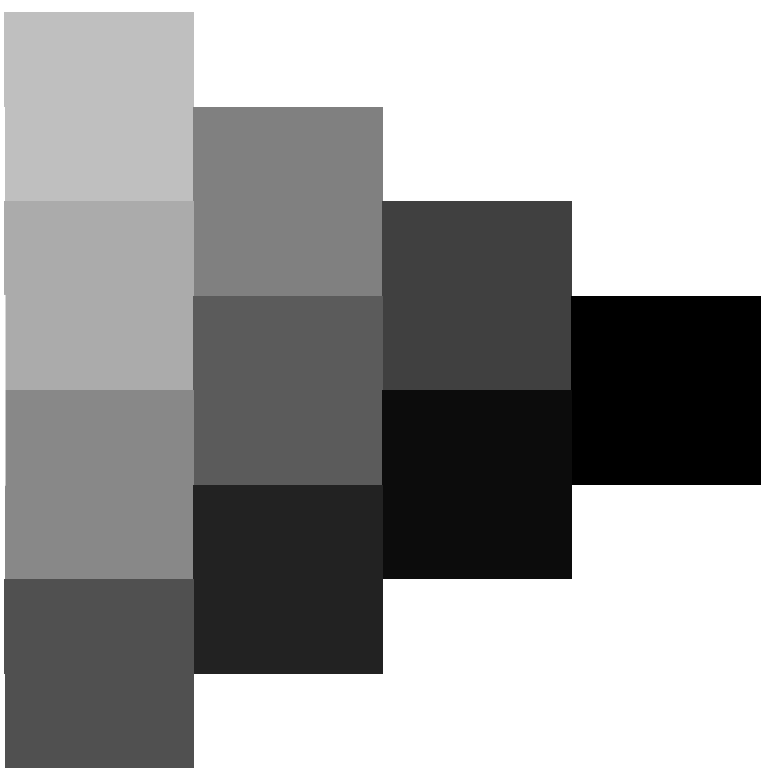
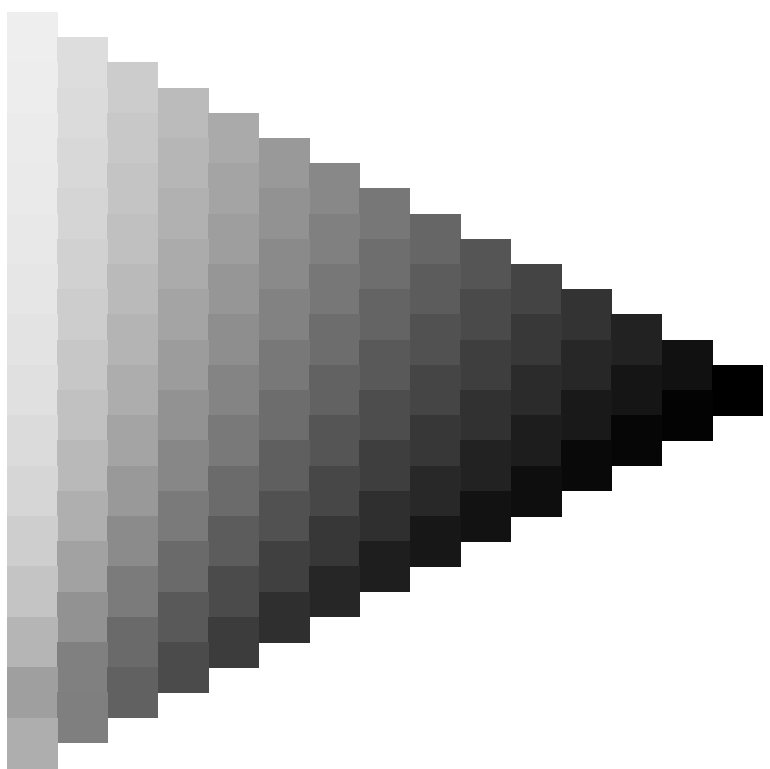
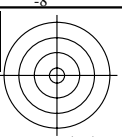


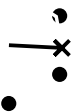
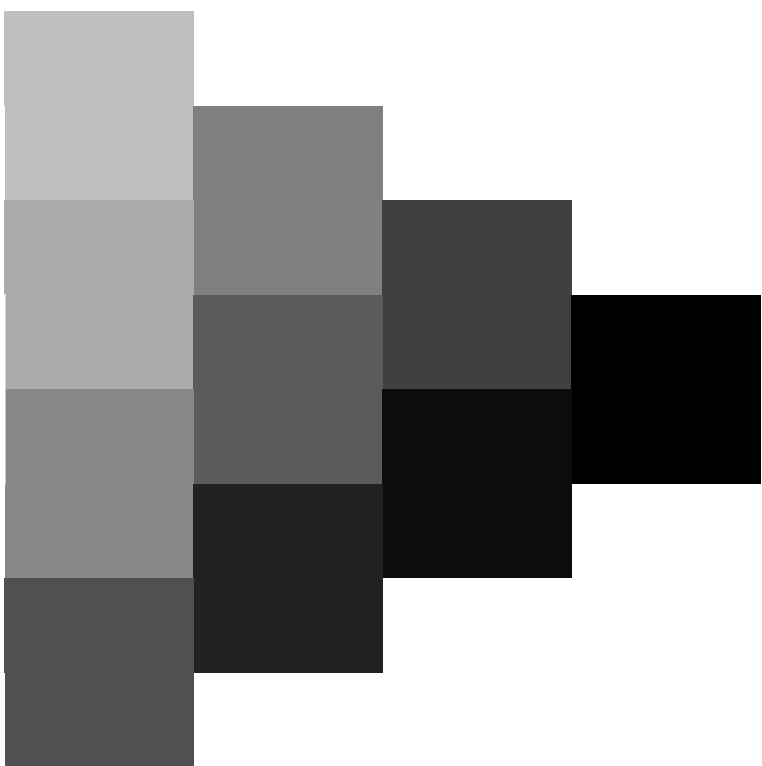
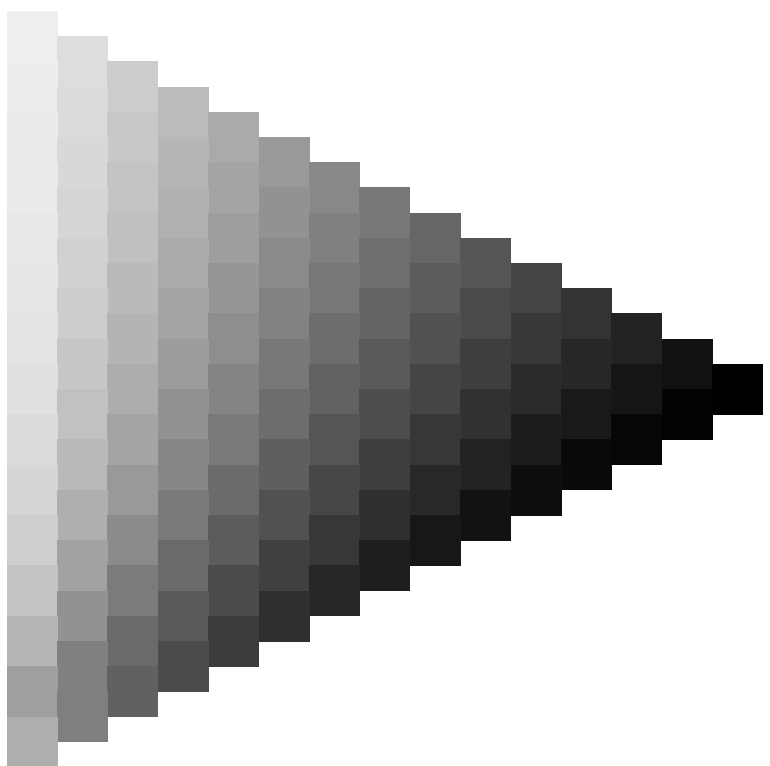
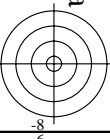
Siehe ähnliche Dateien: <http://www.ps.bam.de/Dg73/>; www.ps.bam.de/Dg.HTM
Technische Information: <http://www.ps.bam.de> Version 2.1, io=1,1, ColSpx=1

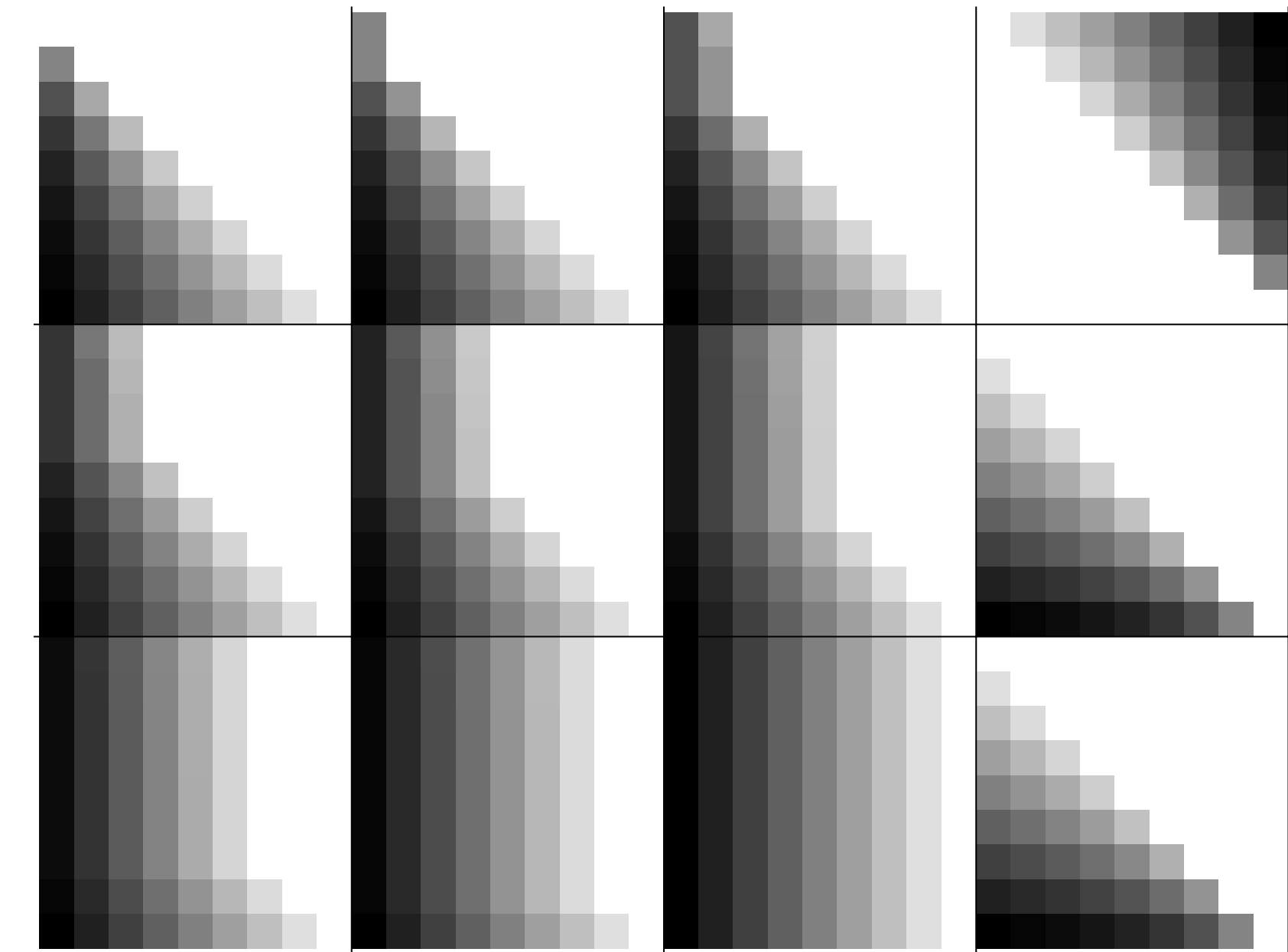




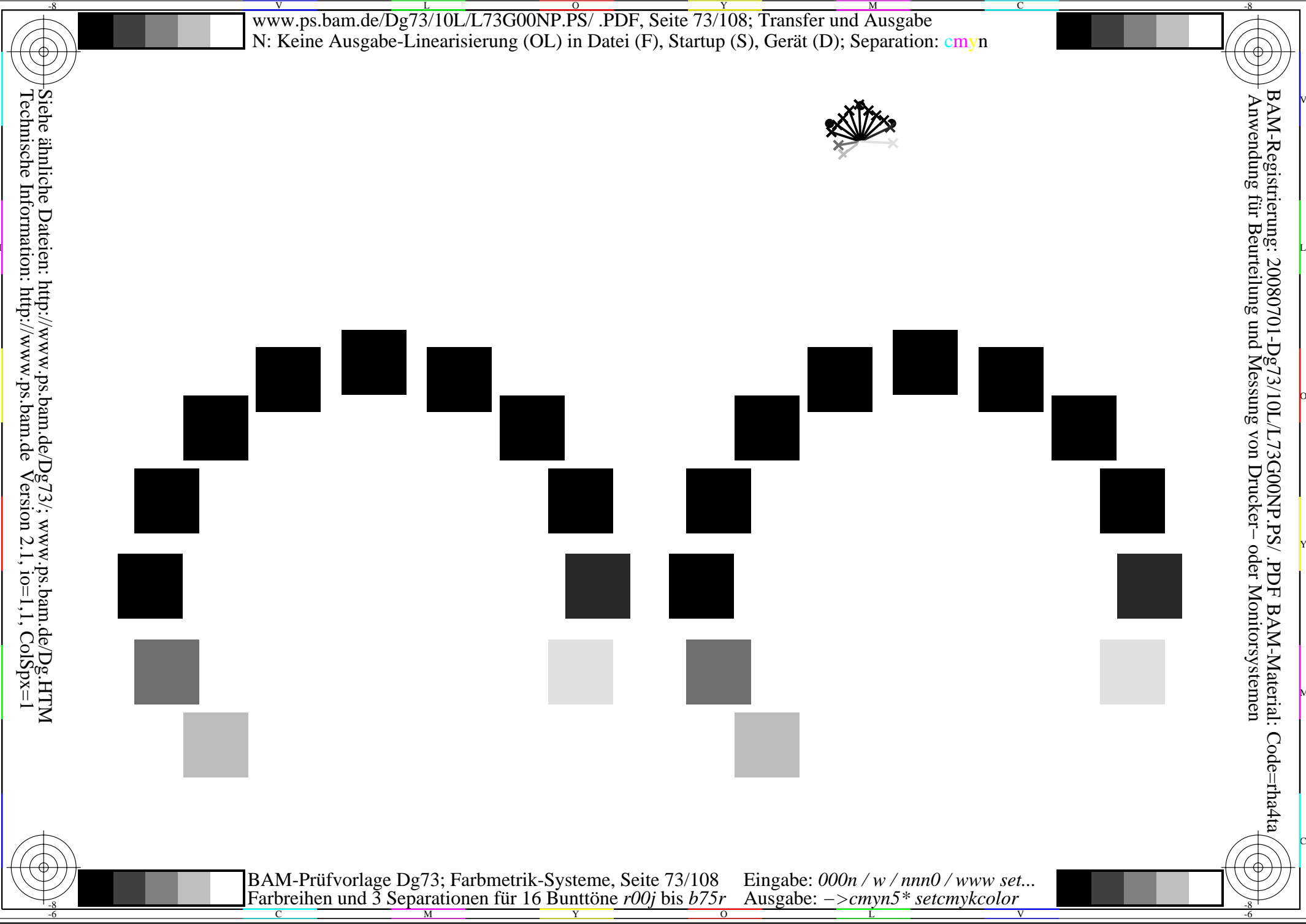


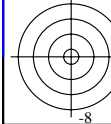
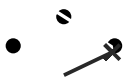
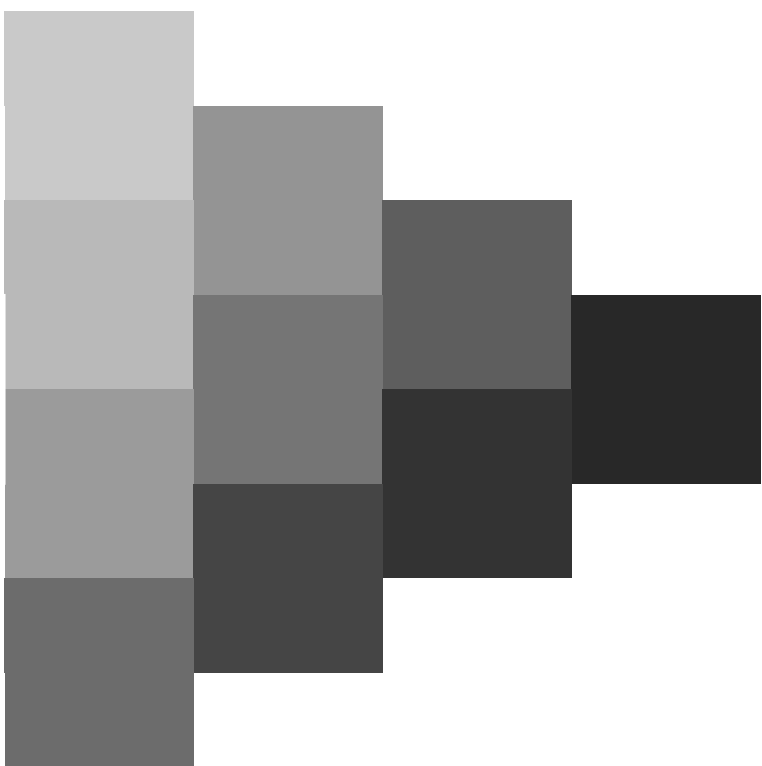
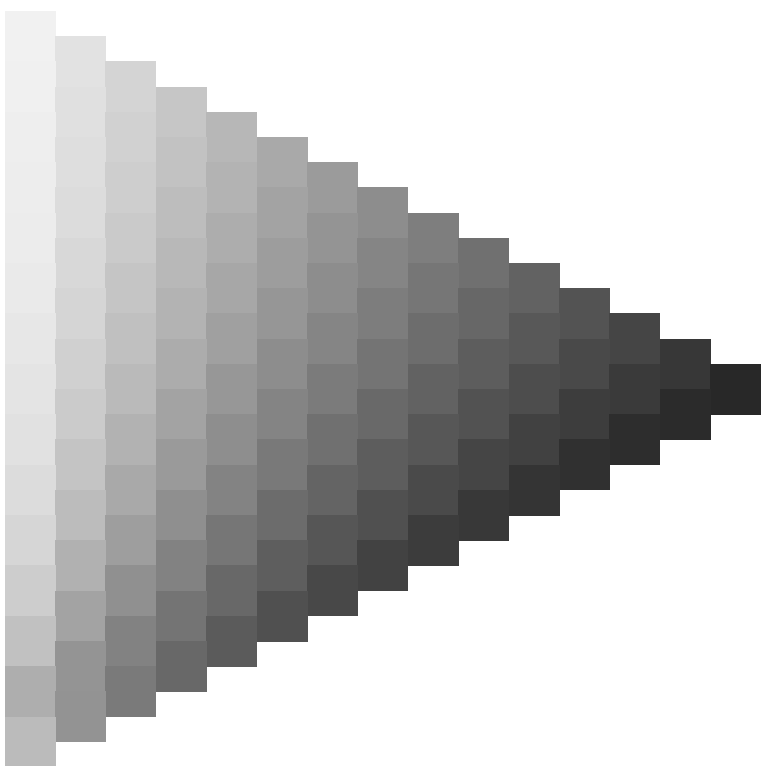
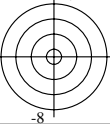


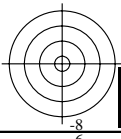
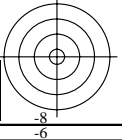
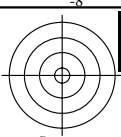
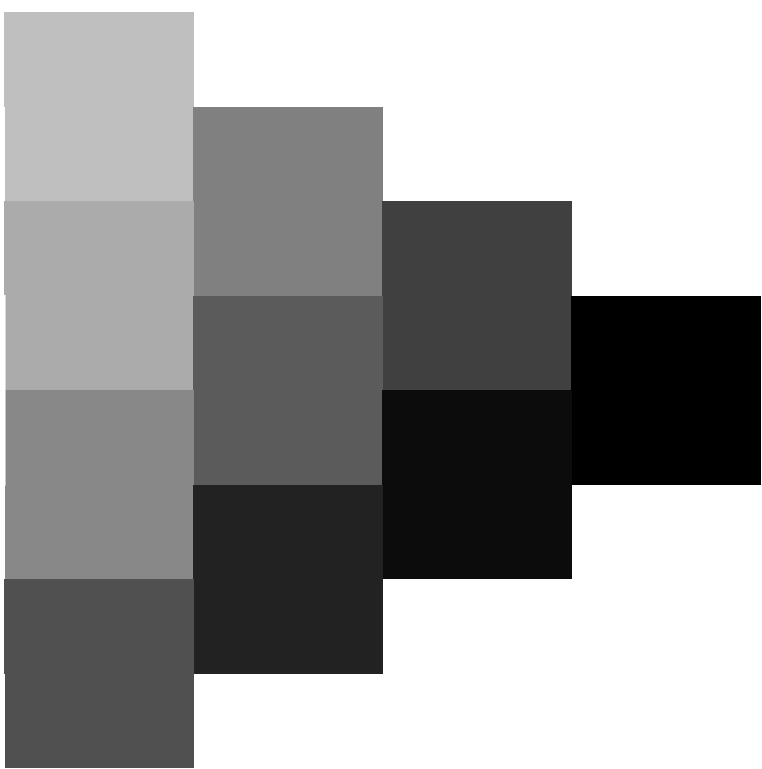
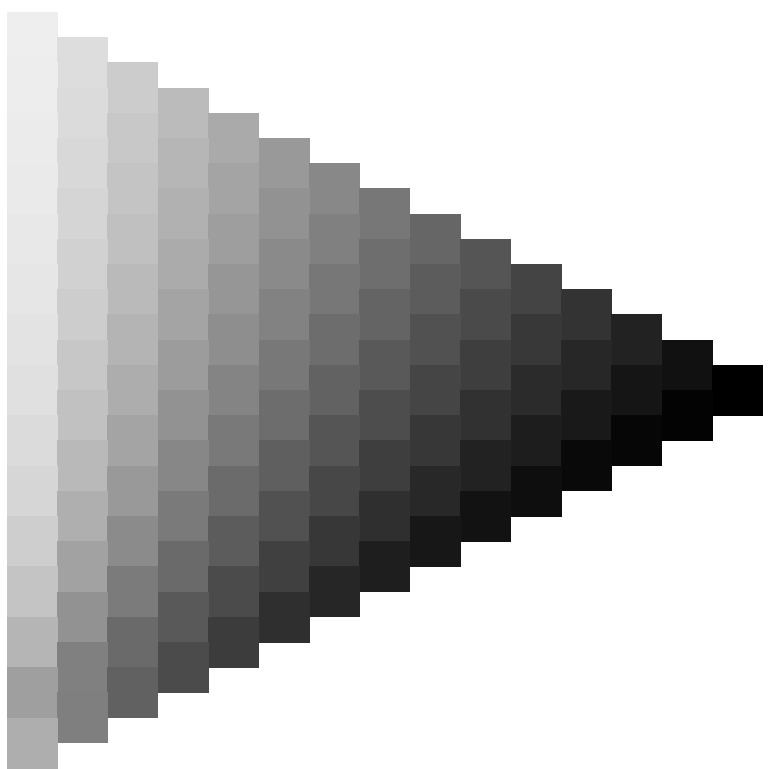
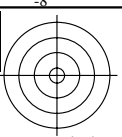


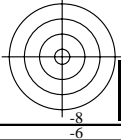
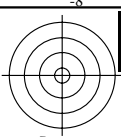
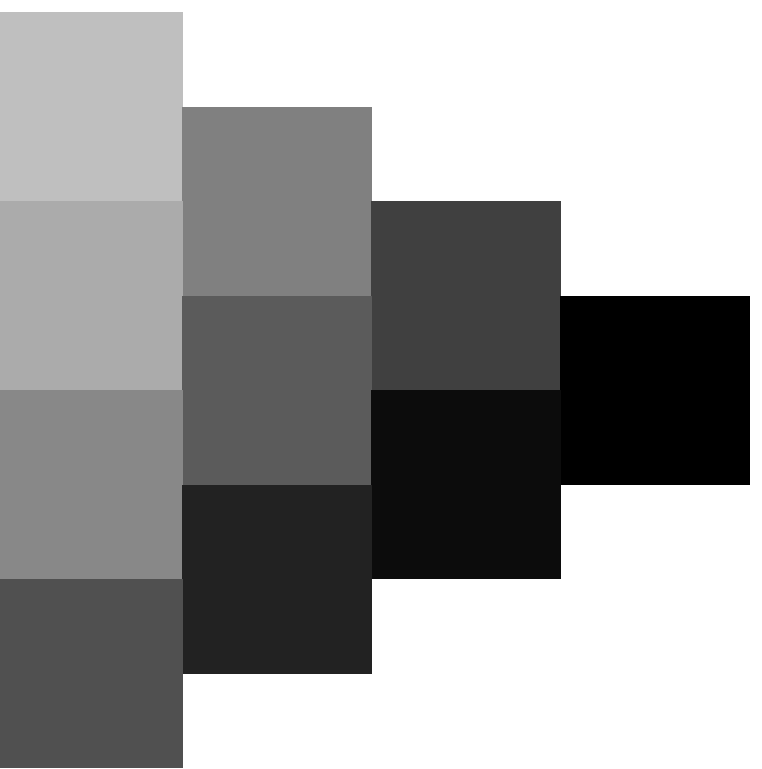
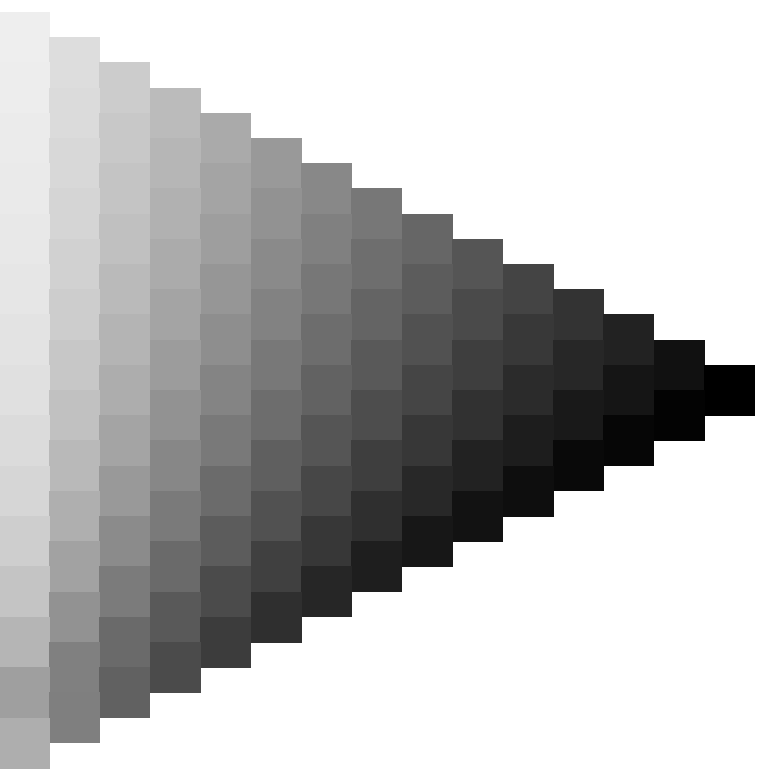
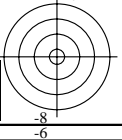
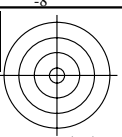


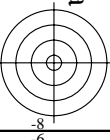
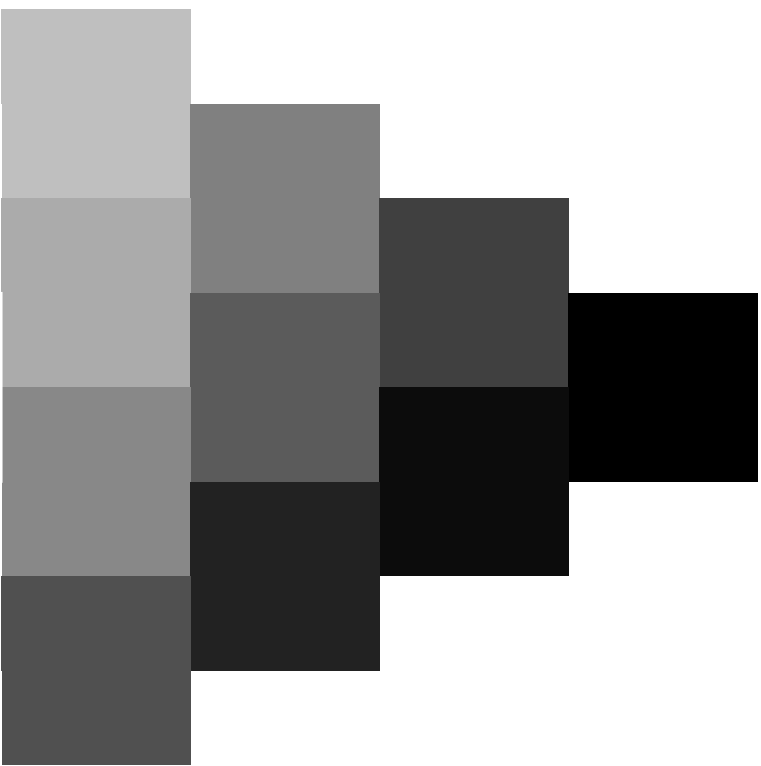
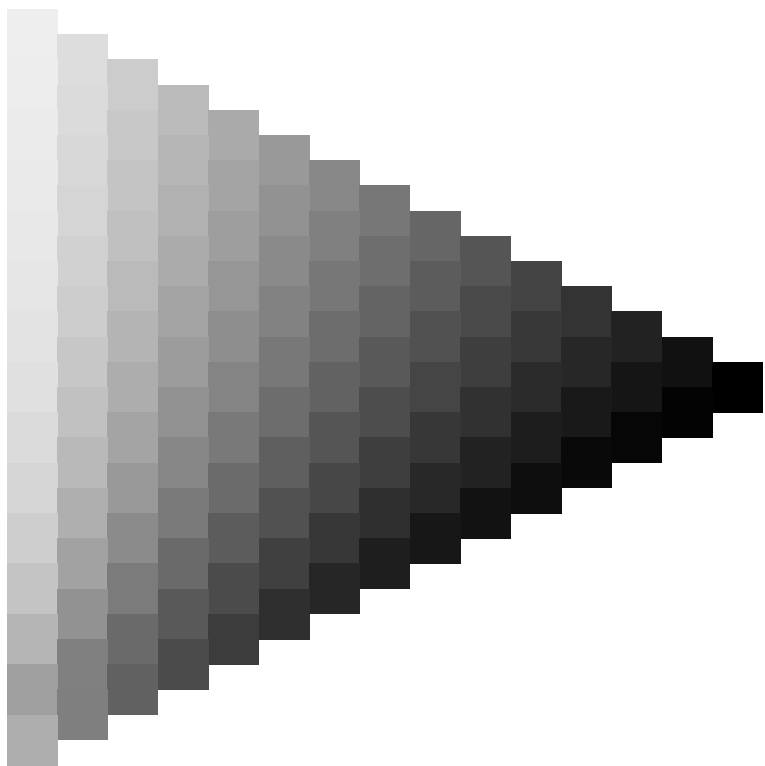
Siehe ähnliche Dateien: <http://www.ps.bam.de/Dg73/>; www.ps.bam.de/Dg.HTM
Technische Information: <http://www.ps.bam.de> Version 2.1, io=1,1, ColSp=1

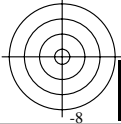
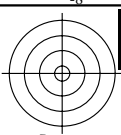
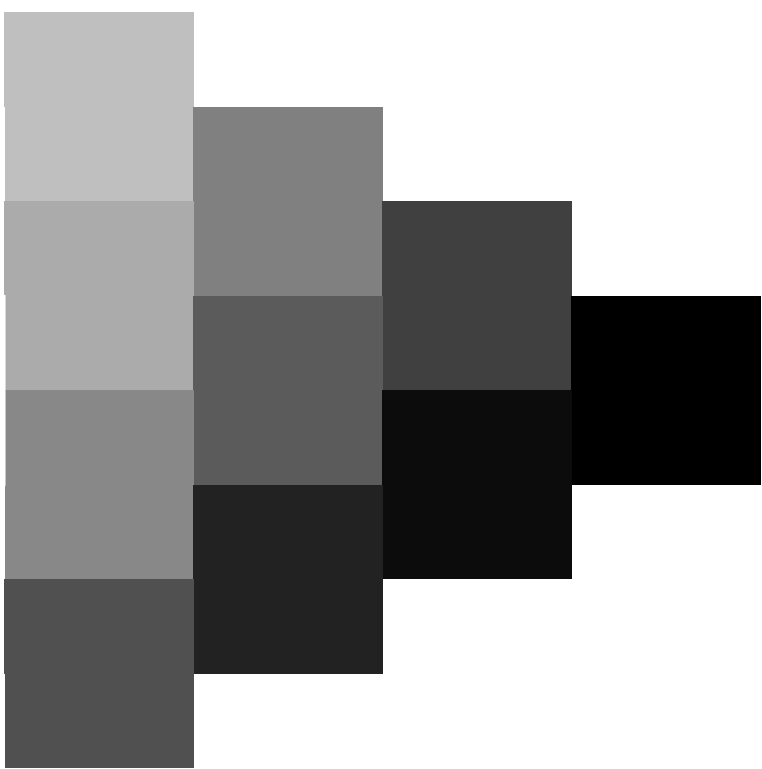
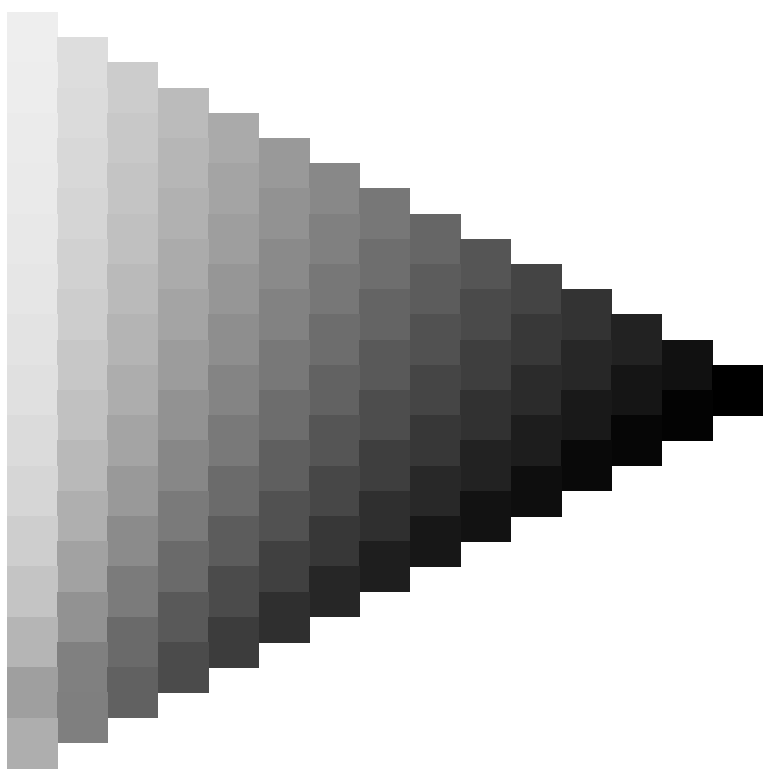
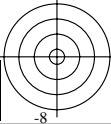


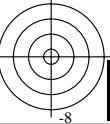
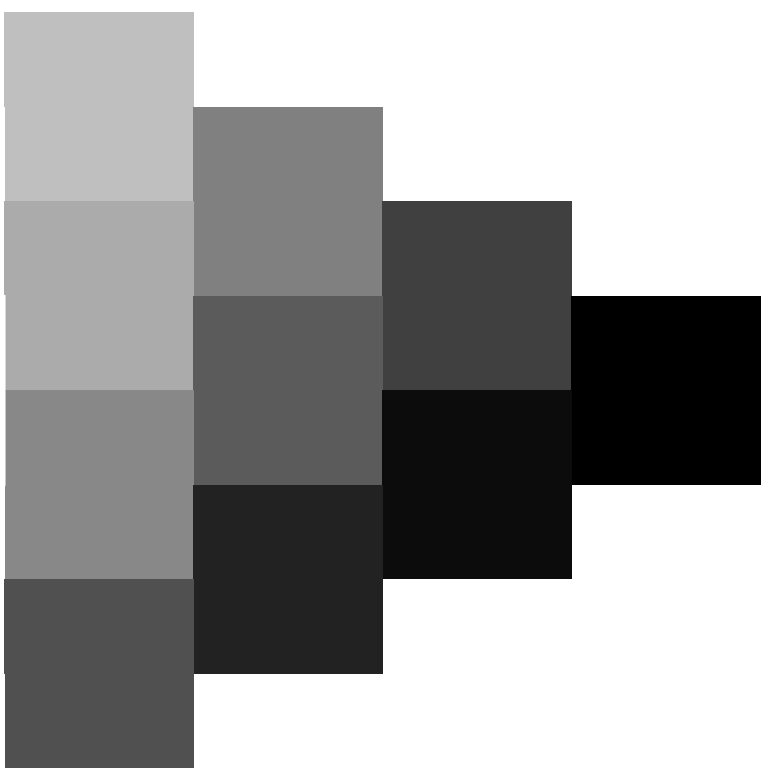
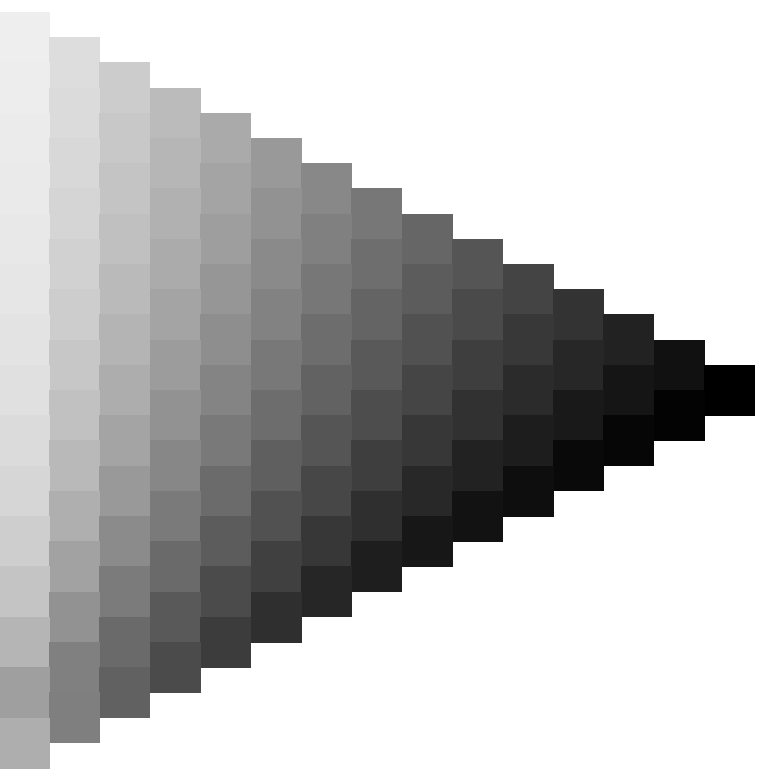
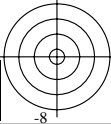


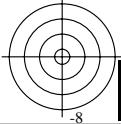
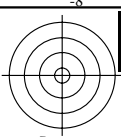
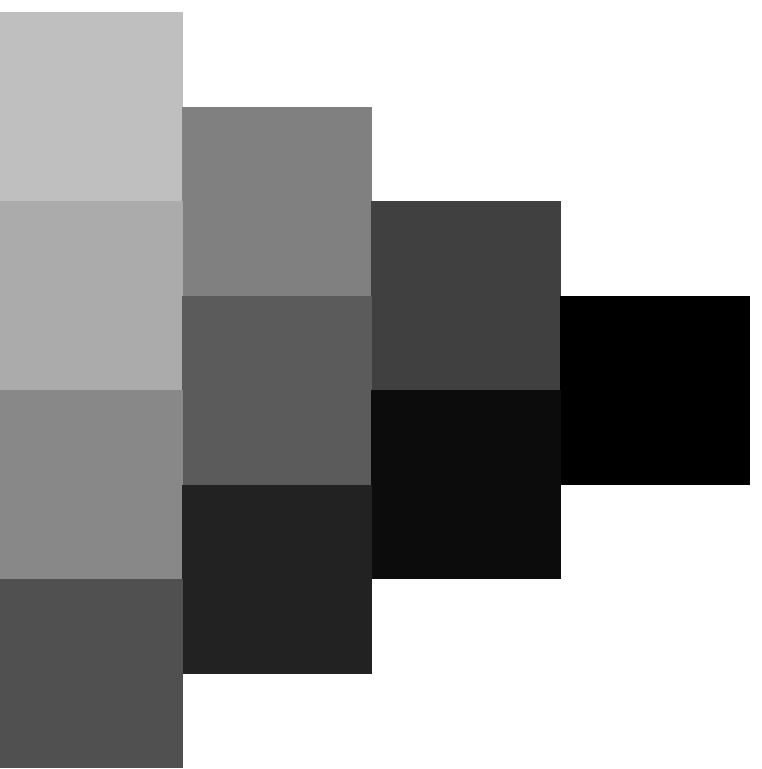
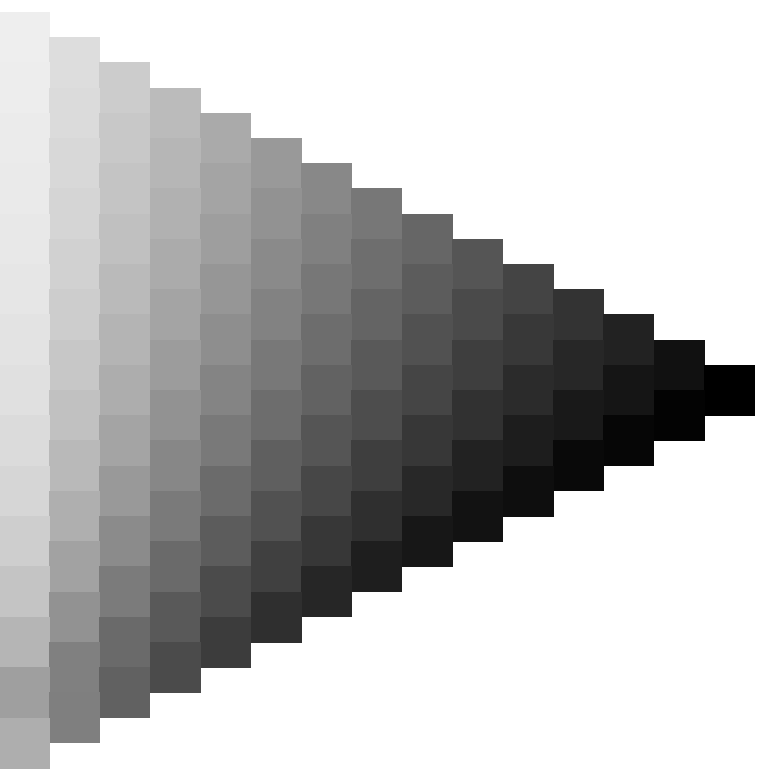
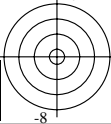


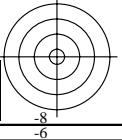
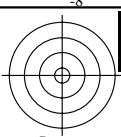
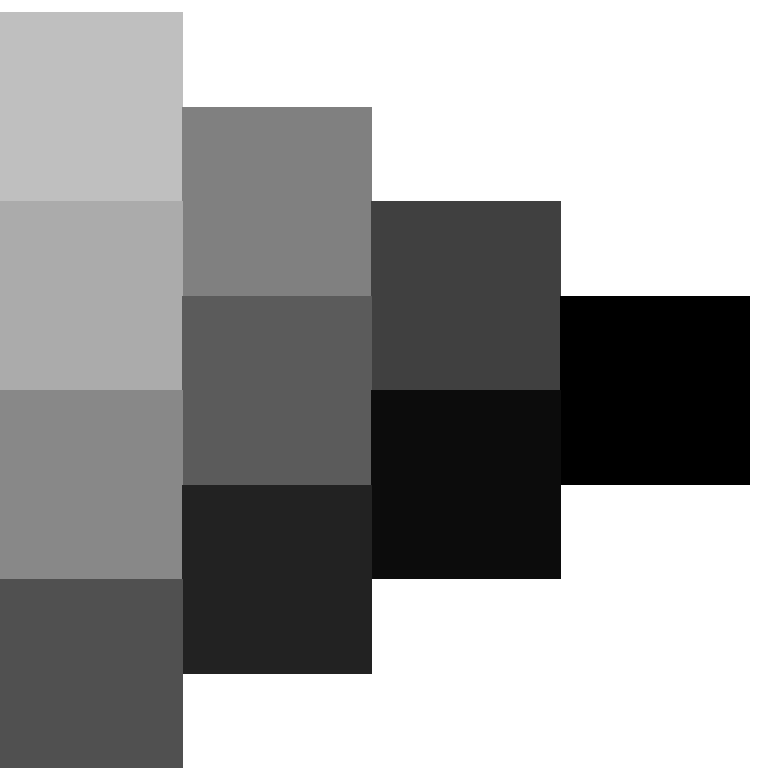
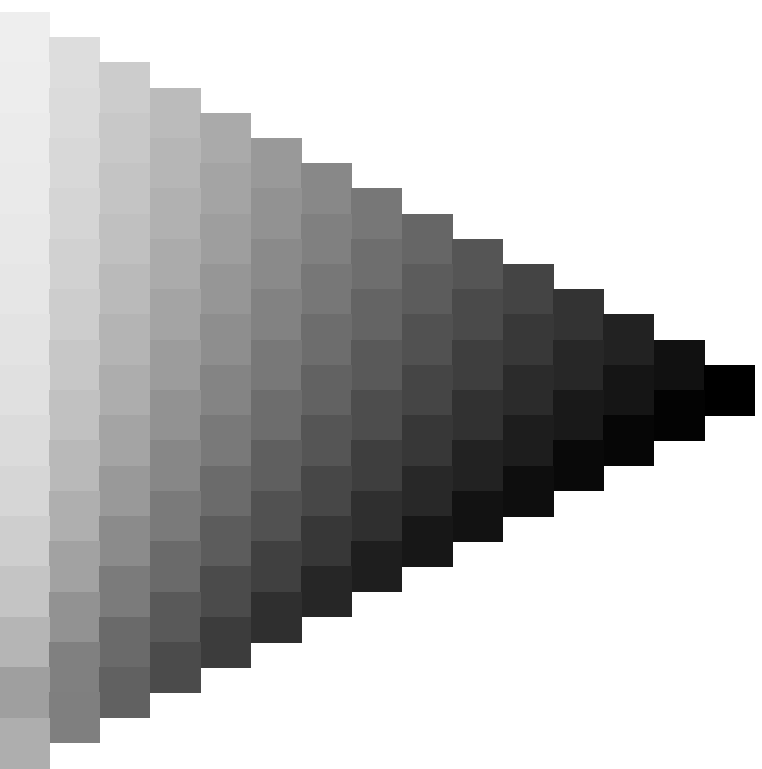
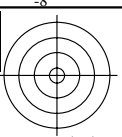


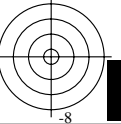
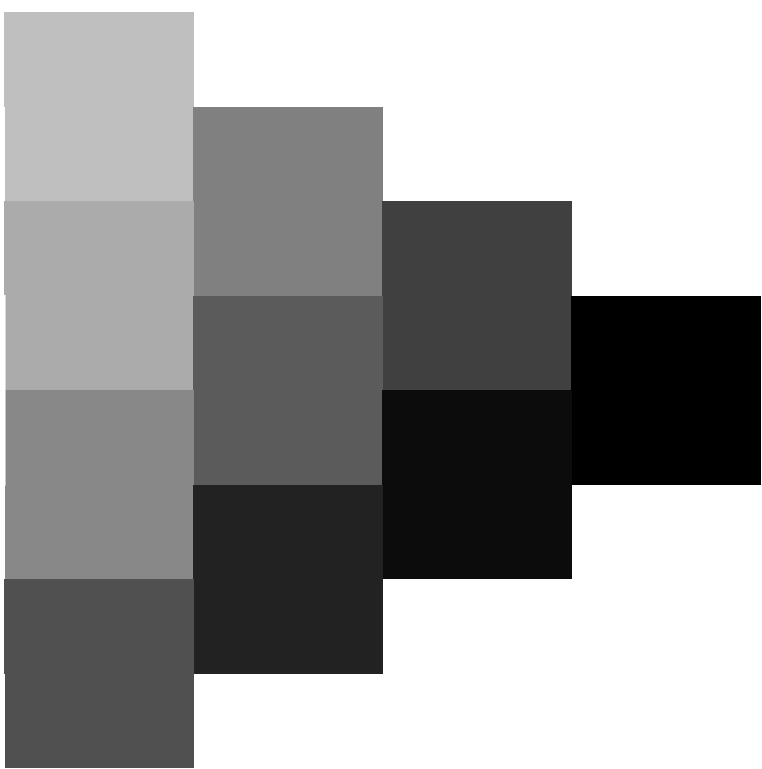
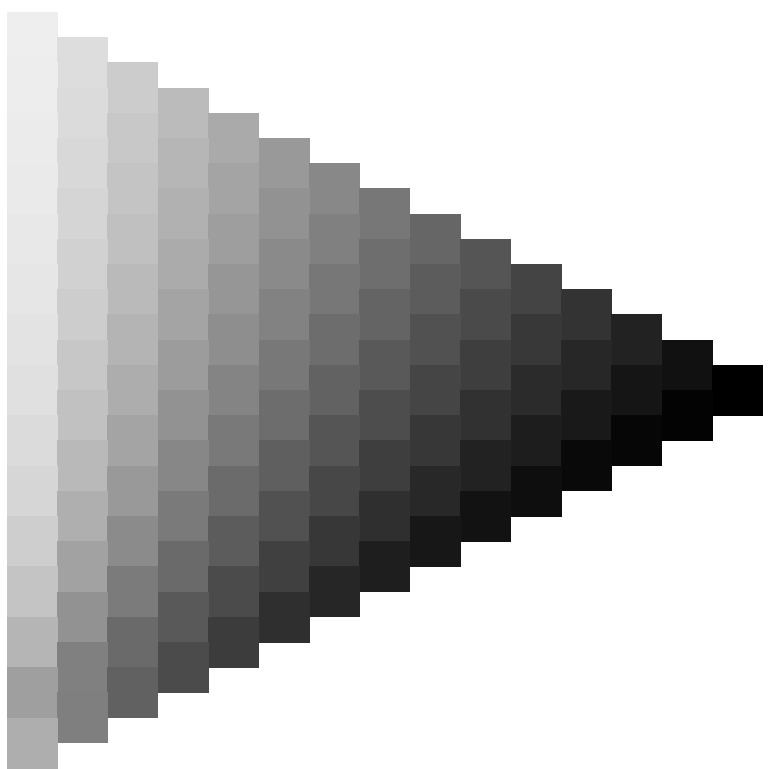
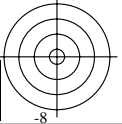


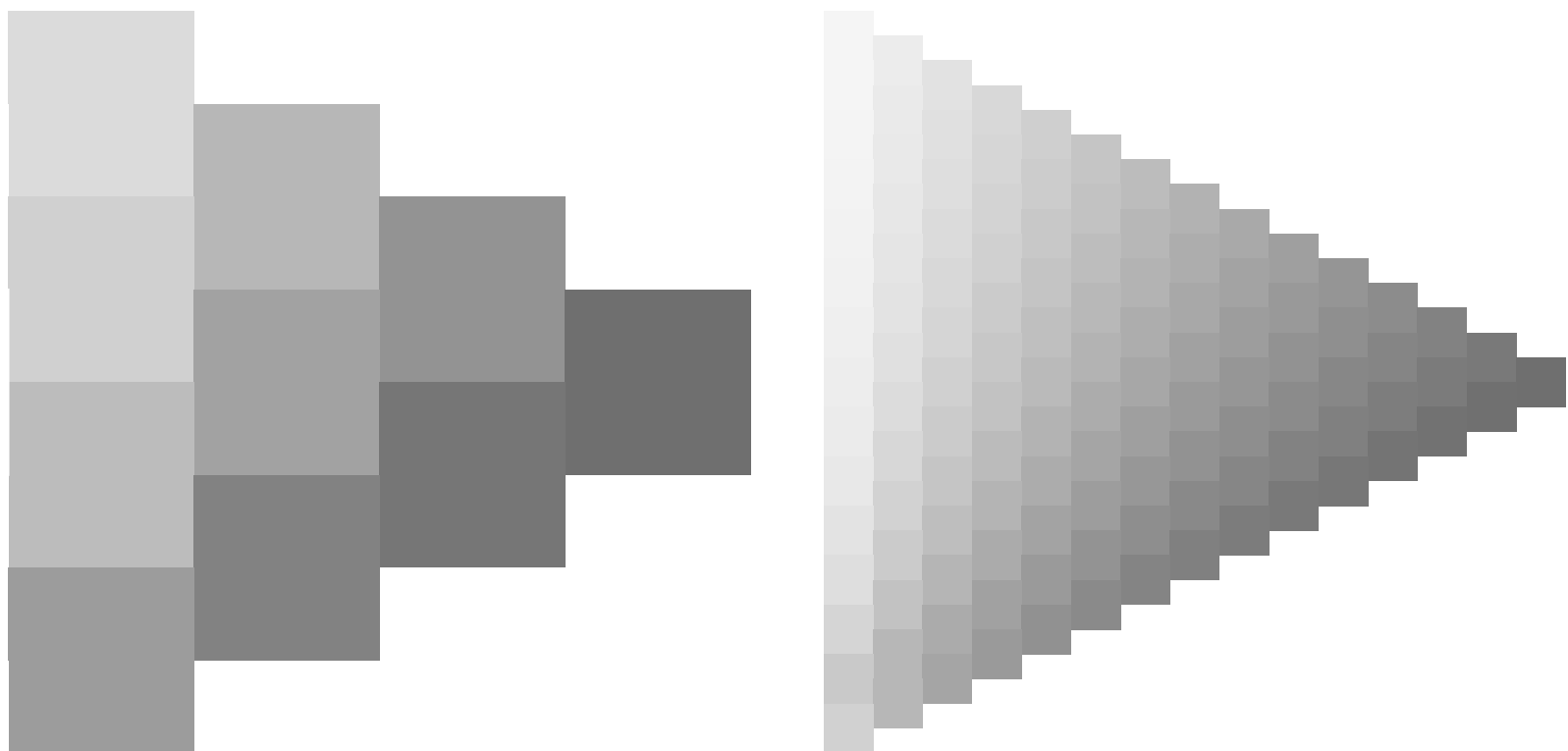


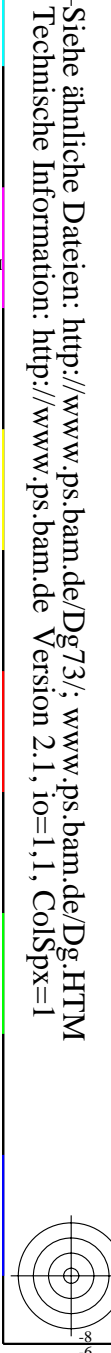
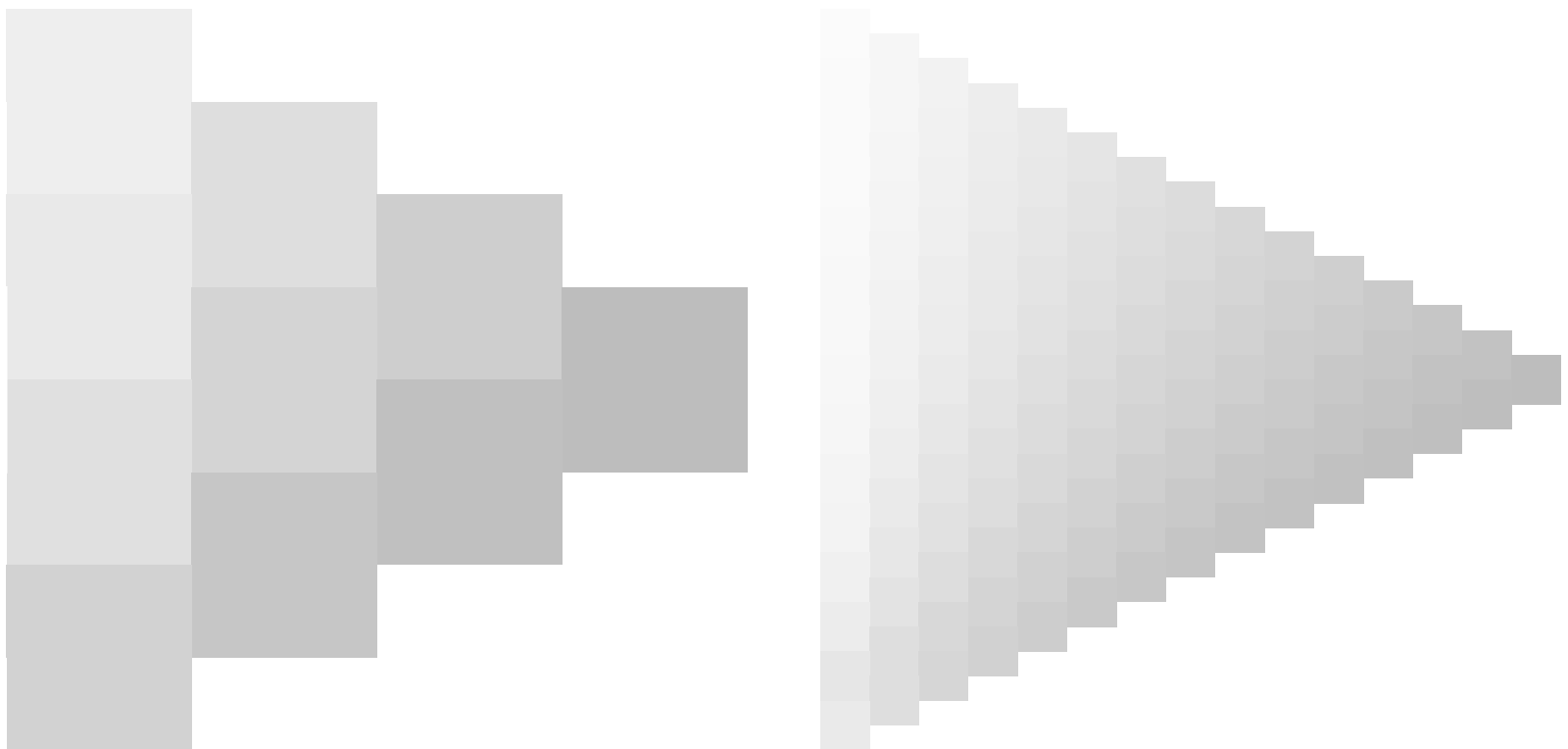


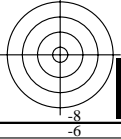
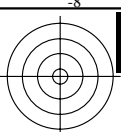
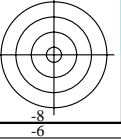
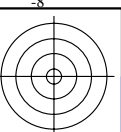






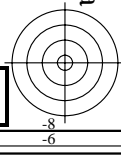
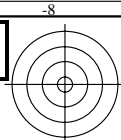






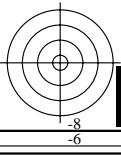
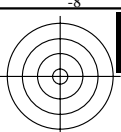
Siehe ähnliche Dateien: <http://www.ps.bam.de/Dg73/>; www.ps.bam.de/Dg.HTM
Technische Information: <http://www.ps.bam.de> Version 2.1, io=1,1, ColSpx=1

BAM-Registrierung: 20080701-Dg73/10L/L73G00NP.PS/.PDF BAM-Material: Code=rh4ta
Anwendung für Beurteilung und Messung von Drucker- oder Monitorsystemen



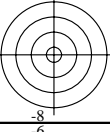
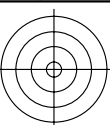
www.ps.bam.de/Dg73/10L/L73G00NP.PS/.PDF, Seite 86/108; Transfer und Ausgabe
N: Keine Ausgabe-Linearisierung (OL) in Datei (F), Startup (S), Gerät (D); Separation: **cmyn**

BAM-Prüfvorlage Dg73; Farbmimetrik-Systeme, Seite 86/108 Eingabe: 000n / w / nnn0 / www set...
Farbreihen und 3 Separationen für 16 Bunttöne r00j bis b75r Ausgabe: ->cmyn5* setcmykcolor

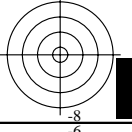
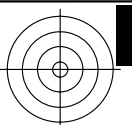


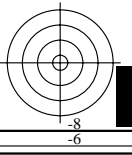
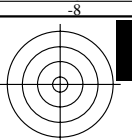
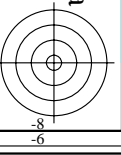
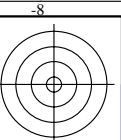
Siehe ähnliche Dateien: <http://www.ps.bam.de/Dg73/>; www.ps.bam.de/Dg.HTM
Technische Information: <http://www.ps.bam.de> Version 2.1, io=1,1, ColSpx=1

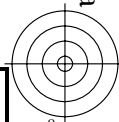
BAM-Registrierung: 20080701-Dg73/10L/L73G00NP.PS/.PDF BAM-Material: Code=rh4ta
Anwendung für Beurteilung und Messung von Drucker- oder Monitorsystemen



Siehe ähnliche Dateien: <http://www.ps.bam.de/Dg73/>; www.ps.bam.de/Dg.HTM
Technische Information: <http://www.ps.bam.de> Version 2.1, io=1,1, ColSpx=1



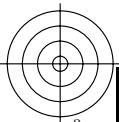




BAM-Registrierung: 20080701-Dg73/10L/L73G00NP.PS/.PDF BAM-Material
Anwendung für Beurteilung und Messung von Drucker- oder Monitorsystemen



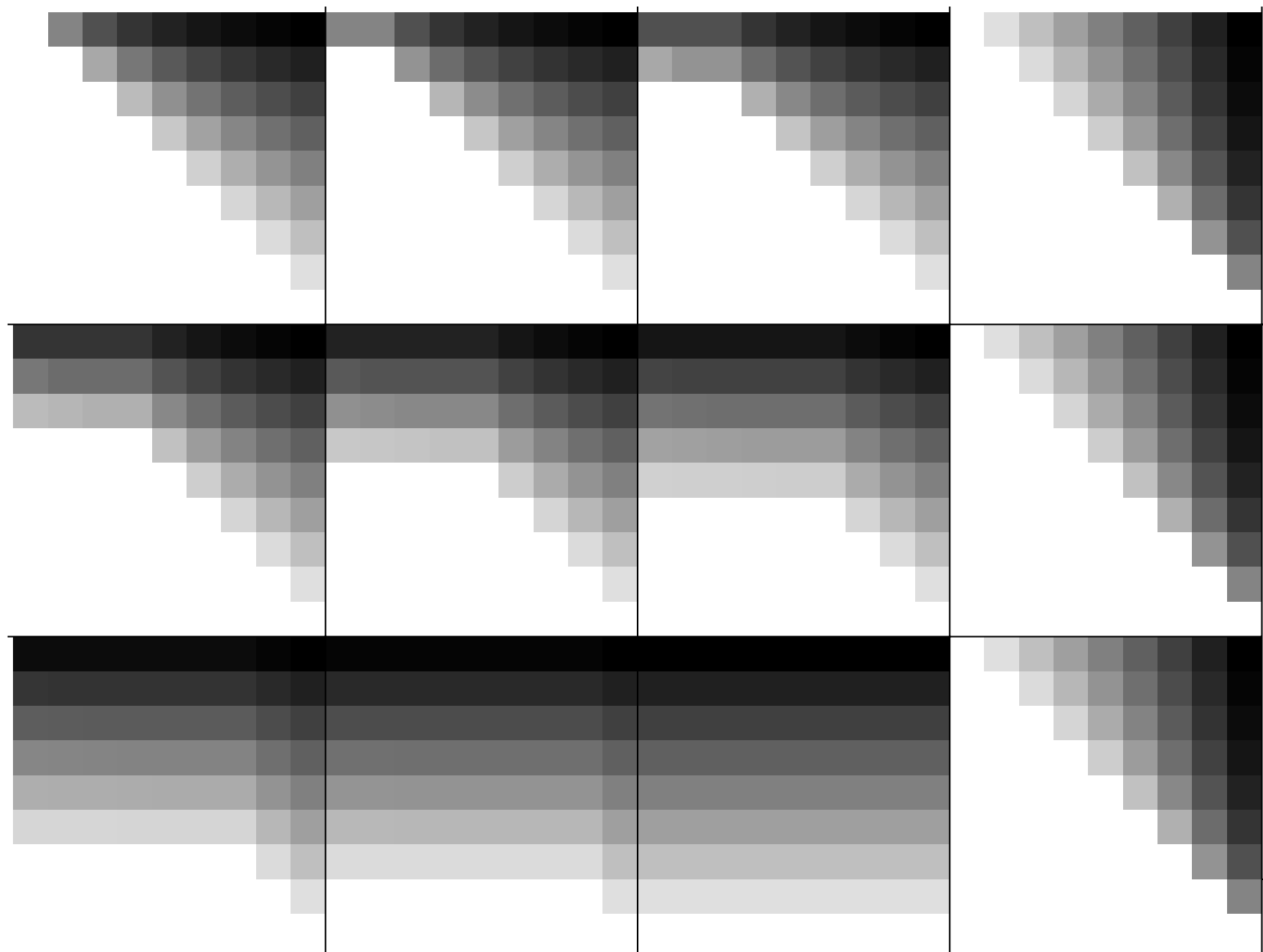
www.ps.bam.de/Dg73/10L/L73G00NP.PS/.PDF, Seite 89/108; Transfer und Ausgabe
N: Keine Ausgabe-Linearisierung (OL) in Datei (F), Startup (S), Gerät (D); Separation: cmyk



BAM-Prüfvorlage Dg73; Farbmatrik-Systeme, Seite 89/108
Farbreihen und 3 Separationen für 16 Bunttöne *r00j* bis *b75r*

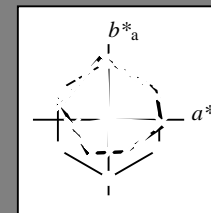
Eingabe: 000n / w / nnn0 / www set...
Ausgabe: ->cmyn5* setcmykcolor

Siehe ähnliche Dateien: <http://www.ps.bam.de/Dg73/>; www.ps.bam.de/Dg.HTM
Technische Information: <http://www.ps.bam.de> Version 2.1, io=1, ColSpx=1



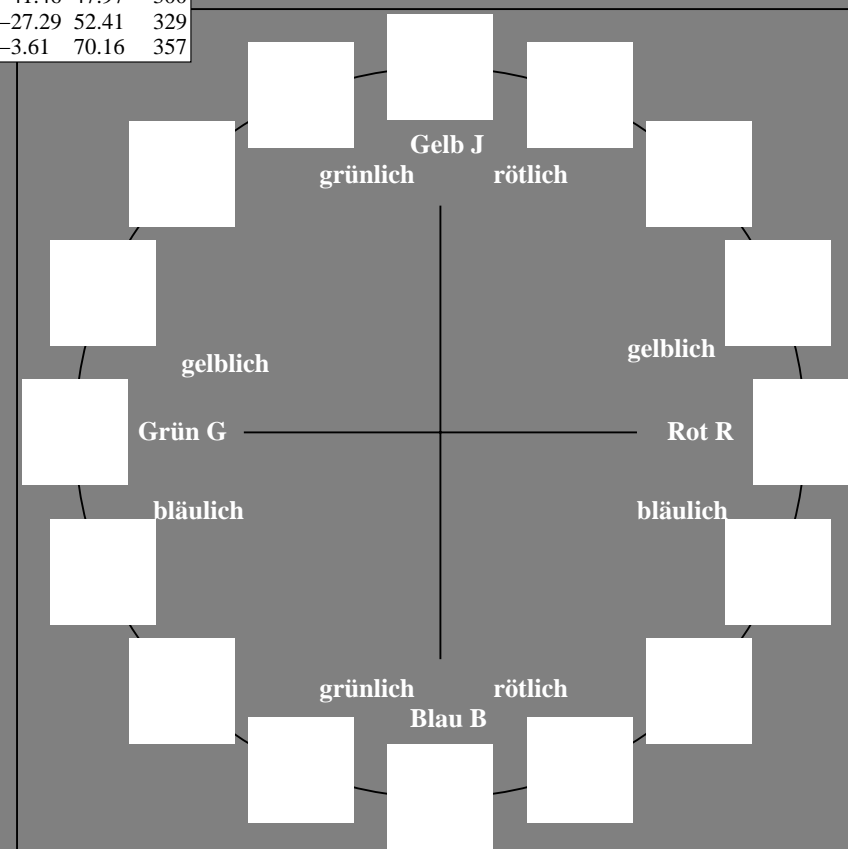
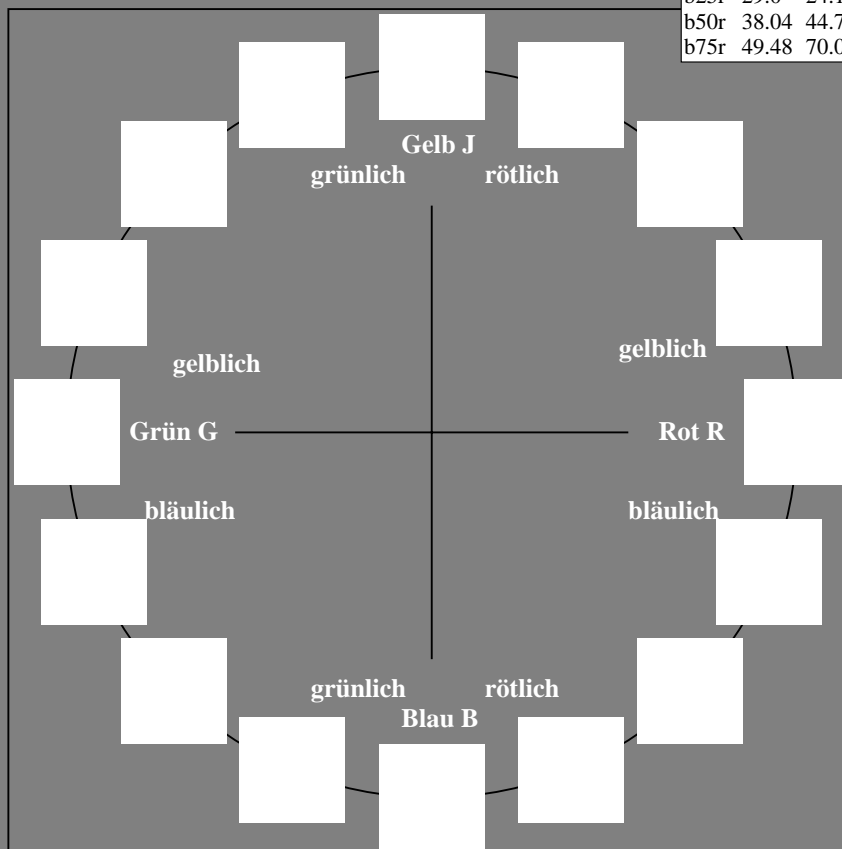
Ein und Ausgabe:
Farbmetrisches Drucker-Reflektiv-System ORS20_95a
Daten für jede Farbe:
*lab*_{ich}** und *lab*_{icu}**
Elementar-Bunttontext:
*u** = 16 Bunttöne *r00j*, *r25j*, ..., *b75r*
Kontrastreduzierungsfaktor:
c_R = 0.96

ORS20_95a; adaptierte CIELAB-Daten					
	<i>L*</i> _a	<i>a*</i> _a	<i>b*</i> _a	<i>C*</i> _{ab,a}	<i>h*</i> _{ab,a}
r00j	48.88	63.91	30.45	70.79	25
r25j	55.85	50.36	45.65	67.97	42
r50j	65.45	33.86	56.12	65.54	59
r75j	75.19	17.13	66.73	68.89	76
j00g	87.03	-3.21	79.64	79.7	92
j25g	80.72	-24.03	66.82	71.01	110
j50g	70.64	-38.01	49.96	62.78	127
j75g	61.93	-50.08	35.41	61.34	145
g00b	52.8	-62.76	20.12	65.91	162
g25b	55.7	-47.65	-8.05	48.34	190
g50b	57.82	-36.91	-27.79	46.22	217
g75b	55.5	-21.19	-44.16	49.0	244
b00r	41.6	1.31	-43.27	43.3	272
b25r	29.0	24.11	-41.46	47.97	300
b50r	38.04	44.73	-27.29	52.41	329
b75r	49.48	70.07	-3.61	70.16	357



%Umfang
*u**_{rel} = 83
%Regularität
*g**_{H,rel} = 72
*g**_{C,rel} = 57

ORS20_95a; adaptierte CIELAB-Daten					
	<i>L*</i> _a	<i>a*</i> _a	<i>b*</i> _a	<i>C*</i> _{ab,a}	<i>h*</i> _{ab,a}
O _{Ma}	48.75	62.56	37.91	73.15	31
Y _{Ma}	90.92	-9.88	83.88	84.46	97
L _{Ma}	52.69	-62.9	19.95	66.0	162
C _{Ma}	59.61	-27.85	-44.43	52.45	238
V _{Ma}	28.39	22.72	-42.42	48.13	298
M _{Ma}	49.58	71.08	-9.19	71.67	353
N _{Ma}	20.0	0.0	0.0	0.0	0
W _{Ma}	95.0	0.0	0.0	0.0	0
R _{CIE}	39.92	58.74	27.99	65.07	25
J _{CIE}	81.26	-2.88	71.56	71.62	92
G _{CIE}	52.23	-42.41	13.6	44.55	162
B _{CIE}	30.57	1.41	-46.46	46.49	272



Ein und Ausgabe: Farbmetrisches Drucker-Reflektiv-System ORS20_95a für relativen CIELAB-Buntton $h^* = lab^*h^* = h_{ab}/360 = 25/360 = 0.071$

Daten für jede Farbe:

lab^*ch^* und lab^*icu^*

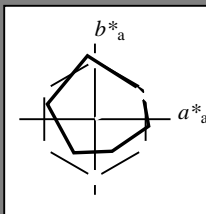
Elementar-Bunttonext:

$u^* = r00j$

Kontrastreduzierungsfaktor:

$c_R = 0.96$

Dreiecks-Helligkeit i^*



ORS20_95a; adaptierte CIELAB-Daten					
	$L^*=L^*_a$	a^*_a	b^*_a	$C^*_{ab,a}$	$h^*_{ab,a}$
O _{Ma}	48.75	62.56	37.91	73.15	31
Y _{Ma}	90.92	-9.88	83.88	84.46	97
L _{Ma}	52.69	-62.9	19.95	66.0	162
C _{Ma}	59.61	-27.85	-44.43	52.45	238
V _{Ma}	28.39	22.72	-42.42	48.13	298
M _{Ma}	49.58	71.08	-9.19	71.67	353
N _{Ma}	20.0	0.0	0.0	0.0	0
W _{Ma}	95.0	0.0	0.0	0.0	0
R _{CIE}	39.92	58.74	27.99	65.07	25
J _{CIE}	81.26	-2.88	71.56	71.62	92
G _{CIE}	52.23	-42.41	13.6	44.55	162
B _{CIE}	30.57	1.41	-46.46	46.49	272

Daten für Maximalfarbe (Ma):

$LAB^*LAB^*_{Ma}$: 49 64 30

$LAB^*LCH^*_{Ma}$: 49 71 25

$lab^*rgb^*_{Ma}$: 1.0 0.0 0.0

$lab^*olv^*_{Ma}$: 1.0 0.0 0.16

Dreiecks-Helligkeit i^*

%Umfang

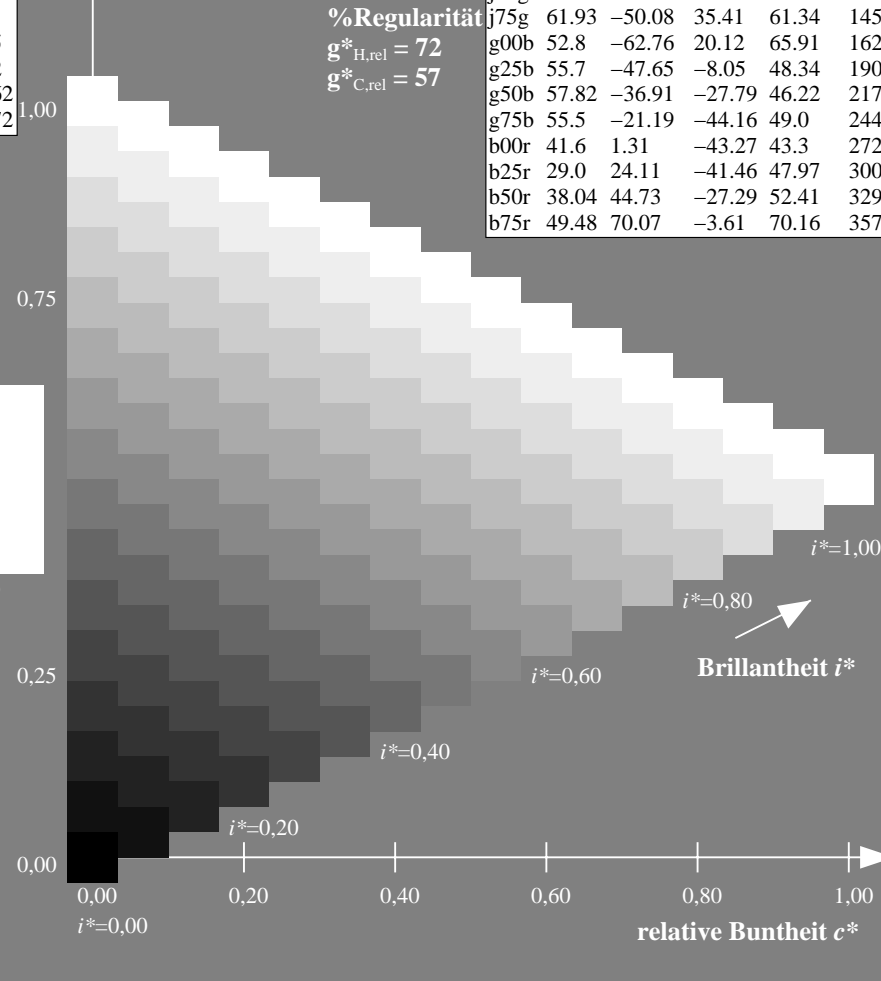
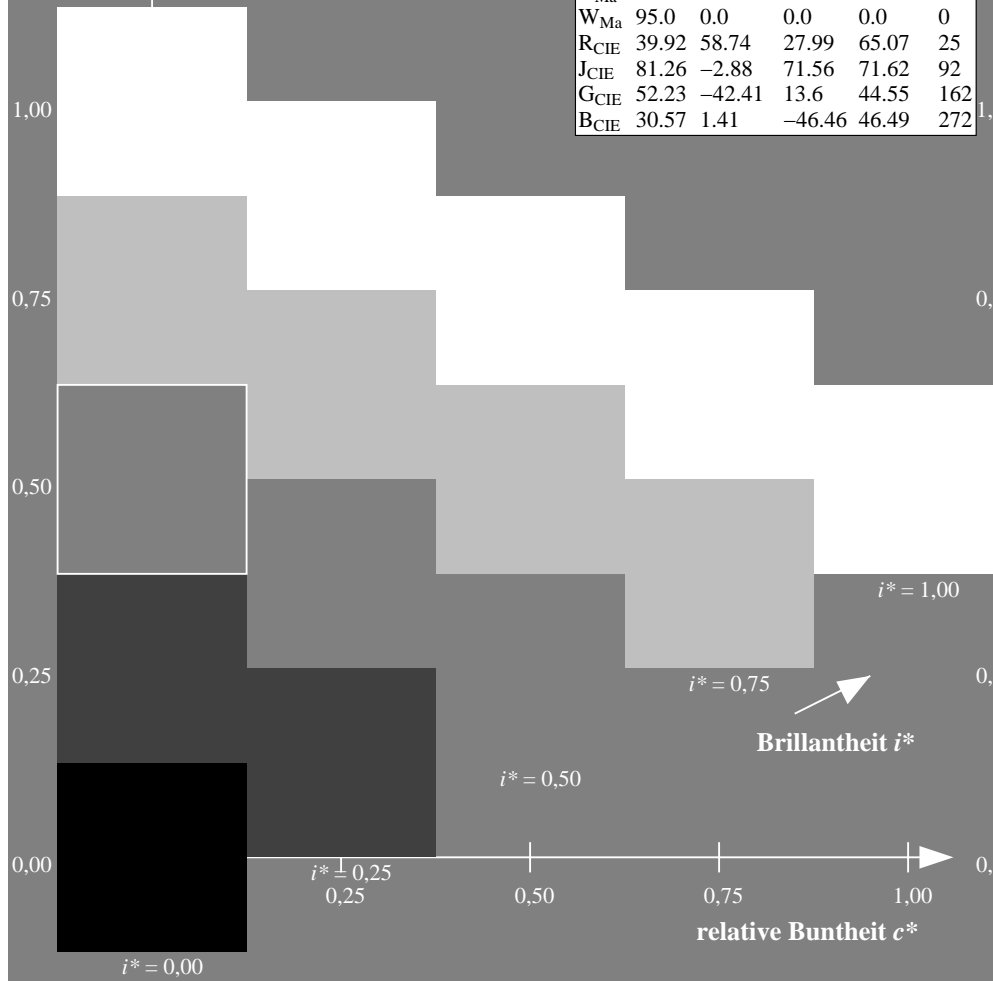
$u^*_{rel} = 83$

%Regularität

$g^*_{H,rel} = 72$

$g^*_{C,rel} = 57$

ORS20_95a; adaptierte CIELAB-Daten					
	$L^*=L^*_a$	a^*_a	b^*_a	$C^*_{ab,a}$	$h^*_{ab,a}$
r00j	48.88	63.91	30.45	70.79	25
r25j	55.85	50.36	45.65	67.97	42
r50j	65.45	33.86	56.12	65.54	59
r75j	75.19	17.13	66.73	68.89	76
j00g	87.03	-3.21	79.64	79.7	92
j25g	80.72	-24.03	66.82	71.01	110
j50g	70.64	-38.01	49.96	62.78	127
j75g	61.93	-50.08	35.41	61.34	145
g00b	52.8	-62.76	20.12	65.91	162
g25b	55.7	-47.65	-8.05	48.34	190
g50b	57.82	-36.91	-27.79	46.22	217
g75b	55.5	-21.19	-44.16	49.0	244
b00r	41.6	1.31	-43.27	43.3	272
b25r	29.0	24.11	-41.46	47.97	300
b50r	38.04	44.73	-27.29	52.41	329
b75r	49.48	70.07	-3.61	70.16	357



Ein und Ausgabe: Farbmetrisches Drucker-Reflektiv-System ORS20_95a für relativen CIELAB-Buntton $h^* = lab^*h^* = h_{ab}/360 = 42/360 = 0.117$

Daten für jede Farbe:

lab^*ch^* und lab^*icu^*

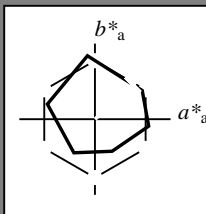
Elementar-Bunttonext:

$u^* = r25j$

Kontrastreduzierungsfaktor:

$c_R = 0.96$

Dreiecks-Helligkeit i^*



ORS20_95a; adaptierte CIELAB-Daten

	$L^*=L^*_a$	a^*_a	b^*_a	$C^*_{ab,a}$	$h^*_{ab,a}$
O _{Ma}	48.75	62.56	37.91	73.15	31
Y _{Ma}	90.92	-9.88	83.88	84.46	97
L _{Ma}	52.69	-62.9	19.95	66.0	162
C _{Ma}	59.61	-27.85	-44.43	52.45	238
V _{Ma}	28.39	22.72	-42.42	48.13	298
M _{Ma}	49.58	71.08	-9.19	71.67	353
N _{Ma}	20.0	0.0	0.0	0.0	0
W _{Ma}	95.0	0.0	0.0	0.0	0
R _{CIE}	39.92	58.74	27.99	65.07	25
J _{CIE}	81.26	-2.88	71.56	71.62	92
G _{CIE}	52.23	-42.41	13.6	44.55	162
B _{CIE}	30.57	1.41	-46.46	46.49	272

Daten für Maximalfarbe (Ma):

$LAB^*LAB^*_{Ma}$: 56 50 46

$LAB^*LCH^*_{Ma}$: 56 68 42

$lab^*rgb^*_{Ma}$: 1.0 0.25 0.0

$lab^*olv^*_{Ma}$: 1.0 0.17 0.0

Dreiecks-Helligkeit i^*

%Umfang

$u^*_{rel} = 83$

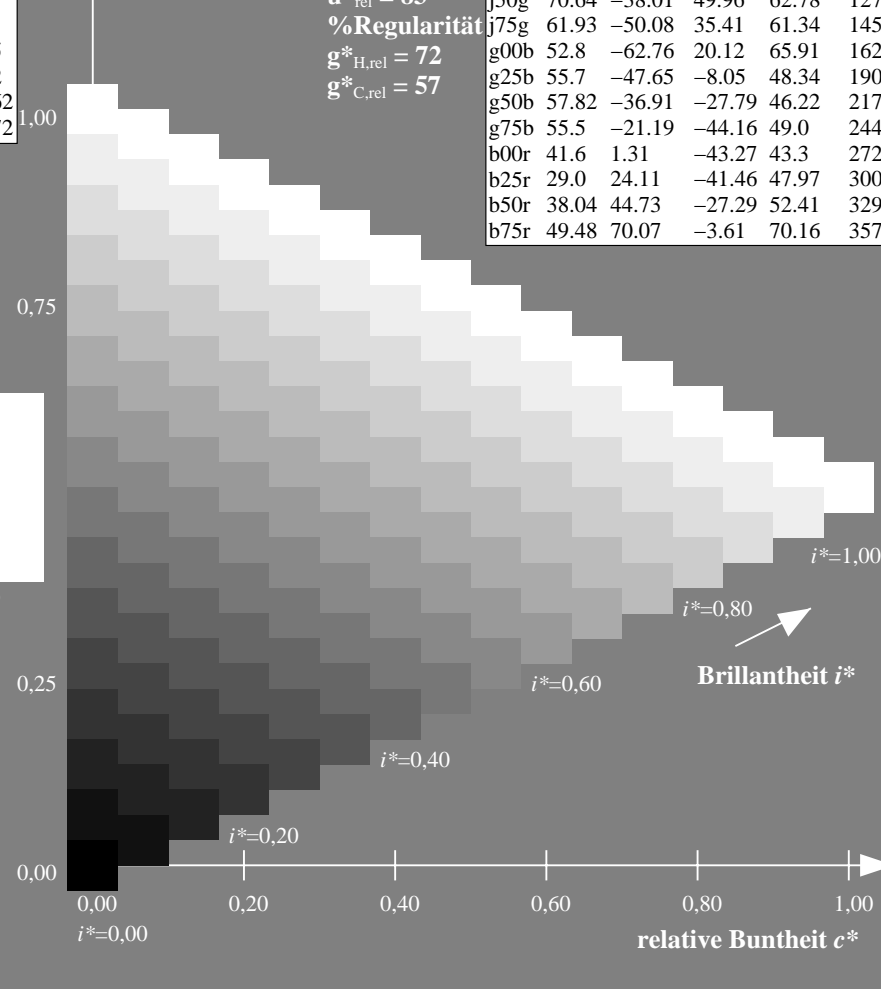
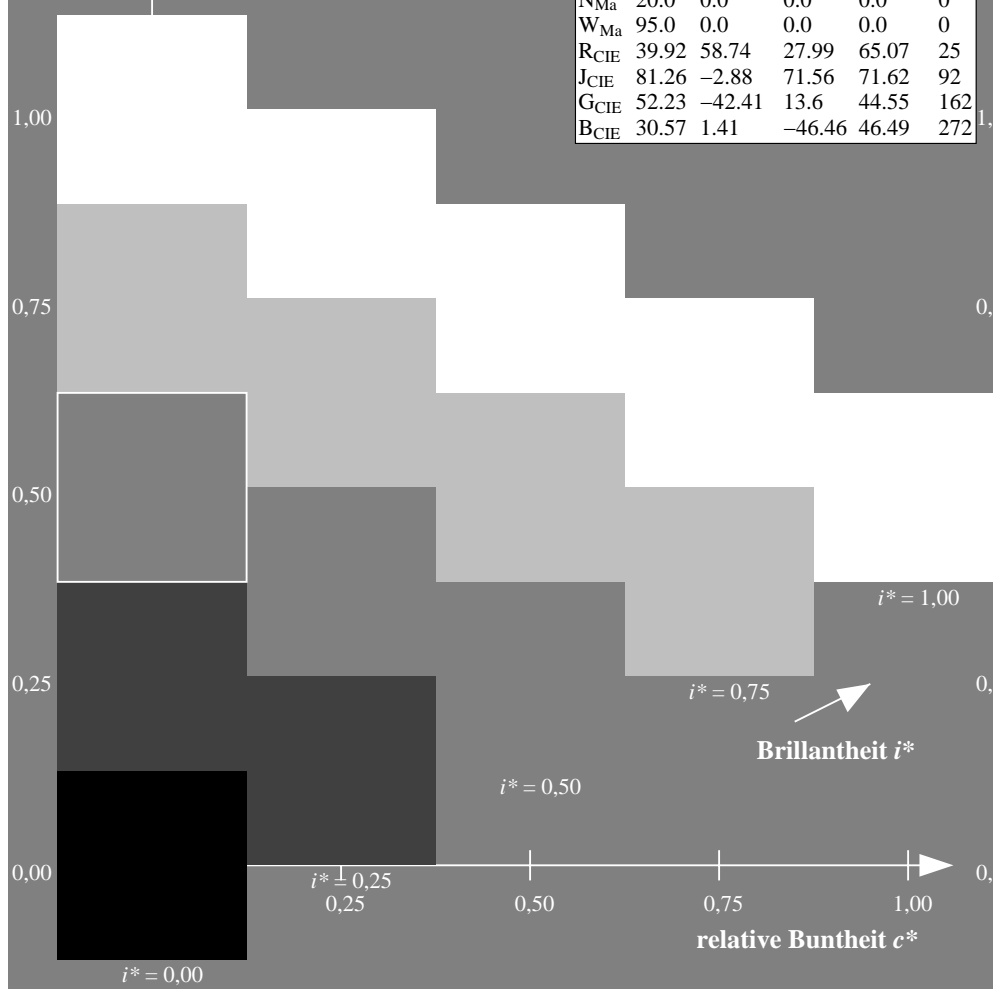
%Regularität

$g^*_{H,rel} = 72$

$g^*_{C,rel} = 57$

ORS20_95a; adaptierte CIELAB-Daten

	$L^*=L^*_a$	a^*_a	b^*_a	$C^*_{ab,a}$	$h^*_{ab,a}$
r00j	48.88	63.91	30.45	70.79	25
r25j	55.85	50.36	45.65	67.97	42
r50j	65.45	33.86	56.12	65.54	59
r75j	75.19	17.13	66.73	68.89	76
j00g	87.03	-3.21	79.64	79.7	92
j25g	80.72	-24.03	66.82	71.01	110
j50g	70.64	-38.01	49.96	62.78	127
j75g	61.93	-50.08	35.41	61.34	145
g00b	52.8	-62.76	20.12	65.91	162
g25b	55.7	-47.65	-8.05	48.34	190
g50b	57.82	-36.91	-27.79	46.22	217
g75b	55.5	-21.19	-44.16	49.0	244
b00r	41.6	1.31	-43.27	43.3	272
b25r	29.0	24.11	-41.46	47.97	300
b50r	38.04	44.73	-27.29	52.41	329
b75r	49.48	70.07	-3.61	70.16	357



Ein und Ausgabe: Farbmetrisches Drucker-Reflektiv-System ORS20_95a für relativen CIELAB-Buntton $h^* = lab^*h^* = h_{ab}/360 = 59/360 = 0.164$

Daten für jede Farbe:

lab^*ch^* und lab^*icu^*

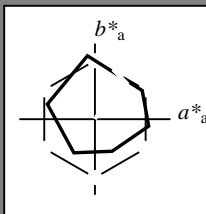
Elementar-Bunttonext:

$u^* = r50j$

Kontrastreduzierungsfaktor:

$c_R = 0.96$

Dreiecks-Helligkeit i^*



ORS20_95a; adaptierte CIELAB-Daten

	$L^*=L_a^*$	a_a^*	b_a^*	$C_{ab,a}^*$	$h_{ab,a}^*$
O _{Ma}	48.75	62.56	37.91	73.15	31
Y _{Ma}	90.92	-9.88	83.88	84.46	97
L _{Ma}	52.69	-62.9	19.95	66.0	162
C _{Ma}	59.61	-27.85	-44.43	52.45	238
V _{Ma}	28.39	22.72	-42.42	48.13	298
M _{Ma}	49.58	71.08	-9.19	71.67	353
N _{Ma}	20.0	0.0	0.0	0.0	0
W _{Ma}	95.0	0.0	0.0	0.0	0
R _{CIE}	39.92	58.74	27.99	65.07	25
J _{CIE}	81.26	-2.88	71.56	71.62	92
G _{CIE}	52.23	-42.41	13.6	44.55	162
B _{CIE}	30.57	1.41	-46.46	46.49	272

Daten für Maximalfarbe (Ma):

LAB^*LAB^*Ma : 65 34 56

LAB^*LCH^*Ma : 65 66 59

lab^*rgb^*Ma : 1.0 0.5 0.0

lab^*olv^*Ma : 1.0 0.4 0.0

Dreiecks-Helligkeit i^*

%Umfang

$u^*_{rel} = 83$

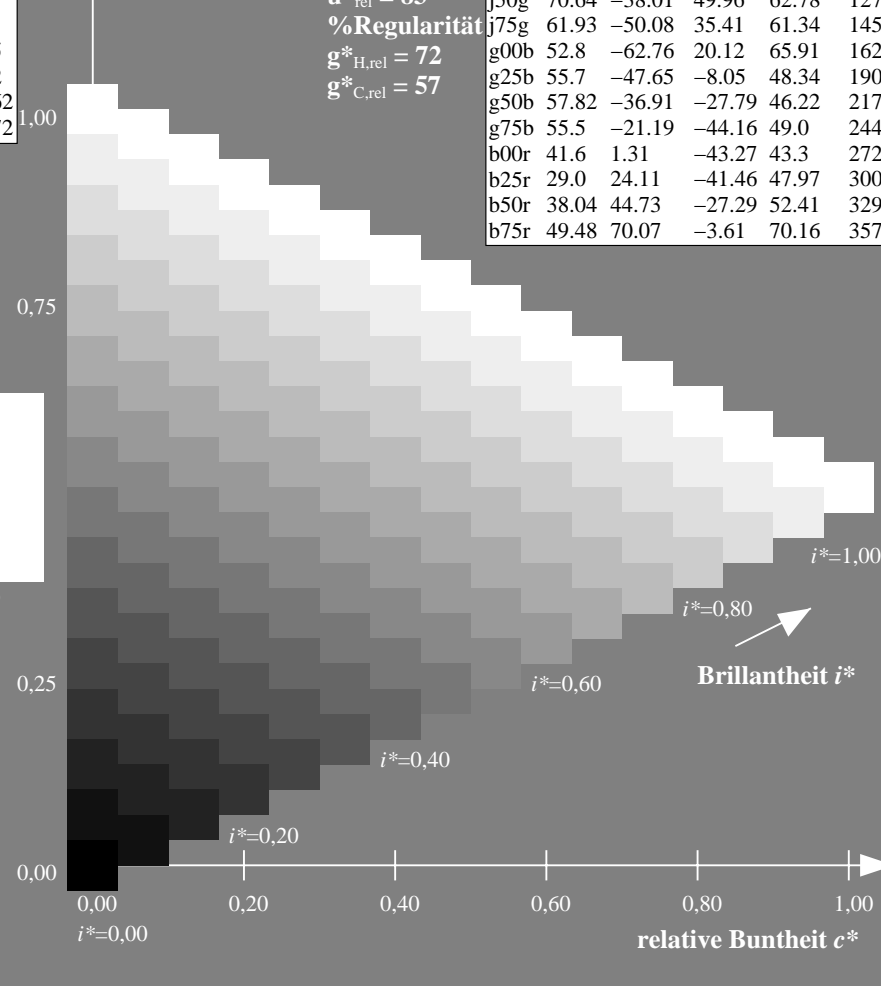
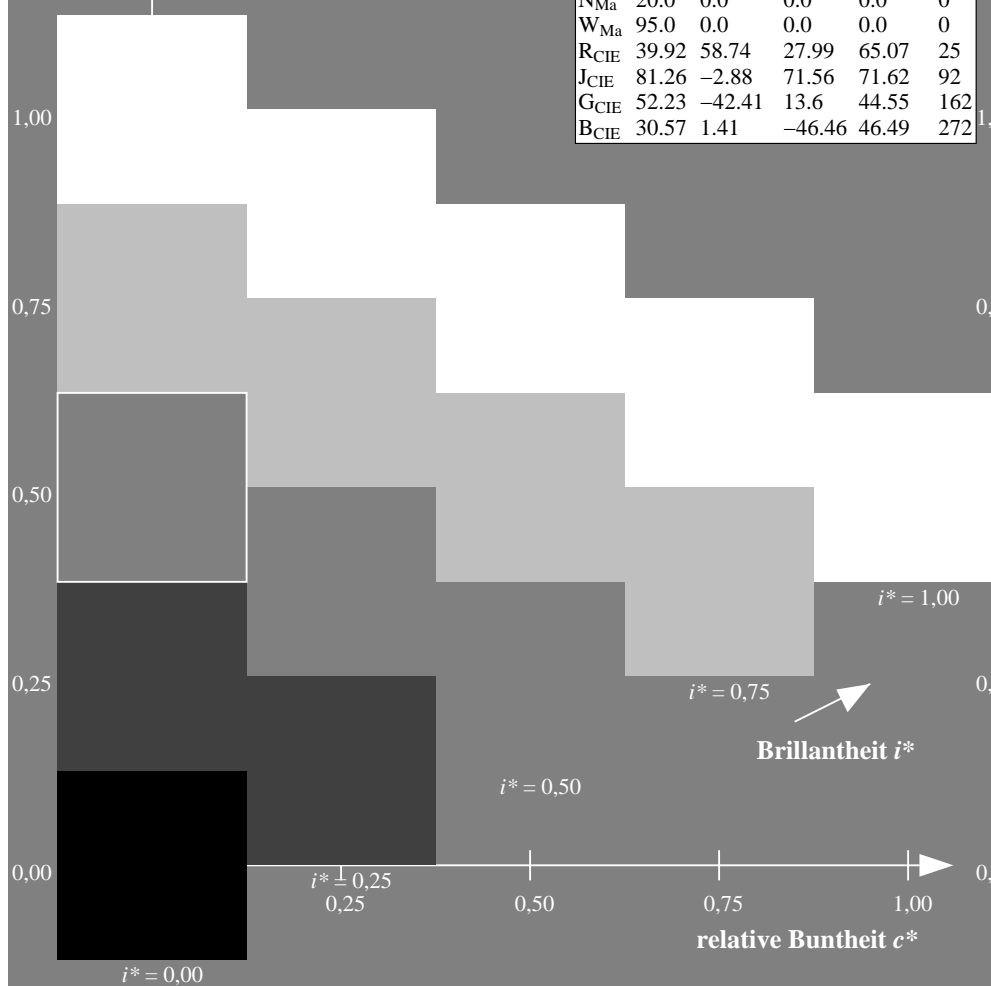
%Regularität

$g^*_{H,rel} = 72$

$g^*_{C,rel} = 57$

ORS20_95a; adaptierte CIELAB-Daten

	$L^*=L_a^*$	a_a^*	b_a^*	$C_{ab,a}^*$	$h_{ab,a}^*$
r00j	48.88	63.91	30.45	70.79	25
r25j	55.85	50.36	45.65	67.97	42
r50j	65.45	33.86	56.12	65.54	59
r75j	75.19	17.13	66.73	68.89	76
j00g	87.03	-3.21	79.64	79.7	92
j25g	80.72	-24.03	66.82	71.01	110
j50g	70.64	-38.01	49.96	62.78	127
j75g	61.93	-50.08	35.41	61.34	145
g00b	52.8	-62.76	20.12	65.91	162
g25b	55.7	-47.65	-8.05	48.34	190
g50b	57.82	-36.91	-27.79	46.22	217
g75b	55.5	-21.19	-44.16	49.0	244
b00r	41.6	1.31	-43.27	43.3	272
b25r	29.0	24.11	-41.46	47.97	300
b50r	38.04	44.73	-27.29	52.41	329
b75r	49.48	70.07	-3.61	70.16	357



Ein und Ausgabe: Farbmetrisches Drucker-Reflektiv-System ORS20_95a für relativen CIELAB-Buntton $h^* = lab^*h^* = h_{ab}/360 = 76/360 = 0.21$

Daten für jede Farbe:

lab^*ch^* und lab^*icu^*

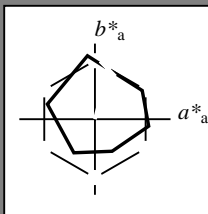
Elementar-Bunttonextext:

$u^* = r75j$

Kontrastreduzierungsfaktor:

$c_R = 0.96$

Dreiecks-Helligkeit i^*



ORS20_95a; adaptierte CIELAB-Daten

	$L^*=L^*_a$	a^*_a	b^*_a	$C^*_{ab,a}$	$h^*_{ab,a}$
O _{Ma}	48.75	62.56	37.91	73.15	31
Y _{Ma}	90.92	-9.88	83.88	84.46	97
L _{Ma}	52.69	-62.9	19.95	66.0	162
C _{Ma}	59.61	-27.85	-44.43	52.45	238
V _{Ma}	28.39	22.72	-42.42	48.13	298
M _{Ma}	49.58	71.08	-9.19	71.67	353
N _{Ma}	20.0	0.0	0.0	0.0	0
W _{Ma}	95.0	0.0	0.0	0.0	0
R _{CIE}	39.92	58.74	27.99	65.07	25
J _{CIE}	81.26	-2.88	71.56	71.62	92
G _{CIE}	52.23	-42.41	13.6	44.55	162
B _{CIE}	30.57	1.41	-46.46	46.49	272

Daten für Maximalfarbe (Ma):

$LAB^*LAB^*_{Ma}$: 75 17 67

$LAB^*LCH^*_{Ma}$: 75 69 76

$lab^*rgb^*_{Ma}$: 1.0 0.75 0.0

$lab^*olv^*_{Ma}$: 1.0 0.63 0.0

Dreiecks-Helligkeit i^*

%Umfang

$u^*_{rel} = 83$

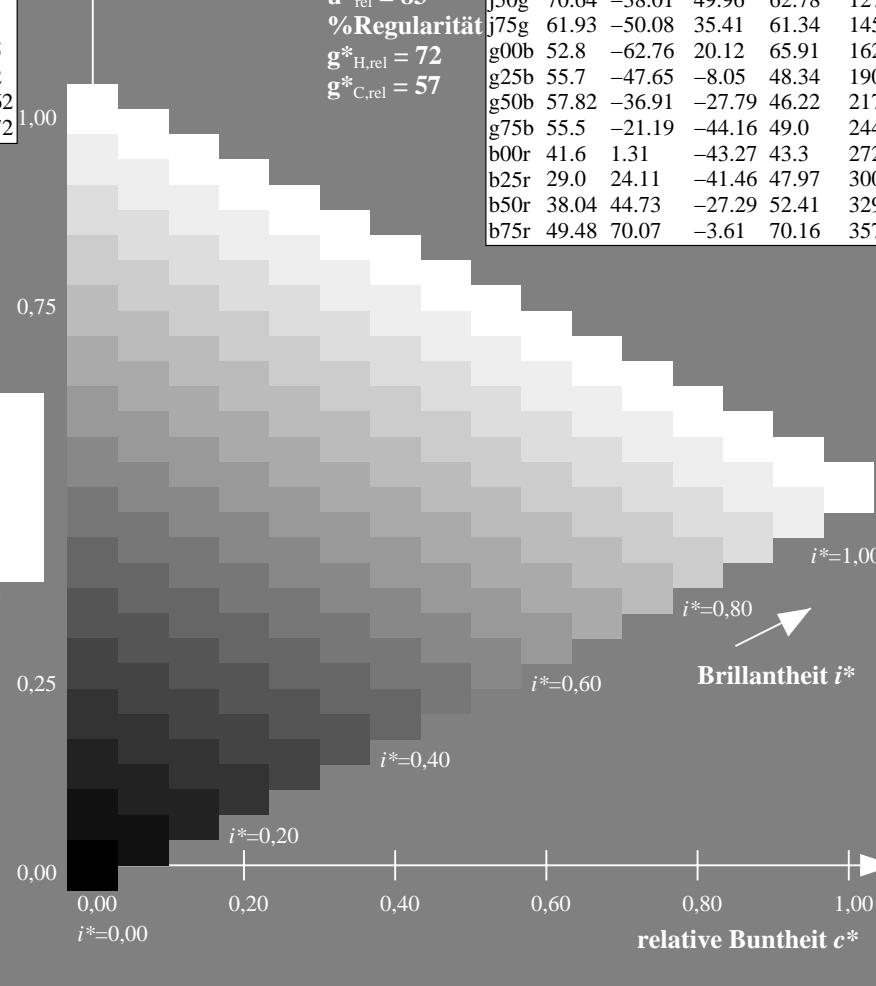
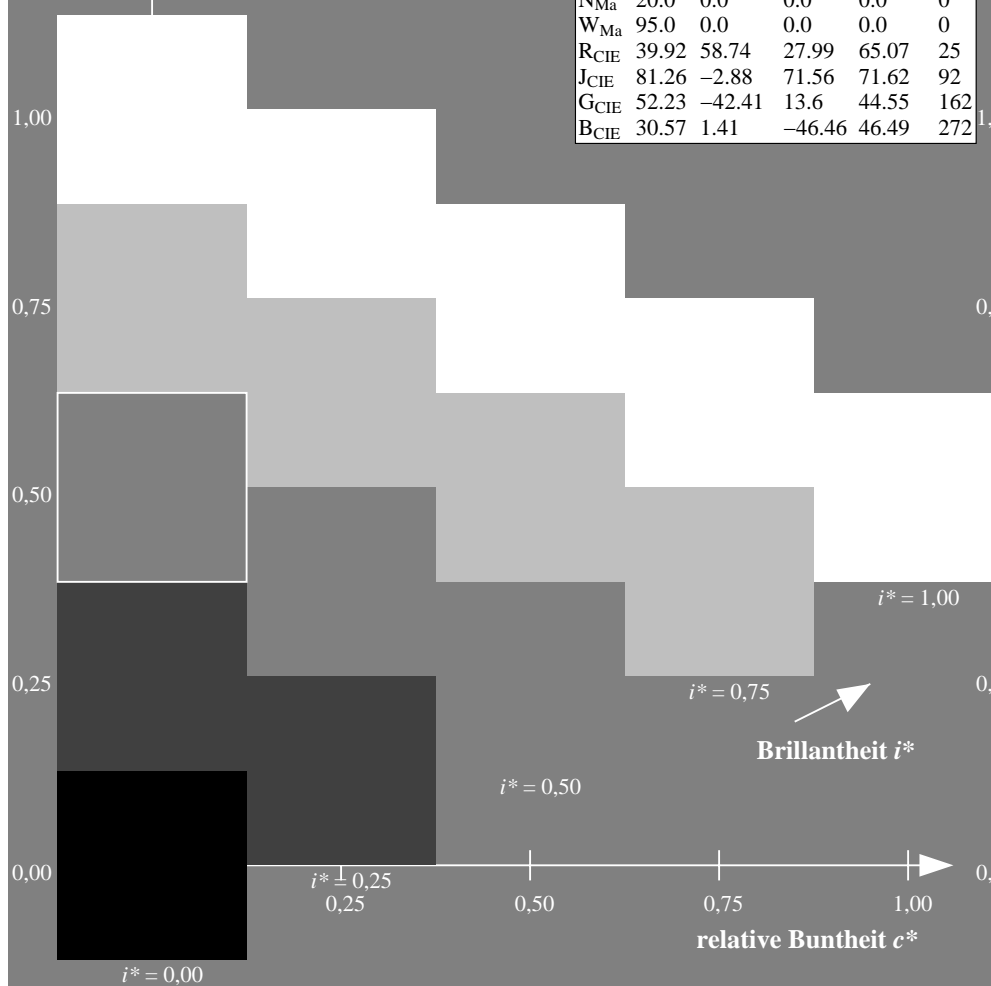
%Regularität

$g^*_{H,rel} = 72$

$g^*_{C,rel} = 57$

ORS20_95a; adaptierte CIELAB-Daten

	$L^*=L^*_a$	a^*_a	b^*_a	$C^*_{ab,a}$	$h^*_{ab,a}$
r00j	48.88	63.91	30.45	70.79	25
r25j	55.85	50.36	45.65	67.97	42
r50j	65.45	33.86	56.12	65.54	59
r75j	75.19	17.13	66.73	68.89	76
j00g	87.03	-3.21	79.64	79.7	92
j25g	80.72	-24.03	66.82	71.01	110
j50g	70.64	-38.01	49.96	62.78	127
j75g	61.93	-50.08	35.41	61.34	145
g00b	52.8	-62.76	20.12	65.91	162
g25b	55.7	-47.65	-8.05	48.34	190
g50b	57.82	-36.91	-27.79	46.22	217
g75b	55.5	-21.19	-44.16	49.0	244
b00r	41.6	1.31	-43.27	43.3	272
b25r	29.0	24.11	-41.46	47.97	300
b50r	38.04	44.73	-27.29	52.41	329
b75r	49.48	70.07	-3.61	70.16	357



Ein und Ausgabe: Farbmetrisches Drucker-Reflektiv-System ORS20_95a für relativen CIELAB-Buntton $h^* = lab^*h^* = h_{ab}/360 = 92/360 = 0.256$

Daten für jede Farbe:

lab^*ch^* und lab^*icu^*

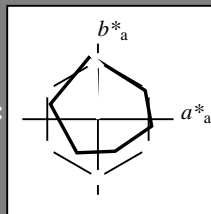
Elementar-Bunttonext:

$u^* = j00g$

Kontrastreduzierungsfaktor:

$c_R = 0.96$

Dreiecks-Helligkeit i^*



ORS20_95a; adaptierte CIELAB-Daten					
	$L^*=L^*_a$	a^*_a	b^*_a	$C^*_{ab,a}$	$h^*_{ab,a}$
O _{Ma}	48.75	62.56	37.91	73.15	31
Y _{Ma}	90.92	-9.88	83.88	84.46	97
L _{Ma}	52.69	-62.9	19.95	66.0	162
C _{Ma}	59.61	-27.85	-44.43	52.45	238
V _{Ma}	28.39	22.72	-42.42	48.13	298
M _{Ma}	49.58	71.08	-9.19	71.67	353
N _{Ma}	20.0	0.0	0.0	0.0	0
W _{Ma}	95.0	0.0	0.0	0.0	0
R _{CIE}	39.92	58.74	27.99	65.07	25
J _{CIE}	81.26	-2.88	71.56	71.62	92
G _{CIE}	52.23	-42.41	13.6	44.55	162
B _{CIE}	30.57	1.41	-46.46	46.49	272

Daten für Maximalfarbe (Ma):

$LAB^*LAB^*_{Ma}$: 87 -2 80

$LAB^*LCH^*_{Ma}$: 87 80 92

$lab^*rgb^*_{Ma}$: 1.0 1.0 0.0

$lab^*olv^*_{Ma}$: 1.0 0.91 0.0

Dreiecks-Helligkeit i^*

%Umfang

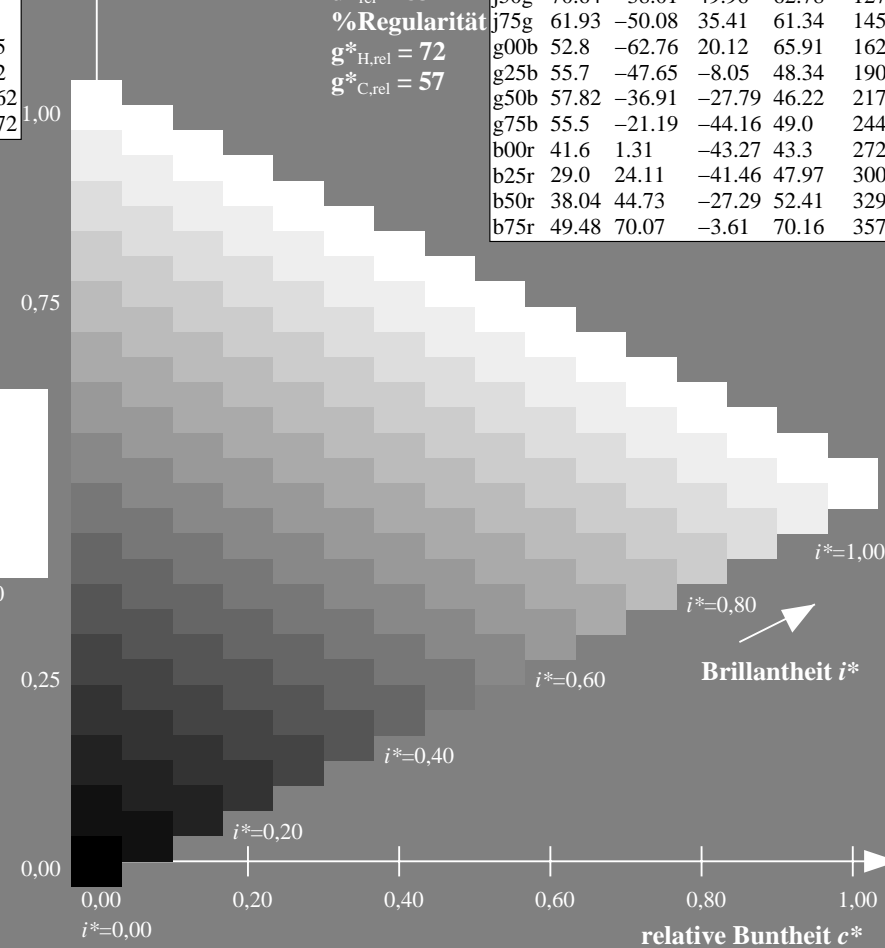
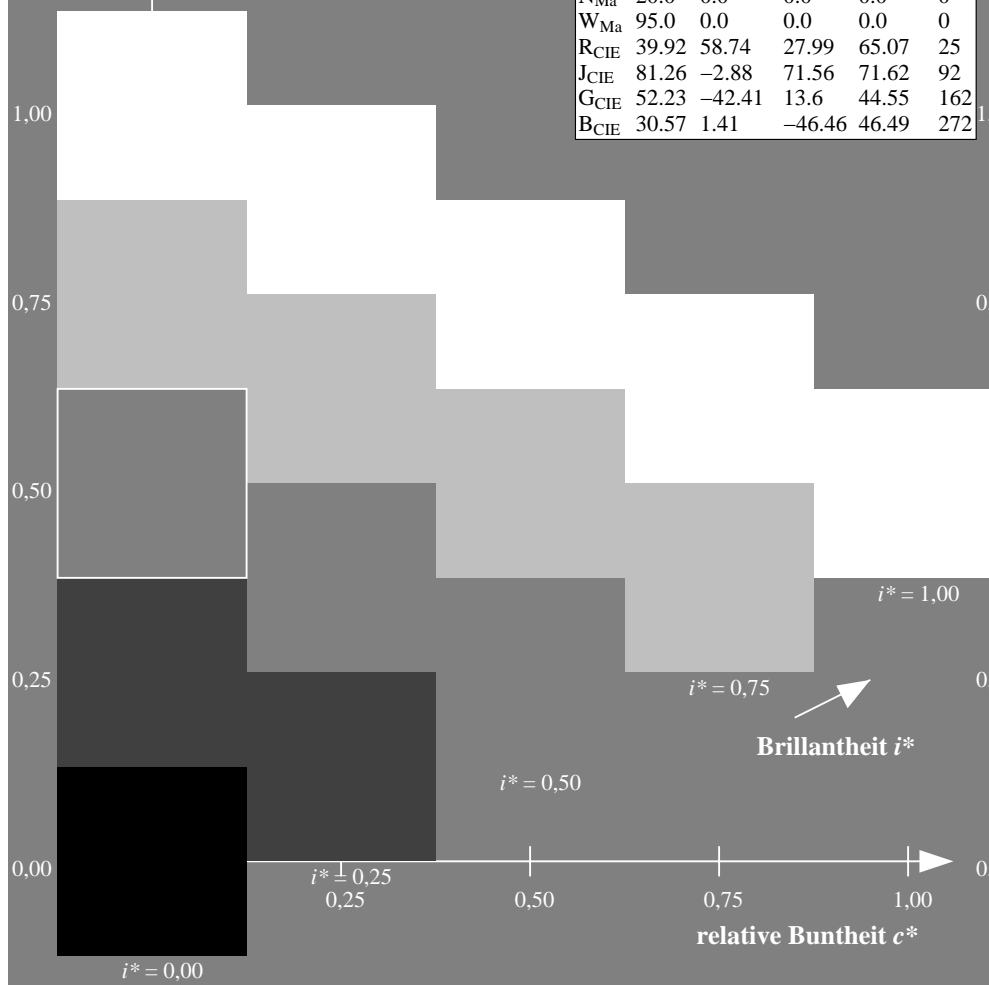
$u^*_{rel} = 83$

%Regularität

$g^*_{H,rel} = 72$

$g^*_{C,rel} = 57$

ORS20_95a; adaptierte CIELAB-Daten					
	$L^*=L^*_a$	a^*_a	b^*_a	$C^*_{ab,a}$	$h^*_{ab,a}$
r00j	48.88	63.91	30.45	70.79	25
r25j	55.85	50.36	45.65	67.97	42
r50j	65.45	33.86	56.12	65.54	59
r75j	75.19	17.13	66.73	68.89	76
j00g	87.03	-3.21	79.64	79.7	92
j25g	80.72	-24.03	66.82	71.01	110
j50g	70.64	-38.01	49.96	62.78	127
j75g	61.93	-50.08	35.41	61.34	145
g00b	52.8	-62.76	20.12	65.91	162
g25b	55.7	-47.65	-8.05	48.34	190
g50b	57.82	-36.91	-27.79	46.22	217
g75b	55.5	-21.19	-44.16	49.0	244
b00r	41.6	1.31	-43.27	43.3	272
b25r	29.0	24.11	-41.46	47.97	300
b50r	38.04	44.73	-27.29	52.41	329
b75r	49.48	70.07	-3.61	70.16	357



Ein und Ausgabe: Farbmetrisches Drucker-Reflektiv-System ORS20_95a für relativen CIELAB-Buntton $h^* = lab^*h^* = h_{ab}/360 = 110/360 = 0.305$

Daten für jede Farbe:

lab^*ch^* und lab^*icu^*

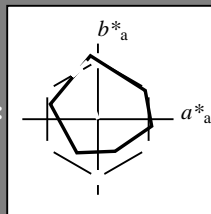
Elementar-Bunttonext:

$u^* = j25g$

Kontrastreduzierungsfaktor:

$c_R = 0.96$

Dreiecks-Helligkeit i^*



ORS20_95a; adaptierte CIELAB-Daten

	$L^*=L^*_a$	a^*_a	b^*_a	$C^*_{ab,a}$	$h^*_{ab,a}$
O _{Ma}	48.75	62.56	37.91	73.15	31
Y _{Ma}	90.92	-9.88	83.88	84.46	97
L _{Ma}	52.69	-62.9	19.95	66.0	162
C _{Ma}	59.61	-27.85	-44.43	52.45	238
V _{Ma}	28.39	22.72	-42.42	48.13	298
M _{Ma}	49.58	71.08	-9.19	71.67	353
N _{Ma}	20.0	0.0	0.0	0.0	0
W _{Ma}	95.0	0.0	0.0	0.0	0
R _{CIE}	39.92	58.74	27.99	65.07	25
J _{CIE}	81.26	-2.88	71.56	71.62	92
G _{CIE}	52.23	-42.41	13.6	44.55	162
B _{CIE}	30.57	1.41	-46.46	46.49	272

Daten für Maximalfarbe (Ma):

$LAB^*LAB^*_{Ma}$: 81 -23 67

$LAB^*LCH^*_{Ma}$: 81 71 110

$lab^*rgb^*_{Ma}$: 0.75 1.0 0.0

$lab^*olv^*_{Ma}$: 0.73 1.0 0.0

Dreiecks-Helligkeit i^*

%Umfang

$u^*_{rel} = 83$

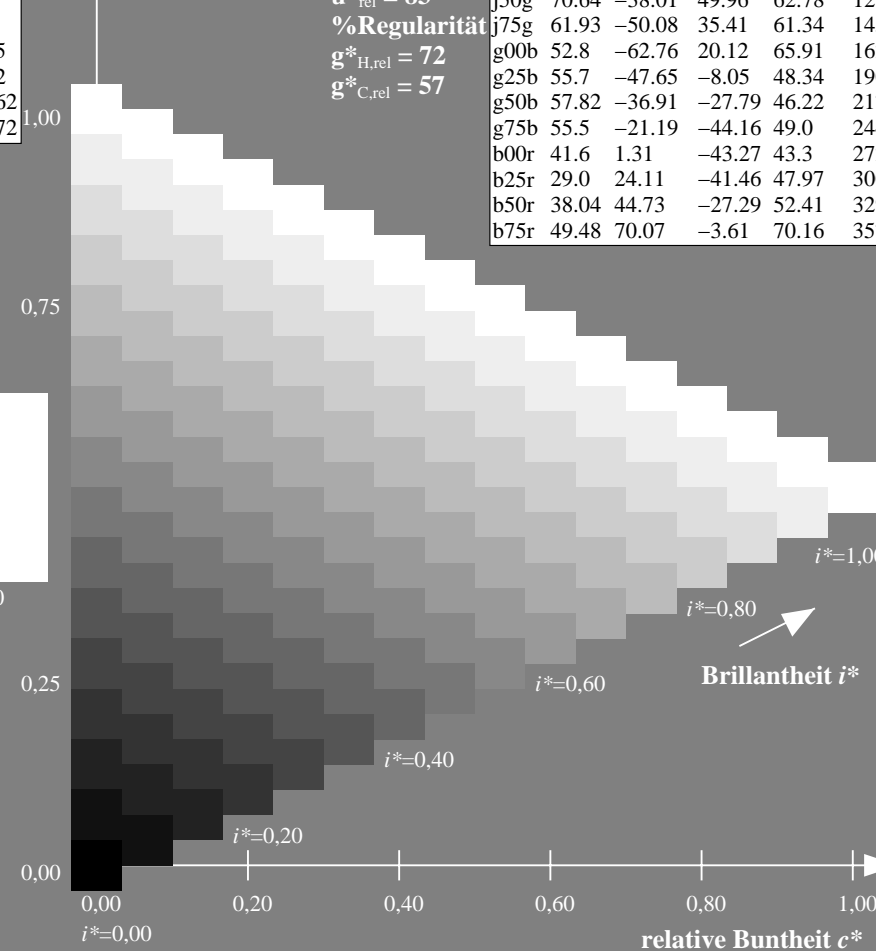
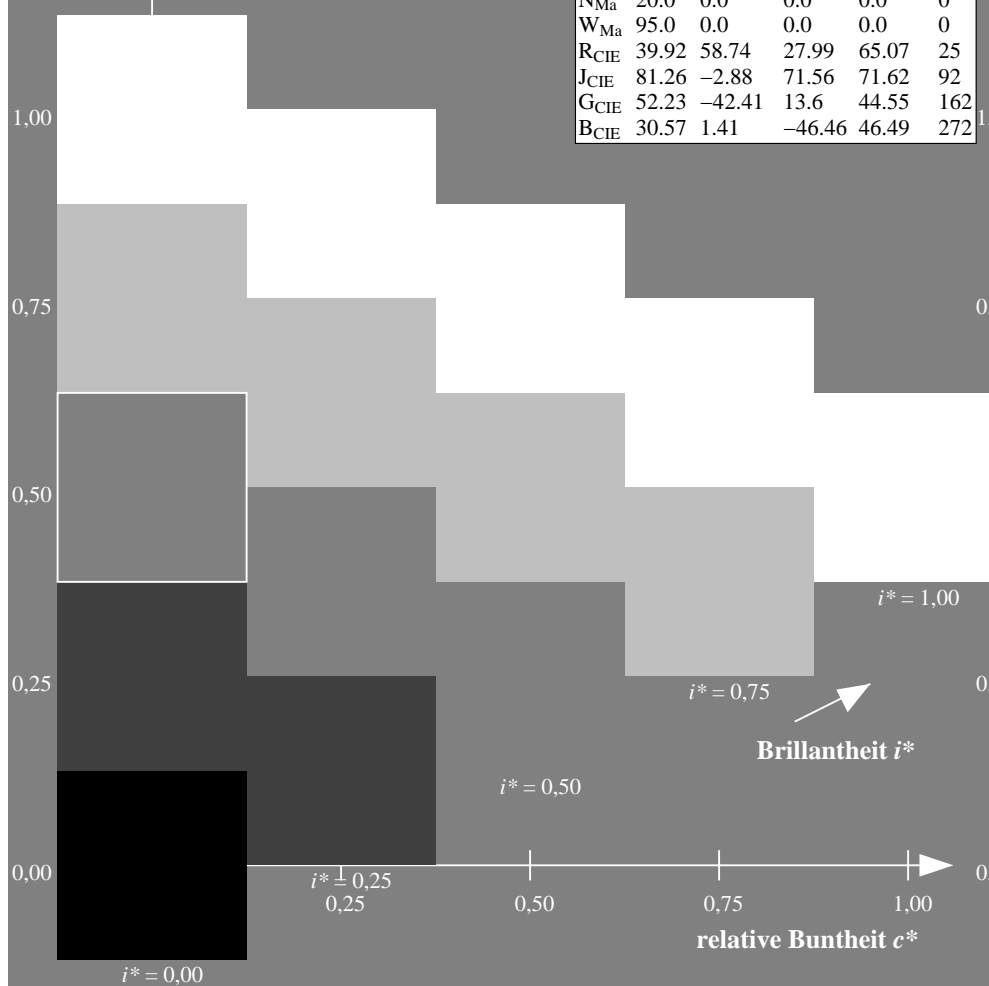
%Regularität

$g^*_{H,rel} = 72$

$g^*_{C,rel} = 57$

ORS20_95a; adaptierte CIELAB-Daten

	$L^*=L^*_a$	a^*_a	b^*_a	$C^*_{ab,a}$	$h^*_{ab,a}$
r00j	48.88	63.91	30.45	70.79	25
r25j	55.85	50.36	45.65	67.97	42
r50j	65.45	33.86	56.12	65.54	59
r75j	75.19	17.13	66.73	68.89	76
j00g	87.03	-3.21	79.64	79.7	92
j25g	80.72	-24.03	66.82	71.01	110
j50g	70.64	-38.01	49.96	62.78	127
j75g	61.93	-50.08	35.41	61.34	145
g00b	52.8	-62.76	20.12	65.91	162
g25b	55.7	-47.65	-8.05	48.34	190
g50b	57.82	-36.91	-27.79	46.22	217
g75b	55.5	-21.19	-44.16	49.0	244
b00r	41.6	1.31	-43.27	43.3	272
b25r	29.0	24.11	-41.46	47.97	300
b50r	38.04	44.73	-27.29	52.41	329
b75r	49.48	70.07	-3.61	70.16	357



Ein und Ausgabe: Farbmetrisches Drucker-Reflektiv-System ORS20_95a für relativen CIELAB-Buntton $h^* = lab^*h^* = h_{ab}/360 = 127/360 = 0.354$

Daten für jede Farbe:

lab^*ch^* und lab^*icu^*

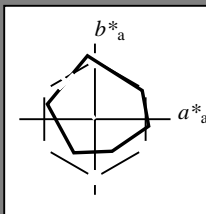
Elementar-Bunttonext:

$u^* = j50g$

Kontrastreduzierungsfaktor:

$c_R = 0.96$

Dreiecks-Helligkeit i^*



ORS20_95a; adaptierte CIELAB-Daten

	$L^*=L_a^*$	a_a^*	b_a^*	$C_{ab,a}^*$	$h_{ab,a}^*$
O _{Ma}	48.75	62.56	37.91	73.15	31
Y _{Ma}	90.92	-9.88	83.88	84.46	97
L _{Ma}	52.69	-62.9	19.95	66.0	162
C _{Ma}	59.61	-27.85	-44.43	52.45	238
V _{Ma}	28.39	22.72	-42.42	48.13	298
M _{Ma}	49.58	71.08	-9.19	71.67	353
N _{Ma}	20.0	0.0	0.0	0.0	0
W _{Ma}	95.0	0.0	0.0	0.0	0
R _{CIE}	39.92	58.74	27.99	65.07	25
J _{CIE}	81.26	-2.88	71.56	71.62	92
G _{CIE}	52.23	-42.41	13.6	44.55	162
B _{CIE}	30.57	1.41	-46.46	46.49	272

Daten für Maximalfarbe (Ma):

LAB^*LAB^*Ma : 71 -37 50

LAB^*LCH^*Ma : 71 63 127

lab^*rgb^*Ma : 0.5 1.0 0.0

lab^*olv^*Ma : 0.47 1.0 0.0

Dreiecks-Helligkeit i^*

%Umfang

$u^*_{rel} = 83$

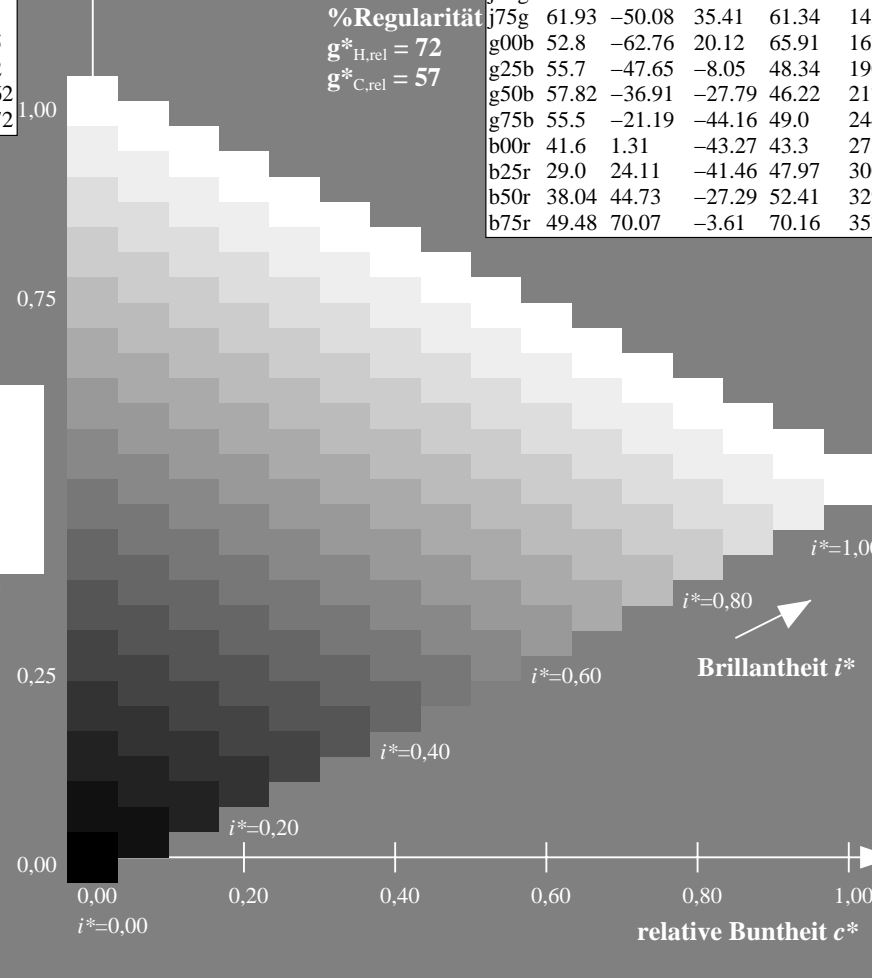
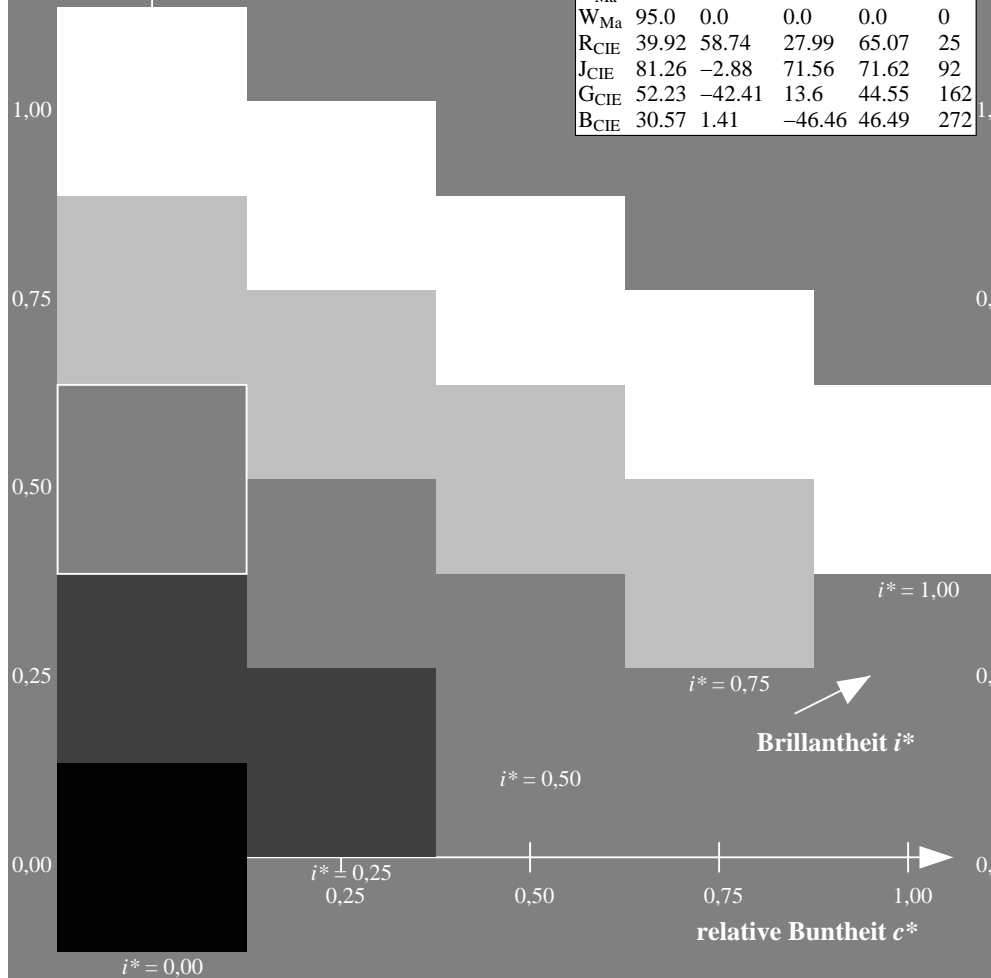
%Regularität

$g^*_{H,rel} = 72$

$g^*_{C,rel} = 57$

ORS20_95a; adaptierte CIELAB-Daten

	$L^*=L_a^*$	a_a^*	b_a^*	$C_{ab,a}^*$	$h_{ab,a}^*$
r00j	48.88	63.91	30.45	70.79	25
r25j	55.85	50.36	45.65	67.97	42
r50j	65.45	33.86	56.12	65.54	59
r75j	75.19	17.13	66.73	68.89	76
j00g	87.03	-3.21	79.64	79.7	92
j25g	80.72	-24.03	66.82	71.01	110
j50g	70.64	-38.01	49.96	62.78	127
j75g	61.93	-50.08	35.41	61.34	145
g00b	52.8	-62.76	20.12	65.91	162
g25b	55.7	-47.65	-8.05	48.34	190
g50b	57.82	-36.91	-27.79	46.22	217
g75b	55.5	-21.19	-44.16	49.0	244
b00r	41.6	1.31	-43.27	43.3	272
b25r	29.0	24.11	-41.46	47.97	300
b50r	38.04	44.73	-27.29	52.41	329
b75r	49.48	70.07	-3.61	70.16	357



Ein und Ausgabe: Farbmetrisches Drucker-Reflektiv-System ORS20_95a für relativen CIELAB-Buntton $h^* = lab^*h^* = h_{ab}/360 = 145/360 = 0.402$

Daten für jede Farbe:

lab^*ch^* und lab^*icu^*

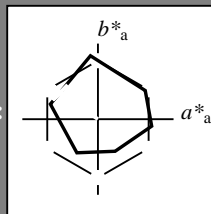
Elementar-Bunttonext:

$u^* = j75g$

Kontrastreduzierungsfaktor:

$c_R = 0.96$

Dreiecks-Helligkeit i^*



ORS20_95a; adaptierte CIELAB-Daten

	$L^*=L_a^*$	a_a^*	b_a^*	$C_{ab,a}^*$	$h_{ab,a}^*$
O _{Ma}	48.75	62.56	37.91	73.15	31
Y _{Ma}	90.92	-9.88	83.88	84.46	97
L _{Ma}	52.69	-62.9	19.95	66.0	162
C _{Ma}	59.61	-27.85	-44.43	52.45	238
V _{Ma}	28.39	22.72	-42.42	48.13	298
M _{Ma}	49.58	71.08	-9.19	71.67	353
N _{Ma}	20.0	0.0	0.0	0.0	0
W _{Ma}	95.0	0.0	0.0	0.0	0
R _{CIE}	39.92	58.74	27.99	65.07	25
J _{CIE}	81.26	-2.88	71.56	71.62	92
G _{CIE}	52.23	-42.41	13.6	44.55	162
B _{CIE}	30.57	1.41	-46.46	46.49	272

Daten für Maximalfarbe (Ma):

LAB^*LAB^*Ma : 62 -49 35

LAB^*LCH^*Ma : 62 61 145

lab^*rgb^*Ma : 0.25 1.0 0.0

lab^*olv^*Ma : 0.24 1.0 0.0

Dreiecks-Helligkeit i^*

%Umfang

$u^*_{rel} = 83$

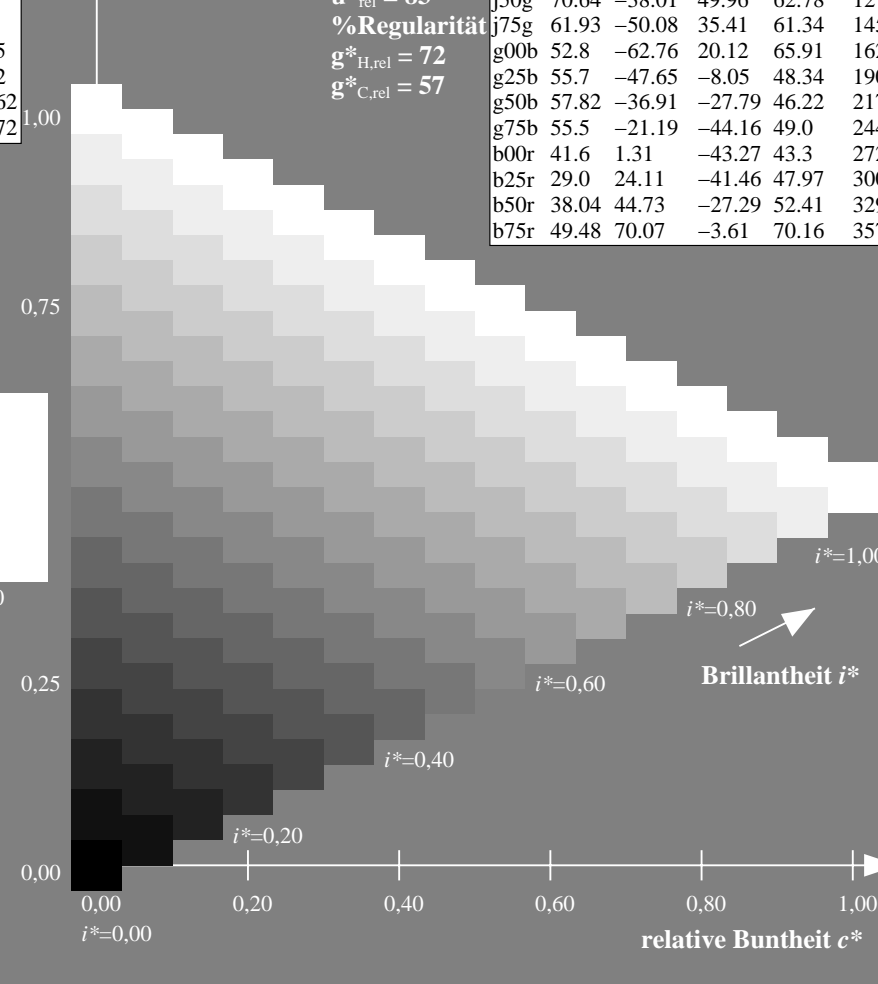
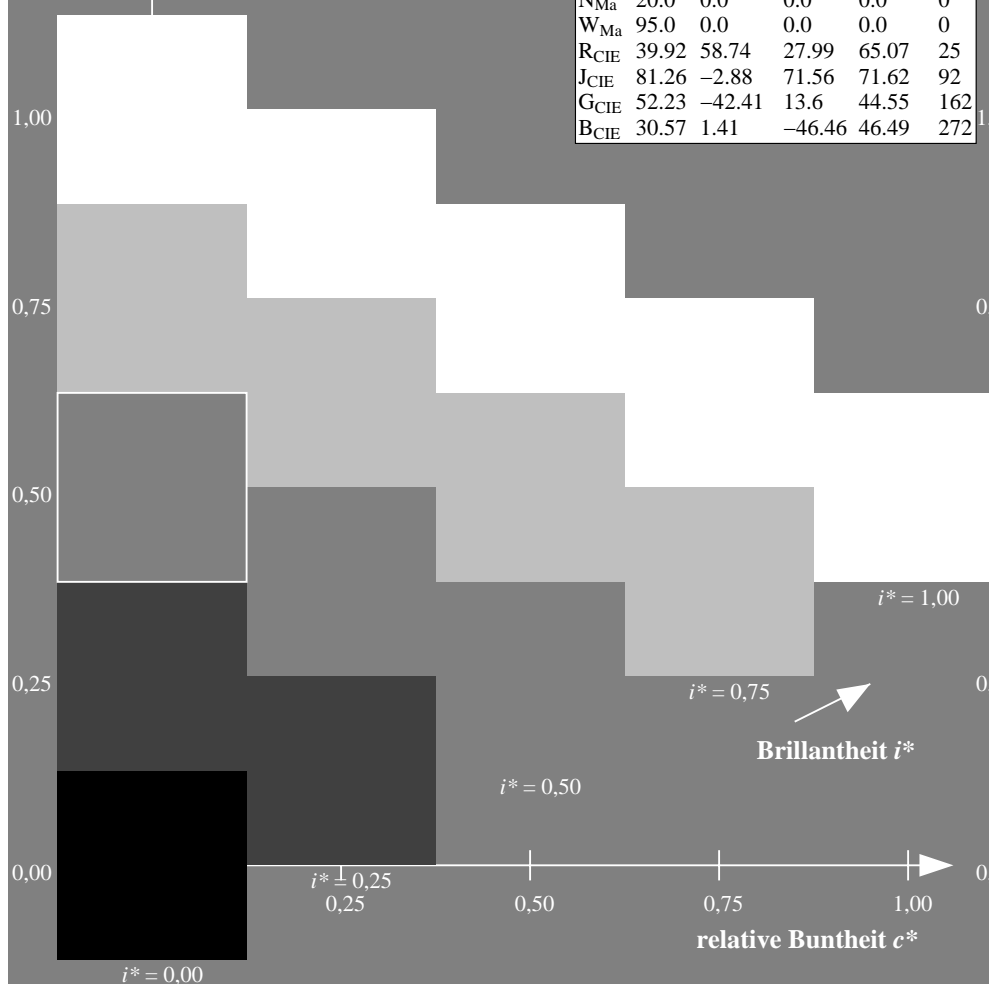
%Regularität

$g^*_{H,rel} = 72$

$g^*_{C,rel} = 57$

ORS20_95a; adaptierte CIELAB-Daten

	$L^*=L_a^*$	a_a^*	b_a^*	$C_{ab,a}^*$	$h_{ab,a}^*$
r00j	48.88	63.91	30.45	70.79	25
r25j	55.85	50.36	45.65	67.97	42
r50j	65.45	33.86	56.12	65.54	59
r75j	75.19	17.13	66.73	68.89	76
j00g	87.03	-3.21	79.64	79.7	92
j25g	80.72	-24.03	66.82	71.01	110
j50g	70.64	-38.01	49.96	62.78	127
j75g	61.93	-50.08	35.41	61.34	145
g00b	52.8	-62.76	20.12	65.91	162
g25b	55.7	-47.65	-8.05	48.34	190
g50b	57.82	-36.91	-27.79	46.22	217
g75b	55.5	-21.19	-44.16	49.0	244
b00r	41.6	1.31	-43.27	43.3	272
b25r	29.0	24.11	-41.46	47.97	300
b50r	38.04	44.73	-27.29	52.41	329
b75r	49.48	70.07	-3.61	70.16	357



Ein und Ausgabe: Farbmetrisches Drucker-Reflektiv-System ORS20_95a für relativen CIELAB-Buntton $h^* = lab^*h^* = h_{ab}/360 = 162/360 = 0.451$

Daten für jede Farbe:

lab^*ch^* und lab^*icu^*

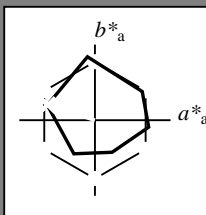
Elementar-Bunttonext:

$u^* = g00b$

Kontrastreduzierungsfaktor:

$c_R = 0.96$

Dreiecks-Helligkeit i^*



ORS20_95a; adaptierte CIELAB-Daten					
	$L^*=L^*_a$	a^*_a	b^*_a	$C^*_{ab,a}$	$h^*_{ab,a}$
O _{Ma}	48.75	62.56	37.91	73.15	31
Y _{Ma}	90.92	-9.88	83.88	84.46	97
L _{Ma}	52.69	-62.9	19.95	66.0	162
C _{Ma}	59.61	-27.85	-44.43	52.45	238
V _{Ma}	28.39	22.72	-42.42	48.13	298
M _{Ma}	49.58	71.08	-9.19	71.67	353
N _{Ma}	20.0	0.0	0.0	0.0	0
W _{Ma}	95.0	0.0	0.0	0.0	0
R _{CIE}	39.92	58.74	27.99	65.07	25
J _{CIE}	81.26	-2.88	71.56	71.62	92
G _{CIE}	52.23	-42.41	13.6	44.55	162
B _{CIE}	30.57	1.41	-46.46	46.49	272

Daten für Maximalfarbe (Ma):

$LAB^*LAB^*_{Ma}$: 53 -62 20

$LAB^*LCH^*_{Ma}$: 53 66 162

$lab^*rgb^*_{Ma}$: 0.0 1.0 0.0

$lab^*olv^*_{Ma}$: 0.0 1.0 0.0

Dreiecks-Helligkeit i^*

%Umfang

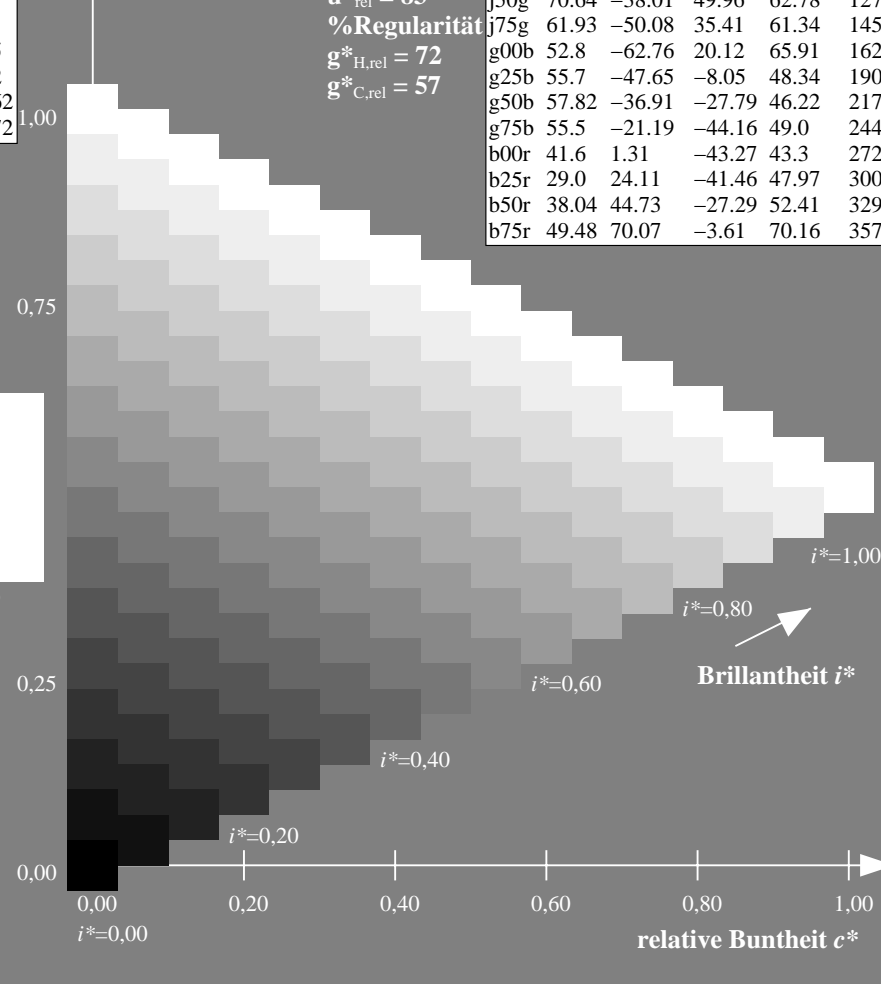
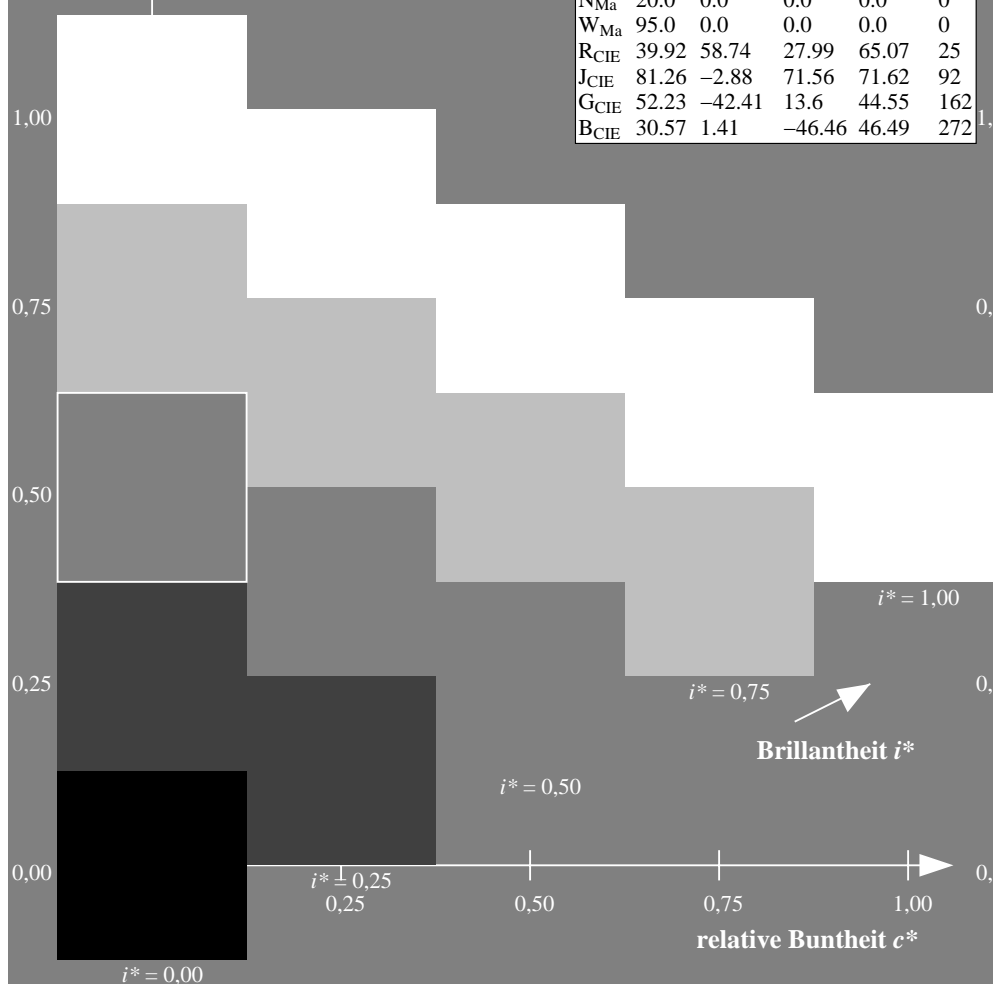
$u^*_{rel} = 83$

%Regularität

$g^*_{H,rel} = 72$

$g^*_{C,rel} = 57$

ORS20_95a; adaptierte CIELAB-Daten					
	$L^*=L^*_a$	a^*_a	b^*_a	$C^*_{ab,a}$	$h^*_{ab,a}$
r00j	48.88	63.91	30.45	70.79	25
r25j	55.85	50.36	45.65	67.97	42
r50j	65.45	33.86	56.12	65.54	59
r75j	75.19	17.13	66.73	68.89	76
j00g	87.03	-3.21	79.64	79.7	92
j25g	80.72	-24.03	66.82	71.01	110
j50g	70.64	-38.01	49.96	62.78	127
j75g	61.93	-50.08	35.41	61.34	145
g00b	52.8	-62.76	20.12	65.91	162
g25b	55.7	-47.65	-8.05	48.34	190
g50b	57.82	-36.91	-27.79	46.22	217
g75b	55.5	-21.19	-44.16	49.0	244
b00r	41.6	1.31	-43.27	43.3	272
b25r	29.0	24.11	-41.46	47.97	300
b50r	38.04	44.73	-27.29	52.41	329
b75r	49.48	70.07	-3.61	70.16	357



Ein und Ausgabe: Farbmetrisches Drucker-Reflektiv-System ORS20_95a für relativen CIELAB-Buntton $h^* = lab^*h^* = h_{ab}/360 = 190/360 = 0.527$

Daten für jede Farbe:

lab^*ch^* und lab^*icu^*

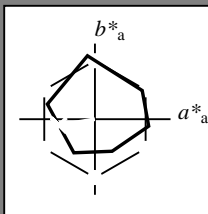
Elementar-Bunttonext:

$u^* = g25b$

Kontrastreduzierungsfaktor:

$c_R = 0.96$

Dreiecks-Helligkeit i^*



ORS20_95a; adaptierte CIELAB-Daten

	$L^*=L^*_a$	a^*_a	b^*_a	$C^*_{ab,a}$	$h^*_{ab,a}$
O _{Ma}	48.75	62.56	37.91	73.15	31
Y _{Ma}	90.92	-9.88	83.88	84.46	97
L _{Ma}	52.69	-62.9	19.95	66.0	162
C _{Ma}	59.61	-27.85	-44.43	52.45	238
V _{Ma}	28.39	22.72	-42.42	48.13	298
M _{Ma}	49.58	71.08	-9.19	71.67	353
N _{Ma}	20.0	0.0	0.0	0.0	0
W _{Ma}	95.0	0.0	0.0	0.0	0
R _{CIE}	39.92	58.74	27.99	65.07	25
J _{CIE}	81.26	-2.88	71.56	71.62	92
G _{CIE}	52.23	-42.41	13.6	44.55	162
B _{CIE}	30.57	1.41	-46.46	46.49	272

Daten für Maximalfarbe (Ma):

$LAB^*LAB^*_{Ma}$: 56 -47 -7

$LAB^*LCH^*_{Ma}$: 56 48 190

$lab^*rgb^*_{Ma}$: 0.0 1.0 0.5

$lab^*olv^*_{Ma}$: 0.0 1.0 0.44

Dreiecks-Helligkeit i^*

%Umfang

$u^*_{rel} = 83$

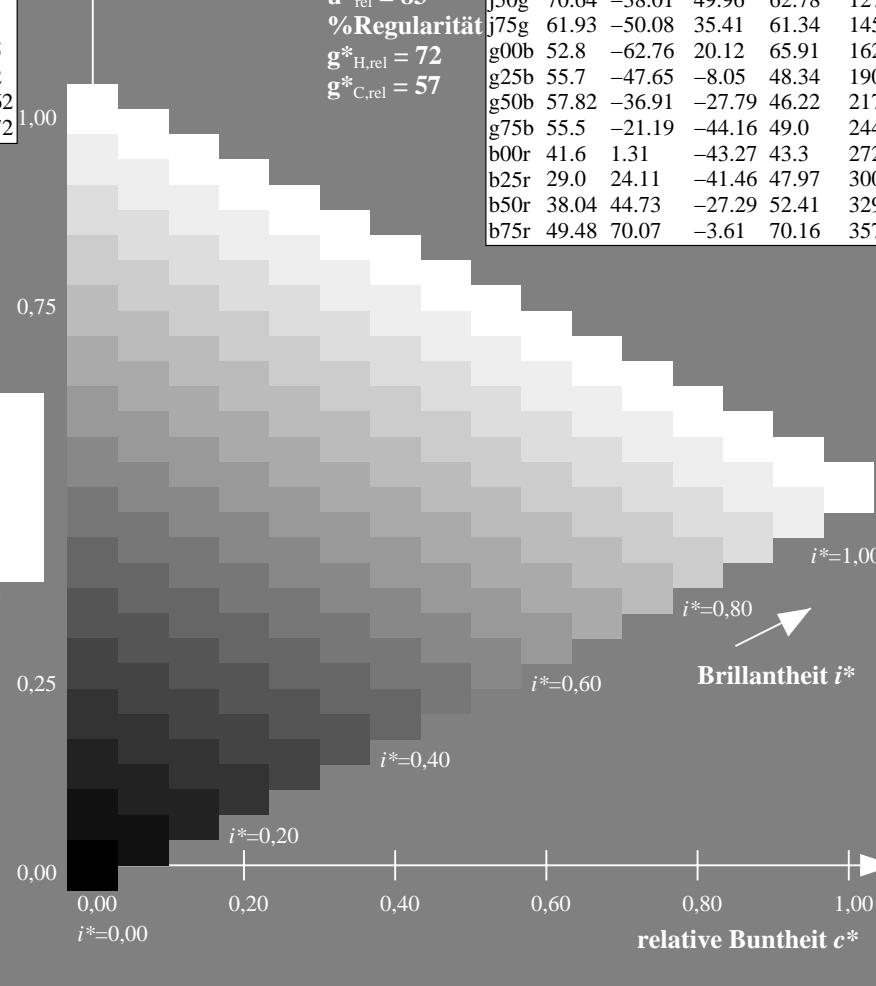
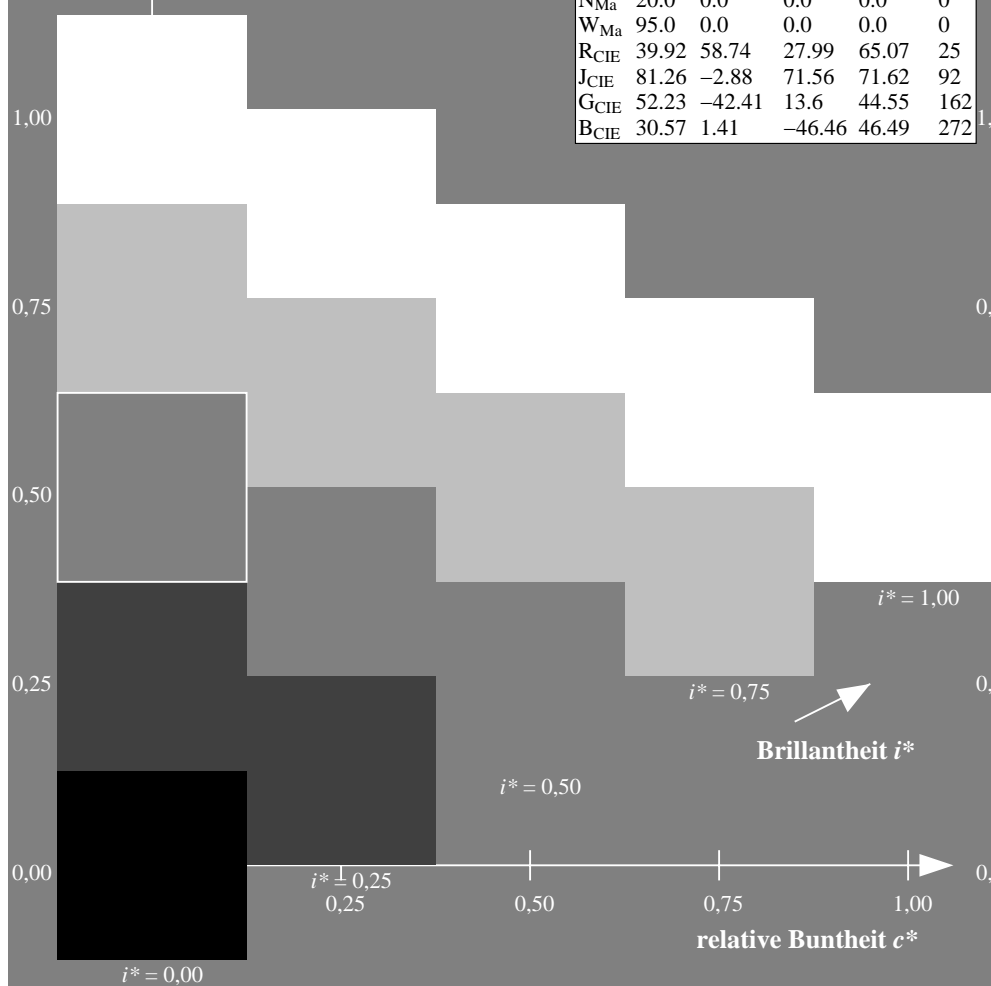
%Regularität

$g^*_{H,rel} = 72$

$g^*_{C,rel} = 57$

ORS20_95a; adaptierte CIELAB-Daten

	$L^*=L^*_a$	a^*_a	b^*_a	$C^*_{ab,a}$	$h^*_{ab,a}$
r00j	48.88	63.91	30.45	70.79	25
r25j	55.85	50.36	45.65	67.97	42
r50j	65.45	33.86	56.12	65.54	59
r75j	75.19	17.13	66.73	68.89	76
j00g	87.03	-3.21	79.64	79.7	92
j25g	80.72	-24.03	66.82	71.01	110
j50g	70.64	-38.01	49.96	62.78	127
j75g	61.93	-50.08	35.41	61.34	145
g00b	52.8	-62.76	20.12	65.91	162
g25b	55.7	-47.65	-8.05	48.34	190
g50b	57.82	-36.91	-27.79	46.22	217
g75b	55.5	-21.19	-44.16	49.0	244
b00r	41.6	1.31	-43.27	43.3	272
b25r	29.0	24.11	-41.46	47.97	300
b50r	38.04	44.73	-27.29	52.41	329
b75r	49.48	70.07	-3.61	70.16	357



Ein und Ausgabe: Farbmetrisches Drucker-Reflektiv-System ORS20_95a für relativen CIELAB-Buntton $h^* = lab^*h^* = h_{ab}/360 = 217/360 = 0.603$

Daten für jede Farbe:

lab^*ch^* und lab^*icu^*

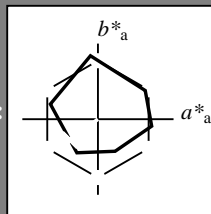
Elementar-Bunttonext:

$u^* = g50b$

Kontrastreduzierungsfaktor:

$c_R = 0.96$

Dreiecks-Helligkeit i^*



ORS20_95a; adaptierte CIELAB-Daten

	$L^*=L^*_a$	a^*_a	b^*_a	$C^*_{ab,a}$	$h^*_{ab,a}$
O _{Ma}	48.75	62.56	37.91	73.15	31
Y _{Ma}	90.92	-9.88	83.88	84.46	97
L _{Ma}	52.69	-62.9	19.95	66.0	162
C _{Ma}	59.61	-27.85	-44.43	52.45	238
V _{Ma}	28.39	22.72	-42.42	48.13	298
M _{Ma}	49.58	71.08	-9.19	71.67	353
N _{Ma}	20.0	0.0	0.0	0.0	0
W _{Ma}	95.0	0.0	0.0	0.0	0
R _{CIE}	39.92	58.74	27.99	65.07	25
J _{CIE}	81.26	-2.88	71.56	71.62	92
G _{CIE}	52.23	-42.41	13.6	44.55	162
B _{CIE}	30.57	1.41	-46.46	46.49	272

Daten für Maximalfarbe (Ma):

$LAB^*LAB^*_{Ma}$: 58 -36 -27

$LAB^*LCH^*_{Ma}$: 58 46 217

$lab^*rgb^*_{Ma}$: 0.0 1.0 1.0

$lab^*olv^*_{Ma}$: 0.0 1.0 0.74

Dreiecks-Helligkeit i^*

%Umfang

$u^*_{rel} = 83$

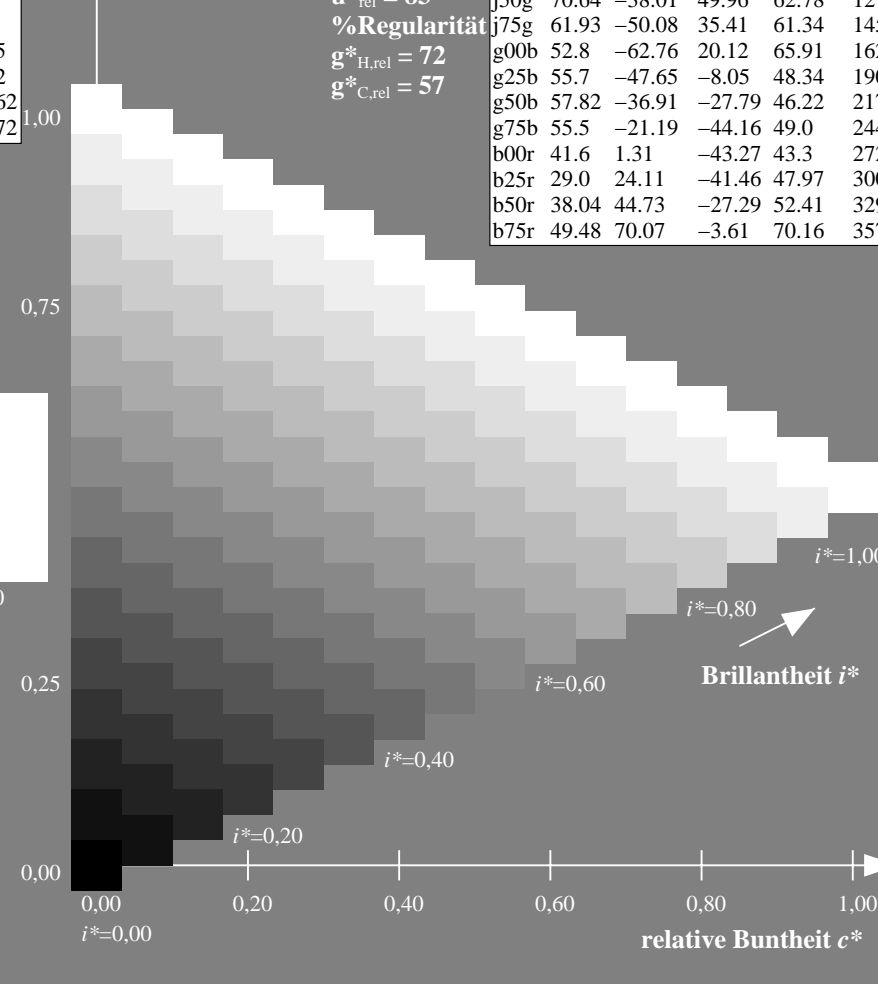
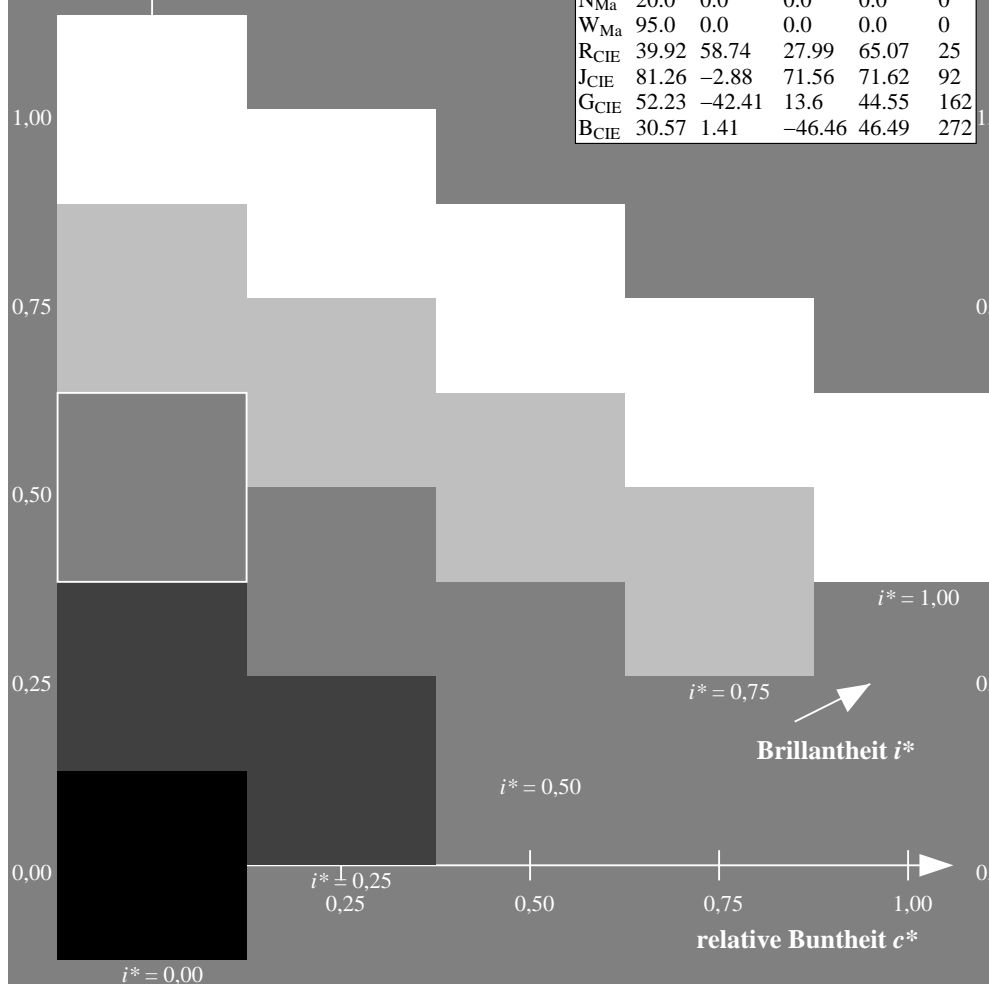
%Regularität

$g^*_{H,rel} = 72$

$g^*_{C,rel} = 57$

ORS20_95a; adaptierte CIELAB-Daten

	$L^*=L^*_a$	a^*_a	b^*_a	$C^*_{ab,a}$	$h^*_{ab,a}$
r00j	48.88	63.91	30.45	70.79	25
r25j	55.85	50.36	45.65	67.97	42
r50j	65.45	33.86	56.12	65.54	59
r75j	75.19	17.13	66.73	68.89	76
j00g	87.03	-3.21	79.64	79.7	92
j25g	80.72	-24.03	66.82	71.01	110
j50g	70.64	-38.01	49.96	62.78	127
j75g	61.93	-50.08	35.41	61.34	145
g00b	52.8	-62.76	20.12	65.91	162
g25b	55.7	-47.65	-8.05	48.34	190
g50b	57.82	-36.91	-27.79	46.22	217
g75b	55.5	-21.19	-44.16	49.0	244
b00r	41.6	1.31	-43.27	43.3	272
b25r	29.0	24.11	-41.46	47.97	300
b50r	38.04	44.73	-27.29	52.41	329
b75r	49.48	70.07	-3.61	70.16	357



Ein und Ausgabe: Farbmetrisches Drucker-Reflektiv-System ORS20_95a für relativen CIELAB-Buntton $h^* = lab^*h^* = h_{ab}/360 = 244/360 = 0.679$

Daten für jede Farbe:

lab^*ch^* und lab^*icu^*

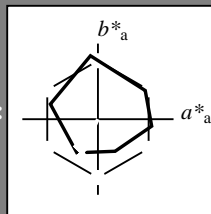
Elementar-Bunttonext:

$u^* = g75b$

Kontrastreduzierungsfaktor:

$c_R = 0.96$

Dreiecks-Helligkeit i^*



ORS20_95a; adaptierte CIELAB-Daten

	$L^*=L_a^*$	a_a^*	b_a^*	$C_{ab,a}^*$	$h_{ab,a}^*$
O _{Ma}	48.75	62.56	37.91	73.15	31
Y _{Ma}	90.92	-9.88	83.88	84.46	97
L _{Ma}	52.69	-62.9	19.95	66.0	162
C _{Ma}	59.61	-27.85	-44.43	52.45	238
V _{Ma}	28.39	22.72	-42.42	48.13	298
M _{Ma}	49.58	71.08	-9.19	71.67	353
N _{Ma}	20.0	0.0	0.0	0.0	0
W _{Ma}	95.0	0.0	0.0	0.0	0
R _{CIE}	39.92	58.74	27.99	65.07	25
J _{CIE}	81.26	-2.88	71.56	71.62	92
G _{CIE}	52.23	-42.41	13.6	44.55	162
B _{CIE}	30.57	1.41	-46.46	46.49	272

Daten für Maximalfarbe (Ma):

$LAB^*LAB^*_{Ma}$: 55 -20 -43

$LAB^*LCH^*_{Ma}$: 55 49 244

$lab^*rgb^*_{Ma}$: 0.0 0.5 1.0

$lab^*olv^*_{Ma}$: 0.0 0.87 1.0

Dreiecks-Helligkeit i^*

%Umfang

$u^*_{rel} = 83$

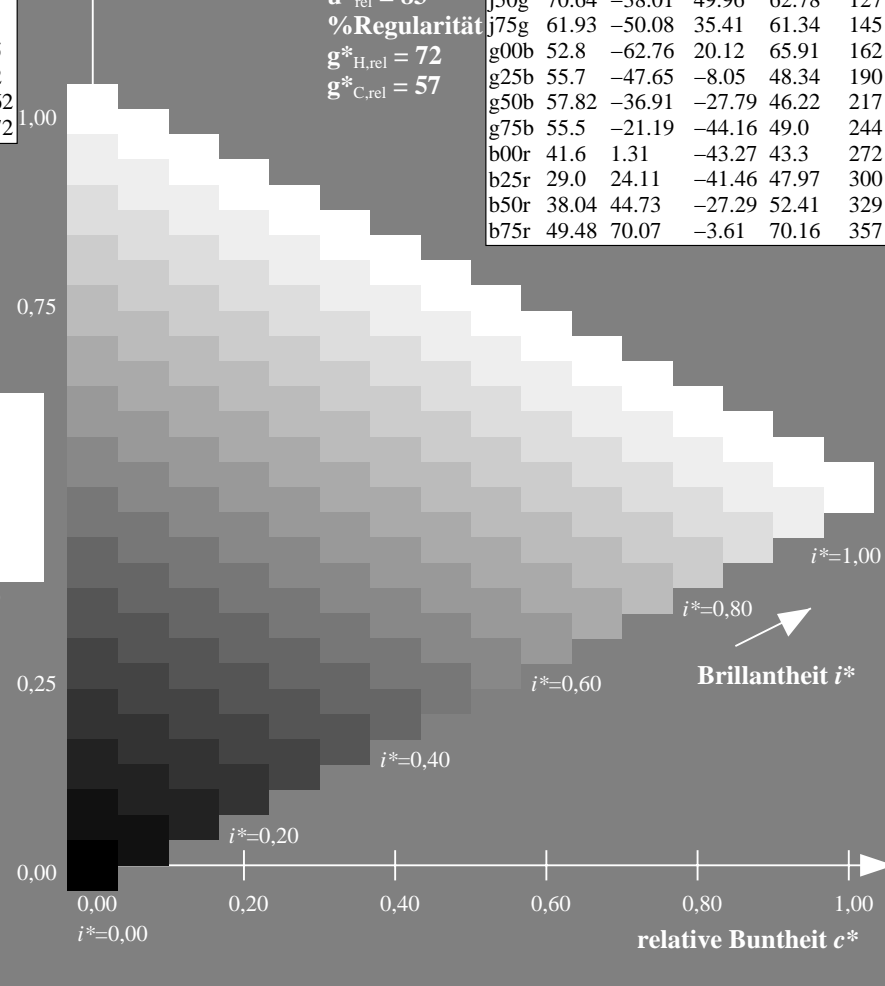
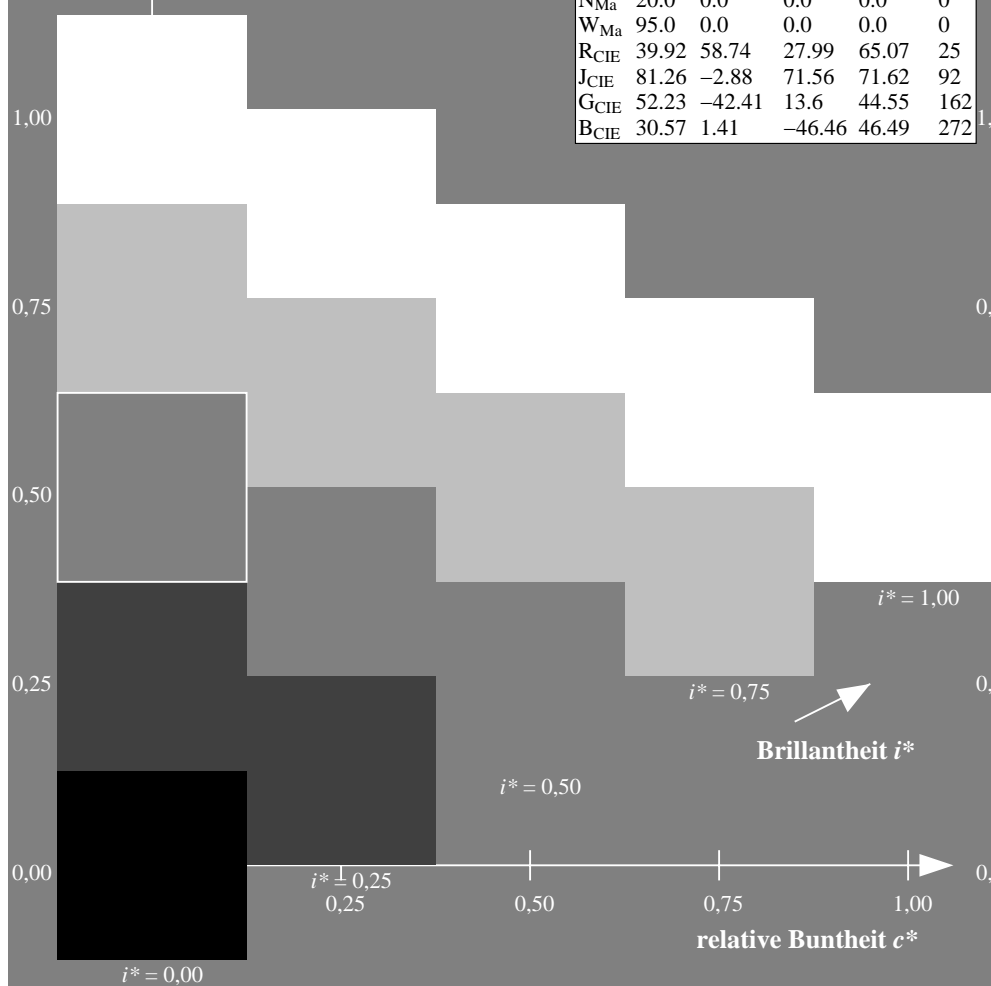
%Regularität

$g^*_{H,rel} = 72$

$g^*_{C,rel} = 57$

ORS20_95a; adaptierte CIELAB-Daten

	$L^*=L_a^*$	a_a^*	b_a^*	$C_{ab,a}^*$	$h_{ab,a}^*$
r00j	48.88	63.91	30.45	70.79	25
r25j	55.85	50.36	45.65	67.97	42
r50j	65.45	33.86	56.12	65.54	59
r75j	75.19	17.13	66.73	68.89	76
j00g	87.03	-3.21	79.64	79.7	92
j25g	80.72	-24.03	66.82	71.01	110
j50g	70.64	-38.01	49.96	62.78	127
j75g	61.93	-50.08	35.41	61.34	145
g00b	52.8	-62.76	20.12	65.91	162
g25b	55.7	-47.65	-8.05	48.34	190
g50b	57.82	-36.91	-27.79	46.22	217
g75b	55.5	-21.19	-44.16	49.0	244
b00r	41.6	1.31	-43.27	43.3	272
b25r	29.0	24.11	-41.46	47.97	300
b50r	38.04	44.73	-27.29	52.41	329
b75r	49.48	70.07	-3.61	70.16	357



Ein und Ausgabe: Farbmetrisches Drucker-Reflektiv-System ORS20_95a für relativen CIELAB-Buntton $h^* = lab^*h^* = h_{ab}/360 = 272/360 = 0.755$

Daten für jede Farbe:

lab^*ch^* und lab^*icu^*

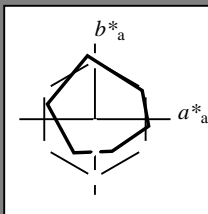
Elementar-Bunttonext:

$u^* = b00r$

Kontrastreduzierungsfaktor:

$c_R = 0.96$

Dreiecks-Helligkeit i^*



ORS20_95a; adaptierte CIELAB-Daten

	$L^*=L^*_a$	a^*_a	b^*_a	$C^*_{ab,a}$	$h^*_{ab,a}$
O _{Ma}	48.75	62.56	37.91	73.15	31
Y _{Ma}	90.92	-9.88	83.88	84.46	97
L _{Ma}	52.69	-62.9	19.95	66.0	162
C _{Ma}	59.61	-27.85	-44.43	52.45	238
V _{Ma}	28.39	22.72	-42.42	48.13	298
M _{Ma}	49.58	71.08	-9.19	71.67	353
N _{Ma}	20.0	0.0	0.0	0.0	0
W _{Ma}	95.0	0.0	0.0	0.0	0
R _{CIE}	39.92	58.74	27.99	65.07	25
J _{CIE}	81.26	-2.88	71.56	71.62	92
G _{CIE}	52.23	-42.41	13.6	44.55	162
B _{CIE}	30.57	1.41	-46.46	46.49	272

Daten für Maximalfarbe (Ma):

$LAB^*LAB^*_{Ma}$: 42 1 -42

$LAB^*LCH^*_{Ma}$: 42 43 272

$lab^*rgb^*_{Ma}$: 0.0 0.0 1.0

$lab^*olv^*_{Ma}$: 0.0 0.42 1.0

Dreiecks-Helligkeit i^*

%Umfang

$u^*_{rel} = 83$

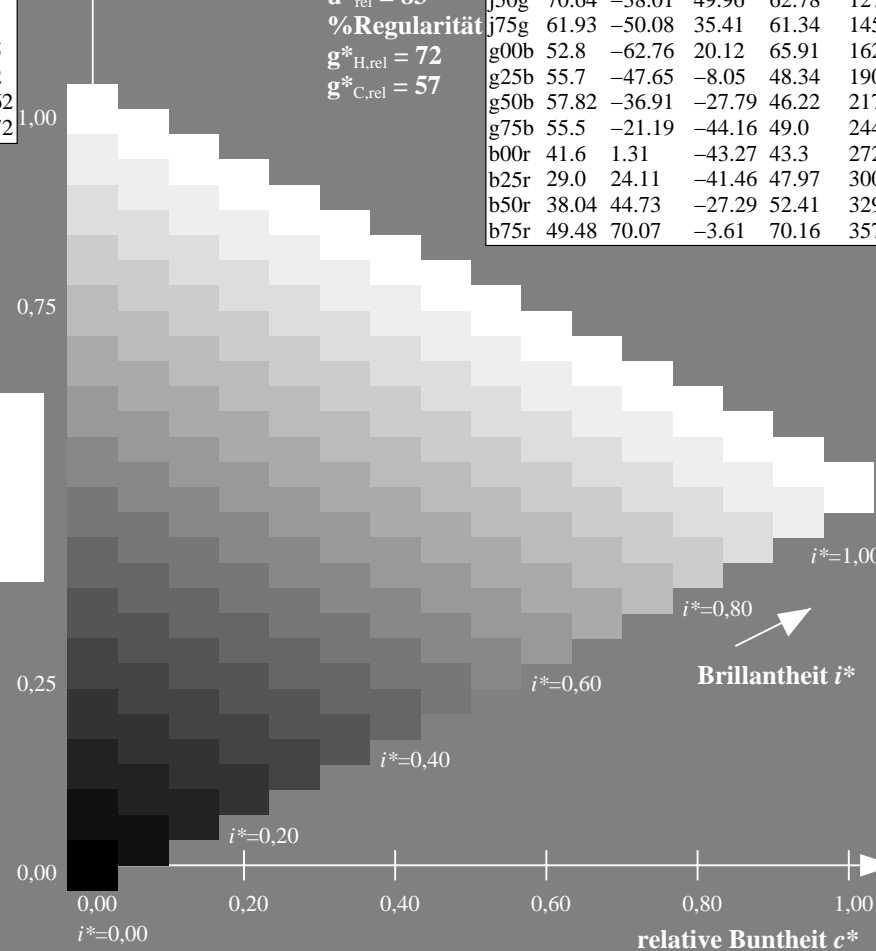
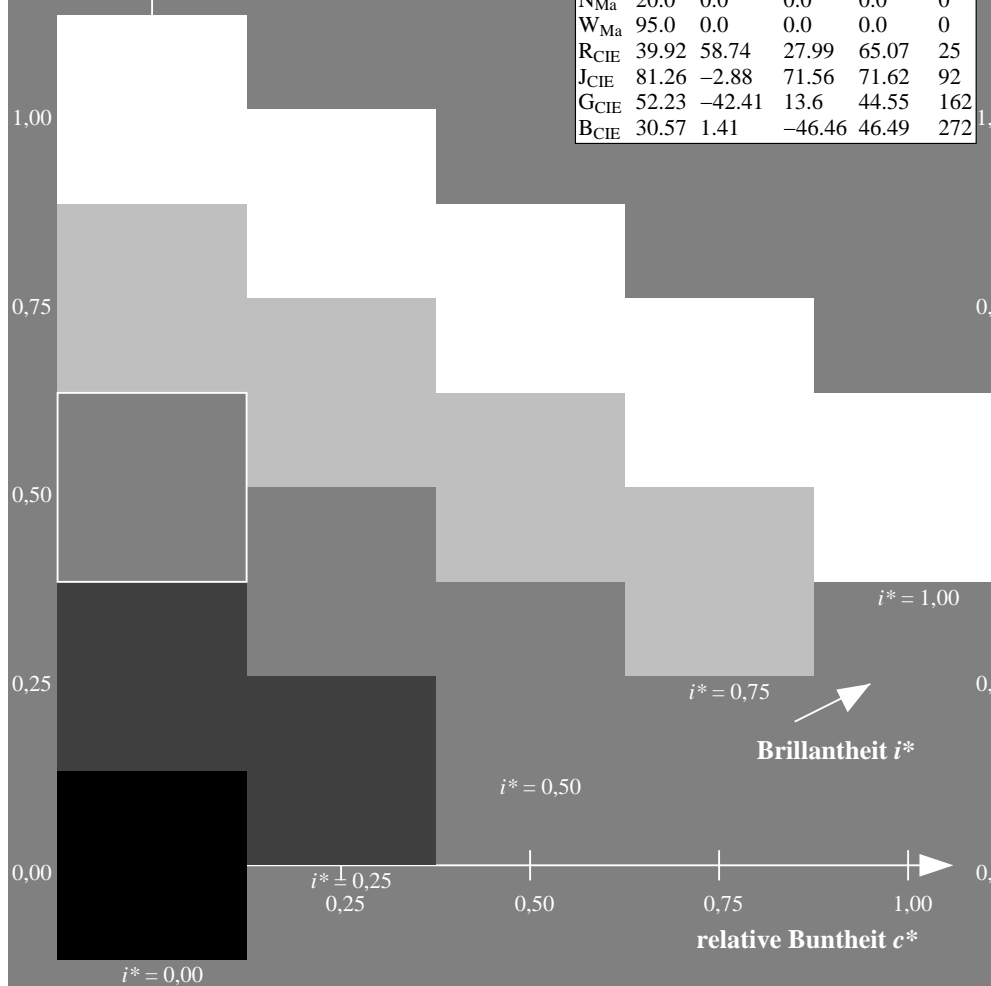
%Regularität

$g^*_{H,rel} = 72$

$g^*_{C,rel} = 57$

ORS20_95a; adaptierte CIELAB-Daten

	$L^*=L^*_a$	a^*_a	b^*_a	$C^*_{ab,a}$	$h^*_{ab,a}$
r00j	48.88	63.91	30.45	70.79	25
r25j	55.85	50.36	45.65	67.97	42
r50j	65.45	33.86	56.12	65.54	59
r75j	75.19	17.13	66.73	68.89	76
j00g	87.03	-3.21	79.64	79.7	92
j25g	80.72	-24.03	66.82	71.01	110
j50g	70.64	-38.01	49.96	62.78	127
j75g	61.93	-50.08	35.41	61.34	145
g00b	52.8	-62.76	20.12	65.91	162
g25b	55.7	-47.65	-8.05	48.34	190
g50b	57.82	-36.91	-27.79	46.22	217
g75b	55.5	-21.19	-44.16	49.0	244
b00r	41.6	1.31	-43.27	43.3	272
b25r	29.0	24.11	-41.46	47.97	300
b50r	38.04	44.73	-27.29	52.41	329
b75r	49.48	70.07	-3.61	70.16	357



Ein und Ausgabe: Farbmetrisches Drucker-Reflektiv-System ORS20_95a für relativen CIELAB-Buntton $h^* = lab^*h^* = h_{ab}/360 = 300/360 = 0.834$

Daten für jede Farbe:

lab^*ch^* und lab^*icu^*

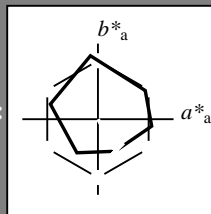
Elementar-Bunttontext:

$u^* = b25r$

Kontrastreduzierungsfaktor:

$c_R = 0.96$

Dreiecks-Helligkeit i^*



ORS20_95a; adaptierte CIELAB-Daten

	$L^*=L^*_a$	a^*_a	b^*_a	$C^*_{ab,a}$	$h^*_{ab,a}$
O _{Ma}	48.75	62.56	37.91	73.15	31
Y _{Ma}	90.92	-9.88	83.88	84.46	97
L _{Ma}	52.69	-62.9	19.95	66.0	162
C _{Ma}	59.61	-27.85	-44.43	52.45	238
V _{Ma}	28.39	22.72	-42.42	48.13	298
M _{Ma}	49.58	71.08	-9.19	71.67	353
N _{Ma}	20.0	0.0	0.0	0.0	0
W _{Ma}	95.0	0.0	0.0	0.0	0
R _{CIE}	39.92	58.74	27.99	65.07	25
J _{CIE}	81.26	-2.88	71.56	71.62	92
G _{CIE}	52.23	-42.41	13.6	44.55	162
B _{CIE}	30.57	1.41	-46.46	46.49	272

Daten für Maximalfarbe (Ma):

$LAB^*LAB^*_{Ma}$: 29 24 -40

$LAB^*LCH^*_{Ma}$: 29 48 300

$lab^*rgb^*_{Ma}$: 0.5 0.0 1.0

$lab^*olv^*_{Ma}$: 0.03 0.0 1.0

Dreiecks-Helligkeit i^*

%Umfang

$u^*_{rel} = 83$

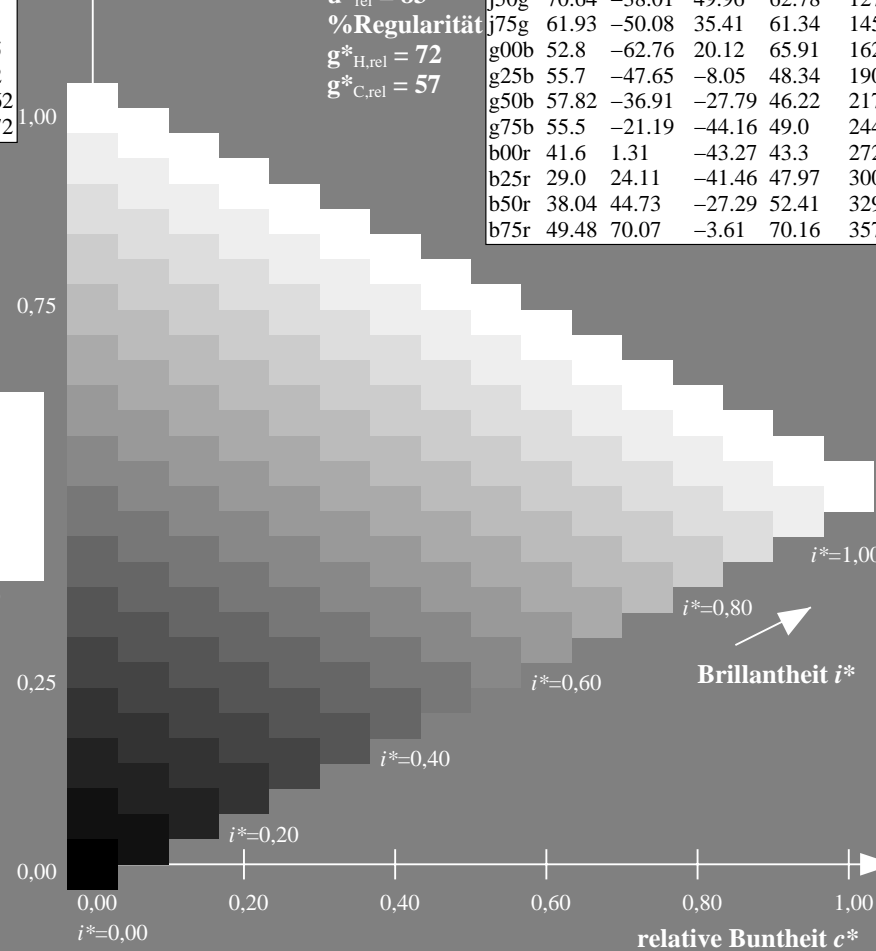
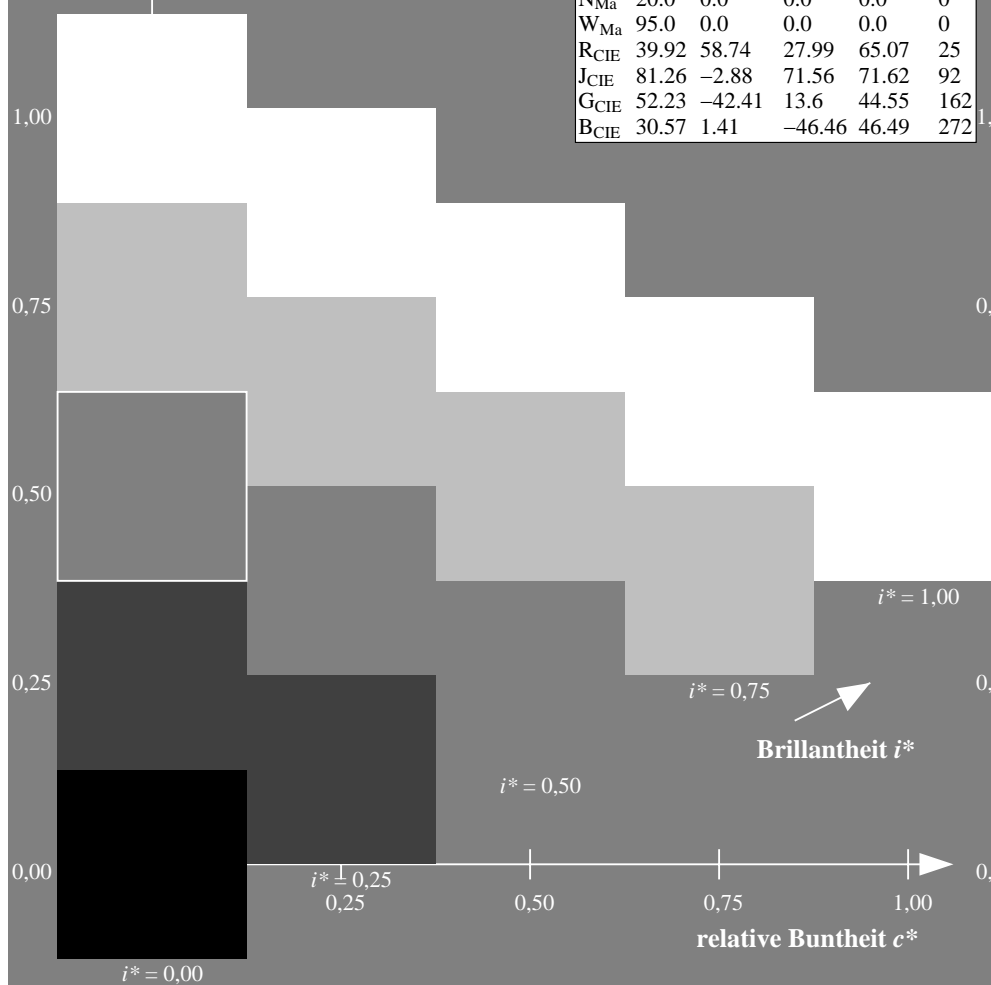
%Regularität

$g^*_{H,rel} = 72$

$g^*_{C,rel} = 57$

ORS20_95a; adaptierte CIELAB-Daten

	$L^*=L^*_a$	a^*_a	b^*_a	$C^*_{ab,a}$	$h^*_{ab,a}$
r00j	48.88	63.91	30.45	70.79	25
r25j	55.85	50.36	45.65	67.97	42
r50j	65.45	33.86	56.12	65.54	59
r75j	75.19	17.13	66.73	68.89	76
j00g	87.03	-3.21	79.64	79.7	92
j25g	80.72	-24.03	66.82	71.01	110
j50g	70.64	-38.01	49.96	62.78	127
j75g	61.93	-50.08	35.41	61.34	145
g00b	52.8	-62.76	20.12	65.91	162
g25b	55.7	-47.65	-8.05	48.34	190
g50b	57.82	-36.91	-27.79	46.22	217
g75b	55.5	-21.19	-44.16	49.0	244
b00r	41.6	1.31	-43.27	43.3	272
b25r	29.0	24.11	-41.46	47.97	300
b50r	38.04	44.73	-27.29	52.41	329
b75r	49.48	70.07	-3.61	70.16	357



Ein und Ausgabe: Farbmetrisches Drucker-Reflektiv-System ORS20_95a für relativen CIELAB-Buntton $h^* = lab^*h^* = h_{ab}/360 = 329/360 = 0.913$

Daten für jede Farbe:

lab^*ch^* und lab^*icu^*

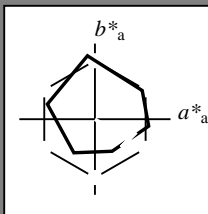
Elementar-Bunttonext:

$u^* = b50r$

Kontrastreduzierungsfaktor:

$c_R = 0.96$

Dreiecks-Helligkeit i^*



ORS20_95a; adaptierte CIELAB-Daten

	$L^*=L^*_a$	a^*_a	b^*_a	$C^*_{ab,a}$	$h^*_{ab,a}$
O _{Ma}	48.75	62.56	37.91	73.15	31
Y _{Ma}	90.92	-9.88	83.88	84.46	97
L _{Ma}	52.69	-62.9	19.95	66.0	162
C _{Ma}	59.61	-27.85	-44.43	52.45	238
V _{Ma}	28.39	22.72	-42.42	48.13	298
M _{Ma}	49.58	71.08	-9.19	71.67	353
N _{Ma}	20.0	0.0	0.0	0.0	0
W _{Ma}	95.0	0.0	0.0	0.0	0
R _{CIE}	39.92	58.74	27.99	65.07	25
J _{CIE}	81.26	-2.88	71.56	71.62	92
G _{CIE}	52.23	-42.41	13.6	44.55	162
B _{CIE}	30.57	1.41	-46.46	46.49	272

Daten für Maximalfarbe (Ma):

$LAB^*LAB^*_{Ma}$: 38 45 -26

$LAB^*LCH^*_{Ma}$: 38 52 329

$lab^*rgb^*_{Ma}$: 1.0 0.0 1.0

$lab^*olv^*_{Ma}$: 0.46 0.0 1.0

Dreiecks-Helligkeit i^*

%Umfang

$u^*_{rel} = 83$

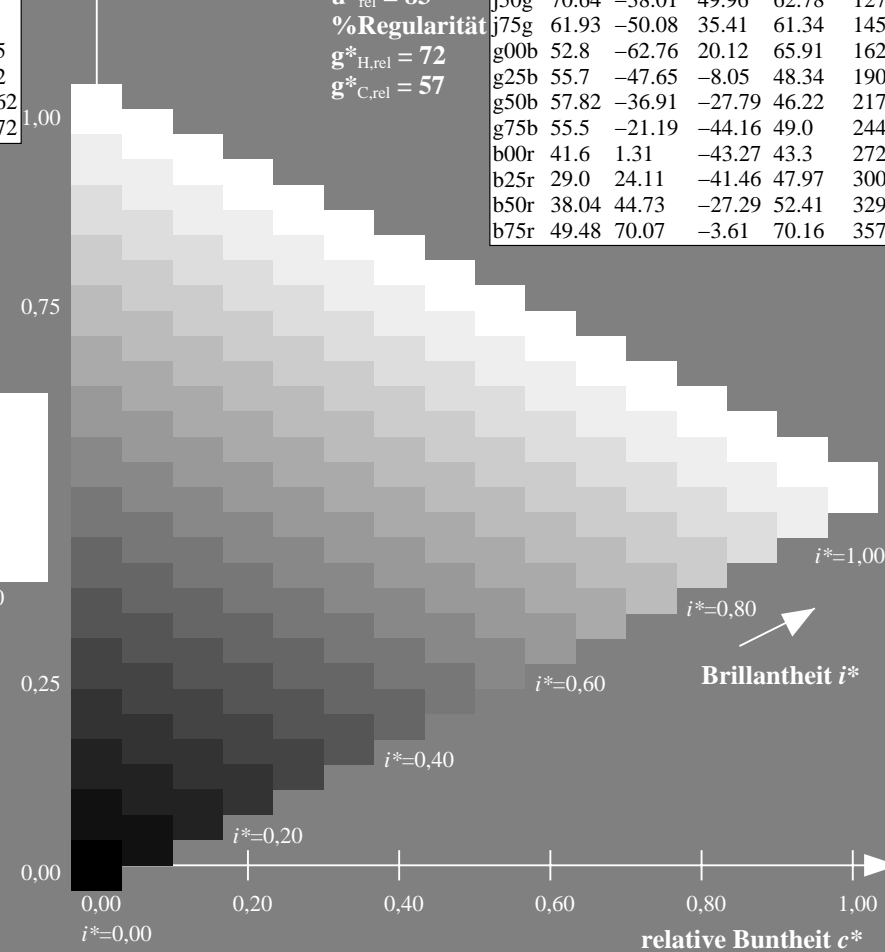
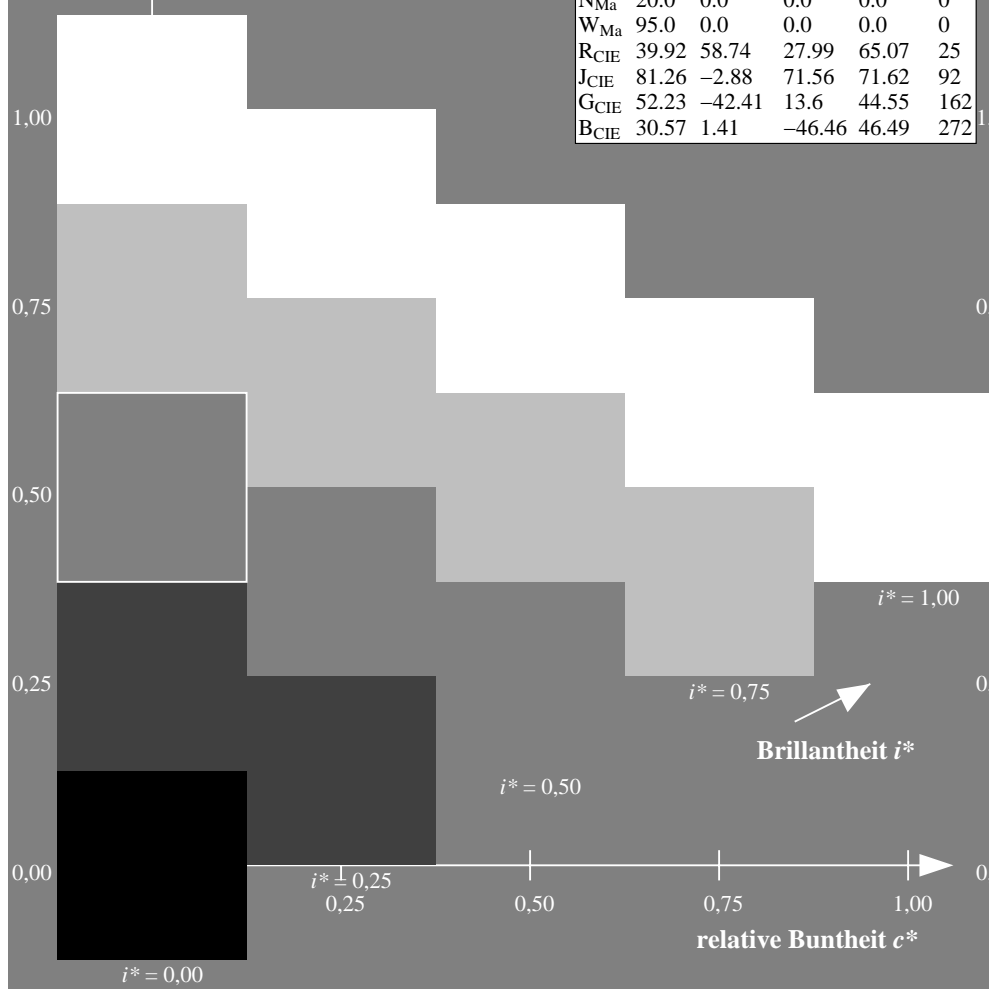
%Regularität

$g^*_{H,rel} = 72$

$g^*_{C,rel} = 57$

ORS20_95a; adaptierte CIELAB-Daten

	$L^*=L^*_a$	a^*_a	b^*_a	$C^*_{ab,a}$	$h^*_{ab,a}$
r00j	48.88	63.91	30.45	70.79	25
r25j	55.85	50.36	45.65	67.97	42
r50j	65.45	33.86	56.12	65.54	59
r75j	75.19	17.13	66.73	68.89	76
j00g	87.03	-3.21	79.64	79.7	92
j25g	80.72	-24.03	66.82	71.01	110
j50g	70.64	-38.01	49.96	62.78	127
j75g	61.93	-50.08	35.41	61.34	145
g00b	52.8	-62.76	20.12	65.91	162
g25b	55.7	-47.65	-8.05	48.34	190
g50b	57.82	-36.91	-27.79	46.22	217
g75b	55.5	-21.19	-44.16	49.0	244
b00r	41.6	1.31	-43.27	43.3	272
b25r	29.0	24.11	-41.46	47.97	300
b50r	38.04	44.73	-27.29	52.41	329
b75r	49.48	70.07	-3.61	70.16	357



Ein und Ausgabe: Farbmetrisches Drucker-Reflektiv-System ORS20_95a für relativen CIELAB-Buntton $h^* = lab^*h^* = h_{ab}/360 = 357/360 = 0.992$

Daten für jede Farbe:

lab^*ch^* und lab^*icu^*

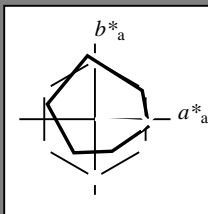
Elementar-Bunttonext:

$u^* = b75r$

Kontrastreduzierungsfaktor:

$c_R = 0.96$

Dreiecks-Helligkeit i^*



ORS20_95a; adaptierte CIELAB-Daten

	$L^*=L_a^*$	a_a^*	b_a^*	$C_{ab,a}^*$	$h_{ab,a}^*$
O _{Ma}	48.75	62.56	37.91	73.15	31
Y _{Ma}	90.92	-9.88	83.88	84.46	97
L _{Ma}	52.69	-62.9	19.95	66.0	162
C _{Ma}	59.61	-27.85	-44.43	52.45	238
V _{Ma}	28.39	22.72	-42.42	48.13	298
M _{Ma}	49.58	71.08	-9.19	71.67	353
N _{Ma}	20.0	0.0	0.0	0.0	0
W _{Ma}	95.0	0.0	0.0	0.0	0
R _{CIE}	39.92	58.74	27.99	65.07	25
J _{CIE}	81.26	-2.88	71.56	71.62	92
G _{CIE}	52.23	-42.41	13.6	44.55	162
B _{CIE}	30.57	1.41	-46.46	46.49	272

Daten für Maximalfarbe (Ma):

$LAB^*LAB^*_{Ma}$: 49 70 -3

$LAB^*LCH^*_{Ma}$: 49 70 357

$lab^*rgb^*_{Ma}$: 1.0 0.0 0.5

$lab^*olv^*_{Ma}$: 1.0 0.0 0.88

Dreiecks-Helligkeit i^*

%Umfang

$u^*_{rel} = 83$

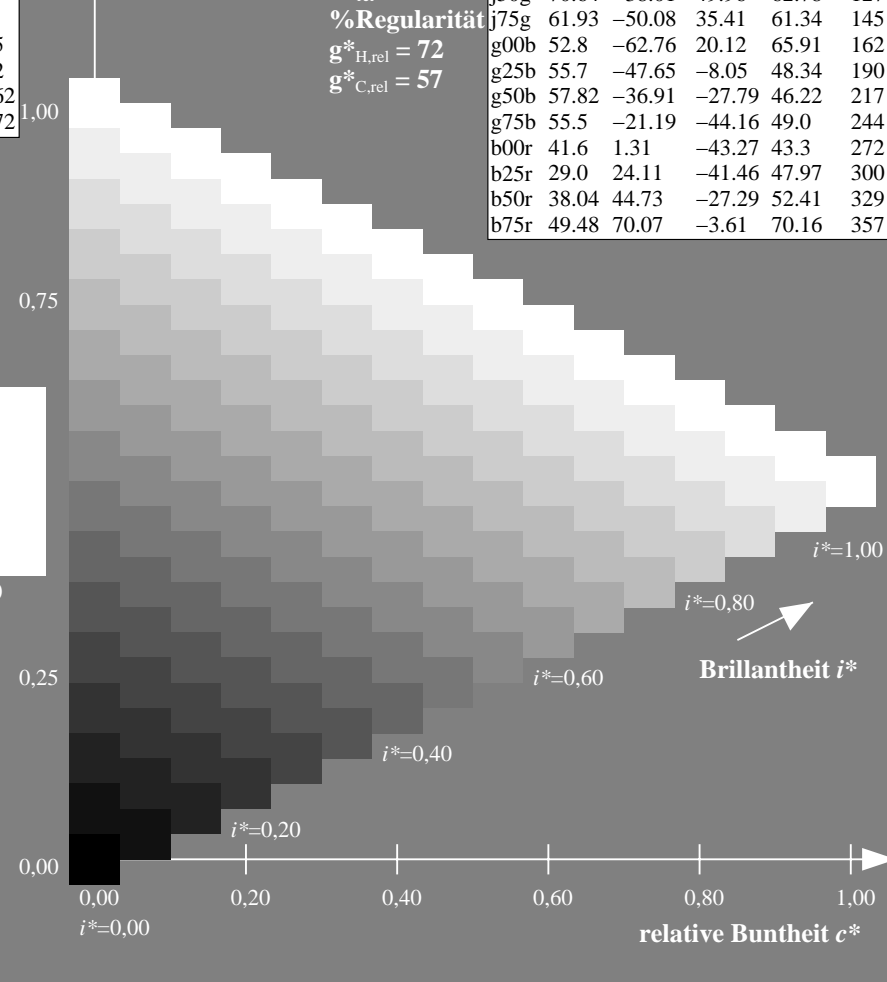
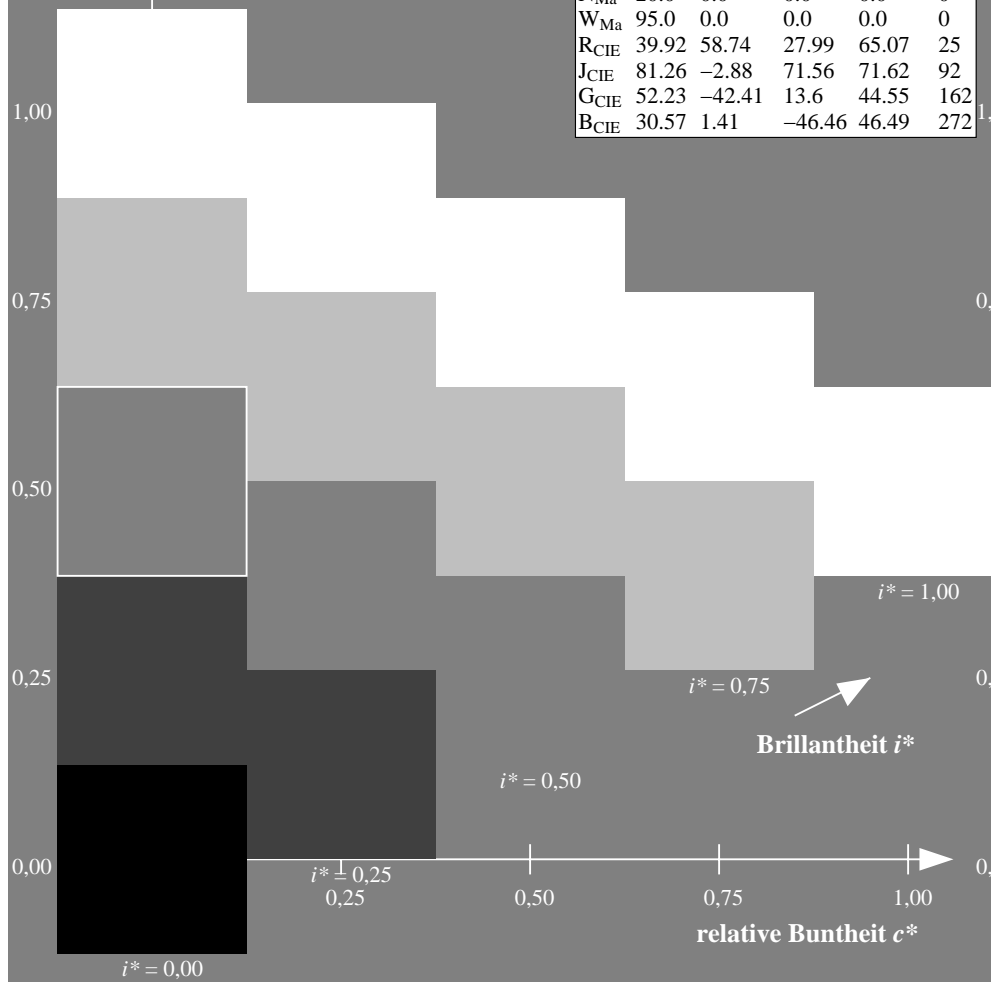
%Regularität

$g^*_{H,rel} = 72$

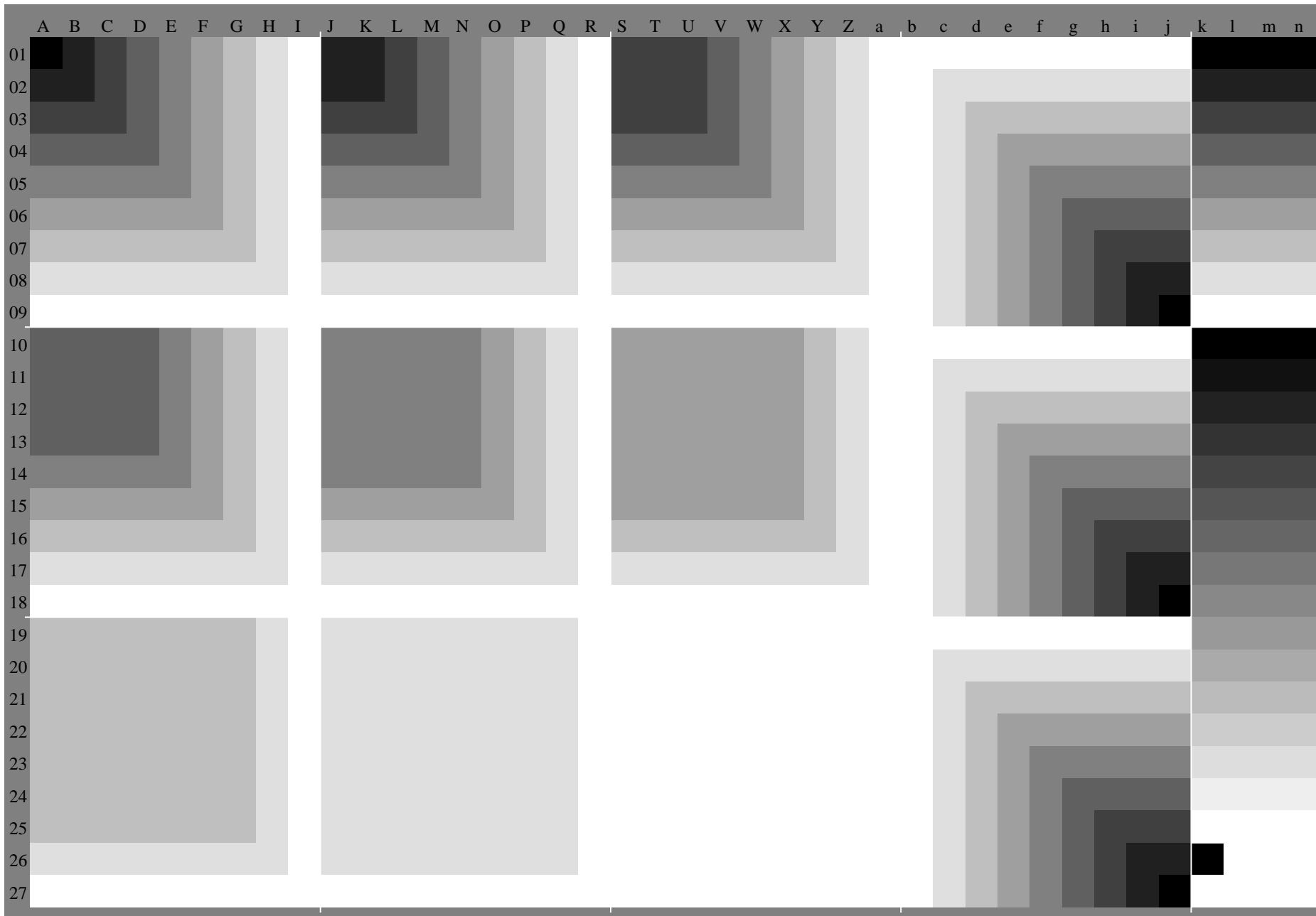
$g^*_{C,rel} = 57$

ORS20_95a; adaptierte CIELAB-Daten

	$L^*=L_a^*$	a_a^*	b_a^*	$C_{ab,a}^*$	$h_{ab,a}^*$
r00j	48.88	63.91	30.45	70.79	25
r25j	55.85	50.36	45.65	67.97	42
r50j	65.45	33.86	56.12	65.54	59
r75j	75.19	17.13	66.73	68.89	76
j00g	87.03	-3.21	79.64	79.7	92
j25g	80.72	-24.03	66.82	71.01	110
j50g	70.64	-38.01	49.96	62.78	127
j75g	61.93	-50.08	35.41	61.34	145
g00b	52.8	-62.76	20.12	65.91	162
g25b	55.7	-47.65	-8.05	48.34	190
g50b	57.82	-36.91	-27.79	46.22	217
g75b	55.5	-21.19	-44.16	49.0	244
b00r	41.6	1.31	-43.27	43.3	272
b25r	29.0	24.11	-41.46	47.97	300
b50r	38.04	44.73	-27.29	52.41	329
b75r	49.48	70.07	-3.61	70.16	357



Siehe ähnliche Dateien: <http://www.ps.bam.de/Dg73/>; www.ps.bam.de/Dg73/HTML
Technische Information: <http://www.ps.bam.de> Version 2.1, io=1,1, ColSpX=1



BAM-Registrierung: 20080701-Dg73/10L/L73G00NP.PS/.PDF BAM-Material: Code=rh4ta
Anwendung für Beurteilung und Messung von Drucker- oder Monitorsystemen